

## APPENDICE 3 – Tabelle C

**Primi ricoveri ospedalieri per causa e per comune, tutte le età,  
periodo di osservazione 2009-2013**

Tabella 1C. Incidenza di primi ricoveri ospedalieri per causa nel comune di Potenza Picena, tutte le età, periodo di osservazione 2009-2013











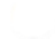





Tabella 1C - Potenza Picena	Genere	Osservati	Attesi	Cluster sign.	SIR cluster	Tasso std. * 100000 (ic)	Tasso std. > Media reg.	SIR (ic)	BIR (ic)	SIR sign.	BIR sign.	Trend	Livello attenzione
Causa (ICD-IX)													
Malattie infettive(001-139)	F	46	60	.	.	113 (87-146)	.	77 (61-98)	82 (67-98)	↓	↓	→	0 
Malattie infettive(001-139)	M	58	71	.	.	149 (118-185)	.	82 (66-102)	84 (70-100)	.	↓	→	0 
Malattie infettive(001-139)	M + F	104	130	.	.	131 (110-154)	.	80 (68-94)	82 (71-94)	↓	↓	→	0 
Tumori maligni delle vie aeree e digestive superiori(140-150, 161)	F	<5	<5	.	.	5 (1-16)	.	58 (19-175)	77 (55-103)	.	.	n.c.	1 
Tumori maligni delle vie aeree e digestive superiori(140-150, 161)	M	>5	>5	.	.	20 (10-37)	.	72 (41-128)	92 (72-112)	.	.	n.c.	1 
Tumori maligni delle vie aeree e digestive superiori(140-150, 161)	M + F	10	15	.	.	13 (7-21)	.	69 (41-115)	86 (69-103)	.	.	n.c.	1 
Tumori maligni(140-208)	F	218	225	.	.	545 (486-610)	.	97 (87-108)	95 (88-103)	.	.	→	1 
Tumori maligni(140-208)	M	277	252	.	.	725 (655-801)	.	110 (100-121)	105 (97-113)	.	.	→	1 
Tumori maligni(140-208)	M + F	495	477	.	.	633 (587-682)	.	104 (96-112)	101 (95-107)	.	.	→	1 
Tumori maligni dell'esofago(150)	F	<5	<5	.	.	3 (0-13)	.	187 (42-840)	86 (49-142)	.	.	n.c.	1 
Tumori maligni dell'esofago(150)	M	<5	<5	.	.	2 (0-13)	.	75 (17-336)	86 (56-121)	.	.	n.c.	1 
Tumori maligni dell'esofago(150)	M + F	<5	<5	.	.	2 (0-8)	.	107 (35-323)	80 (53-116)	.	.	n.c.	1 
Tumori maligni dello stomaco(151)	F	10	10	.	.	26 (14-44)	.	100 (60-168)	87 (63-118)	.	.	→	1 
Tumori maligni dello stomaco(151)	M	15	14	.	.	40 (25-62)	.	108 (71-165)	103 (79-134)	.	.	→	1 
Tumori maligni dello stomaco(151)	M + F	25	24	.	.	33 (23-46)	.	105 (76-145)	98 (78-124)	.	.	→	1 
Tumori maligni dell'intestino tenue, compreso il duodeno(152)	F	0	1	.	.	0 (0-8)	.	0 (.-.)	91 (42-162)	.	.	n.c.	1 

Tabella 1C - Potenza Picena	Genere	Osservati	Attesi	Cluster sign.	SIR cluster	Tasso std. * 100000 (ic)	Tasso std. > Media reg.	SIR (ic)	BIR (ic)	SIR sign.	BIR sign.	Trend	Livello attenzione
Causa (ICD-IX)													
Tumori maligni dell'intestino tenue, compreso il duodeno(152)	M	<5	<5	.	.	3 (0-13)	.	97 (22-437)	79 (53-115)	.	.	n.c.	1
Tumori maligni dell'intestino tenue, compreso il duodeno(152)	M + F	<5	<5	.	.	1 (0-6)	.	57 (13-254)	87 (59-118)	.	.	n.c.	1
Tumori maligni del colon(153)	F	21	22	.	.	52 (35-76)	.	94 (66-135)	96 (78-117)	.	.	→	1
Tumori maligni del colon(153)	M	24	27	.	.	63 (44-90)	.	90 (64-126)	94 (79-112)	.	.	→	1
Tumori maligni del colon(153)	M + F	45	49	.	.	58 (44-74)	.	92 (72-117)	94 (80-110)	.	.	→	1
Tumori maligni del colon-retto(153-154)	F	36	31	.	.	90 (67-119)	.	117 (89-153)	103 (88-121)	.	.	→	1
Tumori maligni del colon-retto(153-154)	M	35	41	.	.	92 (68-122)	.	86 (65-114)	99 (86-113)	.	.	→	1
Tumori maligni del colon-retto(153-154)	M + F	71	72	.	.	91 (74-111)	.	99 (82-121)	101 (89-114)	.	.	→	1
Tumori maligni del retto, della giunzione retto-sigmoidea e dell'ano(154)	F	15	10	.	.	38 (23-58)	.	147 (96-224)	102 (88-124)	.	.	n.c.	1
Tumori maligni del retto, della giunzione retto-sigmoidea e dell'ano(154)	M	12	16	.	.	31 (18-51)	.	74 (46-118)	104 (87-120)	.	.	n.c.	1
Tumori maligni del retto, della giunzione retto-sigmoidea e dell'ano(154)	M + F	27	27	.	.	35 (24-48)	.	102 (74-140)	105 (90-121)	.	.	→	1
Tumore fegato e dotti biliari(1550-1551)	F	<5	<5	.	.	7 (2-20)	.	108 (43-270)	92 (58-142)	.	.	n.c.	1
Tumore fegato e dotti biliari(1550-1551)	M	>5	>5	.	.	13 (5-28)	.	98 (48-202)	87 (64-117)	.	.	n.c.	1
Tumore fegato e dotti biliari(1550-1551)	M + F	8	8	.	.	10 (5-19)	.	102 (57-180)	88 (64-122)	.	.	n.c.	1
Tumori maligni del pancreas(157)	F	<5	>5	.	.	10 (3-23)	.	54 (24-121)	91 (67-111)	.	.	n.c.	1
Tumori maligni del pancreas(157)	M	>5	>5	.	.	18 (9-35)	.	85 (46-157)	101 (86-117)	.	.	n.c.	1
Tumori maligni del pancreas(157)	M + F	11	16	.	.	14 (8-23)	.	71 (43-115)	96 (82-110)	.	.	→	1

Tabella 1C - Potenza Picena	Genere	Osservati	Attesi	Cluster sign.	SIR cluster	Tasso std. * 100000 (ic)	Tasso std. > Media reg.	SIR (ic)	BIR (ic)	SIR sign.	BIR sign.	Trend	Livello attenzione
Causa (ICD-IX)													
Tumore del retroperitoneo(1580)	F	0	0	.	.	0 (0-8)	.	0 (.-.)	65 (31-121)	,	,	n.c.	1
Tumore del retroperitoneo(1580)	M	0	1	.	.	0 (0-9)	.	0 (.-.)	89 (26-194)	,	,	n.c.	1
Tumore del retroperitoneo(1580)	M + F	0	1	.	.	0 (0-4)	.	0 (.-.)	85 (46-138)	,	,	n.c.	1
Tumori maligni del naso(1600)	F	0	0	.	.	0 (0-8)	.	0 (.-.)	161 (78-293)	,	,	n.c.	1
Tumori maligni del naso(1600)	M	<5	<5	.	.	3 (0-13)	.	437 (97-1958)	83 (31-223)	,	,	n.c.	1
Tumori maligni del naso(1600)	M + F	<5	<5	.	.	1 (0-6)	.	217 (48-974)	107 (49-242)	,	,	n.c.	1
Tumori maligni della laringe(161)	F	0	0	.	.	0 (0-8)	.	0 (.-.)	56 (20-114)	,	,	n.c.	1
Tumori maligni della laringe(161)	M	<5	>5	.	.	10 (4-24)	.	81 (36-181)	94 (71-118)	,	,	n.c.	1
Tumori maligni della laringe(161)	M + F	<5	>5	.	.	5 (2-12)	.	75 (34-167)	91 (70-111)	,	,	n.c.	1
Tumori maligni della trachea, dei bronchi e dei polmoni(162)	F	8	11	.	.	20 (10-36)	.	76 (43-135)	85 (64-109)	,	,	n.c.	1
Tumori maligni della trachea, dei bronchi e dei polmoni(162)	M	37	30	.	.	98 (73-129)	.	123 (94-161)	101 (88-118)	,	,	↑	2 😊
Tumori maligni della trachea, dei bronchi e dei polmoni(162)	M + F	45	41	.	.	58 (45-75)	.	111 (87-142)	97 (85-109)	,	,	↑	2 😊
Tumori maligni della pleura(163)	F	<5	<5	.	.	3 (0-13)	.	253 (57-1135)	70 (33-133)	,	,	n.c.	1
Tumori maligni della pleura(163)	M	0	1	.	.	0 (0-9)	.	0 (.-.)	62 (24-134)	,	,	n.c.	1
Tumori maligni della pleura(163)	M + F	<5	<5	.	.	1 (0-7)	.	73 (16-329)	69 (35-129)	,	,	n.c.	1
Mesoteliomi pleurici e peritoneali(1588, 163)	F	<5	<5	.	.	3 (0-13)	.	153 (34-686)	81 (42-150)	,	,	n.c.	1
Mesoteliomi pleurici e peritoneali(1588, 163)	M	0	1	.	.	0 (0-9)	.	0 (.-.)	70 (30-138)	,	,	n.c.	1

Tabella 1C - Potenza Picena	Genere	Osservati	Attesi	Cluster sign.	SIR cluster	Tasso std. * 100000 (ic)	Tasso std. > Media reg.	SIR (ic)	BIR (ic)	SIR sign.	BIR sign.	Trend	Livello attenzione
Causa (ICD-IX)													
Mesoteliomi pleurici e peritoneali(1588, 163)	M + F	<5	<5	.	.	1 (0-7)	.	56 (12-251)	72 (36-128)	.	.	n.c.	1
Tumori maligni delle ossa e della cartilagine articolare(170)	F	0	1	.	.	0 (0-8)	.	0 (.-.)	71 (39-119)	.	.	n.c.	1
Tumori maligni delle ossa e della cartilagine articolare(170)	M	<5	<5	.	.	3 (0-13)	.	89 (20-398)	97 (71-132)	.	.	n.c.	1
Tumori maligni delle ossa e della cartilagine articolare(170)	M + F	<5	<5	.	.	1 (0-6)	.	55 (12-246)	87 (62-115)	.	.	n.c.	1
Tumori maligni del connettivo e di altri tessuti molli(171)	F	<5	<5	.	.	3 (0-13)	.	44 (10-195)	102 (66-137)	.	.	n.c.	1
Tumori maligni del connettivo e di altri tessuti molli(171)	M	<5	<5	.	.	3 (0-13)	.	38 (9-172)	81 (48-127)	.	.	n.c.	1
Tumori maligni del connettivo e di altri tessuti molli(171)	M + F	<5	>5	.	.	3 (0-9)	.	41 (14-123)	78 (47-121)	.	.	n.c.	1
Melanoma maligno della pelle(172)	F	<5	>5	.	.	8 (2-20)	.	58 (23-146)	78 (52-113)	.	.	n.c.	1
Melanoma maligno della pelle(172)	M	>5	>5	.	.	13 (5-27)	.	84 (41-173)	87 (58-125)	.	.	n.c.	1
Melanoma maligno della pelle(172)	M + F	8	11	.	.	10 (5-19)	.	72 (41-128)	79 (57-109)	.	.	n.c.	1
Tumori maligni della mammella(174-175)	F	>5	>5	.	.	155 (124-192)	.	95 (77-117)	92 (80-106)	.	.	→	1
Tumori maligni della mammella(174-175)	M	<5	<5	.	.	8 (2-21)	.	385 (154-964)	128 (77-278)	↑	.	n.c.	3 😊
Tumori maligni della mammella(174-175)	M + F	65	66	.	.	83 (67-102)	.	98 (80-120)	94 (81-108)	.	.	→	1
Tumori maligni dell'utero(179-180, 182)	F	8	14	.	.	20 (10-36)	.	59 (33-104)	91 (72-105)	.	.	n.c.	1
Tumori maligni del corpo dell'utero(182)	F	5	10	.	.	13 (5-27)	.	51 (25-106)	93 (70-111)	.	.	n.c.	1
Tumori maligni dell'ovaio e degli altri annessi uterini(183)	F	6	7	.	.	15 (7-30)	.	88 (46-170)	93 (75-110)	.	.	n.c.	1
Tumore della prostata(185)	M	42	38	2	121	110 (84-143)	.	110 (85-142)	112 (95-132)	.	.	→	1

Tabella 1C - Potenza Picena	Genere	Osservati	Attesi	Cluster sign.	SIR cluster	Tasso std. * 100000 (ic)	Tasso std. > Media reg.	SIR (ic)	BIR (ic)	SIR sign.	BIR sign.	Trend	Livello attenzione
Causa (ICD-IX)													
Tumore del testicolo(186)	M	<5	<5	.	.	8 (2-21)	.	99 (40-248)	92 (70-121)	.	.	n.c.	1
Tumori maligni della vescica(188)	F	>5	>5	.	.	17 (8-33)	.	101 (55-187)	91 (76-109)	.	.	n.c.	1
Tumori maligni della vescica(188)	M	37	33	.	.	97 (72-127)	.	113 (86-148)	97 (87-110)	.	.	→	1
Tumori maligni della vescica(188)	M + F	44	40	.	.	56 (43-72)	.	111 (87-142)	96 (85-109)	.	.	→	1
Tumori maligni del rene e di altri e non specificati organi urinari(189)	F	14	7	.	.	35 (21-55)	↑	188 (122-291)	110 (90-140)	↑	.	→	3 😞
Tumori maligni del rene e di altri e non specificati organi urinari(189)	M	26	14	.	.	67 (47-93)	↑	185 (134-255)	108 (91-141)	↑	.	→	3 😞
Tumori maligni del rene e di altri e non specificati organi urinari(189)	M + F	40	22	2	125	51 (38-66)	↑	186 (143-241)	117 (97-146)	↑	.	↑	4 😞
Tumori maligni dell'encefalo(191)	F	9	5	.	.	22 (12-39)	.	172 (100-295)	115 (85-166)	.	.	n.c.	1
Tumori maligni dell'encefalo(191)	M	6	5	.	.	15 (7-31)	.	113 (58-218)	89 (69-114)	.	.	n.c.	1
Tumori maligni dell'encefalo(191)	M + F	15	11	.	.	19 (12-29)	.	142 (93-217)	103 (82-132)	.	.	→	1
Tumori maligni del sistema nervoso centrale(191-192)	F	11	6	.	.	27 (15-46)	↑	188 (115-308)	112 (87-150)	↑	.	n.c.	3 😞
Tumori maligni del sistema nervoso centrale(191-192)	M	6	6	.	.	15 (7-31)	.	104 (54-201)	88 (66-113)	.	.	n.c.	1
Tumori maligni del sistema nervoso centrale(191-192)	M + F	17	12	.	.	21 (14-32)	.	146 (98-218)	103 (83-137)	.	.	→	1
Tumori maligni della ghiandola tiroide(193)	F	7	11	.	.	17 (8-33)	.	62 (34-115)	100 (74-131)	.	.	n.c.	1
Tumori maligni della ghiandola tiroide(193)	M	6	4	.	.	16 (7-31)	.	147 (76-284)	118 (78-178)	.	.	n.c.	1
Tumori maligni della ghiandola tiroide(193)	M + F	13	15	.	.	16 (10-26)	.	85 (54-133)	106 (80-137)	.	.	n.c.	1
Linfoma non Hodgkin(200, 202)	F	8	9	.	.	20 (10-36)	.	93 (52-165)	106 (87-134)	.	.	n.c.	1


Tabella 1C - Potenza Picena	Genere	Osservati	Attesi	Cluster sign.	SIR cluster	Tasso std. * 100000 (ic)	Tasso std. > Media reg.	SIR (ic)	BIR (ic)	SIR sign.	BIR sign.	Trend	Livello attenzione
Causa (ICD-IX)													
Linfoma non Hodgkin(200, 202)	M	16	10	.	.	42 (26-65)	.	159 (105-239)	103 (83-135)	↑	.	→	3 
Linfoma non Hodgkin(200, 202)	M + F	24	19	.	.	31 (21-44)	.	128 (92-179)	108 (90-134)	.	.	→	1
Tumori emolinfopoietici(200-208)	F	15	18	.	.	38 (23-58)	.	83 (54-126)	99 (79-119)	.	.	→	1
Tumori emolinfopoietici(200-208)	M	26	23	.	.	68 (48-95)	.	113 (82-155)	107 (91-128)	.	.	→	1
Tumori emolinfopoietici(200-208)	M + F	41	41	.	.	52 (40-68)	.	100 (77-129)	103 (88-120)	.	.	→	1
Malattia di Hodgkin(201)	F	<5	<5	.	.	2 (0-12)	.	69 (15-309)	84 (63-110)	.	.	n.c.	1
Malattia di Hodgkin(201)	M	<5	<5	.	.	5 (1-16)	.	111 (37-334)	104 (76-138)	.	.	n.c.	1
Malattia di Hodgkin(201)	M + F	<5	<5	.	.	4 (1-10)	.	92 (37-230)	92 (65-123)	.	.	n.c.	1
Mieloma multiplo e tumori immunoproliferativi(203)	F	<5	<5	.	.	5 (1-17)	.	56 (18-168)	94 (68-126)	.	.	n.c.	1
Mieloma multiplo e tumori immunoproliferativi(203)	M	<5	>5	.	.	8 (2-20)	.	63 (25-159)	96 (63-135)	.	.	n.c.	1
Mieloma multiplo e tumori immunoproliferativi(203)	M + F	5	8	.	.	6 (3-14)	.	60 (29-123)	87 (60-120)	.	.	n.c.	1
Leucemie(204-208)	F	5	6	.	.	13 (5-27)	.	91 (44-187)	101 (72-134)	.	.	n.c.	1
Leucemie(204-208)	M	7	8	.	.	18 (8-34)	.	88 (48-162)	108 (85-137)	.	.	n.c.	1
Leucemie(204-208)	M + F	12	14	.	.	15 (9-25)	.	89 (56-143)	104 (80-133)	.	.	n.c.	1
Gozzo non tossico(240-241)	F	>5	>5	.	.	35 (21-54)	.	75 (48-115)	84 (62-111)	.	.	→	1
Gozzo non tossico(240-241)	M	<5	>5	.	.	11 (4-25)	.	65 (29-144)	81 (53-120)	.	.	n.c.	1
Gozzo non tossico(240-241)	M + F	18	25	.	.	23 (15-34)	.	72 (49-106)	81 (61-106)	.	.	→	1




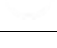
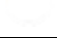
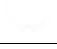







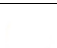
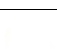


Tabella 1C - Potenza Picena	Genere	Osservati	Attesi	Cluster sign.	SIR cluster	Tasso std. * 100000 (ic)	Tasso std. > Media reg.	SIR (ic)	BIR (ic)	SIR sign.	BIR sign.	Trend	Livello attenzione
Causa (ICD-IX)													
Malattie endocrine e della nutrizione(240-2799)	F	109	121	.	.	269 (228-316)	.	90 (77-105)	93 (82-106)	.	.	↓	0 
Malattie endocrine e della nutrizione(240-2799)	M	102	91	.	.	261 (220-308)	.	113 (96-133)	110 (96-126)	.	.	→	1 
Malattie endocrine e della nutrizione(240-2799)	M + F	211	212	1	113	265 (236-297)	.	100 (89-112)	101 (91-112)	.	.	↓	0 
Tireotossicosi(242)	F	<5	>5	.	.	5 (1-16)	.	34 (11-103)	78 (51-112)	.	.	n.c.	1 
Tireotossicosi(242)	M	<5	<5	.	.	8 (2-20)	.	126 (50-316)	85 (46-153)	.	.	n.c.	1 
Tireotossicosi(242)	M + F	5	8	.	.	6 (2-13)	.	61 (29-124)	75 (51-106)	.	.	n.c.	1 
Ipotiroidismo(243-244)	F	6	2	.	.	15 (7-30)	↑	297 (153-574)	82 (62-133)	↑	.	n.c.	3 
Ipotiroidismo(243-244)	M	6	2	.	.	15 (7-31)	↑	250 (129-484)	102 (80-136)	↑	.	n.c.	3 
Ipotiroidismo(243-244)	M + F	12	4	.	.	15 (9-25)	↑	271 (170-434)	92 (76-123)	↑	.	n.c.	3 
Diabete mellito(250)	F	13	19	.	.	32 (19-52)	.	70 (44-110)	69 (48-97)	.	↓	n.c.	0 
Diabete mellito(250)	M	21	21	.	.	54 (36-78)	.	98 (69-140)	75 (55-101)	.	.	→	1 
Diabete mellito(250)	M + F	34	40	.	.	43 (32-57)	.	85 (64-113)	74 (57-94)	.	↓	→	0 
Malattie del sangue e degli organi emopoietici(280-289)	F	47	42	.	.	117 (90-149)	.	113 (89-144)	110 (89-133)	.	.	↓	0 
Malattie del sangue e degli organi emopoietici(280-289)	M	44	37	.	.	114 (87-147)	.	118 (92-150)	118 (96-145)	.	.	→	1 
Malattie del sangue e degli organi emopoietici(280-289)	M + F	91	79	2	116	116 (96-138)	.	115 (97-137)	116 (99-136)	.	.	↓	1 
Malattie neuro-psichiatriche (escluse tossicod.)(290-303, 306-319)	F	39	52	.	.	95 (72-125)	.	75 (58-97)	81 (67-98)	↓	↓	→	0 
Malattie neuro-psichiatriche (escluse tossicod.)(290-303, 306-319)	M	42	58	.	.	107 (82-139)	.	73 (56-93)	76 (63-91)	↓	↓	→	0 











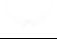






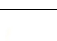
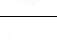
Tabella 1C - Potenza Picena	Genere	Osservati	Attesi	Cluster sign.	SIR cluster	Tasso std. * 100000 (ic)	Tasso std. > Media reg.	SIR (ic)	BIR (ic)	SIR sign.	BIR sign.	Trend	Livello attenzione
Causa (ICD-IX)													
Malattie neuro-psichiatriche (escluse tossicod.)(290-303, 306-319)	M + F	81	110	.	.	101 (83-122)	.	74 (61-88)	76 (66-89)	↓	↓	→	0 
Malattie del sistema nervoso e degli organi di senso(320-389)	F	323	284	1	114	801 (729-879)	↑	114 (104-125)	112 (103-123)	↑	↑	↓	5 
Malattie del sistema nervoso e degli organi di senso(320-389)	M	270	242	1	113	700 (632-775)	.	111 (101-123)	109 (100-120)	↑	.	→	3 
Malattie del sistema nervoso e degli organi di senso(320-389)	M + F	593	527	1	113	752 (702-805)	↑	113 (105-120)	112 (105-119)	↑	↑	↓	5 
Malattia di Alzheimer(3310)	F	6	11	.	.	15 (7-30)	.	57 (29-110)	51 (30-82)	.	↓	n.c.	0 
Malattia di Alzheimer(3310)	M	7	6	.	.	18 (9-35)	.	119 (65-220)	86 (50-141)	.	.	n.c.	1 
Malattia di Alzheimer(3310)	M + F	13	16	.	.	17 (10-27)	.	79 (50-125)	63 (42-91)	.	↓	→	0 
Morbo di Parkinson(3320)	F	<5	<5	.	.	8 (2-20)	.	96 (38-240)	95 (55-155)	.	.	n.c.	1 
Morbo di Parkinson(3320)	M	<5	<5	.	.	5 (1-16)	.	56 (19-170)	86 (50-135)	.	.	n.c.	1 
Morbo di Parkinson(3320)	M + F	5	7	.	.	6 (2-13)	.	75 (36-154)	90 (60-129)	.	.	n.c.	1 
Malattia dei neuroni motori(3352)	F	>5	<5	.	.	13 (5-27)	↑	332 (162-682)	181 (95-343)	↑	.	n.c.	3 
Malattia dei neuroni motori(3352)	M	<5	<5	.	.	3 (0-13)	.	80 (18-356)	79 (47-126)	.	.	n.c.	1 
Malattia dei neuroni motori(3352)	M + F	6	3	.	.	8 (3-15)	.	217 (112-420)	97 (74-132)	↑	.	n.c.	3 
Sclerosi multipla(340)	F	10	6	.	.	25 (13-43)	↑	178 (106-297)	109 (89-142)	↑	.	n.c.	3 
Sclerosi multipla(340)	M	0	3	.	.	0 (0-9)	.	0 (-.)	84 (53-112)	.	.	n.c.	1 
Sclerosi multipla(340)	M + F	10	8	.	.	13 (7-22)	.	121 (73-203)	101 (79-129)	.	.	n.c.	1 
Malattie cardiache(390-429)	F	197	220	.	.	497 (440-560)	.	90 (80-101)	89 (81-98)	.	↓	→	0 









Tabella 1C - Potenza Picena	Genere	Osservati	Attesi	Cluster sign.	SIR cluster	Tasso std. * 100000 (ic)	Tasso std. > Media reg.	SIR (ic)	BIR (ic)	SIR sign.	BIR sign.	Trend	Livello attenzione
Causa (ICD-IX)													
Malattie cardiache(390-429)	M	258	274	.	.	677 (609-751)	.	94 (85-104)	93 (86-100)	.	.	→	1
Malattie cardiache(390-429)	M + F	455	494	.	.	585 (540-632)	.	92 (85-99)	91 (85-97)	↓	↓	→	0 
Malattie dell'apparato circolatorio(390-459)	F	389	382	.	.	979 (898-1065)	.	102 (94-111)	99 (92-106)	.	.	→	1
Malattie dell'apparato circolatorio(390-459)	M	462	442	.	.	1209 (1117-1306)	.	105 (97-113)	101 (95-107)	.	.	→	1
Malattie dell'apparato circolatorio(390-459)	M + F	851	824	.	.	1091 (1030-1155)	.	103 (98-109)	100 (95-105)	.	.	→	1
Malattie ischemiche del cuore(410-4149)	F	49	72	.	.	123 (95-156)	.	68 (54-86)	75 (63-88)	↓	↓	→	0 
Malattie ischemiche del cuore(410-4149)	M	107	134	.	.	278 (235-327)	.	80 (68-94)	82 (73-93)	↓	↓	↓	0 
Malattie ischemiche del cuore(410-4149)	M + F	156	206	.	.	199 (173-227)	.	76 (67-87)	77 (69-85)	↓	↓	→	0 
Insufficienza cardiaca (scompenso cardiaco)(428)	F	81	90	.	.	207 (170-249)	.	90 (75-108)	85 (73-98)	.	↓	→	0 
Insufficienza cardiaca (scompenso cardiaco)(428)	M	77	76	.	.	206 (169-249)	.	102 (84-122)	90 (78-104)	.	.	→	1
Insufficienza cardiaca (scompenso cardiaco)(428)	M + F	158	166	.	.	206 (180-236)	.	95 (84-109)	88 (79-98)	.	↓	→	0 
Malattie cerebrovascolari(430-438)	F	148	126	2	114	374 (325-429)	.	117 (103-134)	110 (98-123)	↑	.	→	3 
Malattie cerebrovascolari(430-438)	M	145	129	.	.	383 (333-440)	.	112 (98-129)	107 (95-119)	.	.	→	1
Malattie cerebrovascolari(430-438)	M + F	293	255	2	112	379 (343-417)	.	115 (104-126)	110 (101-119)	↑	↑	→	5 
Malattie dell'apparato respiratorio(460-5199)	F	285	270	.	.	709 (641-782)	.	105 (96-116)	104 (95-113)	.	.	→	1
Malattie dell'apparato respiratorio(460-5199)	M	348	335	.	.	908 (829-992)	.	104 (95-113)	104 (96-112)	.	.	→	1
Malattie dell'apparato respiratorio(460-5199)	M + F	633	605	.	.	806 (754-861)	.	105 (98-112)	105 (99-112)	.	.	→	1






Tabella 1C - Potenza Picena	Genere	Osservati	Attesi	Cluster sign.	SIR cluster	Tasso std. * 100000 (ic)	Tasso std. > Media reg.	SIR (ic)	BIR (ic)	SIR sign.	BIR sign.	Trend	Livello attenzione
Causa (ICD-IX)													
Malattie polmonari cronico ostruttive(490-492, 494, 496)	F	21	21	.	.	53 (35-76)	.	102 (71-146)	98 (72-130)	.	.	→	1
Malattie polmonari cronico ostruttive(490-492, 494, 496)	M	23	26	.	.	61 (42-87)	.	89 (63-125)	87 (68-112)	.	.	↓	0 
Malattie polmonari cronico ostruttive(490-492, 494, 496)	M + F	44	46	.	.	57 (43-73)	.	95 (74-121)	93 (74-114)	.	.	↓	0 
Pneumoconiosi(500-505)	F	0	0	.	.	0 (0-8)	.	0 (-.)	60 (4-330)	.	.	n.c.	1
Pneumoconiosi(500-505)	M	0	1	.	.	0 (0-9)	.	0 (-.)	57 (14-148)	.	.	n.c.	1
Pneumoconiosi(500-505)	M + F	0	1	.	.	0 (0-4)	.	0 (-.)	79 (28-146)	.	.	n.c.	1
Malattie dell'apparato digerente(520-579)	F	380	331	.	.	941 (863-1025)	↑	115 (106-125)	108 (100-116)	↑	↑	↓	4 
Malattie dell'apparato digerente(520-579)	M	517	464	.	.	1337 (1242-1438)	↑	111 (104-120)	108 (102-115)	↑	↑	→	5 
Malattie dell'apparato digerente(520-579)	M + F	897	795	1	112	1135 (1073-1199)	↑	113 (107-119)	109 (104-115)	↑	↑	↓	5 
Cirrosi e altre malattie croniche del fegato(571)	F	6	7	.	.	15 (7-30)	.	85 (44-165)	83 (66-104)	.	.	n.c.	1
Cirrosi e altre malattie croniche del fegato(571)	M	17	13	.	.	43 (28-65)	.	127 (85-188)	92 (72-120)	.	.	→	1
Cirrosi e altre malattie croniche del fegato(571)	M + F	23	20	.	.	29 (20-41)	.	112 (80-158)	88 (72-109)	.	.	→	1
Nefropatie croniche e acute(580-589)	F	39	32	.	.	98 (74-129)	.	121 (93-157)	107 (86-134)	.	.	→	1
Nefropatie croniche e acute(580-589)	M	32	42	.	.	85 (62-114)	.	77 (57-103)	82 (66-100)	.	.	→	1
Nefropatie croniche e acute(580-589)	M + F	71	74	.	.	92 (74-112)	.	96 (79-117)	93 (79-109)	.	.	→	1
Malattie dell'apparato urinario(580-599)	F	98	89	1	122	246 (206-291)	.	110 (94-130)	105 (91-121)	.	.	→	1
Malattie dell'apparato urinario(580-599)	M	143	127	.	.	371 (322-427)	.	113 (98-129)	109 (97-121)	.	.	→	1





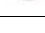
Tabella 1C - Potenza Picena	Genere	Osservati	Attesi	Cluster sign.	SIR cluster	Tasso std. * 100000 (ic)	Tasso std. > Media reg.	SIR (ic)	BIR (ic)	SIR sign.	BIR sign.	Trend	Livello attenzione
Causa (ICD-IX)													
Malattie dell'apparato urinario(580-599)	M + F	241	216	1	118	307 (275-342)	.	112 (100-124)	108 (98-118)	↑	.	→	3 
Endometriosi(617)	F	7	13	.	.	17 (8-33)	.	54 (29-100)	65 (46-89)	.	↓	n.c.	0 
Malformazioni congenite(740-759)	F	52	51	.	.	128 (100-161)	.	102 (81-128)	95 (81-111)	.	.	→	1 
Malformazioni congenite(740-759)	M	64	73	.	.	162 (130-200)	.	88 (71-108)	86 (74-100)	.	↓	→	0 
Malformazioni congenite(740-759)	M + F	116	124	.	.	144 (123-169)	.	93 (80-109)	90 (80-101)	.	.	→	1 

Tabella 2C. Incidenza di primi ricoveri ospedalieri per causa nel comune di Camerano, tutte le età, periodo di osservazione 2009-2013


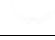

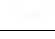
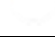

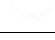



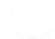



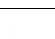

Tabella 2C - Camerano	Genere	Osservati	Attesi	Cluster sign.	SIR cluster	Tasso std. * 100000 (ic)	Tasso std. > Media reg.	SIR (ic)	BIR (ic)	SIR sign.	BIR sign.	Trend	Livello attenzione
Causa (ICD-IX)													
Malattie infettive(001-139)	F	21	28	.	.	114 (76-175)	.	75 (53-108)	79 (61-100)	.	↓	→	0 
Malattie infettive(001-139)	M	27	33	.	.	153 (108-213)	.	83 (60-114)	83 (66-103)	.	.	→	1 
Malattie infettive(001-139)	M + F	48	60	.	.	133 (103-174)	.	79 (63-101)	80 (66-96)	.	↓	→	0 
Tumori maligni delle vie aeree e digestive superiori(140-150, 161)	F	<5	<5	.	.	11 (2-52)	.	127 (42-384)	88 (62-124)	.	.	n.c.	1 
Tumori maligni delle vie aeree e digestive superiori(140-150, 161)	M	<5	>5	.	.	24 (8-56)	.	80 (36-179)	96 (75-120)	.	.	n.c.	1 
Tumori maligni delle vie aeree e digestive superiori(140-150, 161)	M + F	6	7	.	.	17 (8-41)	.	91 (47-177)	95 (76-116)	.	.	n.c.	1 
Tumori maligni(140-208)	F	105	102	2	114	574 (485-684)	.	103 (87-120)	101 (91-111)	.	.	→	1 
Tumori maligni(140-208)	M	118	115	2	108	683 (583-798)	.	103 (88-120)	102 (93-112)	.	.	→	1 
Tumori maligni(140-208)	M + F	223	217	2	109	627 (560-705)	.	103 (92-115)	102 (94-110)	.	.	→	1 
Tumori maligni dell'esofago(150)	F	0	0	.	.	0 (0-37)	.	0 (.-.)	90 (50-153)	.	.	n.c.	1 
Tumori maligni dell'esofago(150)	M	<5	<5	.	.	6 (0-31)	.	165 (37-741)	88 (58-129)	.	.	n.c.	1 
Tumori maligni dell'esofago(150)	M + F	<5	<5	.	.	3 (0-23)	.	117 (26-525)	95 (64-142)	.	.	n.c.	1 
Tumori maligni dello stomaco(151)	F	<5	>5	.	.	21 (7-65)	.	88 (40-196)	72 (49-103)	.	.	n.c.	1 
Tumori maligni dello stomaco(151)	M	>5	>5	.	.	30 (12-64)	.	77 (37-158)	86 (62-117)	.	.	n.c.	1 
Tumori maligni dello stomaco(151)	M + F	9	11	.	.	25 (13-51)	.	81 (47-140)	78 (58-104)	.	.	→	1 
Tumori maligni dell'intestino tenue, compreso il duodeno(152)	F	<5	<5	.	.	11 (2-51)	.	587 (194-1774)	111 (63-260)	↑	.	n.c.	3 

Tabella 2C - Camerano	Genere	Osservati	Attesi	Cluster sign.	SIR cluster	Tasso std. * 100000 (ic)	Tasso std. > Media reg.	SIR (ic)	BIR (ic)	SIR sign.	BIR sign.	Trend	Livello attenzione
Causa (ICD-IX)													
Tumori maligni dell'intestino tenue, compreso il duodeno(152)	M	<5	<5	.	.	6 (0-31)	.	215 (48-962)	80 (54-117)	.	.	n.c.	1
Tumori maligni dell'intestino tenue, compreso il duodeno(152)	M + F	<5	<5	.	.	8 (2-30)	.	372 (149-931)	93 (67-143)	↑	.	n.c.	3 ☹️
Tumori maligni del colon(153)	F	7	10	.	.	37 (18-84)	.	68 (37-126)	93 (72-117)	.	.	n.c.	1
Tumori maligni del colon(153)	M	16	12	.	.	95 (59-146)	.	131 (87-197)	109 (89-133)	.	.	→	1
Tumori maligni del colon(153)	M + F	23	22	.	.	65 (45-98)	.	103 (73-144)	103 (86-123)	.	.	→	1
Tumori maligni del colon-retto(153-154)	F	15	14	.	.	81 (50-137)	.	106 (70-162)	101 (85-122)	.	.	→	1
Tumori maligni del colon-retto(153-154)	M	26	19	.	.	151 (106-212)	.	140 (102-194)	110 (96-130)	↑	.	→	3 ☹️
Tumori maligni del colon-retto(153-154)	M + F	41	33	.	.	115 (87-155)	.	126 (97-162)	110 (95-128)	.	.	→	1
Tumori maligni del retto, della giunzione retto-sigmoidea e dell'ano(154)	F	10	5	.	.	55 (30-105)	↑	215 (128-359)	103 (88-129)	↑	.	n.c.	3 ☹️
Tumori maligni del retto, della giunzione retto-sigmoidea e dell'ano(154)	M	12	7	.	.	68 (39-113)	.	163 (102-261)	109 (93-132)	↑	.	n.c.	3 ☹️
Tumori maligni del retto, della giunzione retto-sigmoidea e dell'ano(154)	M + F	22	12	.	.	61 (41-93)	↑	183 (129-259)	112 (96-136)	↑	.	n.c.	3 ☹️
Tumore fegato e dotti biliari(1550-1551)	F	<5	<5	.	.	11 (2-51)	.	157 (52-476)	92 (56-147)	.	.	n.c.	1
Tumore fegato e dotti biliari(1550-1551)	M	<5	<5	.	.	22 (8-54)	.	174 (78-388)	91 (66-131)	.	.	n.c.	1
Tumore fegato e dotti biliari(1550-1551)	M + F	6	4	.	.	16 (7-40)	.	168 (87-325)	94 (66-138)	.	.	n.c.	1
Tumori maligni del pancreas(157)	F	<5	<5	.	.	22 (7-66)	.	118 (53-264)	98 (76-124)	.	.	n.c.	1
Tumori maligni del pancreas(157)	M	<5	<5	.	.	18 (5-49)	.	80 (32-201)	102 (87-120)	.	.	n.c.	1
Tumori maligni del pancreas(157)	M + F	7	7	.	.	20 (9-45)	.	98 (53-181)	100 (87-116)	.	.	n.c.	1

Tabella 2C - Camerano	Genere	Osservati	Attesi	Cluster sign.	SIR cluster	Tasso std. * 100000 (ic)	Tasso std. > Media reg.	SIR (ic)	BIR (ic)	SIR sign.	BIR sign.	Trend	Livello attenzione
Causa (ICD-IX)													
Tumore del retroperitoneo(1580)	F	0	0	.	.	0 (0-37)	.	0 (.-.)	66 (31-126)	,	,	n.c.	1
Tumore del retroperitoneo(1580)	M	0	0	2	270	0 (0-21)	.	0 (.-.)	93 (28-208)	,	,	n.c.	1
Tumore del retroperitoneo(1580)	M + F	0	0	.	.	0 (0-19)	.	0 (.-.)	89 (49-147)	,	,	n.c.	1
Tumori maligni del naso(1600)	F	0	0	.	.	0 (0-37)	.	0 (.-.)	159 (77-290)	,	,	n.c.	1
Tumori maligni del naso(1600)	M	0	0	.	.	0 (0-21)	.	0 (.-.)	64 (19-175)	,	,	n.c.	1
Tumori maligni del naso(1600)	M + F	0	0	.	.	0 (0-19)	.	0 (.-.)	88 (36-200)	,	,	n.c.	1
Tumori maligni della laringe(161)	F	0	0	.	.	0 (0-37)	.	0 (.-.)	57 (20-121)	,	,	n.c.	1
Tumori maligni della laringe(161)	M	<5	<5	.	.	6 (0-30)	.	45 (10-203)	93 (71-119)	,	,	n.c.	1
Tumori maligni della laringe(161)	M + F	<5	<5	.	.	3 (0-23)	.	42 (9-188)	91 (68-113)	,	,	n.c.	1
Tumori maligni della trachea, dei bronchi e dei polmoni(162)	F	<5	>5	.	.	21 (7-65)	.	84 (38-187)	91 (67-120)	,	,	n.c.	1
Tumori maligni della trachea, dei bronchi e dei polmoni(162)	M	>5	>5	.	.	76 (45-122)	.	95 (61-150)	98 (84-117)	,	,	→	1
Tumori maligni della trachea, dei bronchi e dei polmoni(162)	M + F	17	18	.	.	48 (31-78)	.	92 (62-137)	95 (83-110)	,	,	→	1
Tumori maligni della pleura(163)	F	0	0	.	.	0 (0-37)	.	0 (.-.)	71 (33-139)	,	,	n.c.	1
Tumori maligni della pleura(163)	M	0	0	.	.	0 (0-21)	.	0 (.-.)	90 (33-201)	,	,	n.c.	1
Tumori maligni della pleura(163)	M + F	0	1	2	217	0 (0-19)	.	0 (.-.)	90 (42-172)	,	,	n.c.	1
Mesoteliomi pleurici e peritoneali(1588, 163)	F	0	0	.	.	0 (0-37)	.	0 (.-.)	81 (39-148)	,	,	n.c.	1
Mesoteliomi pleurici e peritoneali(1588, 163)	M	0	1	.	.	0 (0-21)	.	0 (.-.)	98 (39-204)	,	,	n.c.	1

Tabella 2C - Camerano													
Causa (ICD-IX)	Genere	Osservati	Attesi	Cluster sign.	SIR cluster	Tasso std. * 100000 (ic)	Tasso std. > Media reg.	SIR (ic)	BIR (ic)	SIR sign.	BIR sign.	Trend	Livello attenzione
Mesoteliomi pleurici e peritoneali(1588, 163)	M + F	0	1	.	.	0 (0-19)	.	0 (.-.)	77 (35-155)	,	,	n.c.	1
Tumori maligni delle ossa e della cartilagine articolare(170)	F	0	0	.	.	0 (0-37)	.	0 (.-.)	72 (40-122)	,	,	n.c.	1
Tumori maligni delle ossa e della cartilagine articolare(170)	M	0	1	.	.	0 (0-21)	.	0 (.-.)	97 (70-131)	,	,	n.c.	1
Tumori maligni delle ossa e della cartilagine articolare(170)	M + F	0	1	.	.	0 (0-19)	.	0 (.-.)	87 (60-117)	,	,	n.c.	1
Tumori maligni del connettivo e di altri tessuti molli(171)	F	<5	<5	.	.	6 (0-45)	.	96 (21-428)	105 (70-145)	,	,	n.c.	1
Tumori maligni del connettivo e di altri tessuti molli(171)	M	<5	<5	.	.	6 (0-30)	.	81 (18-363)	95 (55-157)	,	,	n.c.	1
Tumori maligni del connettivo e di altri tessuti molli(171)	M + F	<5	<5	.	.	6 (1-26)	.	88 (29-265)	96 (58-153)	,	,	n.c.	1
Melanoma maligno della pelle(172)	F	<5	<5	2	159	22 (8-66)	.	171 (77-380)	112 (74-169)	,	,	n.c.	1
Melanoma maligno della pelle(172)	M	<5	<5	2	157	24 (8-57)	.	149 (67-331)	116 (77-175)	,	,	n.c.	1
Melanoma maligno della pelle(172)	M + F	8	5	2	152	23 (11-48)	.	159 (90-282)	122 (85-179)	,	,	n.c.	1
Tumori maligni della mammella(174-175)	F	28	30	2	120	153 (108-220)	.	95 (69-129)	100 (84-118)	,	,	→	1
Tumori maligni della mammella(174-175)	M	0	0	.	.	0 (0-21)	.	0 (.-.)	107 (54-195)	,	,	n.c.	1
Tumori maligni della mammella(174-175)	M + F	28	30	2	119	78 (55-112)	.	93 (69-127)	100 (84-118)	,	,	→	1
Tumori maligni dell'utero(179-180, 182)	F	7	6	.	.	39 (18-87)	.	114 (62-210)	95 (79-114)	,	,	n.c.	1
Tumori maligni del corpo dell'utero(182)	F	<5	<5	.	.	23 (8-67)	.	91 (41-202)	97 (76-122)	,	,	n.c.	1
Tumori maligni dell'ovaio e degli altri annessi uterini(183)	F	<5	<5	.	.	22 (8-66)	.	129 (58-288)	95 (78-116)	,	,	n.c.	1
Tumore della prostata(185)	M	13	17	.	.	77 (45-124)	.	75 (48-118)	94 (76-115)	,	,	n.c.	1



Tabella 2C - Camerano	Genere	Osservati	Attesi	Cluster sign.	SIR cluster	Tasso std. * 100000 (ic)	Tasso std. > Media reg.	SIR (ic)	BIR (ic)	SIR sign.	BIR sign.	Trend	Livello attenzione
Causa (ICD-IX)													
Tumore del testicolo(186)	M	<5	<5	.	.	17 (5-46)	.	215 (86-539)	94 (70-127)	,	,	n.c.	1
Tumori maligni della vescica(188)	F	<5	<5	.	.	16 (<5-59)	.	95 (38-238)	92 (76-111)	,	,	n.c.	1
Tumori maligni della vescica(188)	M	14	15	.	.	82 (49-129)	.	94 (61-145)	98 (85-111)	,	,	→	1
Tumori maligni della vescica(188)	M + F	17	18	.	.	48 (31-78)	.	94 (63-140)	97 (85-111)	,	,	→	1
Tumori maligni del rene e di altri e non specificati organi urinari(189)	F	<5	<5	.	.	11 (2-51)	.	58 (19-176)	104 (83-129)	,	,	n.c.	1
Tumori maligni del rene e di altri e non specificati organi urinari(189)	M	>5	>5	.	.	34 (15-70)	.	95 (49-184)	98 (78-122)	,	,	→	1
Tumori maligni del rene e di altri e non specificati organi urinari(189)	M + F	8	10	2	125	22 (11-47)	.	82 (46-146)	100 (80-121)	,	,	→	1
Tumori maligni dell'encefalo(191)	F	<5	<5	.	.	11 (2-52)	.	84 (28-254)	110 (77-152)	,	,	n.c.	1
Tumori maligni dell'encefalo(191)	M	<5	<5	.	.	24 (8-56)	.	168 (76-375)	91 (71-122)	,	,	n.c.	1
Tumori maligni dell'encefalo(191)	M + F	6	5	.	.	17 (7-41)	.	126 (65-244)	102 (80-133)	,	,	n.c.	1
Tumori maligni del sistema nervoso centrale(191-192)	F	<5	<5	.	.	11 (2-52)	.	75 (25-228)	109 (81-145)	,	,	n.c.	1
Tumori maligni del sistema nervoso centrale(191-192)	M	<5	<5	.	.	24 (8-56)	.	155 (70-345)	91 (69-124)	,	,	n.c.	1
Tumori maligni del sistema nervoso centrale(191-192)	M + F	6	5	.	.	17 (7-41)	.	115 (59-222)	99 (76-130)	,	,	n.c.	1
Tumori maligni della ghiandola tiroide(193)	F	<5	>5	.	.	16 (4-59)	.	60 (24-149)	93 (66-128)	,	,	n.c.	1
Tumori maligni della ghiandola tiroide(193)	M	<5	<5	.	.	6 (0-30)	.	55 (12-246)	97 (59-153)	,	,	n.c.	1
Tumori maligni della ghiandola tiroide(193)	M + F	<5	>5	.	.	11 (4-33)	.	58 (26-130)	88 (63-121)	,	,	n.c.	1
Linfoma non Hodgkin(200, 202)	F	<5	<5	.	.	11 (2-52)	.	51 (17-154)	105 (82-134)	,	,	n.c.	1




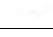
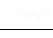

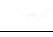
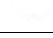
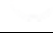
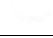
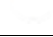
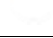





Tabella 2C - Camerano	Genere	Osservati	Attesi	Cluster sign.	SIR cluster	Tasso std. * 100000 (ic)	Tasso std. > Media reg.	SIR (ic)	BIR (ic)	SIR sign.	BIR sign.	Trend	Livello attenzione
Causa (ICD-IX)													
Linfoma non Hodgkin(200, 202)	M	<5	>5	.	.	6 (0-30)	.	22 (5-98)	91 (68-115)	↓	.	n.c.	0 
Linfoma non Hodgkin(200, 202)	M + F	<5	>5	.	.	9 (2-30)	.	35 (14-88)	97 (72-120)	↓	.	n.c.	0 
Tumori emolinfopoiетici(200-208)	F	7	8	.	.	39 (18-87)	.	84 (46-156)	101 (81-125)	.	.	n.c.	1 
Tumori emolinfopoiетici(200-208)	M	9	11	.	.	52 (27-93)	.	86 (50-148)	108 (89-132)	.	.	→	1 
Tumori emolinfopoiетici(200-208)	M + F	16	19	.	.	46 (29-75)	.	85 (57-128)	105 (86-125)	.	.	→	1 
Malattia di Hodgkin(201)	F	<5	<5	.	.	6 (0-45)	.	153 (34-687)	85 (63-110)	.	.	n.c.	1 
Malattia di Hodgkin(201)	M	0	<5	.	.	0 (0-21)	.	0 (.-.)	103 (75-137)	.	.	n.c.	1 
Malattia di Hodgkin(201)	M + F	<5	<5	.	.	3 (0-23)	.	68 (15-306)	91 (62-124)	.	.	n.c.	1 
Mieloma multiplo e tumori immunoproliferativi(203)	F	0	2	.	.	0 (0-37)	.	0 (.-.)	90 (60-123)	.	.	n.c.	1 
Mieloma multiplo e tumori immunoproliferativi(203)	M	<5	<5	.	.	5 (0-28)	.	46 (10-207)	93 (58-139)	.	.	n.c.	1 
Mieloma multiplo e tumori immunoproliferativi(203)	M + F	<5	<5	.	.	2 (0-22)	.	26 (6-118)	78 (50-114)	.	.	n.c.	1 
Leucemie(204-208)	F	<5	<5	.	.	22 (8-66)	.	158 (71-353)	115 (83-166)	.	.	n.c.	1 
Leucemie(204-208)	M	>5	<5	2	140	42 (20-80)	↑	194 (105-359)	123 (97-175)	↑	.	n.c.	3 
Leucemie(204-208)	M + F	11	6	2	136	32 (18-59)	↑	180 (110-293)	137 (103-184)	↑	↑	n.c.	5 
Gozzo non tossico(240-241)	F	<5	>5	.	.	16 (4-59)	.	36 (14-89)	60 (41-85)	↓	↓	n.c.	0 
Gozzo non tossico(240-241)	M	0	3	.	.	0 (0-21)	.	0 (.-.)	50 (29-83)	.	↓	n.c.	0 
Gozzo non tossico(240-241)	M + F	<5	>5	.	.	8 (2-30)	.	27 (11-67)	53 (36-75)	↓	↓	n.c.	0 


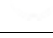

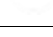
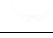

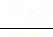


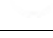
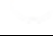


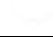



Tabella 2C - Camerano	Genere	Osservati	Attesi	Cluster sign.	SIR cluster	Tasso std. * 100000 (ic)	Tasso std. > Media reg.	SIR (ic)	BIR (ic)	SIR sign.	BIR sign.	Trend	Livello attenzione
Causa (ICD-IX)													
Malattie endocrine e della nutrizione(240-2799)	F	42	56	.	.	227 (172-304)	.	76 (59-97)	82 (68-99)	↓	↓	→	0 
Malattie endocrine e della nutrizione(240-2799)	M	38	42	.	.	211 (158-278)	.	91 (70-119)	95 (79-115)	.	.	→	1 
Malattie endocrine e della nutrizione(240-2799)	M + F	80	97	.	.	219 (180-269)	.	82 (68-99)	86 (74-99)	↓	↓	→	0 
Tireotossicosi(242)	F	<5	<5	.	.	5 (0-44)	.	38 (8-169)	75 (48-114)	.	.	n.c.	1 
Tireotossicosi(242)	M	0	1	.	.	0 (0-21)	.	0 (.-.)	56 (25-108)	.	.	n.c.	1 
Tireotossicosi(242)	M + F	<5	<5	.	.	3 (0-23)	.	27 (6-121)	63 (39-95)	.	↓	n.c.	0 
Ipotiroidismo(243-244)	F	0	1	.	.	0 (0-37)	.	0 (.-.)	74 (49-102)	.	.	n.c.	1 
Ipotiroidismo(243-244)	M	5	1	.	.	25 (10-57)	↑	422 (205-866)	103 (80-140)	↑	.	n.c.	3 
Ipotiroidismo(243-244)	M + F	5	2	.	.	12 (5-35)	.	230 (112-473)	89 (74-112)	↑	.	n.c.	3 
Diabete mellito(250)	F	9	8	2	129	50 (26-100)	.	107 (62-183)	98 (65-147)	.	.	n.c.	1 
Diabete mellito(250)	M	11	10	2	143	65 (36-109)	.	114 (70-186)	100 (69-141)	.	.	n.c.	1 
Diabete mellito(250)	M + F	20	18	2	136	57 (38-89)	.	111 (77-159)	100 (73-134)	.	.	n.c.	1 
Malattie del sangue e degli organi emopoietici(280-289)	F	19	19	.	.	104 (68-164)	.	100 (69-145)	99 (74-130)	.	.	→	1 
Malattie del sangue e degli organi emopoietici(280-289)	M	12	17	.	.	67 (38-110)	.	69 (43-110)	88 (64-118)	.	.	n.c.	1 
Malattie del sangue e degli organi emopoietici(280-289)	M + F	31	37	.	.	86 (62-121)	.	85 (63-114)	92 (72-115)	.	.	→	1 
Malattie neuro-psichiatriche (escluse tossicod.)(290-303, 306-319)	F	12	24	.	.	66 (38-119)	.	51 (32-82)	77 (59-97)	↓	↓	→	0 
Malattie neuro-psichiatriche (escluse tossicod.)(290-303, 306-319)	M	27	27	.	.	150 (106-209)	.	102 (74-139)	95 (75-118)	.	.	→	1 








Tabella 2C - Camerano													
Causa (ICD-IX)	Genere	Osservati	Attesi	Cluster sign.	SIR cluster	Tasso std. * 100000 (ic)	Tasso std. > Media reg.	SIR (ic)	BIR (ic)	SIR sign.	BIR sign.	Trend	Livello attenzione
Malattie neuro-psichiatriche (escluse tossicod.)(290-303, 306-319)	M + F	39	50	.	.	107 (80-145)	.	78 (60-101)	82 (67-101)	.	.	→	1
Malattie del sistema nervoso e degli organi di senso(320-389)	F	164	131	.	.	877 (767-1007)	↑	125 (110-142)	125 (112-140)	↑	↑	↓	4 
Malattie del sistema nervoso e degli organi di senso(320-389)	M	140	110	.	.	805 (696-928)	↑	127 (111-146)	124 (111-140)	↑	↑	→	5 
Malattie del sistema nervoso e degli organi di senso(320-389)	M + F	304	241	.	.	842 (764-930)	↑	126 (115-139)	126 (116-137)	↑	↑	↓	4 
Malattia di Alzheimer(3310)	F	8	5	2	280	43 (21-91)	.	164 (93-292)	136 (82-214)	.	.	→	1
Malattia di Alzheimer(3310)	M	9	3	2	323	51 (27-91)	↑	333 (194-573)	248 (148-393)	↑	↑	→	5 
Malattia di Alzheimer(3310)	M + F	17	8	2	286	47 (30-76)	↑	225 (151-334)	176 (121-248)	↑	↑	→	5 
Morbo di Parkinson(3320)	F	<5	<5	.	.	22 (7-65)	.	277 (124-617)	134 (78-239)	↑	.	n.c.	3 
Morbo di Parkinson(3320)	M	<5	<5	.	.	5 (0-28)	.	62 (14-277)	93 (52-157)	.	.	n.c.	1
Morbo di Parkinson(3320)	M + F	5	3	.	.	13 (5-36)	.	163 (79-335)	119 (79-179)	.	.	n.c.	1
Malattia dei neuroni motori(3352)	F	0	1	.	.	0 (0-37)	.	0 (-.)	102 (42-213)	.	.	n.c.	1
Malattia dei neuroni motori(3352)	M	<5	<5	.	.	17 (5-47)	.	531 (212-1329)	90 (59-165)	↑	.	n.c.	3 
Malattia dei neuroni motori(3352)	M + F	<5	<5	.	.	8 (2-30)	.	237 (95-593)	94 (71-127)	.	.	n.c.	1
Sclerosi multipla(340)	F	<5	<5	.	.	5 (0-45)	.	40 (9-179)	100 (75-124)	.	.	n.c.	1
Sclerosi multipla(340)	M	<5	<5	.	.	11 (2-38)	.	170 (56-514)	93 (67-134)	.	.	n.c.	1
Sclerosi multipla(340)	M + F	<5	<5	.	.	8 (2-30)	.	81 (33-204)	95 (69-123)	.	.	n.c.	1
Malattie cardiache(390-429)	F	94	100	.	.	525 (438-633)	.	94 (80-112)	95 (84-107)	.	.	→	1




Tabella 2C - Camerano	Genere	Osservati	Attesi	Cluster sign.	SIR cluster	Tasso std. * 100000 (ic)	Tasso std. > Media reg.	SIR (ic)	BIR (ic)	SIR sign.	BIR sign.	Trend	Livello attenzione
Causa (ICD-IX)													
Malattie cardiache(390-429)	M	144	126	2	107	831 (720-956)	.	115 (100-131)	103 (93-113)	.	.	→	1
Malattie cardiache(390-429)	M + F	238	225	.	.	675 (604-756)	.	106 (95-118)	101 (93-110)	.	.	→	1
Malattie dell'apparato circolatorio(390-459)	F	175	173	.	.	976 (857-1116)	.	101 (89-114)	97 (90-106)	.	.	→	1
Malattie dell'apparato circolatorio(390-459)	M	212	202	.	.	1218 (1083-1366)	.	105 (94-118)	99 (92-107)	.	.	→	1
Malattie dell'apparato circolatorio(390-459)	M + F	387	375	.	.	1094 (1004-1195)	.	103 (95-112)	99 (92-106)	.	.	→	1
Malattie ischemiche del cuore(410-4149)	F	31	33	.	.	170 (123-240)	.	94 (70-127)	92 (75-111)	.	.	→	1
Malattie ischemiche del cuore(410-4149)	M	61	60	.	.	355 (283-441)	.	101 (82-125)	94 (81-109)	.	.	→	1
Malattie ischemiche del cuore(410-4149)	M + F	92	93	.	.	260 (217-314)	.	99 (83-117)	93 (81-107)	.	.	→	1
Insufficienza cardiaca (scompenso cardiaco)(428)	F	41	40	.	.	226 (171-304)	.	102 (79-132)	94 (78-112)	.	.	→	1
Insufficienza cardiaca (scompenso cardiaco)(428)	M	33	36	.	.	187 (137-252)	.	91 (68-121)	87 (72-103)	.	.	→	1
Insufficienza cardiaca (scompenso cardiaco)(428)	M + F	74	77	.	.	207 (169-256)	.	97 (80-117)	91 (78-105)	.	.	→	1
Malattie cerebrovascolari(430-438)	F	61	57	.	.	344 (275-436)	.	107 (86-132)	96 (83-112)	.	.	→	1
Malattie cerebrovascolari(430-438)	M	62	60	.	.	355 (284-440)	.	104 (84-128)	95 (82-110)	.	.	→	1
Malattie cerebrovascolari(430-438)	M + F	123	117	.	.	350 (299-411)	.	105 (91-122)	97 (86-109)	.	.	→	1
Malattie dell'apparato respiratorio(460-5199)	F	96	124	.	.	527 (441-635)	.	77 (65-92)	86 (76-96)	↓	↓	→	0 
Malattie dell'apparato respiratorio(460-5199)	M	116	156	.	.	662 (564-775)	.	74 (64-87)	85 (76-95)	↓	↓	→	0 
Malattie dell'apparato respiratorio(460-5199)	M + F	212	280	.	.	593 (528-669)	.	76 (68-85)	82 (75-90)	↓	↓	→	0 




Tabella 2C - Camerano	Genere	Osservati	Attesi	Cluster sign.	SIR cluster	Tasso std. * 100000 (ic)	Tasso std. > Media reg.	SIR (ic)	BIR (ic)	SIR sign.	BIR sign.	Trend	Livello attenzione
Causa (ICD-IX)													
Malattie polmonari cronico ostruttive(490-492, 494, 496)	F	>5	>5	.	.	79 (48-135)	.	150 (97-233)	115 (78-163)	.	.	→	1
Malattie polmonari cronico ostruttive(490-492, 494, 496)	M	<5	>5	.	.	22 (8-54)	.	33 (15-74)	65 (45-92)	↓	↓	n.c.	0 
Malattie polmonari cronico ostruttive(490-492, 494, 496)	M + F	18	21	.	.	51 (33-82)	.	84 (57-123)	81 (60-110)	.	.	→	1
Pneumoconiosi(500-505)	F	0	0	.	.	0 (0-37)	.	0 (.-.)	56 (4-328)	.	.	n.c.	1
Pneumoconiosi(500-505)	M	<5	<5	.	.	6 (0-30)	.	355 (79-1590)	95 (32-239)	.	.	n.c.	1
Pneumoconiosi(500-505)	M + F	<5	<5	.	.	3 (0-23)	.	324 (72-1453)	96 (41-187)	.	.	n.c.	1
Malattie dell'apparato digerente(520-579)	F	163	150	.	.	896 (783-1029)	.	109 (95-124)	105 (96-114)	.	.	→	1
Malattie dell'apparato digerente(520-579)	M	222	210	2	111	1264 (1128-1414)	.	106 (95-118)	107 (100-116)	.	.	→	1
Malattie dell'apparato digerente(520-579)	M + F	385	360	.	.	1076 (987-1175)	.	107 (98-116)	106 (100-114)	.	.	→	1
Cirrosi e altre malattie croniche del fegato(571)	F	<5	<5	.	.	16 (4-58)	.	94 (38-236)	89 (69-114)	.	.	n.c.	1
Cirrosi e altre malattie croniche del fegato(571)	M	>5	>5	.	.	52 (27-92)	.	150 (87-258)	98 (74-136)	.	.	n.c.	1
Cirrosi e altre malattie croniche del fegato(571)	M + F	12	9	.	.	34 (19-61)	.	131 (82-209)	95 (77-121)	.	.	→	1
Nefropatie croniche e acute(580-589)	F	10	15	.	.	63 (33-120)	.	69 (41-115)	76 (55-104)	.	.	→	1
Nefropatie croniche e acute(580-589)	M	15	20	.	.	87 (54-136)	.	77 (50-117)	84 (64-108)	.	.	→	1
Nefropatie croniche e acute(580-589)	M + F	25	34	.	.	75 (52-111)	.	73 (53-102)	79 (62-98)	.	↓	↓	0 
Malattie dell'apparato urinario(580-599)	F	17	40	.	.	101 (63-164)	.	42 (28-63)	63 (51-79)	↓	↓	↓	0 
Malattie dell'apparato urinario(580-599)	M	64	59	.	.	365 (293-451)	.	109 (89-134)	102 (89-118)	.	.	→	1



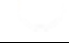

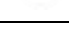
Tabella 2C - Camerano													
Causa (ICD-IX)	Genere	Osservati	Attesi	Cluster sign.	SIR cluster	Tasso std. * 100000 (ic)	Tasso std. > Media reg.	SIR (ic)	BIR (ic)	SIR sign.	BIR sign.	Trend	Livello attenzione
Malattie dell'apparato urinario(580-599)	M + F	81	99	.	.	230 (189-282)	.	82 (68-98)	85 (74-97)	↓	↓	↓	0 
Endometriosi(617)	F	5	6	.	.	27 (11-72)	.	87 (42-179)	82 (56-120)	.	.	n.c.	1 
Malformazioni congenite(740-759)	F	20	24	.	.	106 (70-166)	.	84 (59-122)	99 (81-118)	.	.	→	1 
Malformazioni congenite(740-759)	M	44	34	.	.	241 (184-312)	↑	130 (102-167)	117 (100-140)	↑	.	→	3 
Malformazioni congenite(740-759)	M + F	64	58	.	.	172 (138-217)	.	111 (91-137)	110 (96-126)	.	.	→	1 

Tabella 3C. Incidenza di primi ricoveri ospedalieri per causa nel comune di Castelfidardo, tutte le età, periodo di osservazione 2009-2013












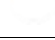

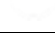


Tabella 3C - Castelfidardo	Genere	Osservati	Attesi	Cluster sign.	SIR cluster	Tasso std. * 100000 (ic)	Tasso std. > Media reg.	SIR (ic)	BIR (ic)	SIR sign.	BIR sign.	Trend	Livello attenzione
Causa (ICD-IX)													
Malattie infettive(001-139)	F	50	71	.	.	101 (79-131)	.	70 (56-89)	77 (64-91)	↓	↓	↑	0 
Malattie infettive(001-139)	M	71	84	.	.	156 (127-194)	.	85 (70-103)	82 (70-96)	.	↓	→	0 
Malattie infettive(001-139)	M + F	121	155	.	.	128 (109-151)	.	78 (67-91)	78 (69-89)	↓	↓	→	0 
Tumori maligni delle vie aeree e digestive superiori(140-150, 161)	F	<5	<5	.	.	7 (2-22)	.	77 (31-193)	84 (60-113)	.	.	n.c.	1 
Tumori maligni delle vie aeree e digestive superiori(140-150, 161)	M	>5	>5	.	.	19 (9-39)	.	66 (37-116)	91 (71-110)	.	.	→	1 
Tumori maligni delle vie aeree e digestive superiori(140-150, 161)	M + F	11	16	.	.	13 (7-23)	.	68 (42-112)	88 (72-105)	.	.	→	1 
Tumori maligni(140-208)	F	251	253	.	.	561 (504-625)	.	99 (90-110)	98 (91-106)	.	.	→	1 
Tumori maligni(140-208)	M	276	278	.	.	656 (593-728)	.	99 (90-110)	100 (93-107)	.	.	→	1 
Tumori maligni(140-208)	M + F	527	531	.	.	608 (565-654)	.	99 (92-107)	99 (93-105)	.	.	→	1 
Tumori maligni dell'esofago(150)	F	0	1	.	.	0 (0-13)	.	0 (-.)	87 (49-143)	.	.	n.c.	1 
Tumori maligni dell'esofago(150)	M	<5	<5	.	.	5 (1-21)	.	136 (45-411)	88 (60-129)	.	.	n.c.	1 
Tumori maligni dell'esofago(150)	M + F	<5	<5	.	.	2 (0-10)	.	97 (32-294)	90 (63-128)	.	.	n.c.	1 
Tumori maligni dello stomaco(151)	F	<5	>5	.	.	9 (3-25)	.	36 (16-81)	64 (45-86)	↓	↓	n.c.	0 
Tumori maligni dello stomaco(151)	M	>5	>5	.	.	26 (15-48)	.	72 (44-118)	86 (65-110)	.	.	→	1 
Tumori maligni dello stomaco(151)	M + F	15	26	.	.	17 (11-29)	.	57 (37-87)	73 (57-91)	↓	↓	↓	0 
Tumori maligni dell'intestino tenue, compreso il duodeno(152)	F	<5	<5	.	.	2 (0-16)	.	120 (27-538)	98 (53-181)	.	.	n.c.	1 



Tabella 3C - Castelfidardo	Genere	Osservati	Attesi	Cluster sign.	SIR cluster	Tasso std. * 100000 (ic)	Tasso std. > Media reg.	SIR (ic)	BIR (ic)	SIR sign.	BIR sign.	Trend	Livello attenzione
Causa (ICD-IX)													
Tumori maligni dell'intestino tenue, compreso il duodeno(152)	M	<5	<5	.	.	2 (0-18)	.	88 (20-394)	79 (53-114)	.	.	n.c.	1
Tumori maligni dell'intestino tenue, compreso il duodeno(152)	M + F	<5	<5	.	.	2 (0-10)	.	102 (34-307)	89 (63-125)	.	.	n.c.	1
Tumori maligni del colon(153)	F	31	25	.	.	69 (50-96)	.	125 (93-168)	105 (86-126)	.	.	→	1
Tumori maligni del colon(153)	M	40	29	.	.	95 (72-128)	.	137 (105-177)	110 (94-131)	↑	.	→	3 ☹️
Tumori maligni del colon(153)	M + F	71	54	.	.	82 (66-101)	.	131 (108-159)	111 (97-128)	↑	.	→	3 ☹️
Tumori maligni del colon-retto(153-154)	F	40	34	.	.	89 (67-118)	.	117 (90-151)	104 (90-121)	.	.	→	1
Tumori maligni del colon-retto(153-154)	M	57	45	.	.	136 (108-173)	.	128 (103-159)	110 (98-126)	↑	.	→	3 ☹️
Tumori maligni del colon-retto(153-154)	M + F	97	79	.	.	112 (94-134)	.	123 (104-145)	111 (99-125)	↑	.	→	3 ☹️
Tumori maligni del retto, della giunzione retto-sigmoidea e dell'ano(154)	F	14	11	.	.	31 (19-53)	.	124 (80-191)	102 (87-122)	.	.	n.c.	1
Tumori maligni del retto, della giunzione retto-sigmoidea e dell'ano(154)	M	19	18	.	.	45 (29-70)	.	107 (73-155)	107 (91-126)	.	.	→	1
Tumori maligni del retto, della giunzione retto-sigmoidea e dell'ano(154)	M + F	33	29	.	.	38 (28-53)	.	113 (85-151)	107 (93-125)	.	.	→	1
Tumore fegato e dotti biliari(1550-1551)	F	<5	<5	.	.	7 (2-22)	.	98 (39-244)	87 (56-132)	.	.	n.c.	1
Tumore fegato e dotti biliari(1550-1551)	M	<5	>5	.	.	5 (1-21)	.	36 (12-108)	83 (60-111)	.	.	n.c.	1
Tumore fegato e dotti biliari(1550-1551)	M + F	5	9	.	.	6 (2-15)	.	58 (28-119)	80 (59-108)	.	.	n.c.	1
Tumori maligni del pancreas(157)	F	9	8	.	.	21 (11-40)	.	111 (64-190)	97 (77-119)	.	.	→	1
Tumori maligni del pancreas(157)	M	8	9	.	.	18 (9-38)	.	89 (50-157)	102 (87-118)	.	.	n.c.	1
Tumori maligni del pancreas(157)	M + F	17	17	.	.	20 (12-31)	.	99 (67-147)	100 (88-114)	.	.	→	1

Tabella 3C - Castelfidardo	Genere	Osservati	Attesi	Cluster sign.	SIR cluster	Tasso std. * 100000 (ic)	Tasso std. > Media reg.	SIR (ic)	BIR (ic)	SIR sign.	BIR sign.	Trend	Livello attenzione
Causa (ICD-IX)													
Tumore del retroperitoneo(1580)	F	0	0	.	.	0 (0-13)	.	0 (.-.)	65 (31-120)	.	.	n.c.	1
Tumore del retroperitoneo(1580)	M	<5	<5	2	270	2 (0-18)	.	178 (40-799)	108 (42-245)	.	.	n.c.	1
Tumore del retroperitoneo(1580)	M + F	<5	<5	.	.	1 (0-9)	.	110 (25-494)	90 (52-145)	.	.	n.c.	1
Tumori maligni del naso(1600)	F	0	0	.	.	0 (0-13)	.	0 (.-.)	160 (78-289)	.	.	n.c.	1
Tumori maligni del naso(1600)	M	0	0	.	.	0 (0-15)	.	0 (.-.)	64 (21-158)	.	.	n.c.	1
Tumori maligni del naso(1600)	M + F	0	1	.	.	0 (0-7)	.	0 (.-.)	87 (35-182)	.	.	n.c.	1
Tumori maligni della laringe(161)	F	0	0	.	.	0 (0-13)	.	0 (.-.)	55 (20-111)	.	.	n.c.	1
Tumori maligni della laringe(161)	M	<5	>5	.	.	7 (2-24)	.	55 (22-139)	91 (68-113)	.	.	n.c.	1
Tumori maligni della laringe(161)	M + F	<5	>5	.	.	4 (1-12)	.	51 (20-128)	90 (67-108)	.	.	n.c.	1
Tumori maligni della trachea, dei bronchi e dei polmoni(162)	F	11	12	.	.	24 (13-44)	.	94 (58-154)	90 (70-115)	.	.	n.c.	1
Tumori maligni della trachea, dei bronchi e dei polmoni(162)	M	35	33	.	.	84 (62-116)	.	107 (81-141)	99 (87-114)	.	.	→	1
Tumori maligni della trachea, dei bronchi e dei polmoni(162)	M + F	46	45	.	.	54 (41-70)	.	103 (81-132)	96 (85-109)	.	.	→	1
Tumori maligni della pleura(163)	F	<5	<5	.	.	4 (1-19)	.	456 (151-1378)	78 (41-156)	↑	.	n.c.	3 😞
Tumori maligni della pleura(163)	M	<5	<5	.	.	2 (0-18)	.	95 (21-424)	83 (38-168)	.	.	n.c.	1
Tumori maligni della pleura(163)	M + F	<5	<5	2	217	3 (1-12)	.	201 (80-502)	96 (53-175)	.	.	n.c.	1
Mesoteliomi pleurici e peritoneali(1588, 163)	F	<5	<5	.	.	4 (1-19)	.	277 (92-837)	91 (49-175)	.	.	n.c.	1
Mesoteliomi pleurici e peritoneali(1588, 163)	M	<5	<5	.	.	2 (0-18)	.	80 (18-358)	89 (42-168)	.	.	n.c.	1

Tabella 3C - Castelfidardo	Genere	Osservati	Attesi	Cluster sign.	SIR cluster	Tasso std. * 100000 (ic)	Tasso std. > Media reg.	SIR (ic)	BIR (ic)	SIR sign.	BIR sign.	Trend	Livello attenzione
Causa (ICD-IX)													
Mesoteliomi pleurici e peritoneali(1588, 163)	M + F	<5	<5	.	.	3 (1-12)	.	152 (61-380)	93 (50-165)	.	.	n.c.	1
Tumori maligni delle ossa e della cartilagine articolare(170)	F	<5	<5	.	.	2 (0-16)	.	126 (28-566)	73 (43-123)	.	.	n.c.	1
Tumori maligni delle ossa e della cartilagine articolare(170)	M	<5	<5	.	.	2 (0-18)	.	79 (18-352)	97 (69-130)	.	.	n.c.	1
Tumori maligni delle ossa e della cartilagine articolare(170)	M + F	<5	<5	.	.	2 (0-10)	.	97 (32-293)	86 (62-115)	.	.	n.c.	1
Tumori maligni del connettivo e di altri tessuti molli(171)	F	<5	<5	.	.	4 (1-19)	.	78 (26-234)	104 (70-141)	.	.	n.c.	1
Tumori maligni del connettivo e di altri tessuti molli(171)	M	<5	<5	.	.	7 (2-24)	.	101 (40-252)	94 (60-143)	.	.	n.c.	1
Tumori maligni del connettivo e di altri tessuti molli(171)	M + F	5	6	.	.	6 (2-14)	.	90 (44-185)	95 (62-140)	.	.	n.c.	1
Melanoma maligno della pelle(172)	F	6	6	.	.	14 (6-32)	.	102 (53-198)	100 (70-141)	.	.	n.c.	1
Melanoma maligno della pelle(172)	M	6	7	.	.	14 (6-33)	.	90 (46-174)	99 (70-139)	.	.	n.c.	1
Melanoma maligno della pelle(172)	M + F	12	13	.	.	14 (8-25)	.	96 (60-153)	102 (76-137)	.	.	→	1
Tumori maligni della mammella(174-175)	F	>5	>5	2	120	169 (139-207)	.	104 (86-125)	101 (89-115)	.	.	→	1
Tumori maligni della mammella(174-175)	M	<5	<5	.	.	5 (1-21)	.	233 (77-703)	114 (65-201)	.	.	n.c.	1
Tumori maligni della mammella(174-175)	M + F	79	75	.	.	89 (73-109)	.	105 (88-127)	102 (89-115)	.	.	→	1
Tumori maligni dell'utero(179-180, 182)	F	14	16	.	.	30 (18-50)	.	90 (58-140)	93 (78-109)	.	.	→	1
Tumori maligni del corpo dell'utero(182)	F	11	11	.	.	24 (13-43)	.	100 (61-164)	97 (79-121)	.	.	→	1
Tumori maligni dell'ovaio e degli altri annessi uterini(183)	F	8	8	.	.	18 (9-36)	.	104 (59-184)	94 (77-113)	.	.	n.c.	1
Tumore della prostata(185)	M	46	42	.	.	110 (85-144)	.	110 (86-140)	105 (89-123)	.	.	→	1





Tabella 3C - Castelfidardo	Genere	Osservati	Attesi	Cluster sign.	SIR cluster	Tasso std. * 100000 (ic)	Tasso std. > Media reg.	SIR (ic)	BIR (ic)	SIR sign.	BIR sign.	Trend	Livello attenzione
Causa (ICD-IX)													
Tumore del testicolo(186)	M	<5	<5	.	.	6 (2-23)	.	81 (32-202)	92 (69-119)	.	.	n.c.	1
Tumori maligni della vescica(188)	F	>5	>5	.	.	11 (4-28)	.	65 (32-134)	91 (75-107)	.	.	n.c.	1
Tumori maligni della vescica(188)	M	37	36	.	.	89 (66-121)	.	103 (79-135)	97 (86-109)	.	.	↑	2 
Tumori maligni della vescica(188)	M + F	42	44	.	.	49 (37-65)	.	97 (75-124)	96 (85-107)	.	.	→	1
Tumori maligni del rene e di altri e non specificati organi urinari(189)	F	<5	>5	.	.	7 (2-22)	.	36 (14-90)	100 (78-122)	↓	.	n.c.	0 
Tumori maligni del rene e di altri e non specificati organi urinari(189)	M	>5	>5	.	.	60 (42-88)	↑	162 (117-224)	107 (89-135)	↑	.	n.c.	3 
Tumori maligni del rene e di altri e non specificati organi urinari(189)	M + F	28	24	2	125	33 (23-47)	.	118 (86-160)	104 (88-124)	.	.	n.c.	1
Tumori maligni dell'encefalo(191)	F	<5	>5	.	.	6 (2-22)	.	51 (20-127)	101 (70-135)	.	.	n.c.	1
Tumori maligni dell'encefalo(191)	M	<5	>5	.	.	9 (3-27)	.	68 (30-151)	88 (68-111)	.	.	n.c.	1
Tumori maligni dell'encefalo(191)	M + F	7	12	.	.	8 (4-17)	.	59 (32-109)	94 (71-116)	.	.	n.c.	1
Tumori maligni del sistema nervoso centrale(191-192)	F	<5	>5	.	.	6 (2-22)	.	46 (18-114)	103 (76-128)	.	.	n.c.	1
Tumori maligni del sistema nervoso centrale(191-192)	M	<5	>5	.	.	9 (3-27)	.	62 (28-138)	87 (63-108)	.	.	n.c.	1
Tumori maligni del sistema nervoso centrale(191-192)	M + F	7	13	.	.	8 (4-17)	.	54 (29-99)	90 (66-111)	↓	.	n.c.	0 
Tumori maligni della ghiandola tiroide(193)	F	12	13	.	.	28 (16-49)	.	92 (58-148)	100 (76-128)	.	.	→	1
Tumori maligni della ghiandola tiroide(193)	M	5	5	.	.	11 (4-28)	.	107 (52-220)	104 (69-151)	.	.	n.c.	1
Tumori maligni della ghiandola tiroide(193)	M + F	17	18	.	.	19 (12-31)	.	96 (65-143)	99 (76-126)	.	.	→	1
Linfoma non Hodgkin(200, 202)	F	10	10	.	.	23 (12-42)	.	103 (61-172)	107 (88-134)	.	.	→	1




Tabella 3C - Castelfidardo	Genere	Osservati	Attesi	Cluster sign.	SIR cluster	Tasso std. * 100000 (ic)	Tasso std. > Media reg.	SIR (ic)	BIR (ic)	SIR sign.	BIR sign.	Trend	Livello attenzione
Causa (ICD-IX)													
Linfoma non Hodgkin(200, 202)	M	9	11	.	.	21 (11-41)	.	80 (46-137)	93 (72-116)	.	.	n.c.	1
Linfoma non Hodgkin(200, 202)	M + F	19	21	.	.	22 (14-34)	.	90 (62-132)	101 (82-121)	.	.	→	1
Tumori emolinfopoiетici(200-208)	F	18	21	.	.	40 (26-63)	.	88 (60-129)	99 (82-117)	.	.	→	1
Tumori emolinfopoiетici(200-208)	M	25	26	.	.	59 (41-86)	.	97 (70-134)	108 (92-127)	.	.	→	1
Tumori emolinfopoiетici(200-208)	M + F	43	46	.	.	49 (38-65)	.	93 (72-119)	103 (88-119)	.	.	→	1
Malattia di Hodgkin(201)	F	0	2	.	.	0 (0-13)	.	0 (.-.)	84 (61-109)	.	.	n.c.	1
Malattia di Hodgkin(201)	M	0	2	.	.	0 (0-15)	.	0 (.-.)	102 (74-134)	.	.	n.c.	1
Malattia di Hodgkin(201)	M + F	0	4	.	.	0 (0-7)	.	0 (.-.)	85 (56-112)	.	.	n.c.	1
Mieloma multiplo e tumori immunoproliferativi(203)	F	<5	<5	.	.	2 (0-16)	.	25 (6-111)	88 (61-118)	.	.	n.c.	1
Mieloma multiplo e tumori immunoproliferativi(203)	M	>5	>5	.	.	14 (6-33)	.	116 (60-224)	103 (71-146)	.	.	n.c.	1
Mieloma multiplo e tumori immunoproliferativi(203)	M + F	7	9	.	.	8 (4-18)	.	76 (41-140)	84 (59-116)	.	.	n.c.	1
Leucemie(204-208)	F	8	6	.	.	17 (9-36)	.	129 (73-229)	111 (82-148)	.	.	n.c.	1
Leucemie(204-208)	M	10	9	2	140	23 (13-44)	.	112 (67-187)	118 (94-154)	.	.	n.c.	1
Leucemie(204-208)	M + F	18	15	.	.	20 (13-32)	.	119 (81-175)	122 (97-153)	.	.	→	1
Gozzo non tossico(240-241)	F	>5	>5	.	.	28 (16-48)	.	60 (38-95)	63 (47-84)	↓	↓	→	0 
Gozzo non tossico(240-241)	M	<5	>5	.	.	5 (1-21)	.	29 (9-86)	51 (32-77)	↓	↓	n.c.	0 
Gozzo non tossico(240-241)	M + F	15	29	.	.	16 (10-28)	.	52 (34-80)	56 (43-74)	↓	↓	→	0 








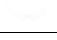
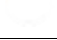





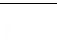
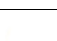
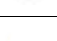
Tabella 3C - Castelfidardo													
Causa (ICD-IX)	Genere	Osservati	Attesi	Cluster sign.	SIR cluster	Tasso std. * 100000 (ic)	Tasso std. > Media reg.	SIR (ic)	BIR (ic)	SIR sign.	BIR sign.	Trend	Livello attenzione
Malattie endocrine e della nutrizione(240-2799)	F	108	141	.	.	231 (196-274)	.	76 (65-90)	81 (71-92)	↓	↓	→	0 
Malattie endocrine e della nutrizione(240-2799)	M	80	107	.	.	177 (145-216)	.	75 (62-90)	85 (74-97)	↓	↓	↓	0 
Malattie endocrine e della nutrizione(240-2799)	M + F	188	248	.	.	205 (181-233)	.	76 (67-85)	80 (72-89)	↓	↓	→	0 
Tireotossicosi(242)	F	>5	>5	.	.	15 (7-32)	.	103 (56-190)	83 (58-119)	.	.	n.c.	1 
Tireotossicosi(242)	M	<5	<5	.	.	2 (0-18)	.	37 (8-166)	57 (28-100)	.	↓	n.c.	0 
Tireotossicosi(242)	M + F	8	10	.	.	9 (4-18)	.	84 (48-150)	69 (49-99)	.	↓	n.c.	0 
Ipotiroidismo(243-244)	F	<5	<5	.	.	7 (2-22)	.	148 (67-330)	78 (57-112)	.	.	n.c.	1 
Ipotiroidismo(243-244)	M	<5	<5	.	.	4 (1-20)	.	68 (23-206)	99 (76-126)	.	.	n.c.	1 
Ipotiroidismo(243-244)	M + F	6	6	.	.	5 (2-14)	.	106 (55-206)	88 (72-108)	.	.	n.c.	1 
Diabete mellito(250)	F	28	21	2	129	61 (43-87)	.	135 (99-184)	111 (84-146)	.	.	→	1 
Diabete mellito(250)	M	19	24	.	.	42 (28-67)	.	79 (54-114)	77 (58-101)	.	.	→	1 
Diabete mellito(250)	M + F	47	45	.	.	52 (40-68)	.	105 (82-133)	93 (75-114)	.	.	→	1 
Malattie del sangue e degli organi emopoietici(280-289)	F	54	47	.	.	120 (94-153)	.	115 (92-144)	110 (91-133)	.	.	→	1 
Malattie del sangue e degli organi emopoietici(280-289)	M	44	43	.	.	105 (80-138)	.	102 (80-130)	106 (86-130)	.	.	→	1 
Malattie del sangue e degli organi emopoietici(280-289)	M + F	98	90	.	.	112 (94-135)	.	109 (92-129)	110 (94-127)	.	.	→	1 
Malattie neuro-psichiatriche (escluse tossicod.)(290-303, 306-319)	F	48	60	.	.	103 (79-134)	.	80 (63-102)	85 (71-101)	.	.	→	1 
Malattie neuro-psichiatriche (escluse tossicod.)(290-303, 306-319)	M	82	69	.	.	178 (147-218)	.	118 (99-142)	103 (88-121)	.	.	→	1 









Tabella 3C - Castelfidardo	Genere	Osservati	Attesi	Cluster sign.	SIR cluster	Tasso std. * 100000 (ic)	Tasso std. > Media reg.	SIR (ic)	BIR (ic)	SIR sign.	BIR sign.	Trend	Livello attenzione
Causa (ICD-IX)													
Malattie neuro-psichiatriche (escluse tossicod.)(290-303, 306-319)	M + F	130	129	.	.	140 (120-163)	.	101 (87-116)	96 (84-108)	.	.	→	1
Malattie del sistema nervoso e degli organi di senso(320-389)	F	359	324	.	.	792 (725-867)	↑	111 (102-121)	112 (103-121)	↑	↑	↓	4 
Malattie del sistema nervoso e degli organi di senso(320-389)	M	279	274	.	.	646 (583-716)	.	102 (92-113)	104 (96-114)	.	.	↓	0 
Malattie del sistema nervoso e degli organi di senso(320-389)	M + F	638	597	.	.	721 (674-771)	.	107 (100-114)	108 (102-115)	↑	↑	↓	4 
Malattia di Alzheimer(3310)	F	18	12	.	.	41 (27-65)	.	157 (107-231)	119 (83-165)	↑	.	→	3 
Malattia di Alzheimer(3310)	M	11	6	2	323	27 (15-49)	.	172 (105-281)	146 (95-214)	↑	.	→	3 
Malattia di Alzheimer(3310)	M + F	29	18	2	286	34 (24-48)	.	162 (120-220)	128 (96-168)	↑	.	→	3 
Morbo di Parkinson(3320)	F	5	3	.	.	11 (4-28)	.	146 (71-300)	115 (71-180)	.	.	n.c.	1
Morbo di Parkinson(3320)	M	9	4	.	.	22 (11-43)	↑	232 (135-399)	124 (82-194)	↑	.	n.c.	3 
Morbo di Parkinson(3320)	M + F	14	7	.	.	17 (10-28)	↑	192 (124-296)	126 (90-175)	↑	.	→	3 
Malattia dei neuroni motori(3352)	F	<5	<5	.	.	7 (2-22)	.	176 (71-442)	123 (64-226)	.	.	n.c.	1
Malattia dei neuroni motori(3352)	M	0	1	.	.	0 (0-15)	.	0 (.-.)	75 (42-114)	.	.	n.c.	1
Malattia dei neuroni motori(3352)	M + F	<5	<5	.	.	3 (1-12)	.	97 (39-243)	92 (68-120)	.	.	n.c.	1
Sclerosi multipla(340)	F	>5	>5	.	.	15 (7-32)	.	106 (57-195)	102 (80-125)	.	.	n.c.	1
Sclerosi multipla(340)	M	<5	<5	.	.	5 (1-21)	.	64 (21-194)	89 (62-119)	.	.	n.c.	1
Sclerosi multipla(340)	M + F	9	10	.	.	10 (5-19)	.	93 (54-159)	94 (72-118)	.	.	n.c.	1
Malattie cardiache(390-429)	F	222	239	.	.	517 (461-580)	.	93 (83-104)	93 (85-102)	.	.	→	1







Tabella 3C - Castelfidardo	Genere	Osservati	Attesi	Cluster sign.	SIR cluster	Tasso std. * 100000 (ic)	Tasso std. > Media reg.	SIR (ic)	BIR (ic)	SIR sign.	BIR sign.	Trend	Livello attenzione
Causa (ICD-IX)													
Malattie cardiache(390-429)	M	308	303	.	.	734 (667-810)	.	102 (92-112)	98 (91-105)	.	.	→	1
Malattie cardiache(390-429)	M + F	530	542	.	.	623 (579-671)	.	98 (91-105)	96 (90-102)	.	.	→	1
Malattie dell'apparato circolatorio(390-459)	F	391	421	.	.	890 (817-970)	.	93 (85-101)	93 (87-99)	.	↓	↓	0 
Malattie dell'apparato circolatorio(390-459)	M	498	494	.	.	1168 (1083-1261)	.	101 (94-108)	98 (92-104)	.	.	↓	0 
Malattie dell'apparato circolatorio(390-459)	M + F	889	915	.	.	1026 (970-1086)	.	97 (92-103)	95 (91-100)	.	↓	↓	0 
Malattie ischemiche del cuore(410-4149)	F	81	79	.	.	188 (155-229)	.	103 (86-123)	94 (82-109)	.	.	→	1
Malattie ischemiche del cuore(410-4149)	M	137	147	.	.	327 (282-380)	.	93 (81-107)	90 (81-101)	.	.	→	1
Malattie ischemiche del cuore(410-4149)	M + F	218	226	.	.	256 (228-288)	.	97 (86-108)	92 (84-101)	.	.	→	1
Insufficienza cardiaca (scompenso cardiaco)(428)	F	84	95	.	.	200 (165-243)	.	89 (74-106)	86 (74-98)	.	↓	→	0 
Insufficienza cardiaca (scompenso cardiaco)(428)	M	78	83	.	.	189 (155-232)	.	94 (78-113)	87 (76-100)	.	.	→	1
Insufficienza cardiaca (scompenso cardiaco)(428)	M + F	162	178	.	.	195 (170-223)	.	91 (80-103)	86 (77-96)	.	↓	→	0 
Malattie cerebrovascolari(430-438)	F	133	136	.	.	312 (269-363)	.	98 (85-113)	94 (84-105)	.	.	→	1
Malattie cerebrovascolari(430-438)	M	142	142	.	.	340 (294-394)	.	100 (87-115)	96 (86-107)	.	.	→	1
Malattie cerebrovascolari(430-438)	M + F	275	278	.	.	326 (294-361)	.	99 (90-109)	96 (88-104)	.	.	↓	0 
Malattie dell'apparato respiratorio(460-5199)	F	314	311	.	.	694 (631-766)	.	101 (92-111)	99 (92-108)	.	.	→	1
Malattie dell'apparato respiratorio(460-5199)	M	361	391	.	.	809 (740-886)	.	92 (85-101)	94 (88-102)	.	.	→	1
Malattie dell'apparato respiratorio(460-5199)	M + F	675	702	.	.	751 (703-802)	.	96 (90-102)	97 (92-103)	.	.	→	1










Tabella 3C - Castelfidardo													
Causa (ICD-IX)	Genere	Osservati	Attesi	Cluster sign.	SIR cluster	Tasso std. * 100000 (ic)	Tasso std. > Media reg.	SIR (ic)	BIR (ic)	SIR sign.	BIR sign.	Trend	Livello attenzione
Malattie polmonari cronico ostruttive(490-492, 494, 496)	F	15	22	.	.	35 (21-57)	.	68 (44-103)	77 (57-103)	.	.	→	1
Malattie polmonari cronico ostruttive(490-492, 494, 496)	M	18	28	.	.	43 (28-69)	.	63 (43-93)	72 (55-92)	↓	↓	n.c.	0 
Malattie polmonari cronico ostruttive(490-492, 494, 496)	M + F	33	51	.	.	39 (29-54)	.	65 (49-87)	71 (56-89)	↓	↓	→	0 
Pneumoconiosi(500-505)	F	<5	<5	.	.	2 (0-16)	.	1642 (366-7362)	95 (13-677)	↑	.	n.c.	1
Pneumoconiosi(500-505)	M	0	1	.	.	0 (0-15)	.	0 (-.)	70 (21-156)	.	.	n.c.	1
Pneumoconiosi(500-505)	M + F	<5	<5	.	.	1 (0-9)	.	136 (30-609)	89 (39-158)	.	.	n.c.	1
Malattie dell'apparato digerente(520-579)	F	383	378	.	.	835 (766-911)	.	101 (93-110)	101 (95-108)	.	.	→	1
Malattie dell'apparato digerente(520-579)	M	594	531	2	111	1355 (1265-1453)	↑	112 (105-120)	110 (104-117)	↑	↑	↑	6 
Malattie dell'apparato digerente(520-579)	M + F	977	909	.	.	1089 (1032-1150)	↑	107 (102-113)	107 (102-111)	↑	↑	→	5 
Cirrosi e altre malattie croniche del fegato(571)	F	10	8	.	.	23 (12-43)	.	125 (75-210)	90 (73-112)	.	.	n.c.	1
Cirrosi e altre malattie croniche del fegato(571)	M	20	15	.	.	47 (31-72)	.	133 (92-191)	102 (81-131)	.	.	→	1
Cirrosi e altre malattie croniche del fegato(571)	M + F	30	23	.	.	35 (25-49)	.	130 (97-176)	99 (83-120)	.	.	→	1
Nefropatie croniche e acute(580-589)	F	23	35	.	.	51 (35-76)	.	66 (47-93)	70 (55-88)	↓	↓	→	0 
Nefropatie croniche e acute(580-589)	M	43	46	.	.	103 (78-136)	.	93 (72-119)	89 (74-107)	.	.	→	1
Nefropatie croniche e acute(580-589)	M + F	66	81	.	.	76 (62-95)	.	81 (66-99)	80 (68-94)	↓	↓	→	0 
Malattie dell'apparato urinario(580-599)	F	74	100	.	.	158 (129-195)	.	74 (61-90)	76 (65-88)	↓	↓	→	0 
Malattie dell'apparato urinario(580-599)	M	142	143	.	.	332 (287-385)	.	99 (86-114)	99 (90-110)	.	.	→	1



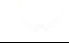
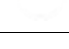
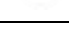
Tabella 3C - Castelfidardo													
Causa (ICD-IX)	Genere	Osservati	Attesi	Cluster sign.	SIR cluster	Tasso std. * 100000 (ic)	Tasso std. > Media reg.	SIR (ic)	BIR (ic)	SIR sign.	BIR sign.	Trend	Livello attenzione
Malattie dell'apparato urinario(580-599)	M + F	216	243	.	.	243 (216-274)	.	89 (79-99)	89 (81-98)	↓	↓	→	0 
Endometriosi(617)	F	17	15	.	.	35 (22-56)	.	111 (74-164)	85 (64-113)	.	.	n.c.	1 
Malformazioni congenite(740-759)	F	61	63	.	.	124 (99-157)	.	97 (79-120)	96 (83-111)	.	.	→	1 
Malformazioni congenite(740-759)	M	104	90	.	.	218 (184-260)	.	116 (99-136)	108 (96-123)	.	.	→	1 
Malformazioni congenite(740-759)	M + F	165	153	.	.	170 (149-195)	.	108 (95-123)	104 (94-115)	.	.	→	1 

Tabella 4C. Incidenza di primi ricoveri ospedalieri per causa nel comune di Civitanova Marche, tutte le età, periodo di osservazione 2009-2013











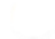





Tabella 4C - Civitanova Marche	Genere	Osservati	Attesi	Cluster sign.	SIR cluster	Tasso std. * 100000 (ic)	Tasso std. > Media reg.	SIR (ic)	BIR (ic)	SIR sign.	BIR sign.	Trend	Livello attenzione
Causa (ICD-IX)													
Malattie infettive(001-139)	F	137	161	.	.	132 (114-152)	.	85 (74-98)	88 (77-100)	↓	↓	↓	0 
Malattie infettive(001-139)	M	156	179	.	.	162 (141-185)	.	87 (76-99)	88 (78-100)	↓	↓	→	0 
Malattie infettive(001-139)	M + F	293	340	.	.	146 (132-161)	.	86 (78-95)	88 (80-96)	↓	↓	↓	0 
Tumori maligni delle vie aeree e digestive superiori(140-150, 161)	F	5	12	.	.	5 (2-11)	.	42 (20-87)	90 (62-117)	↓	.	n.c.	0 
Tumori maligni delle vie aeree e digestive superiori(140-150, 161)	M	31	30	.	.	34 (24-46)	.	105 (78-141)	104 (86-124)	.	.	→	1 
Tumori maligni delle vie aeree e digestive superiori(140-150, 161)	M + F	36	41	.	.	19 (14-25)	.	87 (66-114)	98 (82-114)	.	.	→	1 
Tumori maligni(140-208)	F	595	631	.	.	586 (547-627)	.	94 (88-101)	97 (92-103)	.	.	→	1 
Tumori maligni(140-208)	M	684	644	.	.	751 (705-801)	↑	106 (100-113)	106 (100-112)	.	↑	→	4 
Tumori maligni(140-208)	M + F	1279	1274	.	.	665 (635-697)	.	100 (96-105)	102 (97-106)	.	.	→	1 
Tumori maligni dell'esofago(150)	F	<5	<5	.	.	2 (0-7)	.	123 (41-373)	100 (63-150)	.	.	n.c.	1 
Tumori maligni dell'esofago(150)	M	<5	<5	.	.	2 (0-8)	.	50 (16-150)	102 (64-132)	.	.	n.c.	1 
Tumori maligni dell'esofago(150)	M + F	<5	>5	.	.	2 (1-5)	.	71 (32-158)	92 (63-129)	.	.	n.c.	1 
Tumori maligni dello stomaco(151)	F	24	27	.	.	24 (17-34)	.	89 (64-124)	94 (73-121)	.	.	→	1 
Tumori maligni dello stomaco(151)	M	27	33	.	.	30 (21-42)	.	81 (59-111)	87 (68-108)	.	.	→	1 
Tumori maligni dello stomaco(151)	M + F	51	60	.	.	27 (21-34)	.	85 (67-106)	89 (73-106)	.	.	→	1 
Tumori maligni dell'intestino tenue, compreso il duodeno(152)	F	<5	<5	.	.	3 (1-8)	.	152 (61-380)	101 (59-172)	.	.	n.c.	1 


Tabella 4C - Civitanova Marche													
Causa (ICD-IX)	Genere	Osservati	Attesi	Cluster sign.	SIR cluster	Tasso std. * 100000 (ic)	Tasso std. > Media reg.	SIR (ic)	BIR (ic)	SIR sign.	BIR sign.	Trend	Livello attenzione
Tumori maligni dell'intestino tenue, compreso il duodeno(152)	M	>5	<5	.	.	6 (2-13)	.	143 (70-294)	113 (85-155)	.	.	n.c.	1
Tumori maligni dell'intestino tenue, compreso il duodeno(152)	M + F	8	6	.	.	4 (2-8)	.	146 (82-260)	110 (85-152)	.	.	n.c.	1
Tumori maligni del colon(153)	F	76	64	.	.	75 (62-92)	↑	118 (98-143)	112 (96-132)	.	.	→	1
Tumori maligni del colon(153)	M	76	71	.	.	85 (70-103)	.	107 (89-129)	105 (91-122)	.	.	→	1
Tumori maligni del colon(153)	M + F	152	135	.	.	80 (70-92)	↑	113 (98-129)	110 (98-124)	.	.	→	1
Tumori maligni del colon-retto(153-154)	F	90	85	.	.	89 (75-107)	.	105 (89-125)	104 (92-119)	.	.	→	1
Tumori maligni del colon-retto(153-154)	M	98	101	.	.	109 (92-130)	.	97 (82-115)	99 (88-110)	.	.	→	1
Tumori maligni del colon-retto(153-154)	M + F	188	186	.	.	99 (87-112)	.	101 (90-114)	102 (92-112)	.	.	→	1
Tumori maligni del retto, della giunzione retto-sigmoidea e dell'ano(154)	F	19	27	.	.	19 (12-28)	.	69 (48-101)	97 (79-110)	.	.	→	1
Tumori maligni del retto, della giunzione retto-sigmoidea e dell'ano(154)	M	32	37	.	.	35 (26-48)	.	87 (65-116)	95 (81-109)	.	.	→	1
Tumori maligni del retto, della giunzione retto-sigmoidea e dell'ano(154)	M + F	51	64	.	.	27 (21-34)	.	79 (63-100)	93 (80-105)	↓	.	→	0 
Tumore fegato e dotti biliari(1550-1551)	F	9	7	.	.	9 (5-16)	.	127 (74-218)	103 (70-153)	.	.	n.c.	1
Tumore fegato e dotti biliari(1550-1551)	M	15	14	.	.	16 (10-26)	.	107 (70-164)	103 (79-135)	.	.	→	1
Tumore fegato e dotti biliari(1550-1551)	M + F	24	21	.	.	12 (9-18)	.	114 (82-159)	108 (84-141)	.	.	→	1
Tumori maligni del pancreas(157)	F	13	20	.	.	13 (8-22)	.	64 (41-100)	92 (69-110)	.	.	n.c.	1
Tumori maligni del pancreas(157)	M	22	20	.	.	24 (16-35)	.	110 (77-156)	100 (87-114)	.	.	→	1
Tumori maligni del pancreas(157)	M + F	35	40	.	.	18 (14-25)	.	87 (66-114)	97 (83-109)	.	.	→	1

Tabella 4C - Civitanova Marche	Genere	Osservati	Attesi	Cluster sign.	SIR cluster	Tasso std. * 100000 (ic)	Tasso std. > Media reg.	SIR (ic)	BIR (ic)	SIR sign.	BIR sign.	Trend	Livello attenzione
Causa (ICD-IX)													
Tumore del retroperitoneo(1580)	F	<5	<5	.	.	2 (0-7)	.	162 (54-490)	107 (63-181)	.	.	n.c.	1
Tumore del retroperitoneo(1580)	M	0	1	.	.	0 (0-5)	.	0 (.-)	68 (19-141)	.	.	n.c.	1
Tumore del retroperitoneo(1580)	M + F	<5	<5	.	.	1 (0-4)	.	88 (29-266)	97 (59-147)	.	.	n.c.	1
Tumori maligni del naso(1600)	F	<5	<5	.	.	2 (0-7)	.	780 (258-2358)	68 (31-139)	↑	.	n.c.	3 😊
Tumori maligni del naso(1600)	M	<5	<5	.	.	1 (0-7)	.	100 (22-446)	135 (61-290)	.	.	n.c.	1
Tumori maligni del naso(1600)	M + F	<5	<5	.	.	2 (0-5)	.	238 (95-596)	139 (71-296)	.	.	n.c.	1
Tumori maligni della laringe(161)	F	0	2	.	.	0 (0-4)	.	0 (.-)	91 (32-153)	.	.	n.c.	1
Tumori maligni della laringe(161)	M	14	13	.	.	15 (9-24)	.	105 (68-162)	104 (85-129)	.	.	→	1
Tumori maligni della laringe(161)	M + F	14	15	.	.	7 (4-12)	.	93 (60-143)	104 (84-124)	.	.	→	1
Tumori maligni della trachea, dei bronchi e dei polmoni(162)	F	29	31	.	.	29 (21-40)	.	94 (69-127)	95 (75-117)	.	.	→	1
Tumori maligni della trachea, dei bronchi e dei polmoni(162)	M	100	81	.	.	110 (93-131)	↑	124 (105-146)	114 (101-130)	↑	↑	→	5 😡
Tumori maligni della trachea, dei bronchi e dei polmoni(162)	M + F	129	112	.	.	68 (58-79)	↑	115 (100-133)	109 (99-122)	.	.	→	1
Tumori maligni della pleura(163)	F	<5	<5	.	.	1 (0-5)	.	63 (14-283)	101 (49-163)	.	.	n.c.	1
Tumori maligni della pleura(163)	M	>5	<5	.	.	9 (4-17)	↑	226 (127-401)	151 (80-271)	↑	.	n.c.	3 😊
Tumori maligni della pleura(163)	M + F	9	5	.	.	5 (3-9)	↑	176 (102-302)	128 (77-214)	↑	.	n.c.	3 😊
Mesoteliomi pleurici e peritoneali(1588, 163)	F	<5	<5	.	.	1 (0-5)	.	45 (10-203)	91 (45-148)	.	.	n.c.	1
Mesoteliomi pleurici e peritoneali(1588, 163)	M	>5	<5	.	.	9 (4-17)	↑	216 (121-383)	134 (76-238)	↑	.	n.c.	3 😊




Tabella 4C - Civitanova Marche													
Causa (ICD-IX)	Genere	Osservati	Attesi	Cluster sign.	SIR cluster	Tasso std. * 100000 (ic)	Tasso std. > Media reg.	SIR (ic)	BIR (ic)	SIR sign.	BIR sign.	Trend	Livello attenzione
Mesoteliomi pleurici e peritoneali(1588, 163)	M + F	9	6	.	.	5 (3-9)	.	152 (88-261)	118 (72-186)	.	.	n.c.	1
Tumori maligni delle ossa e della cartilagine articolare(170)	F	<5	<5	.	.	4 (1-10)	.	146 (66-326)	118 (78-183)	.	.	n.c.	1
Tumori maligni delle ossa e della cartilagine articolare(170)	M	<5	<5	.	.	2 (0-8)	.	71 (24-216)	98 (74-125)	.	.	n.c.	1
Tumori maligni delle ossa e della cartilagine articolare(170)	M + F	6	6	.	.	3 (1-6)	.	108 (56-210)	105 (79-135)	.	.	n.c.	1
Tumori maligni del connettivo e di altri tessuti molli(171)	F	6	6	.	.	6 (2-12)	.	107 (55-207)	98 (69-130)	.	.	n.c.	1
Tumori maligni del connettivo e di altri tessuti molli(171)	M	10	7	.	.	11 (6-19)	.	137 (82-229)	110 (74-165)	.	.	n.c.	1
Tumori maligni del connettivo e di altri tessuti molli(171)	M + F	16	13	.	.	8 (5-13)	.	124 (82-186)	108 (76-150)	.	.	n.c.	1
Melanoma maligno della pelle(172)	F	9	15	.	.	9 (5-16)	.	61 (36-105)	77 (54-106)	.	.	↓	0 
Melanoma maligno della pelle(172)	M	12	15	.	.	13 (7-21)	.	82 (51-131)	80 (56-111)	.	.	n.c.	1
Melanoma maligno della pelle(172)	M + F	21	29	.	.	11 (7-16)	.	72 (50-102)	76 (57-99)	.	↓	→	0 
Tumori maligni della mammella(174-175)	F	>5	>5	.	.	165 (145-188)	.	90 (80-102)	95 (86-106)	.	.	→	1
Tumori maligni della mammella(174-175)	M	<5	<5	.	.	1 (0-7)	.	62 (14-278)	94 (55-160)	.	.	n.c.	1
Tumori maligni della mammella(174-175)	M + F	172	191	.	.	86 (76-98)	.	90 (79-102)	95 (86-106)	.	.	→	1
Tumori maligni dell'utero(179-180, 182)	F	34	41	.	.	33 (24-44)	.	83 (63-110)	100 (83-114)	.	.	→	1
Tumori maligni del corpo dell'utero(182)	F	20	26	.	.	19 (13-29)	.	76 (53-109)	94 (74-110)	.	.	→	1
Tumori maligni dell'ovaio e degli altri annessi uterini(183)	F	17	19	.	.	17 (11-25)	.	87 (59-130)	98 (80-114)	.	.	→	1
Tumore della prostata(185)	M	125	100	2	121	136 (117-159)	↑	125 (108-145)	123 (108-140)	↑	↑	→	5 

Tabella 4C - Civitanova Marche	Genere	Osservati	Attesi	Cluster sign.	SIR cluster	Tasso std. * 100000 (ic)	Tasso std. > Media reg.	SIR (ic)	BIR (ic)	SIR sign.	BIR sign.	Trend	Livello attenzione
Causa (ICD-IX)													
Tumore del testicolo(186)	M	8	9	.	.	8 (4-16)	.	94 (53-167)	102 (78-129)	.	.	→	1
Tumori maligni della vescica(188)	F	17	21	.	.	17 (11-26)	.	82 (55-122)	100 (83-116)	.	.	n.c.	1
Tumori maligni della vescica(188)	M	87	85	.	.	96 (80-115)	.	102 (86-122)	101 (91-113)	.	.	→	1
Tumori maligni della vescica(188)	M + F	104	106	.	.	55 (46-65)	.	98 (84-116)	101 (91-112)	.	.	→	1
Tumori maligni del rene e di altri e non specificati organi urinari(189)	F	21	19	.	.	21 (14-30)	.	113 (79-161)	98 (82-119)	.	.	→	1
Tumori maligni del rene e di altri e non specificati organi urinari(189)	M	42	37	.	.	46 (35-60)	.	113 (88-146)	105 (89-125)	.	.	→	1
Tumori maligni del rene e di altri e non specificati organi urinari(189)	M + F	63	56	.	.	33 (26-41)	.	113 (92-139)	104 (91-121)	.	.	→	1
Tumori maligni dell'encefalo(191)	F	8	12	.	.	8 (4-15)	.	66 (37-117)	82 (59-108)	.	.	→	1
Tumori maligni dell'encefalo(191)	M	21	16	.	.	22 (15-33)	.	134 (94-191)	111 (91-141)	.	.	n.c.	1
Tumori maligni dell'encefalo(191)	M + F	29	28	.	.	15 (11-21)	.	104 (77-141)	100 (82-122)	.	.	→	1
Tumori maligni del sistema nervoso centrale(191-192)	F	11	14	.	.	11 (6-18)	.	78 (48-128)	89 (67-111)	.	.	→	1
Tumori maligni del sistema nervoso centrale(191-192)	M	22	17	.	.	23 (16-34)	.	129 (91-183)	109 (90-141)	.	.	n.c.	1
Tumori maligni del sistema nervoso centrale(191-192)	M + F	33	31	.	.	17 (12-23)	.	106 (80-141)	101 (82-123)	.	.	→	1
Tumori maligni della ghiandola tiroide(193)	F	>5	>5	.	.	27 (20-38)	.	110 (81-149)	102 (81-128)	.	.	→	1
Tumori maligni della ghiandola tiroide(193)	M	<5	>5	.	.	4 (1-11)	.	49 (22-109)	79 (51-117)	.	.	n.c.	1
Tumori maligni della ghiandola tiroide(193)	M + F	33	35	.	.	16 (12-22)	.	96 (72-127)	95 (75-117)	.	.	→	1
Linfoma non Hodgkin(200, 202)	F	21	22	.	.	20 (14-30)	.	97 (68-139)	101 (84-124)	.	.	→	1



Tabella 4C - Civitanova Marche	Genere	Osservati	Attesi	Cluster sign.	SIR cluster	Tasso std. * 100000 (ic)	Tasso std. > Media reg.	SIR (ic)	BIR (ic)	SIR sign.	BIR sign.	Trend	Livello attenzione
Causa (ICD-IX)													
Linfoma non Hodgkin(200, 202)	M	26	27	.	.	28 (19-39)	.	96 (70-133)	100 (82-121)	.	.	→	1
Linfoma non Hodgkin(200, 202)	M + F	47	49	.	.	24 (18-31)	.	97 (76-123)	101 (86-119)	.	.	→	1
Tumori emolinfopoiетici(200-208)	F	48	47	.	.	47 (36-60)	.	102 (81-130)	103 (88-122)	.	.	→	1
Tumori emolinfopoiетici(200-208)	M	60	55	.	.	65 (52-81)	.	110 (89-136)	103 (88-120)	.	.	→	1
Tumori emolinfopoiетici(200-208)	M + F	108	102	.	.	56 (47-65)	.	106 (91-125)	105 (92-119)	.	.	→	1
Malattia di Hodgkin(201)	F	>5	>5	.	.	7 (3-13)	.	145 (79-267)	110 (90-138)	.	.	n.c.	1
Malattia di Hodgkin(201)	M	<5	<5	.	.	4 (1-11)	.	93 (42-208)	98 (75-126)	.	.	n.c.	1
Malattia di Hodgkin(201)	M + F	11	9	.	.	5 (3-9)	.	121 (74-197)	107 (82-139)	.	.	→	1
Mieloma multiplo e tumori immunoproliferativi(203)	F	12	9	.	.	12 (7-20)	.	132 (82-211)	102 (79-136)	.	.	→	1
Mieloma multiplo e tumori immunoproliferativi(203)	M	12	10	.	.	14 (8-23)	.	118 (73-188)	99 (71-138)	.	.	n.c.	1
Mieloma multiplo e tumori immunoproliferativi(203)	M + F	24	19	.	.	13 (9-18)	.	124 (89-174)	107 (82-138)	.	.	→	1
Leucemie(204-208)	F	13	14	.	.	13 (8-21)	.	93 (59-146)	100 (75-131)	.	.	→	1
Leucemie(204-208)	M	24	18	.	.	26 (18-37)	.	137 (98-191)	104 (85-133)	.	.	→	1
Leucemie(204-208)	M + F	37	32	.	.	19 (14-25)	.	117 (90-154)	109 (88-135)	.	.	→	1
Gozzo non tossico(240-241)	F	45	46	.	.	43 (33-55)	.	99 (78-126)	94 (76-115)	.	.	↓	0 
Gozzo non tossico(240-241)	M	19	14	.	.	20 (13-30)	.	136 (93-198)	115 (83-157)	.	.	→	1
Gozzo non tossico(240-241)	M + F	64	59	.	.	32 (25-39)	.	108 (88-132)	101 (83-122)	.	.	↓	0 







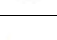


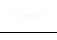
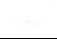







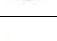
Tabella 4C - Civitanova Marche													
Causa (ICD-IX)	Genere	Osservati	Attesi	Cluster sign.	SIR cluster	Tasso std. * 100000 (ic)	Tasso std. > Media reg.	SIR (ic)	BIR (ic)	SIR sign.	BIR sign.	Trend	Livello attenzione
Malattie endocrine e della nutrizione(240-2799)	F	349	305	.	.	337 (307-368)	↑	114 (105-125)	112 (103-121)	↑	↑	↓	4 
Malattie endocrine e della nutrizione(240-2799)	M	260	223	.	.	274 (246-304)	↑	116 (105-129)	114 (104-126)	↑	↑	↓	4 
Malattie endocrine e della nutrizione(240-2799)	M + F	609	528	1	113	306 (286-328)	↑	115 (108-123)	114 (107-122)	↑	↑	↓	5 
Tireotossicosi(242)	F	>5	>5	.	.	11 (7-19)	.	80 (50-128)	86 (61-116)	.	.	→	1 
Tireotossicosi(242)	M	<5	>5	.	.	4 (1-11)	.	78 (35-173)	81 (47-134)	.	.	n.c.	1 
Tireotossicosi(242)	M + F	16	20	.	.	8 (5-13)	.	79 (53-119)	83 (60-111)	.	.	↓	0 
Ipotiroidismo(243-244)	F	6	7	.	.	6 (2-12)	.	82 (42-159)	107 (77-139)	.	.	n.c.	1 
Ipotiroidismo(243-244)	M	7	6	.	.	7 (3-14)	.	119 (64-219)	105 (84-133)	.	.	n.c.	1 
Ipotiroidismo(243-244)	M + F	13	13	.	.	6 (4-11)	.	98 (63-155)	108 (91-129)	.	.	→	1 
Diabete mellito(250)	F	39	52	.	.	39 (29-51)	.	75 (58-98)	72 (56-92)	↓	↓	↓	0 
Diabete mellito(250)	M	41	65	.	.	44 (33-57)	.	63 (49-82)	65 (51-82)	↓	↓	→	0 
Diabete mellito(250)	M + F	80	116	.	.	41 (34-50)	.	69 (57-83)	69 (58-83)	↓	↓	↓	0 
Malattie del sangue e degli organi emopoietici(280-289)	F	118	104	.	.	116 (99-136)	.	113 (97-132)	109 (94-126)	.	.	→	1 
Malattie del sangue e degli organi emopoietici(280-289)	M	110	84	.	.	119 (101-140)	↑	131 (112-154)	122 (105-141)	↑	↑	→	5 
Malattie del sangue e degli organi emopoietici(280-289)	M + F	228	188	2	116	117 (105-131)	↑	121 (109-135)	117 (105-130)	↑	↑	→	5 
Malattie neuro-psichiatriche (escluse tossicod.)(290-303, 306-319)	F	125	136	.	.	119 (102-138)	.	92 (79-106)	92 (80-105)	.	.	→	1 
Malattie neuro-psichiatriche (escluse tossicod.)(290-303, 306-319)	M	164	154	.	.	168 (147-192)	.	107 (94-121)	106 (94-120)	.	.	→	1 











Tabella 4C - Civitanova Marche													
Causa (ICD-IX)	Genere	Osservati	Attesi	Cluster sign.	SIR cluster	Tasso std. * 100000 (ic)	Tasso std. > Media reg.	SIR (ic)	BIR (ic)	SIR sign.	BIR sign.	Trend	Livello attenzione
Malattie neuro-psichiatriche (escluse tossicod.)(290-303, 306-319)	M + F	289	290	.	.	143 (129-158)	.	100 (91-110)	100 (91-110)	.	.	→	1
Malattie del sistema nervoso e degli organi di senso(320-389)	F	823	748	1	114	805 (760-854)	↑	110 (104-117)	110 (104-116)	↑	↑	↓	5 
Malattie del sistema nervoso e degli organi di senso(320-389)	M	661	603	1	113	715 (669-763)	↑	110 (103-117)	109 (102-116)	↑	↑	↓	5 
Malattie del sistema nervoso e degli organi di senso(320-389)	M + F	1484	1351	1	113	762 (729-795)	↑	110 (105-115)	110 (105-114)	↑	↑	↓	5 
Malattia di Alzheimer(3310)	F	21	42	.	.	21 (14-31)	.	50 (35-71)	58 (40-79)	↓	↓	n.c.	0 
Malattia di Alzheimer(3310)	M	9	20	.	.	10 (5-18)	.	46 (27-79)	48 (29-77)	↓	↓	n.c.	0 
Malattia di Alzheimer(3310)	M + F	30	62	.	.	16 (11-22)	.	49 (36-66)	55 (41-73)	↓	↓	n.c.	0 
Morbo di Parkinson(3320)	F	<5	>5	.	.	3 (1-8)	.	33 (13-83)	76 (42-118)	↓	.	n.c.	0 
Morbo di Parkinson(3320)	M	>5	>5	.	.	17 (10-27)	.	130 (85-199)	131 (91-186)	.	.	→	1
Morbo di Parkinson(3320)	M + F	18	21	.	.	10 (6-15)	.	88 (60-129)	104 (75-137)	.	.	→	1
Malattia dei neuroni motori(3352)	F	<5	<5	.	.	3 (1-8)	.	75 (30-187)	114 (61-193)	.	.	n.c.	1
Malattia dei neuroni motori(3352)	M	<5	<5	.	.	3 (1-10)	.	72 (29-180)	103 (65-148)	.	.	n.c.	1
Malattia dei neuroni motori(3352)	M + F	6	8	.	.	3 (1-7)	.	73 (38-142)	104 (80-131)	.	.	n.c.	1
Sclerosi multipla(340)	F	20	14	.	.	19 (12-28)	.	144 (100-207)	104 (88-134)	.	.	↑	2 
Sclerosi multipla(340)	M	10	8	.	.	10 (5-18)	.	132 (79-221)	107 (81-143)	.	.	n.c.	1
Sclerosi multipla(340)	M + F	30	22	.	.	15 (10-20)	↑	140 (104-189)	112 (91-143)	↑	.	↑	3 
Malattie cardiache(390-429)	F	501	592	.	.	508 (472-548)	.	85 (79-91)	87 (81-93)	↓	↓	→	0 














Tabella 4C - Civitanova Marche	Genere	Osservati	Attesi	Cluster sign.	SIR cluster	Tasso std. * 100000 (ic)	Tasso std. > Media reg.	SIR (ic)	BIR (ic)	SIR sign.	BIR sign.	Trend	Livello attenzione
Causa (ICD-IX)													
Malattie cardiache(390-429)	M	672	712	.	.	741 (695-790)	.	94 (89-101)	97 (91-102)	.	.	→	1
Malattie cardiache(390-429)	M + F	1173	1304	.	.	620 (591-651)	.	90 (86-94)	92 (88-96)	↓	↓	→	0 
Malattie dell'apparato circolatorio(390-459)	F	1001	1038	.	.	1000 (949-1054)	.	96 (92-102)	99 (94-103)	.	.	↓	0 
Malattie dell'apparato circolatorio(390-459)	M	1108	1140	.	.	1206 (1147-1268)	.	97 (92-102)	99 (95-104)	.	.	→	1
Malattie dell'apparato circolatorio(390-459)	M + F	2109	2178	.	.	1099 (1060-1140)	.	97 (93-100)	99 (95-102)	.	.	↓	0 
Malattie ischemiche del cuore(410-4149)	F	137	203	.	.	137 (118-158)	.	68 (59-78)	75 (66-85)	↓	↓	→	0 
Malattie ischemiche del cuore(410-4149)	M	282	361	.	.	306 (276-338)	.	78 (71-86)	85 (78-93)	↓	↓	→	0 
Malattie ischemiche del cuore(410-4149)	M + F	419	564	.	.	218 (201-237)	.	74 (69-81)	79 (73-85)	↓	↓	→	0 
Insufficienza cardiaca (scompenso cardiaco)(428)	F	227	247	.	.	236 (211-264)	.	92 (82-103)	94 (85-104)	.	.	→	1
Insufficienza cardiaca (scompenso cardiaco)(428)	M	193	209	.	.	221 (195-249)	.	93 (82-104)	96 (86-107)	.	.	↓	0 
Insufficienza cardiaca (scompenso cardiaco)(428)	M + F	420	456	.	.	229 (210-248)	.	92 (85-100)	95 (88-103)	↓	.	→	0 
Malattie cerebrovascolari(430-438)	F	391	346	2	114	398 (366-434)	↑	113 (104-123)	114 (106-123)	↑	↑	→	5 
Malattie cerebrovascolari(430-438)	M	330	325	.	.	369 (336-405)	.	102 (93-111)	102 (94-111)	.	.	↓	0 
Malattie cerebrovascolari(430-438)	M + F	721	671	2	112	384 (361-409)	↑	108 (101-114)	108 (102-115)	↑	↑	→	5 
Malattie dell'apparato respiratorio(460-5199)	F	710	668	.	.	694 (652-739)	.	106 (100-113)	104 (98-110)	.	.	→	1
Malattie dell'apparato respiratorio(460-5199)	M	891	805	.	.	951 (899-1006)	↑	111 (105-117)	109 (103-115)	↑	↑	→	5 
Malattie dell'apparato respiratorio(460-5199)	M + F	1601	1472	.	.	818 (785-853)	↑	109 (104-113)	107 (103-111)	↑	↑	↓	4 


















Tabella 4C - Civitanova Marche													
Causa (ICD-IX)	Genere	Osservati	Attesi	Cluster sign.	SIR cluster	Tasso std. * 100000 (ic)	Tasso std. > Media reg.	SIR (ic)	BIR (ic)	SIR sign.	BIR sign.	Trend	Livello attenzione
Malattie polmonari cronico ostruttive(490-492, 494, 496)	F	74	54	.	.	74 (60-90)	↑	138 (114-168)	129 (107-154)	↑	↑	→	5 
Malattie polmonari cronico ostruttive(490-492, 494, 496)	M	83	68	.	.	91 (75-110)	↑	123 (103-147)	117 (98-139)	↑	.	↓	2 
Malattie polmonari cronico ostruttive(490-492, 494, 496)	M + F	157	121	.	.	82 (71-94)	↑	130 (114-148)	126 (111-143)	↑	↑	↓	4 
Pneumoconiosi(500-505)	F	<5	<5	.	.	1 (0-5)	.	585 (130-2621)	130 (29-665)	↑	.	n.c.	1 
Pneumoconiosi(500-505)	M	0	1	.	.	0 (0-5)	.	0 (-.)	43 (9-110)	.	.	n.c.	1 
Pneumoconiosi(500-505)	M + F	<5	<5	.	.	0 (0-3)	.	70 (16-316)	70 (28-126)	.	.	n.c.	1 
Malattie dell'apparato digerente(520-579)	F	850	880	.	.	821 (775-869)	.	97 (91-102)	97 (92-102)	.	.	↓	0 
Malattie dell'apparato digerente(520-579)	M	1166	1151	.	.	1240 (1180-1302)	.	101 (97-106)	101 (96-105)	.	.	↓	0 
Malattie dell'apparato digerente(520-579)	M + F	2016	2030	.	.	1022 (985-1061)	.	99 (96-103)	99 (96-103)	.	.	↓	0 
Cirrosi e altre malattie croniche del fegato(571)	F	18	22	.	.	18 (12-27)	.	81 (55-119)	96 (78-116)	.	.	→	1 
Cirrosi e altre malattie croniche del fegato(571)	M	39	39	.	.	42 (31-55)	.	99 (76-129)	103 (84-126)	.	.	→	1 
Cirrosi e altre malattie croniche del fegato(571)	M + F	57	62	.	.	29 (23-37)	.	93 (74-115)	99 (84-116)	.	.	→	1 
Nefropatie croniche e acute(580-589)	F	137	92	1	149	141 (122-163)	↑	149 (130-172)	147 (128-168)	↑	↑	→	5 
Nefropatie croniche e acute(580-589)	M	134	112	.	.	154 (133-178)	↑	120 (104-138)	118 (102-135)	↑	↑	→	5 
Nefropatie croniche e acute(580-589)	M + F	271	204	1	133	147 (133-163)	↑	133 (120-147)	133 (120-147)	↑	↑	→	5 
Malattie dell'apparato urinario(580-599)	F	312	243	1	122	312 (284-343)	↑	128 (117-141)	127 (116-139)	↑	↑	→	5 
Malattie dell'apparato urinario(580-599)	M	373	323	.	.	411 (376-448)	↑	116 (106-126)	114 (105-123)	↑	↑	→	5 






Tabella 4C - Civitanova Marche													
Causa (ICD-IX)	Genere	Osservati	Attesi	Cluster sign.	SIR cluster	Tasso std. * 100000 (ic)	Tasso std. > Media reg.	SIR (ic)	BIR (ic)	SIR sign.	BIR sign.	Trend	Livello attenzione
Malattie dell'apparato urinario(580-599)	M + F	685	566	1	118	360 (337-383)	↑	121 (114-129)	121 (114-128)	↑	↑	→	5 
Endometriosi(617)	F	39	41	.	.	36 (27-47)	.	96 (74-125)	96 (76-120)	.	.	→	1 
Malformazioni congenite(740-759)	F	102	126	.	.	96 (81-113)	.	81 (69-95)	83 (73-95)	↓	↓	→	0 
Malformazioni congenite(740-759)	M	127	183	.	.	129 (111-150)	.	70 (60-80)	74 (65-84)	↓	↓	→	0 
Malformazioni congenite(740-759)	M + F	229	309	.	.	112 (100-125)	.	74 (67-83)	77 (70-84)	↓	↓	→	0 

Tabella 5C. Incidenza di primi ricoveri ospedalieri per causa nel comune di Corridonia, tutte le età, periodo di osservazione 2009-2013

Tabella 5C - Corridonia	Genere	Osservati	Attesi	Cluster sign.	SIR cluster	Tasso std. * 100000 (ic)	Tasso std. > Media reg.	SIR (ic)	BIR (ic)	SIR sign.	BIR sign.	Trend	Livello attenzione
Causa (ICD-IX)													
Malattie infettive(001-139)	F	53	61	.	.	144 (113-182)	.	88 (70-110)	94 (79-111)	.	.	→	1
Malattie infettive(001-139)	M	67	71	.	.	182 (147-226)	.	94 (77-115)	96 (82-112)	.	.	→	1
Malattie infettive(001-139)	M + F	120	132	.	.	162 (139-190)	.	91 (78-106)	95 (84-107)	.	.	→	1
Tumori maligni delle vie aeree e digestive superiori(140-150, 161)	F	<5	<5	.	.	3 (0-16)	.	25 (5-110)	98 (69-126)	.	.	n.c.	1
Tumori maligni delle vie aeree e digestive superiori(140-150, 161)	M	>5	>5	.	.	39 (23-65)	.	119 (75-186)	103 (85-126)	.	.	n.c.	1
Tumori maligni delle vie aeree e digestive superiori(140-150, 161)	M + F	14	15	.	.	21 (12-33)	.	93 (60-144)	101 (84-118)	.	.	→	1
Tumori maligni(140-208)	F	219	215	.	.	627 (558-702)	.	102 (91-114)	101 (93-109)	.	.	→	1
Tumori maligni(140-208)	M	244	239	.	.	724 (649-807)	.	102 (92-113)	101 (94-109)	.	.	↑	2 😊
Tumori maligni(140-208)	M + F	463	454	.	.	673 (623-728)	.	102 (94-110)	102 (96-108)	.	.	↑	2 😊
Tumori maligni dell'esofago(150)	F	0	1	.	.	0 (0-10)	.	0 (.-.)	99 (64-145)	.	.	n.c.	1
Tumori maligni dell'esofago(150)	M	0	2	.	.	0 (0-14)	.	0 (.-.)	103 (62-134)	.	.	n.c.	1
Tumori maligni dell'esofago(150)	M + F	0	2	.	.	0 (0-7)	.	0 (.-.)	89 (64-118)	.	.	n.c.	1
Tumori maligni dello stomaco(151)	F	10	9	.	.	30 (16-52)	.	111 (67-186)	102 (77-134)	.	.	n.c.	1
Tumori maligni dello stomaco(151)	M	22	12	2	143	66 (45-97)	↑	179 (126-253)	124 (97-161)	↑	.	→	3 😐
Tumori maligni dello stomaco(151)	M + F	32	21	2	125	47 (34-65)	↑	150 (113-201)	121 (99-148)	↑	.	→	3 😐
Tumori maligni dell'intestino tenue, compreso il duodeno(152)	F	0	1	.	.	0 (0-10)	.	0 (.-.)	90 (39-144)	.	.	n.c.	1



Tabella 5C - Corridonia	Genere	Osservati	Attesi	Cluster sign.	SIR cluster	Tasso std. * 100000 (ic)	Tasso std. > Media reg.	SIR (ic)	BIR (ic)	SIR sign.	BIR sign.	Trend	Livello attenzione
Causa (ICD-IX)													
Tumori maligni dell'intestino tenue, compreso il duodeno(152)	M	0	1	.	.	0 (0-14)	.	0 (-.)	107 (72-141)	.	.	n.c.	1
Tumori maligni dell'intestino tenue, compreso il duodeno(152)	M + F	0	2	.	.	0 (0-7)	.	0 (-.)	101 (66-130)	.	.	n.c.	1
Tumori maligni del colon(153)	F	16	22	.	.	49 (30-74)	.	75 (50-112)	98 (80-117)	.	.	↓	0 
Tumori maligni del colon(153)	M	35	26	.	.	104 (77-140)	↑	134 (102-177)	109 (94-129)	↑	.	→	3 
Tumori maligni del colon(153)	M + F	51	48	.	.	75 (59-96)	.	107 (85-135)	106 (91-121)	.	.	→	1
Tumori maligni del colon-retto(153-154)	F	29	29	.	.	88 (63-121)	.	101 (75-138)	102 (89-118)	.	.	→	1
Tumori maligni del colon-retto(153-154)	M	42	37	.	.	124 (94-163)	.	113 (88-146)	103 (92-116)	.	.	→	1
Tumori maligni del colon-retto(153-154)	M + F	71	66	.	.	105 (86-129)	.	108 (89-131)	104 (93-116)	.	.	→	1
Tumori maligni del retto, della giunzione retto-sigmoidea e dell'ano(154)	F	13	9	.	.	40 (23-64)	.	141 (90-222)	103 (89-124)	.	.	n.c.	1
Tumori maligni del retto, della giunzione retto-sigmoidea e dell'ano(154)	M	12	14	.	.	35 (20-60)	.	88 (55-141)	98 (84-114)	.	.	→	1
Tumori maligni del retto, della giunzione retto-sigmoidea e dell'ano(154)	M + F	25	23	.	.	38 (26-53)	.	109 (79-152)	101 (88-117)	.	.	→	1
Tumore fegato e dotti biliari(1550-1551)	F	<5	<5	.	.	11 (4-27)	.	169 (76-376)	93 (64-140)	.	.	n.c.	1
Tumore fegato e dotti biliari(1550-1551)	M	>5	>5	.	.	14 (6-34)	.	97 (47-199)	97 (74-124)	.	.	n.c.	1
Tumore fegato e dotti biliari(1550-1551)	M + F	9	8	.	.	13 (7-24)	.	119 (69-205)	97 (74-127)	.	.	n.c.	1
Tumori maligni del pancreas(157)	F	<5	<5	.	.	12 (4-29)	.	59 (26-131)	98 (78-115)	.	.	n.c.	1
Tumori maligni del pancreas(157)	M	>5	>5	.	.	18 (8-38)	.	81 (42-157)	99 (85-112)	.	.	n.c.	1
Tumori maligni del pancreas(157)	M + F	10	14	.	.	15 (8-27)	.	70 (42-118)	98 (86-110)	.	.	n.c.	1

Tabella 5C - Corridonia	Genere	Osservati	Attesi	Cluster sign.	SIR cluster	Tasso std. * 100000 (ic)	Tasso std. > Media reg.	SIR (ic)	BIR (ic)	SIR sign.	BIR sign.	Trend	Livello attenzione
Causa (ICD-IX)													
Tumore del retroperitoneo(1580)	F	<5	<5	.	.	6 (1-21)	.	463 (153-1398)	109 (68-179)	↑	.	n.c.	3 ☹️
Tumore del retroperitoneo(1580)	M	<5	<5	.	.	6 (1-23)	.	507 (168-1534)	110 (50-305)	↑	.	n.c.	3 ☹️
Tumore del retroperitoneo(1580)	M + F	<5	<5	.	.	6 (2-16)	↑	484 (217-1078)	112 (74-214)	↑	.	n.c.	3 ☹️
Tumori maligni del naso(1600)	F	0	0	.	.	0 (0-10)	.	0 (.-)	65 (29-126)	.	.	n.c.	1 😊
Tumori maligni del naso(1600)	M	<5	<5	.	.	3 (0-18)	.	269 (60-1205)	128 (63-272)	.	.	n.c.	1 😊
Tumori maligni del naso(1600)	M + F	<5	<5	.	.	1 (0-9)	.	217 (48-974)	107 (53-220)	.	.	n.c.	1 😊
Tumori maligni della laringe(161)	F	0	1	.	.	0 (0-10)	.	0 (.-)	99 (42-162)	.	.	n.c.	1 😊
Tumori maligni della laringe(161)	M	5	5	.	.	15 (6-35)	.	101 (49-207)	104 (84-128)	.	.	n.c.	1 😊
Tumori maligni della laringe(161)	M + F	5	6	.	.	7 (3-17)	.	90 (44-186)	105 (83-126)	.	.	n.c.	1 😊
Tumori maligni della trachea, dei bronchi e dei polmoni(162)	F	18	10	.	.	50 (32-75)	↑	173 (118-254)	110 (87-147)	↑	.	n.c.	3 ☹️
Tumori maligni della trachea, dei bronchi e dei polmoni(162)	M	23	30	.	.	69 (47-100)	.	77 (55-108)	97 (83-110)	.	.	→	1 😊
Tumori maligni della trachea, dei bronchi e dei polmoni(162)	M + F	41	40	.	.	59 (45-78)	.	102 (79-132)	100 (89-113)	.	.	→	1 😊
Tumori maligni della pleura(163)	F	<5	<5	.	.	3 (0-15)	.	188 (42-841)	103 (52-168)	.	.	n.c.	1 😊
Tumori maligni della pleura(163)	M	0	1	.	.	0 (0-14)	.	0 (.-)	59 (26-115)	.	.	n.c.	1 😊
Tumori maligni della pleura(163)	M + F	<5	<5	.	.	2 (0-9)	.	55 (12-245)	72 (39-121)	.	.	n.c.	1 😊
Mesoteliomi pleurici e peritoneali(1588, 163)	F	<5	<5	.	.	3 (0-15)	.	134 (30-602)	99 (55-161)	.	.	n.c.	1 😊
Mesoteliomi pleurici e peritoneali(1588, 163)	M	0	1	.	.	0 (0-14)	.	0 (.-)	65 (31-118)	.	.	n.c.	1 😊



Tabella 5C - Corridonia	Genere	Osservati	Attesi	Cluster sign.	SIR cluster	Tasso std. * 100000 (ic)	Tasso std. > Media reg.	SIR (ic)	BIR (ic)	SIR sign.	BIR sign.	Trend	Livello attenzione
Causa (ICD-IX)													
Mesoteliomi pleurici e peritoneali(1588, 163)	M + F	<5	<5	.	.	2 (0-9)	.	48 (11-213)	78 (41-134)	.	.	n.c.	1
Tumori maligni delle ossa e della cartilagine articolare(170)	F	0	1	.	.	0 (0-10)	.	0 (.-.)	108 (62-159)	.	.	n.c.	1
Tumori maligni delle ossa e della cartilagine articolare(170)	M	0	1	.	.	0 (0-14)	.	0 (.-.)	97 (74-125)	.	.	n.c.	1
Tumori maligni delle ossa e della cartilagine articolare(170)	M + F	0	2	.	.	0 (0-7)	.	0 (.-.)	103 (80-130)	.	.	n.c.	1
Tumori maligni del connettivo e di altri tessuti molli(171)	F	>5	<5	.	.	13 (5-28)	.	255 (124-525)	103 (77-154)	↑	.	n.c.	3 🟡
Tumori maligni del connettivo e di altri tessuti molli(171)	M	<5	<5	.	.	6 (1-23)	.	72 (24-219)	84 (53-120)	.	.	n.c.	1
Tumori maligni del connettivo e di altri tessuti molli(171)	M + F	7	5	.	.	10 (4-20)	.	148 (80-274)	94 (64-143)	.	.	n.c.	1
Melanoma maligno della pelle(172)	F	>5	>5	.	.	13 (5-30)	.	97 (47-200)	87 (62-124)	.	.	n.c.	1
Melanoma maligno della pelle(172)	M	<5	>5	.	.	8 (2-25)	.	55 (22-137)	73 (49-102)	.	.	n.c.	1
Melanoma maligno della pelle(172)	M + F	8	11	.	.	11 (5-21)	.	75 (42-134)	77 (56-103)	.	.	→	1
Tumori maligni della mammella(174-175)	F	67	65	.	.	188 (152-232)	.	103 (84-126)	103 (90-117)	.	.	→	1
Tumori maligni della mammella(174-175)	M	0	1	.	.	0 (0-14)	.	0 (.-.)	91 (52-146)	.	.	n.c.	1
Tumori maligni della mammella(174-175)	M + F	67	66	.	.	98 (79-121)	.	102 (83-124)	102 (90-116)	.	.	→	1
Tumori maligni dell'utero(179-180, 182)	F	15	14	.	.	42 (26-66)	.	106 (69-161)	105 (89-123)	.	.	→	1
Tumori maligni del corpo dell'utero(182)	F	9	9	.	.	26 (14-46)	.	100 (58-172)	101 (81-124)	.	.	n.c.	1
Tumori maligni dell'ovaio e degli altri annessi uterini(183)	F	10	7	.	.	28 (15-49)	.	150 (90-251)	102 (87-123)	.	.	n.c.	1
Tumore della prostata(185)	M	48	37	2	121	141 (109-181)	↑	130 (102-164)	117 (101-136)	↑	↑	→	5 🟠

Tabella 5C - Corridonia	Genere	Osservati	Attesi	Cluster sign.	SIR cluster	Tasso std. * 100000 (ic)	Tasso std. > Media reg.	SIR (ic)	BIR (ic)	SIR sign.	BIR sign.	Trend	Livello attenzione
Causa (ICD-IX)													
Tumore del testicolo(186)	M	<5	<5	.	.	5 (1-21)	.	58 (19-175)	101 (78-125)	.	.	n.c.	1
Tumori maligni della vescica(188)	F	6	7	.	.	17 (7-35)	.	87 (45-168)	101 (85-118)	.	.	n.c.	1
Tumori maligni della vescica(188)	M	30	31	.	.	91 (66-126)	.	96 (71-129)	99 (88-110)	.	.	→	1
Tumori maligni della vescica(188)	M + F	36	38	.	.	53 (39-71)	.	94 (72-124)	97 (87-108)	.	.	↑	1
Tumori maligni del rene e di altri e non specificati organi urinari(189)	F	6	6	.	.	18 (8-36)	.	95 (49-184)	94 (78-114)	.	.	n.c.	1
Tumori maligni del rene e di altri e non specificati organi urinari(189)	M	12	14	.	.	34 (20-58)	.	87 (55-140)	99 (81-117)	.	.	→	1
Tumori maligni del rene e di altri e non specificati organi urinari(189)	M + F	18	20	.	.	26 (17-39)	.	90 (61-132)	97 (81-114)	.	.	→	1
Tumori maligni dell'encefalo(191)	F	<5	<5	.	.	9 (2-24)	.	71 (28-177)	89 (65-117)	.	.	n.c.	1
Tumori maligni dell'encefalo(191)	M	<5	>5	.	.	11 (4-30)	.	68 (30-151)	102 (79-123)	.	.	n.c.	1
Tumori maligni dell'encefalo(191)	M + F	7	10	.	.	10 (5-20)	.	69 (37-127)	94 (73-115)	.	.	→	1
Tumori maligni del sistema nervoso centrale(191-192)	F	<5	>5	.	.	12 (4-27)	.	82 (37-182)	92 (72-114)	.	.	n.c.	1
Tumori maligni del sistema nervoso centrale(191-192)	M	<5	>5	.	.	11 (4-30)	.	63 (28-140)	101 (71-119)	.	.	n.c.	1
Tumori maligni del sistema nervoso centrale(191-192)	M + F	8	11	.	.	11 (6-22)	.	71 (40-126)	93 (71-114)	.	.	→	1
Tumori maligni della ghiandola tiroide(193)	F	15	9	.	.	39 (24-61)	.	159 (104-242)	118 (92-153)	↑	.	n.c.	3 😊
Tumori maligni della ghiandola tiroide(193)	M	5	3	.	.	14 (5-33)	.	158 (77-325)	108 (76-156)	.	.	n.c.	1
Tumori maligni della ghiandola tiroide(193)	M + F	20	13	2	141	27 (18-40)	↑	159 (110-229)	123 (98-154)	↑	.	n.c.	3 😊
Linfoma non Hodgkin(200, 202)	F	5	7	.	.	13 (5-29)	.	67 (33-138)	97 (80-117)	.	.	n.c.	1




Tabella 5C - Corridonia	Genere	Osservati	Attesi	Cluster sign.	SIR cluster	Tasso std. * 100000 (ic)	Tasso std. > Media reg.	SIR (ic)	BIR (ic)	SIR sign.	BIR sign.	Trend	Livello attenzione
Causa (ICD-IX)													
Linfoma non Hodgkin(200, 202)	M	5	10	.	.	14 (6-34)	.	50 (24-102)	93 (70-113)	,	,	n.c.	1
Linfoma non Hodgkin(200, 202)	M + F	10	18	.	.	14 (7-25)	.	57 (34-95)	93 (73-110)	↓	,	n.c.	0 
Tumori emolinfopoiетici(200-208)	F	12	16	.	.	33 (19-55)	.	75 (47-119)	96 (80-114)	,	,	n.c.	1
Tumori emolinfopoiетici(200-208)	M	11	20	.	.	32 (18-56)	.	54 (33-88)	90 (74-104)	↓	,	→	0 
Tumori emolinfopoiетici(200-208)	M + F	23	37	.	.	33 (22-47)	.	63 (45-89)	89 (75-102)	↓	,	→	0 
Malattia di Hodgkin(201)	F	<5	<5	.	.	2 (0-14)	.	56 (13-252)	109 (87-132)	,	,	n.c.	1
Malattia di Hodgkin(201)	M	<5	<5	.	.	2 (0-17)	.	60 (13-269)	97 (75-124)	,	,	n.c.	1
Malattia di Hodgkin(201)	M + F	<5	<5	.	.	2 (0-10)	.	58 (19-175)	100 (73-129)	,	,	n.c.	1
Mieloma multiplo e tumori immunoproliferativi(203)	F	<5	<5	.	.	6 (1-19)	.	66 (22-199)	94 (71-121)	,	,	n.c.	1
Mieloma multiplo e tumori immunoproliferativi(203)	M	<5	<5	.	.	9 (2-27)	.	80 (32-199)	95 (66-132)	,	,	n.c.	1
Mieloma multiplo e tumori immunoproliferativi(203)	M + F	5	7	.	.	7 (3-17)	.	73 (36-151)	94 (68-125)	,	,	n.c.	1
Leucemie(204-208)	F	<5	>5	.	.	13 (4-29)	.	84 (38-187)	95 (71-122)	,	,	n.c.	1
Leucemie(204-208)	M	<5	>5	.	.	9 (2-27)	.	45 (18-114)	88 (67-106)	,	,	n.c.	1
Leucemie(204-208)	M + F	7	11	.	.	11 (5-22)	.	62 (33-114)	84 (65-105)	,	,	→	1
Gozzo non tossico(240-241)	F	18	16	.	.	47 (30-71)	.	112 (76-165)	110 (85-139)	,	,	n.c.	1
Gozzo non tossico(240-241)	M	6	5	.	.	17 (7-36)	.	112 (58-217)	108 (77-151)	,	,	n.c.	1
Gozzo non tossico(240-241)	M + F	24	21	.	.	32 (22-47)	.	112 (80-157)	110 (87-138)	,	,	n.c.	1









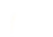



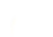


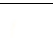
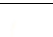
Tabella 5C - Corridonia	Genere	Osservati	Attesi	Cluster sign.	SIR cluster	Tasso std. * 100000 (ic)	Tasso std. > Media reg.	SIR (ic)	BIR (ic)	SIR sign.	BIR sign.	Trend	Livello attenzione
Causa (ICD-IX)													
Malattie endocrine e della nutrizione(240-2799)	F	69	112	.	.	176 (142-216)	.	62 (51-75)	71 (61-82)	↓	↓	↓	0 
Malattie endocrine e della nutrizione(240-2799)	M	59	88	.	.	155 (123-195)	.	67 (54-83)	71 (62-82)	↓	↓	→	0 
Malattie endocrine e della nutrizione(240-2799)	M + F	128	200	.	.	166 (142-193)	.	64 (55-74)	69 (61-77)	↓	↓	→	0 
Tireotossicosi(242)	F	>5	>5	.	.	13 (5-29)	.	93 (45-192)	98 (70-136)	.	.	n.c.	1 
Tireotossicosi(242)	M	<5	<5	.	.	6 (1-22)	.	102 (34-310)	97 (59-155)	.	.	n.c.	1 
Tireotossicosi(242)	M + F	7	7	.	.	9 (4-19)	.	96 (52-177)	99 (72-135)	.	.	n.c.	1 
Ipotiroidismo(243-244)	F	<5	<5	.	.	2 (0-13)	.	33 (7-148)	105 (70-136)	.	.	n.c.	1 
Ipotiroidismo(243-244)	M	<5	<5	.	.	2 (0-17)	.	38 (9-172)	102 (81-123)	.	.	n.c.	1 
Ipotiroidismo(243-244)	M + F	<5	>5	.	.	2 (0-9)	.	36 (12-107)	106 (86-124)	.	.	n.c.	1 
Diabete mellito(250)	F	7	18	.	.	21 (10-40)	.	39 (21-72)	51 (35-71)	↓	↓	→	0 
Diabete mellito(250)	M	9	25	.	.	26 (14-49)	.	37 (21-63)	47 (34-64)	↓	↓	→	0 
Diabete mellito(250)	M + F	16	42	.	.	24 (15-37)	.	38 (25-57)	47 (36-61)	↓	↓	↓	0 
Malattie del sangue e degli organi emopoietici(280-289)	F	39	37	.	.	109 (81-143)	.	105 (81-137)	100 (80-123)	.	.	→	1 
Malattie del sangue e degli organi emopoietici(280-289)	M	25	32	.	.	72 (50-103)	.	78 (56-108)	81 (65-102)	.	.	→	1 
Malattie del sangue e degli organi emopoietici(280-289)	M + F	64	69	.	.	91 (73-113)	.	93 (75-114)	91 (76-108)	.	.	→	1 
Malattie neuro-psichiatriche (escluse tossicod.)(290-303, 306-319)	F	54	50	.	.	137 (108-174)	.	108 (86-135)	98 (82-117)	.	.	→	1 
Malattie neuro-psichiatriche (escluse tossicod.)(290-303, 306-319)	M	53	61	.	.	136 (106-173)	.	87 (70-109)	89 (76-105)	.	.	→	1 









Tabella 5C - Corridonia	Genere	Osservati	Attesi	Cluster sign.	SIR cluster	Tasso std. * 100000 (ic)	Tasso std. > Media reg.	SIR (ic)	BIR (ic)	SIR sign.	BIR sign.	Trend	Livello attenzione
Causa (ICD-IX)													
Malattie neuro-psichiatriche (escluse tossicod.)(290-303, 306-319)	M + F	107	111	.	.	136 (115-162)	.	97 (82-113)	94 (82-108)	.	.	→	1
Malattie del sistema nervoso e degli organi di senso(320-389)	F	227	260	.	.	633 (565-708)	.	87 (78-98)	86 (78-94)	↓	↓	↓	0 
Malattie del sistema nervoso e degli organi di senso(320-389)	M	208	228	.	.	585 (520-659)	.	91 (81-102)	88 (80-97)	.	↓	↓	0 
Malattie del sistema nervoso e degli organi di senso(320-389)	M + F	435	488	.	.	610 (562-661)	.	89 (82-96)	88 (81-94)	↓	↓	↓	0 
Malattia di Alzheimer(3310)	F	20	14	.	.	63 (42-92)	↑	145 (101-209)	142 (99-197)	↑	.	→	3 
Malattia di Alzheimer(3310)	M	7	7	.	.	23 (11-46)	.	97 (53-180)	98 (60-154)	.	.	n.c.	1
Malattia di Alzheimer(3310)	M + F	27	21	.	.	44 (31-61)	↑	129 (94-176)	130 (96-172)	.	.	→	1
Morbo di Parkinson(3320)	F	9	3	2	189	26 (14-47)	↑	301 (175-517)	175 (116-273)	↑	↑	n.c.	5 
Morbo di Parkinson(3320)	M	5	<5	.	.	14 (6-34)	.	118 (57-242)	127 (82-188)	.	.	n.c.	1
Morbo di Parkinson(3320)	M + F	14	7	2	170	21 (12-33)	↑	194 (125-299)	155 (116-211)	↑	↑	n.c.	5 
Malattia dei neuroni motori(3352)	F	0	1	.	.	0 (0-10)	.	0 (.-.)	97 (50-168)	.	.	n.c.	1
Malattia dei neuroni motori(3352)	M	<5	<5	.	.	9 (2-26)	.	191 (76-477)	115 (78-185)	.	.	n.c.	1
Malattia dei neuroni motori(3352)	M + F	<5	<5	.	.	4 (1-13)	.	102 (41-255)	107 (82-135)	.	.	n.c.	1
Sclerosi multipla(340)	F	<5	>5	.	.	3 (0-15)	.	19 (4-86)	96 (77-115)	↓	.	n.c.	0 
Sclerosi multipla(340)	M	<5	<5	.	.	5 (1-21)	.	67 (22-201)	103 (75-133)	.	.	n.c.	1
Sclerosi multipla(340)	M + F	<5	>5	.	.	4 (1-12)	.	37 (15-92)	96 (72-118)	↓	.	n.c.	0 
Malattie cardiache(390-429)	F	199	198	.	.	606 (537-682)	.	101 (90-113)	100 (91-110)	.	.	→	1


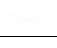
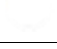














Tabella 5C - Corridonia	Genere	Osservati	Attesi	Cluster sign.	SIR cluster	Tasso std. * 100000 (ic)	Tasso std. > Media reg.	SIR (ic)	BIR (ic)	SIR sign.	BIR sign.	Trend	Livello attenzione
Causa (ICD-IX)													
Malattie cardiache(390-429)	M	238	266	.	.	707 (633-789)	.	90 (81-100)	96 (88-103)	↓	.	→	0 
Malattie cardiache(390-429)	M + F	437	463	.	.	654 (603-709)	.	94 (87-102)	97 (91-103)	.	.	→	1 
Malattie dell'apparato circolatorio(390-459)	F	361	352	.	.	1064 (973-1162)	.	103 (94-112)	103 (97-110)	.	.	→	1 
Malattie dell'apparato circolatorio(390-459)	M	444	430	2	106	1282 (1183-1389)	.	103 (96-112)	104 (98-111)	.	.	→	1 
Malattie dell'apparato circolatorio(390-459)	M + F	805	782	.	.	1169 (1102-1240)	.	103 (97-109)	104 (99-109)	.	.	→	1 
Malattie ischemiche del cuore(410-4149)	F	89	67	2	128	272 (226-325)	↑	132 (111-157)	122 (106-140)	↑	↑	→	5 
Malattie ischemiche del cuore(410-4149)	M	126	134	2	114	372 (319-433)	.	94 (81-109)	101 (90-113)	.	.	→	1 
Malattie ischemiche del cuore(410-4149)	M + F	215	201	2	113	320 (285-360)	↑	107 (96-120)	110 (100-120)	.	.	→	2 
Insufficienza cardiaca (scompenso cardiaco)(428)	F	58	81	.	.	183 (146-229)	.	71 (58-89)	82 (70-94)	↓	↓	→	0 
Insufficienza cardiaca (scompenso cardiaco)(428)	M	73	77	.	.	226 (184-277)	.	95 (78-115)	97 (85-110)	.	.	→	1 
Insufficienza cardiaca (scompenso cardiaco)(428)	M + F	131	158	.	.	204 (175-237)	.	83 (72-96)	87 (78-98)	↓	↓	→	0 
Malattie cerebrovascolari(430-438)	F	121	115	.	.	373 (319-435)	.	105 (91-122)	108 (97-120)	.	.	→	1 
Malattie cerebrovascolari(430-438)	M	142	120	.	.	431 (373-497)	↑	118 (103-136)	113 (102-125)	↑	↑	↓	4 
Malattie cerebrovascolari(430-438)	M + F	263	235	.	.	401 (361-445)	↑	112 (101-124)	112 (102-121)	↑	↑	→	5 
Malattie dell'apparato respiratorio(460-5199)	F	215	242	.	.	596 (530-669)	.	89 (79-99)	88 (81-97)	↓	↓	→	0 
Malattie dell'apparato respiratorio(460-5199)	M	262	314	.	.	726 (653-807)	.	83 (75-92)	86 (79-93)	↓	↓	→	0 
Malattie dell'apparato respiratorio(460-5199)	M + F	477	556	.	.	659 (609-712)	.	86 (80-92)	86 (80-92)	↓	↓	→	0 


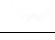

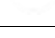
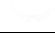

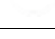
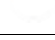

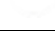
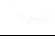




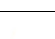
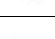
Tabella 5C - Corridonia	Genere	Osservati	Attesi	Cluster sign.	SIR cluster	Tasso std. * 100000 (ic)	Tasso std. > Media reg.	SIR (ic)	BIR (ic)	SIR sign.	BIR sign.	Trend	Livello attenzione
Causa (ICD-IX)													
Malattie polmonari cronico ostruttive(490-492, 494, 496)	F	13	18	.	.	41 (24-65)	.	73 (46-114)	73 (54-100)	.	↓	n.c.	0 
Malattie polmonari cronico ostruttive(490-492, 494, 496)	M	24	25	.	.	74 (51-107)	.	96 (68-134)	93 (73-117)	.	.	→	1 
Malattie polmonari cronico ostruttive(490-492, 494, 496)	M + F	37	43	.	.	57 (42-76)	.	86 (66-113)	86 (69-106)	.	.	↓	0 
Pneumoconiosi(500-505)	F	0	0	.	.	0 (0-10)	.	0 (.-.)	77 (8-313)	.	.	n.c.	1 
Pneumoconiosi(500-505)	M	0	1	.	.	0 (0-14)	.	0 (.-.)	53 (15-122)	.	.	n.c.	1 
Pneumoconiosi(500-505)	M + F	0	1	.	.	0 (0-7)	.	0 (.-.)	69 (27-117)	.	.	n.c.	1 
Malattie dell'apparato digerente(520-579)	F	326	315	.	.	879 (800-965)	.	104 (95-113)	100 (93-107)	.	.	→	1 
Malattie dell'apparato digerente(520-579)	M	437	441	.	.	1224 (1129-1327)	.	99 (92-107)	99 (93-105)	.	.	→	1 
Malattie dell'apparato digerente(520-579)	M + F	763	756	.	.	1045 (983-1111)	.	101 (95-107)	100 (95-105)	.	.	→	1 
Cirrosi e altre malattie croniche del fegato(571)	F	6	8	.	.	18 (8-36)	.	78 (41-151)	99 (81-118)	.	.	n.c.	1 
Cirrosi e altre malattie croniche del fegato(571)	M	16	15	.	.	45 (28-71)	.	108 (72-162)	98 (78-124)	.	.	→	1 
Cirrosi e altre malattie croniche del fegato(571)	M + F	22	23	.	.	31 (21-46)	.	98 (69-139)	98 (81-116)	.	.	↓	0 
Nefropatie croniche e acute(580-589)	F	21	31	.	.	65 (43-94)	.	68 (48-98)	82 (65-103)	↓	.	→	0 
Nefropatie croniche e acute(580-589)	M	32	42	.	.	95 (69-130)	.	77 (57-102)	83 (69-101)	.	.	→	1 
Nefropatie croniche e acute(580-589)	M + F	53	73	.	.	79 (62-101)	.	73 (58-92)	81 (69-95)	↓	↓	→	0 
Malattie dell'apparato urinario(580-599)	F	86	85	.	.	239 (198-287)	.	101 (85-121)	99 (87-114)	.	.	→	1 
Malattie dell'apparato urinario(580-599)	M	123	122	.	.	346 (296-405)	.	100 (87-117)	96 (87-107)	.	.	→	1 

Tabella 5C - Corridonia													
Causa (ICD-IX)	Genere	Osservati	Attesi	Cluster sign.	SIR cluster	Tasso std. * 100000 (ic)	Tasso std. > Media reg.	SIR (ic)	BIR (ic)	SIR sign.	BIR sign.	Trend	Livello attenzione
Malattie dell'apparato urinario(580-599)	M + F	209	208	.	.	291 (258-327)	.	101 (90-113)	99 (90-109)	.	.	→	1
Endometriosi(617)	F	11	16	.	.	27 (15-46)	.	71 (43-116)	94 (71-122)	.	.	→	1
Malformazioni congenite(740-759)	F	42	50	.	.	98 (74-128)	.	84 (65-108)	90 (78-104)	.	.	→	1
Malformazioni congenite(740-759)	M	78	75	.	.	197 (161-240)	.	104 (86-125)	97 (85-110)	.	.	→	1
Malformazioni congenite(740-759)	M + F	120	125	.	.	145 (124-171)	.	96 (82-111)	94 (84-104)	.	.	→	1



Tabella 6C. Incidenza di primi ricoveri ospedalieri per causa nel comune di Loreto, tutte le età, periodo di osservazione 2009-2013





Tabella 6C - Loreto	Genere	Osservati	Attesi	Cluster sign.	SIR cluster	Tasso std. * 100000 (ic)	Tasso std. > Media reg.	SIR (ic)	BIR (ic)	SIR sign.	BIR sign.	Trend	Livello attenzione
Causa (ICD-IX)													
Malattie infettive(001-139)	F	45	50	.	.	138 (106-187)	.	89 (70-114)	92 (74-113)	.	.	→	1
Malattie infettive(001-139)	M	42	57	.	.	138 (105-184)	.	74 (57-95)	80 (65-98)	↓	↓	→	0 
Malattie infettive(001-139)	M + F	87	107	.	.	138 (114-169)	.	81 (68-97)	85 (72-99)	↓	↓	→	0 
Tumori maligni delle vie aeree e digestive superiori(140-150, 161)	F	5	4	.	.	15 (6-46)	.	133 (65-274)	113 (82-158)	.	.	n.c.	1
Tumori maligni delle vie aeree e digestive superiori(140-150, 161)	M	6	9	.	.	21 (9-49)	.	66 (34-128)	97 (73-119)	.	.	n.c.	1
Tumori maligni delle vie aeree e digestive superiori(140-150, 161)	M + F	11	13	.	.	18 (10-36)	.	86 (52-140)	100 (80-122)	.	.	n.c.	1
Tumori maligni(140-208)	F	198	199	.	.	615 (545-700)	.	99 (88-112)	102 (93-111)	.	.	→	1
Tumori maligni(140-208)	M	200	200	.	.	713 (632-807)	.	100 (89-113)	102 (94-111)	.	.	→	1
Tumori maligni(140-208)	M + F	398	399	.	.	662 (608-724)	.	100 (92-108)	102 (95-109)	.	.	→	1
Tumori maligni dell'esofago(150)	F	<5	<5	.	.	3 (0-32)	.	192 (43-861)	104 (62-166)	.	.	n.c.	1
Tumori maligni dell'esofago(150)	M	<5	<5	.	.	7 (1-30)	.	161 (53-488)	108 (74-152)	.	.	n.c.	1
Tumori maligni dell'esofago(150)	M + F	<5	<5	.	.	5 (1-21)	.	171 (68-427)	114 (77-169)	.	.	n.c.	1
Tumori maligni dello stomaco(151)	F	<5	>5	.	.	12 (4-43)	.	45 (20-101)	68 (44-97)	.	↓	n.c.	0 
Tumori maligni dello stomaco(151)	M	>5	>5	.	.	31 (16-61)	.	86 (50-148)	89 (63-121)	.	.	→	1
Tumori maligni dello stomaco(151)	M + F	13	19	.	.	21 (13-40)	.	67 (43-106)	75 (56-100)	.	↓	→	0 
Tumori maligni dell'intestino tenue, compreso il duodeno(152)	F	<5	<5	.	.	3 (0-32)	.	157 (35-703)	99 (51-176)	.	.	n.c.	1

Tabella 6C - Loreto	Genere	Osservati	Attesi	Cluster sign.	SIR cluster	Tasso std. * 100000 (ic)	Tasso std. > Media reg.	SIR (ic)	BIR (ic)	SIR sign.	BIR sign.	Trend	Livello attenzione
Causa (ICD-IX)													
Tumori maligni dell'intestino tenue, compreso il duodeno(152)	M	<5	<5	.	.	7 (1-31)	.	183 (60-552)	113 (83-160)	.	.	n.c.	1
Tumori maligni dell'intestino tenue, compreso il duodeno(152)	M + F	<5	<5	.	.	5 (1-21)	.	173 (69-434)	109 (81-154)	.	.	n.c.	1
Tumori maligni del colon(153)	F	20	21	.	.	62 (41-101)	.	97 (67-140)	106 (83-132)	.	.	→	1
Tumori maligni del colon(153)	M	20	22	.	.	72 (48-110)	.	90 (63-130)	104 (85-126)	.	.	→	1
Tumori maligni del colon(153)	M + F	40	43	.	.	67 (50-92)	.	94 (72-121)	104 (86-123)	.	.	→	1
Tumori maligni del colon-retto(153-154)	F	30	27	.	.	93 (67-136)	.	110 (81-148)	106 (91-127)	.	.	→	1
Tumori maligni del colon-retto(153-154)	M	33	31	.	.	120 (88-165)	.	105 (79-140)	106 (91-123)	.	.	→	1
Tumori maligni del colon-retto(153-154)	M + F	63	59	.	.	106 (85-135)	.	107 (87-132)	108 (94-124)	.	.	→	1
Tumori maligni del retto, della giunzione retto-sigmoidea e dell'ano(154)	F	12	9	.	.	37 (21-73)	.	137 (85-219)	103 (88-127)	.	.	n.c.	1
Tumori maligni del retto, della giunzione retto-sigmoidea e dell'ano(154)	M	16	11	.	.	59 (37-94)	.	140 (93-211)	101 (87-125)	.	.	n.c.	1
Tumori maligni del retto, della giunzione retto-sigmoidea e dell'ano(154)	M + F	28	20	.	.	47 (34-70)	↑	139 (102-189)	107 (92-128)	↑	.	→	3 🙄
Tumore fegato e dotti biliari(1550-1551)	F	<5	<5	.	.	3 (0-33)	.	44 (10-198)	82 (47-132)	.	.	n.c.	1
Tumore fegato e dotti biliari(1550-1551)	M	<5	<5	.	.	14 (5-40)	.	92 (41-205)	99 (68-138)	.	.	n.c.	1
Tumore fegato e dotti biliari(1550-1551)	M + F	5	7	.	.	9 (3-25)	.	76 (37-155)	90 (60-129)	.	.	n.c.	1
Tumori maligni del pancreas(157)	F	6	7	.	.	19 (8-51)	.	91 (47-176)	101 (79-127)	.	.	n.c.	1
Tumori maligni del pancreas(157)	M	7	6	.	.	26 (12-55)	.	113 (61-209)	100 (87-117)	.	.	n.c.	1
Tumori maligni del pancreas(157)	M + F	13	13	.	.	22 (13-41)	.	102 (65-160)	101 (87-117)	.	.	n.c.	1

Tabella 6C - Loreto	Genere	Osservati	Attesi	Cluster sign.	SIR cluster	Tasso std. * 100000 (ic)	Tasso std. > Media reg.	SIR (ic)	BIR (ic)	SIR sign.	BIR sign.	Trend	Livello attenzione
Causa (ICD-IX)													
Tumore del retroperitoneo(1580)	F	0	0	.	.	0 (0-29)	.	0 (.-)	101 (51-170)	,	,	n.c.	1
Tumore del retroperitoneo(1580)	M	<5	<5	2	270	7 (1-30)	.	608 (201-1837)	113 (51-343)	↑	,	n.c.	3 ☹️
Tumore del retroperitoneo(1580)	M + F	<5	<5	.	.	3 (1-19)	.	282 (93-851)	107 (67-183)	,	,	n.c.	1
Tumori maligni del naso(1600)	F	0	0	.	.	0 (0-29)	.	0 (.-)	65 (28-129)	,	,	n.c.	1
Tumori maligni del naso(1600)	M	<5	<5	.	.	3 (0-25)	.	331 (74-1484)	123 (46-334)	,	,	n.c.	1
Tumori maligni del naso(1600)	M + F	<5	<5	.	.	1 (0-16)	.	263 (59-1179)	103 (43-238)	,	,	n.c.	1
Tumori maligni della laringe(161)	F	0	1	.	.	0 (0-29)	.	0 (.-)	97 (34-184)	,	,	n.c.	1
Tumori maligni della laringe(161)	M	<5	<5	.	.	3 (0-26)	.	24 (5-110)	98 (70-122)	,	,	n.c.	1
Tumori maligni della laringe(161)	M + F	<5	>5	.	.	2 (0-17)	.	22 (5-97)	101 (70-120)	↓	,	n.c.	0 😊
Tumori maligni della trachea, dei bronchi e dei polmoni(162)	F	5	10	.	.	16 (6-48)	.	51 (25-105)	89 (64-115)	,	,	n.c.	1
Tumori maligni della trachea, dei bronchi e dei polmoni(162)	M	26	25	.	.	92 (64-133)	.	103 (75-142)	106 (91-126)	,	,	↓	0 😊
Tumori maligni della trachea, dei bronchi e dei polmoni(162)	M + F	31	35	.	.	52 (38-76)	.	88 (66-119)	101 (89-115)	,	,	↓	0 😊
Tumori maligni della pleura(163)	F	0	1	.	.	0 (0-29)	.	0 (.-)	105 (51-186)	,	,	n.c.	1
Tumori maligni della pleura(163)	M	0	1	.	.	0 (0-21)	.	0 (.-)	79 (29-191)	,	,	n.c.	1
Tumori maligni della pleura(163)	M + F	0	2	.	.	0 (0-15)	.	0 (.-)	94 (41-183)	,	,	n.c.	1
Mesoteliomi pleurici e peritoneali(1588, 163)	F	<5	<5	.	.	3 (0-32)	.	141 (31-630)	112 (59-212)	,	,	n.c.	1
Mesoteliomi pleurici e peritoneali(1588, 163)	M	0	1	.	.	0 (0-21)	.	0 (.-)	82 (31-179)	,	,	n.c.	1

Tabella 6C - Loreto	Genere	Osservati	Attesi	Cluster sign.	SIR cluster	Tasso std. * 100000 (ic)	Tasso std. > Media reg.	SIR (ic)	BIR (ic)	SIR sign.	BIR sign.	Trend	Livello attenzione
Causa (ICD-IX)													
Mesoteliomi pleurici e peritoneali(1588, 163)	M + F	<5	<5	.	.	2 (0-17)	.	53 (12-238)	91 (44-172)	,	,	n.c.	1
Tumori maligni delle ossa e della cartilagine articolare(170)	F	<5	<5	.	.	3 (0-32)	.	116 (26-518)	111 (66-180)	,	,	n.c.	1
Tumori maligni delle ossa e della cartilagine articolare(170)	M	0	1	.	.	0 (0-21)	.	0 (.-.)	98 (74-125)	,	,	n.c.	1
Tumori maligni delle ossa e della cartilagine articolare(170)	M + F	<5	<5	.	.	1 (0-17)	.	58 (13-258)	102 (73-133)	,	,	n.c.	1
Tumori maligni del connettivo e di altri tessuti molli(171)	F	<5	<5	.	.	6 (1-36)	.	114 (38-344)	97 (67-133)	,	,	n.c.	1
Tumori maligni del connettivo e di altri tessuti molli(171)	M	<5	<5	.	.	13 (5-38)	.	175 (79-390)	113 (67-196)	,	,	n.c.	1
Tumori maligni del connettivo e di altri tessuti molli(171)	M + F	6	4	.	.	10 (4-26)	.	148 (77-287)	110 (68-178)	,	,	n.c.	1
Melanoma maligno della pelle(172)	F	>5	>5	.	.	25 (13-59)	.	174 (98-309)	125 (84-189)	,	,	n.c.	1
Melanoma maligno della pelle(172)	M	<5	>5	.	.	7 (1-30)	.	44 (15-134)	82 (52-124)	,	,	n.c.	1
Melanoma maligno della pelle(172)	M + F	10	9	.	.	16 (9-34)	.	110 (66-183)	105 (73-148)	,	,	n.c.	1
Tumori maligni della mammella(174-175)	F	70	59	2	120	218 (177-276)	↑	119 (98-145)	114 (97-133)	,	,	→	2 😊
Tumori maligni della mammella(174-175)	M	0	1	.	.	0 (0-21)	.	0 (.-.)	89 (43-162)	,	,	n.c.	1
Tumori maligni della mammella(174-175)	M + F	70	59	.	.	113 (92-143)	↑	118 (97-144)	113 (97-132)	,	,	→	1
Tumori maligni dell'utero(179-180, 182)	F	9	13	.	.	29 (15-63)	.	71 (42-123)	101 (83-119)	,	,	n.c.	1
Tumori maligni del corpo dell'utero(182)	F	<5	>5	.	.	6 (1-36)	.	25 (8-74)	92 (67-110)	↓	,	n.c.	0 😊
Tumori maligni dell'ovaio e degli altri annessi uterini(183)	F	5	6	.	.	15 (6-47)	.	83 (40-170)	100 (81-118)	,	,	n.c.	1
Tumore della prostata(185)	M	28	30	.	.	100 (71-143)	.	92 (68-125)	102 (83-124)	,	,	→	1


Tabella 6C - Loreto	Genere	Osservati	Attesi	Cluster sign.	SIR cluster	Tasso std. * 100000 (ic)	Tasso std. > Media reg.	SIR (ic)	BIR (ic)	SIR sign.	BIR sign.	Trend	Livello attenzione
Causa (ICD-IX)													
Tumore del testicolo(186)	M	<5	<5	.	.	3 (0-25)	.	38 (9-171)	102 (72-132)	,	,	n.c.	1
Tumori maligni della vescica(188)	F	8	7	.	.	25 (12-58)	.	121 (68-215)	104 (87-124)	,	,	n.c.	1
Tumori maligni della vescica(188)	M	18	27	.	.	64 (41-100)	.	68 (46-99)	98 (83-110)	↓	,	→	0 
Tumori maligni della vescica(188)	M + F	26	33	.	.	43 (30-66)	.	78 (57-108)	98 (85-111)	,	,	→	1
Tumori maligni del rene e di altri e non specificati organi urinari(189)	F	7	6	.	.	21 (10-54)	.	119 (64-219)	98 (79-123)	,	,	→	1
Tumori maligni del rene e di altri e non specificati organi urinari(189)	M	10	12	.	.	35 (19-66)	.	87 (52-146)	102 (82-125)	,	,	→	1
Tumori maligni del rene e di altri e non specificati organi urinari(189)	M + F	17	17	2	125	28 (18-48)	.	98 (66-145)	101 (83-122)	,	,	→	1
Tumori maligni dell'encefalo(191)	F	<5	<5	.	.	13 (4-44)	.	105 (47-233)	94 (66-129)	,	,	n.c.	1
Tumori maligni dell'encefalo(191)	M	>5	>5	.	.	28 (14-57)	.	165 (93-292)	112 (89-152)	,	,	n.c.	1
Tumori maligni dell'encefalo(191)	M + F	12	9	.	.	20 (12-39)	.	138 (86-221)	107 (84-138)	,	,	n.c.	1
Tumori maligni del sistema nervoso centrale(191-192)	F	<5	<5	.	.	13 (4-44)	.	91 (41-202)	94 (66-125)	,	,	n.c.	1
Tumori maligni del sistema nervoso centrale(191-192)	M	>5	>5	.	.	28 (14-57)	.	152 (86-270)	109 (86-153)	,	,	n.c.	1
Tumori maligni del sistema nervoso centrale(191-192)	M + F	12	10	.	.	20 (12-39)	.	124 (78-199)	104 (82-135)	,	,	n.c.	1
Tumori maligni della ghiandola tiroide(193)	F	>5	>5	.	.	26 (13-59)	.	101 (57-178)	92 (66-125)	,	,	n.c.	1
Tumori maligni della ghiandola tiroide(193)	M	<5	<5	.	.	14 (5-39)	.	159 (72-355)	96 (58-160)	,	,	n.c.	1
Tumori maligni della ghiandola tiroide(193)	M + F	12	11	.	.	20 (12-39)	.	115 (72-184)	93 (67-128)	,	,	→	1
Linfoma non Hodgkin(200, 202)	F	8	7	.	.	25 (12-58)	.	117 (66-207)	102 (83-134)	,	,	n.c.	1






Tabella 6C - Loreto	Genere	Osservati	Attesi	Cluster sign.	SIR cluster	Tasso std. * 100000 (ic)	Tasso std. > Media reg.	SIR (ic)	BIR (ic)	SIR sign.	BIR sign.	Trend	Livello attenzione
Causa (ICD-IX)													
Linfoma non Hodgkin(200, 202)	M	11	8	.	.	39 (22-70)	.	131 (80-215)	108 (86-139)	,	,	n.c.	1
Linfoma non Hodgkin(200, 202)	M + F	19	15	.	.	32 (21-52)	.	125 (86-182)	110 (89-139)	,	,	→	1
Tumori emolinfopoiетici(200-208)	F	15	15	.	.	46 (29-83)	.	101 (66-153)	99 (79-121)	,	,	↓	0 
Tumori emolinfopoiетici(200-208)	M	24	17	.	.	84 (58-123)	.	142 (101-198)	111 (92-139)	↑	,	→	3 
Tumori emolinfopoiетici(200-208)	M + F	39	32	.	.	64 (48-89)	.	122 (94-159)	108 (90-130)	,	,	→	1
Malattia di Hodgkin(201)	F	<5	<5	.	.	3 (0-32)	.	67 (15-300)	109 (87-135)	,	,	n.c.	1
Malattia di Hodgkin(201)	M	0	1	.	.	0 (0-21)	.	0 (.-.)	96 (71-126)	,	,	n.c.	1
Malattia di Hodgkin(201)	M + F	<5	<5	.	.	2 (0-17)	.	36 (8-160)	98 (66-129)	,	,	n.c.	1
Mieloma multiplo e tumori immunoproliferativi(203)	F	<5	<5	.	.	13 (4-44)	.	136 (61-303)	93 (65-127)	,	,	n.c.	1
Mieloma multiplo e tumori immunoproliferativi(203)	M	>5	<5	.	.	18 (7-45)	.	158 (77-324)	99 (67-152)	,	,	n.c.	1
Mieloma multiplo e tumori immunoproliferativi(203)	M + F	9	6	.	.	15 (8-33)	.	147 (86-253)	96 (66-144)	,	,	→	1
Leucemie(204-208)	F	<5	>5	.	.	12 (4-43)	.	90 (40-200)	99 (68-138)	,	,	n.c.	1
Leucemie(204-208)	M	>5	>5	2	140	31 (16-60)	.	165 (96-283)	108 (85-153)	,	,	n.c.	1
Leucemie(204-208)	M + F	13	10	.	.	21 (12-40)	.	131 (83-206)	113 (85-151)	,	,	→	1
Gozzo non tossico(240-241)	F	<5	>5	.	.	9 (2-39)	.	22 (9-55)	48 (31-71)	↓	↓	n.c.	0 
Gozzo non tossico(240-241)	M	0	4	.	.	0 (0-21)	.	0 (.-.)	41 (21-69)	,	↓	n.c.	0 
Gozzo non tossico(240-241)	M + F	<5	>5	.	.	5 (1-20)	.	17 (7-42)	39 (25-58)	↓	↓	n.c.	0 




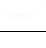




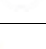

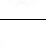
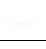


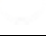

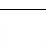
Tabella 6C - Loreto	Genere	Osservati	Attesi	Cluster sign.	SIR cluster	Tasso std. * 100000 (ic)	Tasso std. > Media reg.	SIR (ic)	BIR (ic)	SIR sign.	BIR sign.	Trend	Livello attenzione
Causa (ICD-IX)													
Malattie endocrine e della nutrizione(240-2799)	F	76	95	.	.	233 (191-291)	.	80 (66-96)	83 (70-96)	↓	↓	↓	0 
Malattie endocrine e della nutrizione(240-2799)	M	68	71	.	.	223 (180-278)	.	96 (78-117)	97 (82-114)	.	.	→	1 
Malattie endocrine e della nutrizione(240-2799)	M + F	144	167	.	.	228 (198-267)	.	87 (75-99)	88 (78-99)	↓	↓	→	0 
Tireotossicosi(242)	F	<5	>5	.	.	7 (1-36)	.	44 (14-132)	73 (45-108)	.	.	n.c.	1 
Tireotossicosi(242)	M	0	2	.	.	0 (0-21)	.	0 (.-.)	54 (23-108)	.	.	n.c.	1 
Tireotossicosi(242)	M + F	<5	>5	.	.	3 (1-19)	.	33 (11-98)	60 (36-92)	↓	↓	n.c.	0 
Ipotiroidismo(243-244)	F	<5	<5	.	.	3 (0-32)	.	43 (10-194)	106 (71-142)	.	.	n.c.	1 
Ipotiroidismo(243-244)	M	<5	<5	.	.	6 (1-29)	.	103 (34-313)	104 (81-132)	.	.	n.c.	1 
Ipotiroidismo(243-244)	M + F	<5	<5	.	.	4 (1-20)	.	71 (28-177)	107 (87-128)	.	.	n.c.	1 
Diabete mellito(250)	F	13	16	.	.	41 (24-77)	.	79 (50-125)	84 (58-121)	.	.	→	1 
Diabete mellito(250)	M	17	20	.	.	58 (37-93)	.	86 (58-127)	88 (62-123)	.	.	→	1 
Diabete mellito(250)	M + F	30	36	.	.	49 (36-72)	.	83 (61-112)	87 (66-113)	.	.	→	1 
Malattie del sangue e degli organi emopoietici(280-289)	F	33	34	.	.	101 (74-146)	.	98 (74-131)	99 (77-124)	.	.	→	1 
Malattie del sangue e degli organi emopoietici(280-289)	M	21	27	.	.	72 (48-109)	.	79 (55-112)	85 (64-111)	.	.	→	1 
Malattie del sangue e degli organi emopoietici(280-289)	M + F	54	60	.	.	87 (69-114)	.	90 (72-112)	91 (74-110)	.	.	→	1 
Malattie neuro-psichiatriche (escluse tossicod.)(290-303, 306-319)	F	40	42	.	.	124 (94-172)	.	95 (73-123)	98 (80-119)	.	.	→	1 
Malattie neuro-psichiatriche (escluse tossicod.)(290-303, 306-319)	M	39	48	.	.	128 (96-172)	.	81 (62-105)	90 (73-111)	.	.	→	1 




Tabella 6C - Loreto	Genere	Osservati	Attesi	Cluster sign.	SIR cluster	Tasso std. * 100000 (ic)	Tasso std. > Media reg.	SIR (ic)	BIR (ic)	SIR sign.	BIR sign.	Trend	Livello attenzione
Causa (ICD-IX)													
Malattie neuro-psichiatriche (escluse tossicod.)(290-303, 306-319)	M + F	79	91	.	.	126 (104-157)	.	87 (73-105)	93 (79-109)	.	.	→	1
Malattie del sistema nervoso e degli organi di senso(320-389)	F	225	237	.	.	696 (622-786)	.	95 (85-106)	97 (88-107)	.	.	↓	0 
Malattie del sistema nervoso e degli organi di senso(320-389)	M	193	189	.	.	665 (588-753)	.	102 (91-115)	103 (92-114)	.	.	↓	0 
Malattie del sistema nervoso e degli organi di senso(320-389)	M + F	418	426	.	.	681 (627-742)	.	98 (90-106)	99 (92-107)	.	.	↓	0 
Malattia di Alzheimer(3310)	F	11	14	.	.	34 (19-68)	.	77 (47-126)	89 (55-135)	.	.	→	1
Malattia di Alzheimer(3310)	M	8	6	.	.	28 (14-57)	.	127 (72-226)	129 (73-213)	.	.	n.c.	1
Malattia di Alzheimer(3310)	M + F	19	21	.	.	31 (20-51)	.	93 (64-135)	102 (70-143)	.	.	→	1
Morbo di Parkinson(3320)	F	<5	<5	.	.	12 (4-43)	.	134 (60-299)	120 (68-207)	.	.	n.c.	1
Morbo di Parkinson(3320)	M	<5	<5	.	.	7 (1-31)	.	55 (18-166)	106 (60-173)	.	.	n.c.	1
Morbo di Parkinson(3320)	M + F	6	7	.	.	10 (4-26)	.	91 (47-175)	115 (75-169)	.	.	n.c.	1
Malattia dei neuroni motori(3352)	F	<5	<5	.	.	3 (0-33)	.	78 (17-351)	100 (43-211)	.	.	n.c.	1
Malattia dei neuroni motori(3352)	M	<5	<5	.	.	7 (1-31)	.	154 (51-465)	112 (72-177)	.	.	n.c.	1
Malattia dei neuroni motori(3352)	M + F	<5	<5	.	.	5 (1-21)	.	116 (46-291)	108 (83-140)	.	.	n.c.	1
Sclerosi multipla(340)	F	<5	<5	.	.	9 (3-40)	.	72 (29-181)	96 (73-117)	.	.	n.c.	1
Sclerosi multipla(340)	M	<5	<5	.	.	9 (3-33)	.	131 (52-327)	107 (77-153)	.	.	n.c.	1
Sclerosi multipla(340)	M + F	6	7	.	.	9 (4-26)	.	93 (48-180)	98 (72-126)	.	.	n.c.	1
Malattie cardiache(390-429)	F	218	195	.	.	665 (593-752)	↑	112 (100-125)	107 (97-118)	.	.	→	1





Tabella 6C - Loreto	Genere	Osservati	Attesi	Cluster sign.	SIR cluster	Tasso std. * 100000 (ic)	Tasso std. > Media reg.	SIR (ic)	BIR (ic)	SIR sign.	BIR sign.	Trend	Livello attenzione
Causa (ICD-IX)													
Malattie cardiache(390-429)	M	243	222	.	.	863 (774-964)	↑	110 (99-122)	107 (98-116)	.	.	→	1
Malattie cardiache(390-429)	M + F	461	417	.	.	760 (703-825)	↑	111 (102-119)	109 (101-117)	↑	↑	→	5 
Malattie dell'apparato circolatorio(390-459)	F	342	336	.	.	1049 (958-1156)	.	102 (93-111)	101 (93-109)	.	.	→	1
Malattie dell'apparato circolatorio(390-459)	M	364	354	.	.	1283 (1174-1403)	.	103 (94-112)	103 (96-110)	.	.	→	1
Malattie dell'apparato circolatorio(390-459)	M + F	706	690	.	.	1162 (1090-1240)	.	102 (96-109)	102 (97-108)	.	.	→	1
Malattie ischemiche del cuore(410-4149)	F	71	66	.	.	217 (177-274)	.	107 (88-130)	104 (87-122)	.	.	→	1
Malattie ischemiche del cuore(410-4149)	M	124	111	.	.	441 (378-517)	↑	112 (96-130)	109 (96-123)	.	.	→	1
Malattie ischemiche del cuore(410-4149)	M + F	195	177	.	.	325 (288-370)	↑	110 (98-124)	109 (97-121)	.	.	→	1
Insufficienza cardiaca (scompenso cardiaco)(428)	F	89	84	.	.	268 (223-329)	.	106 (89-126)	101 (86-117)	.	.	→	1
Insufficienza cardiaca (scompenso cardiaco)(428)	M	74	67	.	.	265 (216-326)	.	111 (92-134)	108 (91-125)	.	.	→	1
Insufficienza cardiaca (scompenso cardiaco)(428)	M + F	163	151	.	.	267 (233-308)	.	108 (95-123)	107 (95-120)	.	.	→	1
Malattie cerebrovascolari(430-438)	F	111	115	.	.	338 (287-404)	.	97 (83-113)	98 (86-112)	.	.	→	1
Malattie cerebrovascolari(430-438)	M	105	102	.	.	374 (316-445)	.	103 (87-120)	101 (88-115)	.	.	→	1
Malattie cerebrovascolari(430-438)	M + F	216	217	.	.	355 (316-402)	.	99 (89-111)	100 (90-110)	.	.	→	1
Malattie dell'apparato respiratorio(460-5199)	F	193	213	.	.	603 (533-689)	.	91 (81-102)	91 (82-100)	.	↓	→	0 
Malattie dell'apparato respiratorio(460-5199)	M	251	256	.	.	846 (760-944)	.	98 (89-109)	98 (89-107)	.	.	→	1
Malattie dell'apparato respiratorio(460-5199)	M + F	444	468	.	.	720 (664-783)	.	95 (88-103)	94 (88-101)	.	.	→	1









Tabella 6C - Loreto	Genere	Osservati	Attesi	Cluster sign.	SIR cluster	Tasso std. * 100000 (ic)	Tasso std. > Media reg.	SIR (ic)	BIR (ic)	SIR sign.	BIR sign.	Trend	Livello attenzione
Causa (ICD-IX)													
Malattie polmonari cronico ostruttive(490-492, 494, 496)	F	21	18	.	.	65 (43-104)	.	118 (83-169)	106 (76-145)	.	.	→	1
Malattie polmonari cronico ostruttive(490-492, 494, 496)	M	13	22	.	.	46 (27-79)	.	60 (38-95)	75 (53-100)	↓	↓	n.c.	0 
Malattie polmonari cronico ostruttive(490-492, 494, 496)	M + F	34	39	.	.	56 (41-79)	.	86 (65-114)	87 (67-111)	.	.	→	1
Pneumoconiosi(500-505)	F	0	0	.	.	0 (0-29)	.	0 (.-.)	79 (8-391)	.	.	n.c.	1
Pneumoconiosi(500-505)	M	0	0	.	.	0 (0-21)	.	0 (.-.)	61 (15-152)	.	.	n.c.	1
Pneumoconiosi(500-505)	M + F	0	0	.	.	0 (0-15)	.	0 (.-.)	75 (28-144)	.	.	n.c.	1
Malattie dell'apparato digerente(520-579)	F	288	275	.	.	893 (809-993)	.	105 (95-116)	105 (97-113)	.	.	→	1
Malattie dell'apparato digerente(520-579)	M	405	356	.	.	1395 (1283-1519)	↑	114 (105-123)	110 (103-118)	↑	↑	→	5 
Malattie dell'apparato digerente(520-579)	M + F	693	631	.	.	1135 (1065-1212)	↑	110 (103-117)	109 (103-115)	↑	↑	→	5 
Cirrosi e altre malattie croniche del fegato(571)	F	7	7	.	.	22 (10-54)	.	101 (55-186)	107 (84-138)	.	.	n.c.	1
Cirrosi e altre malattie croniche del fegato(571)	M	23	12	.	.	80 (55-119)	↑	191 (136-269)	149 (111-205)	↑	↑	→	5 
Cirrosi e altre malattie croniche del fegato(571)	M + F	30	19	.	.	50 (36-73)	↑	158 (117-213)	131 (105-167)	↑	↑	→	5 
Nefropatie croniche e acute(580-589)	F	13	30	.	.	40 (24-76)	.	43 (27-67)	60 (43-81)	↓	↓	n.c.	0 
Nefropatie croniche e acute(580-589)	M	35	36	.	.	122 (90-166)	.	98 (75-130)	100 (78-124)	.	.	→	1
Nefropatie croniche e acute(580-589)	M + F	48	66	.	.	79 (61-106)	.	73 (57-92)	80 (65-97)	↓	↓	→	0 
Malattie dell'apparato urinario(580-599)	F	45	78	.	.	140 (108-189)	.	58 (45-74)	70 (57-84)	↓	↓	→	0 
Malattie dell'apparato urinario(580-599)	M	102	101	.	.	353 (297-421)	.	101 (86-118)	103 (90-117)	.	.	→	1


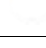
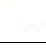


Tabella 6C - Loreto													
Causa (ICD-IX)	Genere	Osservati	Attesi	Cluster sign.	SIR cluster	Tasso std. * 100000 (ic)	Tasso std. > Media reg.	SIR (ic)	BIR (ic)	SIR sign.	BIR sign.	Trend	Livello attenzione
Malattie dell'apparato urinario(580-599)	M + F	147	180	.	.	243 (211-282)	.	82 (72-94)	88 (78-98)	↓	↓	→	0 
Endometriosi(617)	F	12	12	.	.	37 (21-72)	.	98 (61-156)	105 (75-146)	.	.	n.c.	1 
Malformazioni congenite(740-759)	F	36	39	.	.	110 (82-156)	.	93 (71-123)	89 (73-107)	.	.	→	1 
Malformazioni congenite(740-759)	M	57	58	.	.	181 (143-231)	.	98 (79-121)	100 (84-116)	.	.	→	1 
Malformazioni congenite(740-759)	M + F	93	97	.	.	144 (120-176)	.	96 (81-114)	95 (83-108)	.	.	→	1 

Tabella 7C. Incidenza di primi ricoveri ospedalieri per causa nel comune di Macerata, tutte le età, periodo di osservazione 2009-2013





Tabella 7C - Macerata	Genere	Osservati	Attesi	Cluster sign.	SIR cluster	Tasso std. * 100000 (ic)	Tasso std. > Media reg.	SIR (ic)	BIR (ic)	SIR sign.	BIR sign.	Trend	Livello attenzione
Causa (ICD-IX)													
Malattie infettive(001-139)	F	176	173	.	.	156 (137-177)	.	102 (90-115)	104 (92-116)	.	.	→	1
Malattie infettive(001-139)	M	194	187	.	.	194 (172-219)	.	104 (92-117)	102 (91-113)	.	.	→	1
Malattie infettive(001-139)	M + F	370	360	.	.	174 (159-190)	.	103 (94-112)	104 (95-112)	.	.	→	1
Tumori maligni delle vie aeree e digestive superiori(140-150, 161)	F	9	14	.	.	8 (4-14)	.	66 (39-114)	99 (73-124)	.	.	n.c.	1
Tumori maligni delle vie aeree e digestive superiori(140-150, 161)	M	41	33	.	.	40 (30-52)	.	124 (96-160)	107 (92-129)	.	.	→	1
Tumori maligni delle vie aeree e digestive superiori(140-150, 161)	M + F	50	47	.	.	23 (18-29)	.	107 (85-135)	104 (90-120)	.	.	→	1
Tumori maligni(140-208)	F	773	717	.	.	669 (630-710)	↑	108 (102-114)	107 (101-112)	↑	↑	→	5 
Tumori maligni(140-208)	M	739	728	.	.	718 (676-764)	.	102 (96-108)	102 (96-107)	.	.	→	1
Tumori maligni(140-208)	M + F	1512	1444	.	.	693 (664-723)	↑	105 (100-109)	105 (101-109)	↑	↑	→	5 
Tumori maligni dell'esofago(150)	F	<5	<5	.	.	1 (0-4)	.	52 (12-235)	99 (64-139)	.	.	n.c.	1
Tumori maligni dell'esofago(150)	M	<5	>5	.	.	4 (1-9)	.	88 (39-196)	105 (72-136)	.	.	n.c.	1
Tumori maligni dell'esofago(150)	M + F	5	7	.	.	2 (1-5)	.	77 (38-159)	97 (72-126)	.	.	n.c.	1
Tumori maligni dello stomaco(151)	F	29	32	.	.	24 (17-33)	.	91 (67-123)	94 (76-117)	.	.	↓	0 
Tumori maligni dello stomaco(151)	M	49	38	2	143	48 (37-61)	↑	128 (101-161)	113 (94-137)	↑	.	→	3 
Tumori maligni dello stomaco(151)	M + F	78	70	.	.	36 (29-43)	.	111 (92-134)	107 (92-124)	.	.	→	1
Tumori maligni dell'intestino tenue, compreso il duodeno(152)	F	<5	<5	.	.	1 (0-4)	.	44 (10-198)	88 (43-135)	.	.	n.c.	1


Tabella 7C - Macerata	Genere	Osservati	Attesi	Cluster sign.	SIR cluster	Tasso std. * 100000 (ic)	Tasso std. > Media reg.	SIR (ic)	BIR (ic)	SIR sign.	BIR sign.	Trend	Livello attenzione
Causa (ICD-IX)													
Tumori maligni dell'intestino tenue, compreso il duodeno(152)	M	0	4	.	.	0 (0-3)	.	0 (-.)	103 (65-133)	.	.	n.c.	1
Tumori maligni dell'intestino tenue, compreso il duodeno(152)	M + F	<5	>5	.	.	0 (0-2)	.	16 (4-73)	98 (59-123)	↓	.	n.c.	0 
Tumori maligni del colon(153)	F	80	75	.	.	68 (56-82)	.	106 (89-128)	104 (90-119)	.	.	→	1
Tumori maligni del colon(153)	M	86	81	.	.	83 (69-100)	.	106 (89-127)	105 (93-119)	.	.	→	1
Tumori maligni del colon(153)	M + F	166	156	.	.	75 (66-86)	.	106 (94-121)	105 (95-117)	.	.	→	1
Tumori maligni del colon-retto(153-154)	F	101	100	.	.	86 (73-102)	.	101 (86-119)	102 (90-113)	.	.	→	1
Tumori maligni del colon-retto(153-154)	M	114	115	.	.	110 (94-129)	.	99 (85-116)	102 (92-112)	.	.	→	1
Tumori maligni del colon-retto(153-154)	M + F	215	215	.	.	98 (87-110)	.	100 (90-112)	102 (93-110)	.	.	→	1
Tumori maligni del retto, della giunzione retto-sigmoidea e dell'ano(154)	F	28	32	.	.	24 (17-33)	.	88 (64-119)	99 (85-113)	.	.	→	1
Tumori maligni del retto, della giunzione retto-sigmoidea e dell'ano(154)	M	39	42	.	.	38 (28-50)	.	93 (72-121)	97 (85-111)	.	.	→	1
Tumori maligni del retto, della giunzione retto-sigmoidea e dell'ano(154)	M + F	67	74	.	.	31 (25-38)	.	91 (74-111)	97 (86-110)	.	.	→	1
Tumore fegato e dotti biliari(1550-1551)	F	6	8	.	.	5 (2-10)	.	73 (38-140)	85 (58-116)	.	.	n.c.	1
Tumore fegato e dotti biliari(1550-1551)	M	17	16	.	.	16 (10-25)	.	108 (73-161)	101 (81-126)	.	.	n.c.	1
Tumore fegato e dotti biliari(1550-1551)	M + F	23	24	.	.	10 (7-15)	.	96 (68-135)	96 (77-120)	.	.	→	1
Tumori maligni del pancreas(157)	F	29	24	.	.	25 (18-34)	.	121 (89-164)	104 (90-125)	.	.	→	1
Tumori maligni del pancreas(157)	M	21	23	.	.	20 (14-29)	.	92 (65-132)	99 (86-111)	.	.	→	1
Tumori maligni del pancreas(157)	M + F	50	47	.	.	22 (18-29)	.	107 (85-135)	101 (91-114)	.	.	→	1

Tabella 7C - Macerata	Genere	Osservati	Attesi	Cluster sign.	SIR cluster	Tasso std. * 100000 (ic)	Tasso std. > Media reg.	SIR (ic)	BIR (ic)	SIR sign.	BIR sign.	Trend	Livello attenzione
Causa (ICD-IX)													
Tumore del retroperitoneo(1580)	F	0	1	.	.	0 (0-3)	.	0 (.-.)	102 (60-153)	,	,	n.c.	1
Tumore del retroperitoneo(1580)	M	0	1	.	.	0 (0-3)	.	0 (.-.)	67 (18-136)	,	,	n.c.	1
Tumore del retroperitoneo(1580)	M + F	0	3	.	.	0 (0-2)	.	0 (.-.)	91 (48-129)	,	,	n.c.	1
Tumori maligni del naso(1600)	F	0	0	.	.	0 (0-3)	.	0 (.-.)	65 (29-125)	,	,	n.c.	1
Tumori maligni del naso(1600)	M	<5	<5	.	.	1 (0-5)	.	93 (21-415)	110 (51-201)	,	,	n.c.	1
Tumori maligni del naso(1600)	M + F	<5	<5	.	.	1 (0-2)	.	73 (16-328)	92 (45-164)	,	,	n.c.	1
Tumori maligni della laringe(161)	F	<5	<5	.	.	2 (0-6)	.	100 (33-303)	102 (52-167)	,	,	n.c.	1
Tumori maligni della laringe(161)	M	>5	>5	.	.	17 (11-26)	.	120 (82-176)	106 (87-130)	,	,	→	1
Tumori maligni della laringe(161)	M + F	20	17	.	.	9 (6-14)	.	118 (82-169)	107 (91-128)	,	,	→	1
Tumori maligni della trachea, dei bronchi e dei polmoni(162)	F	32	36	.	.	28 (20-37)	.	89 (67-119)	95 (77-115)	,	,	→	1
Tumori maligni della trachea, dei bronchi e dei polmoni(162)	M	89	93	.	.	86 (72-103)	.	96 (81-114)	102 (91-113)	,	,	→	1
Tumori maligni della trachea, dei bronchi e dei polmoni(162)	M + F	121	129	.	.	56 (48-65)	.	94 (81-109)	100 (90-109)	,	,	→	1
Tumori maligni della pleura(163)	F	<5	<5	.	.	1 (0-4)	.	54 (12-242)	97 (50-154)	,	,	n.c.	1
Tumori maligni della pleura(163)	M	<5	<5	.	.	2 (0-6)	.	49 (16-148)	67 (34-119)	,	,	n.c.	1
Tumori maligni della pleura(163)	M + F	<5	>5	.	.	1 (0-4)	.	51 (20-127)	75 (42-118)	,	,	n.c.	1
Mesoteliomi pleurici e peritoneali(1588, 163)	F	>5	<5	.	.	4 (2-9)	.	194 (94-398)	114 (75-194)	,	,	n.c.	1
Mesoteliomi pleurici e peritoneali(1588, 163)	M	<5	<5	.	.	2 (0-6)	.	47 (16-142)	70 (37-118)	,	,	n.c.	1








Tabella 7C - Macerata	Genere	Osservati	Attesi	Cluster sign.	SIR cluster	Tasso std. * 100000 (ic)	Tasso std. > Media reg.	SIR (ic)	BIR (ic)	SIR sign.	BIR sign.	Trend	Livello attenzione
Causa (ICD-IX)													
Mesoteliomi pleurici e peritoneali(1588, 163)	M + F	7	7	.	.	3 (1-6)	.	102 (56-189)	96 (60-149)	,	,	n.c.	1
Tumori maligni delle ossa e della cartilagine articolare(170)	F	<5	<5	.	.	2 (0-6)	.	66 (22-199)	108 (66-154)	,	,	n.c.	1
Tumori maligni delle ossa e della cartilagine articolare(170)	M	<5	<5	.	.	2 (0-6)	.	66 (22-200)	97 (74-124)	,	,	n.c.	1
Tumori maligni delle ossa e della cartilagine articolare(170)	M + F	<5	>5	.	.	2 (1-4)	.	66 (30-147)	102 (80-128)	,	,	n.c.	1
Tumori maligni del connettivo e di altri tessuti molli(171)	F	7	6	.	.	6 (3-12)	.	113 (61-209)	98 (72-130)	,	,	n.c.	1
Tumori maligni del connettivo e di altri tessuti molli(171)	M	9	8	.	.	9 (5-16)	.	112 (65-192)	90 (61-124)	,	,	n.c.	1
Tumori maligni del connettivo e di altri tessuti molli(171)	M + F	16	14	.	.	7 (5-11)	.	112 (75-169)	93 (67-127)	,	,	n.c.	1
Melanoma maligno della pelle(172)	F	5	16	.	.	4 (2-9)	.	31 (15-64)	71 (48-97)	↓	↓	n.c.	0 
Melanoma maligno della pelle(172)	M	11	16	.	.	11 (6-18)	.	69 (42-112)	77 (56-102)	,	,	→	1
Melanoma maligno della pelle(172)	M + F	16	32	.	.	8 (5-12)	.	50 (33-75)	68 (51-86)	↓	↓	→	0 
Tumori maligni della mammella(174-175)	F	>5	>5	.	.	224 (202-249)	↑	122 (110-136)	117 (106-128)	↑	↑	→	5 
Tumori maligni della mammella(174-175)	M	<5	<5	.	.	2 (0-6)	.	108 (36-325)	92 (59-144)	,	,	n.c.	1
Tumori maligni della mammella(174-175)	M + F	259	212	.	.	117 (106-130)	↑	122 (110-135)	117 (106-128)	↑	↑	→	5 
Tumori maligni dell'utero(179-180, 182)	F	62	45	.	.	54 (44-67)	↑	137 (111-169)	113 (100-137)	↑	↑	→	5 
Tumori maligni del corpo dell'utero(182)	F	42	30	.	.	37 (28-48)	↑	141 (109-182)	110 (95-141)	↑	,	→	3 
Tumori maligni dell'ovaio e degli altri annessi uterini(183)	F	33	22	.	.	28 (21-38)	↑	151 (114-201)	106 (93-133)	↑	,	→	3 
Tumore della prostata(185)	M	125	113	.	.	121 (104-141)	.	111 (96-128)	110 (98-123)	,	,	→	1

Tabella 7C - Macerata	Genere	Osservati	Attesi	Cluster sign.	SIR cluster	Tasso std. * 100000 (ic)	Tasso std. > Media reg.	SIR (ic)	BIR (ic)	SIR sign.	BIR sign.	Trend	Livello attenzione
Causa (ICD-IX)													
Tumore del testicolo(186)	M	8	9	.	.	8 (4-15)	.	94 (53-166)	103 (81-126)	,	,	n.c.	1
Tumori maligni della vescica(188)	F	30	24	.	.	26 (18-35)	.	124 (92-167)	105 (92-124)	,	,	→	1
Tumori maligni della vescica(188)	M	91	98	.	.	87 (73-104)	.	93 (78-110)	99 (89-108)	,	,	→	1
Tumori maligni della vescica(188)	M + F	121	122	.	.	55 (47-64)	.	99 (85-115)	100 (91-109)	,	,	→	1
Tumori maligni del rene e di altri e non specificati organi urinari(189)	F	22	21	.	.	19 (13-27)	.	103 (72-145)	96 (81-114)	,	,	→	1
Tumori maligni del rene e di altri e non specificati organi urinari(189)	M	47	42	.	.	46 (35-58)	.	113 (89-143)	106 (91-124)	,	,	→	1
Tumori maligni del rene e di altri e non specificati organi urinari(189)	M + F	69	63	.	.	32 (26-39)	.	109 (90-133)	104 (91-119)	,	,	→	1
Tumori maligni dell'encefalo(191)	F	15	14	.	.	13 (8-20)	.	110 (72-168)	97 (75-123)	,	,	n.c.	1
Tumori maligni dell'encefalo(191)	M	13	17	.	.	13 (8-21)	.	76 (48-119)	102 (80-120)	,	,	→	1
Tumori maligni dell'encefalo(191)	M + F	28	31	.	.	13 (9-18)	.	91 (67-124)	98 (80-115)	,	,	→	1
Tumori maligni del sistema nervoso centrale(191-192)	F	18	16	.	.	16 (10-23)	.	114 (78-168)	97 (80-120)	,	,	→	1
Tumori maligni del sistema nervoso centrale(191-192)	M	14	19	.	.	14 (8-22)	.	75 (49-117)	100 (74-118)	,	,	→	1
Tumori maligni del sistema nervoso centrale(191-192)	M + F	32	34	.	.	15 (11-20)	.	93 (70-125)	98 (80-115)	,	,	→	1
Tumori maligni della ghiandola tiroide(193)	F	34	28	2	145	31 (23-41)	.	124 (93-164)	110 (90-134)	,	,	→	1
Tumori maligni della ghiandola tiroide(193)	M	13	9	.	.	13 (8-21)	.	151 (96-238)	112 (83-155)	,	,	→	1
Tumori maligni della ghiandola tiroide(193)	M + F	47	36	2	141	22 (17-29)	.	130 (103-166)	115 (96-138)	↑	,	→	3 ☹️
Linfoma non Hodgkin(200, 202)	F	32	25	.	.	28 (20-38)	.	130 (97-174)	104 (89-126)	,	,	→	1



Tabella 7C - Macerata	Genere	Osservati	Attesi	Cluster sign.	SIR cluster	Tasso std. * 100000 (ic)	Tasso std. > Media reg.	SIR (ic)	BIR (ic)	SIR sign.	BIR sign.	Trend	Livello attenzione
Causa (ICD-IX)													
Linfoma non Hodgkin(200, 202)	M	30	30	.	.	30 (21-40)	.	101 (75-136)	101 (83-121)	.	.	→	1
Linfoma non Hodgkin(200, 202)	M + F	62	54	.	.	29 (23-36)	.	114 (93-141)	105 (91-122)	.	.	→	1
Tumori emolinfopoietici(200-208)	F	55	54	.	.	48 (38-60)	.	103 (82-128)	100 (87-115)	.	.	→	1
Tumori emolinfopoietici(200-208)	M	52	61	.	.	51 (40-65)	.	86 (68-108)	92 (80-104)	.	.	→	1
Tumori emolinfopoietici(200-208)	M + F	107	114	.	.	49 (42-58)	.	94 (80-110)	93 (83-105)	.	.	→	1
Malattia di Hodgkin(201)	F	>5	>5	.	.	6 (3-12)	.	136 (74-250)	111 (91-135)	.	.	n.c.	1
Malattia di Hodgkin(201)	M	<5	<5	.	.	3 (1-8)	.	68 (27-169)	96 (74-120)	.	.	n.c.	1
Malattia di Hodgkin(201)	M + F	10	10	.	.	5 (3-8)	.	104 (62-174)	104 (80-132)	.	.	→	1
Mieloma multiplo e tumori immunoproliferativi(203)	F	6	11	.	.	5 (2-10)	.	56 (29-108)	87 (66-109)	.	.	n.c.	1
Mieloma multiplo e tumori immunoproliferativi(203)	M	10	12	.	.	10 (5-17)	.	86 (51-144)	90 (66-120)	.	.	→	1
Mieloma multiplo e tumori immunoproliferativi(203)	M + F	16	22	.	.	7 (5-11)	.	72 (48-108)	81 (62-103)	.	.	→	1
Leucemie(204-208)	F	12	16	.	.	10 (6-17)	.	75 (47-120)	93 (70-115)	.	.	→	1
Leucemie(204-208)	M	12	20	.	.	12 (7-19)	.	62 (38-99)	88 (69-105)	↓	.	→	0 😊
Leucemie(204-208)	M + F	24	36	.	.	11 (8-16)	.	68 (48-94)	83 (65-100)	↓	↓	→	0 😊
Gozzo non tossico(240-241)	F	61	49	.	.	54 (44-68)	.	125 (102-155)	111 (92-132)	↑	.	→	3 😞
Gozzo non tossico(240-241)	M	11	15	.	.	11 (6-18)	.	75 (46-122)	79 (58-105)	.	.	→	1
Gozzo non tossico(240-241)	M + F	72	63	.	.	34 (27-41)	.	114 (94-138)	103 (88-122)	.	.	→	1





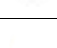
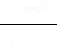
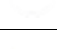
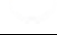
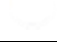







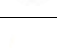
Tabella 7C - Macerata													
Causa (ICD-IX)	Genere	Osservati	Attesi	Cluster sign.	SIR cluster	Tasso std. * 100000 (ic)	Tasso std. > Media reg.	SIR (ic)	BIR (ic)	SIR sign.	BIR sign.	Trend	Livello attenzione
Malattie endocrine e della nutrizione(240-2799)	F	266	330	.	.	240 (217-266)	.	81 (73-89)	81 (74-89)	↓	↓	→	0 
Malattie endocrine e della nutrizione(240-2799)	M	166	236	.	.	168 (147-191)	.	70 (62-80)	74 (66-82)	↓	↓	↓	0 
Malattie endocrine e della nutrizione(240-2799)	M + F	432	566	.	.	206 (190-223)	.	76 (71-83)	77 (72-83)	↓	↓	↓	0 
Tireotossicosi(242)	F	>5	>5	.	.	14 (9-22)	.	100 (66-150)	94 (72-123)	.	.	→	1 
Tireotossicosi(242)	M	<5	>5	.	.	3 (1-8)	.	54 (22-136)	82 (52-124)	.	.	n.c.	1 
Tireotossicosi(242)	M + F	19	22	.	.	9 (6-13)	.	88 (61-128)	90 (69-115)	.	.	→	1 
Ipotiroidismo(243-244)	F	>5	>5	2	166	9 (5-15)	.	121 (70-208)	113 (86-153)	.	.	n.c.	1 
Ipotiroidismo(243-244)	M	<5	>5	.	.	4 (1-9)	.	66 (30-147)	102 (82-123)	.	.	n.c.	1 
Ipotiroidismo(243-244)	M + F	13	14	.	.	6 (4-10)	.	96 (61-151)	107 (91-127)	.	.	→	1 
Diabete mellito(250)	F	43	59	.	.	37 (29-48)	.	73 (57-94)	72 (58-89)	↓	↓	→	0 
Diabete mellito(250)	M	41	70	.	.	41 (31-53)	.	58 (45-75)	62 (50-77)	↓	↓	→	0 
Diabete mellito(250)	M + F	84	129	.	.	39 (32-47)	.	65 (54-78)	67 (57-79)	↓	↓	→	0 
Malattie del sangue e degli organi emopoietici(280-289)	F	118	118	.	.	103 (88-120)	.	100 (86-117)	99 (85-114)	.	.	→	1 
Malattie del sangue e degli organi emopoietici(280-289)	M	74	92	.	.	74 (60-90)	.	80 (66-97)	82 (70-96)	↓	↓	→	0 
Malattie del sangue e degli organi emopoietici(280-289)	M + F	192	210	.	.	89 (79-100)	.	91 (81-103)	91 (81-101)	.	.	→	1 
Malattie neuro-psichiatriche (escluse tossicod.)(290-303, 306-319)	F	142	145	.	.	127 (110-147)	.	98 (85-113)	97 (86-109)	.	.	→	1 
Malattie neuro-psichiatriche (escluse tossicod.)(290-303, 306-319)	M	150	157	.	.	152 (132-174)	.	95 (83-109)	95 (84-107)	.	.	→	1 








Tabella 7C - Macerata	Genere	Osservati	Attesi	Cluster sign.	SIR cluster	Tasso std. * 100000 (ic)	Tasso std. > Media reg.	SIR (ic)	BIR (ic)	SIR sign.	BIR sign.	Trend	Livello attenzione
Causa (ICD-IX)													
Malattie neuro-psichiatriche (escluse tossicod.)(290-303, 306-319)	M + F	292	302	.	.	139 (126-153)	.	97 (88-106)	97 (88-106)	.	.	→	1
Malattie del sistema nervoso e degli organi di senso(320-389)	F	714	845	.	.	624 (586-664)	.	85 (79-90)	84 (80-90)	↓	↓	↓	0 
Malattie del sistema nervoso e degli organi di senso(320-389)	M	591	664	.	.	585 (546-626)	.	89 (83-95)	88 (83-94)	↓	↓	↓	0 
Malattie del sistema nervoso e degli organi di senso(320-389)	M + F	1305	1509	.	.	605 (578-634)	.	86 (83-91)	86 (83-90)	↓	↓	↓	0 
Malattia di Alzheimer(3310)	F	74	52	.	.	62 (50-75)	↑	143 (118-173)	155 (127-186)	↑	↑	→	5 
Malattia di Alzheimer(3310)	M	29	24	.	.	28 (20-38)	↑	123 (91-167)	126 (93-166)	.	.	→	1
Malattia di Alzheimer(3310)	M + F	103	75	.	.	45 (38-54)	↑	137 (116-161)	148 (125-175)	↑	↑	→	5 
Morbo di Parkinson(3320)	F	15	11	.	.	13 (8-20)	.	138 (91-211)	129 (92-179)	.	.	→	1
Morbo di Parkinson(3320)	M	12	13	.	.	12 (7-19)	.	90 (56-144)	112 (78-153)	.	.	→	1
Morbo di Parkinson(3320)	M + F	27	24	.	.	12 (9-17)	.	111 (81-153)	124 (97-155)	.	.	→	1
Malattia dei neuroni motori(3352)	F	<5	>5	.	.	1 (0-4)	.	21 (5-96)	73 (38-121)	↓	.	n.c.	0 
Malattia dei neuroni motori(3352)	M	>5	>5	.	.	9 (5-16)	↑	192 (112-330)	126 (91-204)	↑	.	n.c.	3 
Malattia dei neuroni motori(3352)	M + F	10	9	.	.	5 (3-8)	.	107 (64-179)	108 (85-135)	.	.	→	1
Sclerosi multipla(340)	F	14	14	.	.	13 (8-20)	.	99 (64-154)	99 (83-119)	.	.	→	1
Sclerosi multipla(340)	M	11	8	.	.	11 (6-19)	.	145 (89-238)	112 (89-154)	.	.	→	1
Sclerosi multipla(340)	M + F	25	22	.	.	12 (8-17)	.	115 (83-160)	107 (89-132)	.	.	→	1
Malattie cardiache(390-429)	F	704	709	.	.	596 (559-634)	.	99 (93-106)	100 (94-106)	.	.	→	1


















Tabella 7C - Macerata													
Causa (ICD-IX)	Genere	Osservati	Attesi	Cluster sign.	SIR cluster	Tasso std. * 100000 (ic)	Tasso std. > Media reg.	SIR (ic)	BIR (ic)	SIR sign.	BIR sign.	Trend	Livello attenzione
Malattie cardiache(390-429)	M	922	807	2	107	898 (850-949)	↑	114 (108-121)	112 (107-118)	↑	↑	→	5 
Malattie cardiache(390-429)	M + F	1626	1516	.	.	741 (711-772)	↑	107 (103-112)	108 (104-112)	↑	↑	→	5 
Malattie dell'apparato circolatorio(390-459)	F	1211	1209	.	.	1035 (987-1086)	.	100 (96-105)	101 (97-106)	.	.	↓	0 
Malattie dell'apparato circolatorio(390-459)	M	1366	1268	2	106	1338 (1279-1399)	↑	108 (103-113)	107 (103-112)	↑	↑	→	5 
Malattie dell'apparato circolatorio(390-459)	M + F	2577	2477	.	.	1181 (1143-1220)	↑	104 (101-107)	105 (102-108)	↑	↑	↓	4 
Malattie ischemiche del cuore(410-4149)	F	255	242	.	.	215 (194-239)	.	105 (95-117)	108 (99-118)	.	.	↓	0 
Malattie ischemiche del cuore(410-4149)	M	496	405	2	114	483 (448-521)	↑	122 (114-132)	122 (113-131)	↑	↑	→	5 
Malattie ischemiche del cuore(410-4149)	M + F	751	647	2	113	344 (324-366)	↑	116 (109-123)	117 (111-124)	↑	↑	→	5 
Insufficienza cardiaca (scompenso cardiaco)(428)	F	292	306	.	.	244 (221-269)	.	96 (87-105)	95 (87-104)	.	.	→	1 
Insufficienza cardiaca (scompenso cardiaco)(428)	M	253	249	.	.	244 (219-271)	.	102 (92-113)	104 (95-113)	.	.	→	1 
Insufficienza cardiaca (scompenso cardiaco)(428)	M + F	545	555	.	.	244 (227-262)	.	98 (92-105)	100 (94-107)	.	.	→	1 
Malattie cerebrovascolari(430-438)	F	444	417	.	.	374 (346-405)	↑	106 (98-115)	107 (100-115)	.	↑	↓	3 
Malattie cerebrovascolari(430-438)	M	384	377	.	.	371 (341-404)	.	102 (94-111)	103 (96-111)	.	.	↓	0 
Malattie cerebrovascolari(430-438)	M + F	828	794	.	.	373 (352-395)	↑	104 (99-110)	105 (100-111)	.	.	↓	1 
Malattie dell'apparato respiratorio(460-5199)	F	750	743	.	.	657 (618-698)	.	101 (95-107)	98 (92-103)	.	.	→	1 
Malattie dell'apparato respiratorio(460-5199)	M	812	872	.	.	806 (760-854)	.	93 (88-99)	92 (87-97)	↓	↓	↓	0 
Malattie dell'apparato respiratorio(460-5199)	M + F	1562	1614	.	.	728 (698-760)	.	97 (93-101)	95 (91-99)	.	↓	↓	0 










Tabella 7C - Macerata													
Causa (ICD-IX)	Genere	Osservati	Attesi	Cluster sign.	SIR cluster	Tasso std. * 100000 (ic)	Tasso std. > Media reg.	SIR (ic)	BIR (ic)	SIR sign.	BIR sign.	Trend	Livello attenzione
Malattie polmonari cronico ostruttive(490-492, 494, 496)	F	62	64	.	.	52 (41-64)	.	96 (78-119)	92 (75-111)	.	.	→	1
Malattie polmonari cronico ostruttive(490-492, 494, 496)	M	74	79	.	.	71 (58-87)	.	94 (77-113)	95 (81-111)	.	.	↓	0 
Malattie polmonari cronico ostruttive(490-492, 494, 496)	M + F	136	144	.	.	61 (53-71)	.	95 (82-109)	94 (82-108)	.	.	↓	0 
Pneumoconiosi(500-505)	F	<5	<5	.	.	1 (0-4)	.	523 (117-2343)	113 (24-476)	↑	.	n.c.	1
Pneumoconiosi(500-505)	M	0	1	.	.	0 (0-3)	.	0 (-.)	57 (20-113)	.	.	n.c.	1
Pneumoconiosi(500-505)	M + F	<5	<5	.	.	0 (0-2)	.	61 (14-275)	74 (35-123)	.	.	n.c.	1
Malattie dell'apparato digerente(520-579)	F	987	962	.	.	872 (827-920)	.	103 (97-108)	102 (98-107)	.	.	→	1
Malattie dell'apparato digerente(520-579)	M	1248	1231	.	.	1241 (1184-1300)	.	101 (97-106)	101 (97-105)	.	.	↓	0 
Malattie dell'apparato digerente(520-579)	M + F	2235	2193	.	.	1050 (1013-1087)	.	102 (98-106)	102 (99-105)	.	.	↓	0 
Cirrosi e altre malattie croniche del fegato(571)	F	33	25	.	.	28 (21-38)	↑	132 (99-176)	110 (93-132)	.	.	→	1
Cirrosi e altre malattie croniche del fegato(571)	M	43	42	.	.	43 (33-55)	.	102 (80-131)	102 (85-123)	.	.	↓	0 
Cirrosi e altre malattie croniche del fegato(571)	M + F	76	67	.	.	35 (29-43)	.	113 (94-137)	109 (95-127)	.	.	↓	0 
Nefropatie croniche e acute(580-589)	F	97	110	.	.	82 (69-98)	.	88 (75-104)	91 (79-106)	.	.	→	1
Nefropatie croniche e acute(580-589)	M	106	130	.	.	104 (88-122)	.	82 (70-96)	85 (74-97)	↓	↓	→	0 
Nefropatie croniche e acute(580-589)	M + F	203	240	.	.	93 (82-104)	.	85 (75-95)	88 (79-97)	↓	↓	→	0 
Malattie dell'apparato urinario(580-599)	F	270	277	.	.	236 (213-261)	.	98 (88-108)	98 (89-108)	.	.	→	1
Malattie dell'apparato urinario(580-599)	M	324	360	.	.	319 (290-350)	.	90 (82-99)	93 (86-101)	↓	.	↓	0 


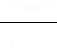
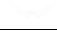
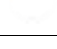

Tabella 7C - Macerata	Genere	Osservati	Attesi	Cluster sign.	SIR cluster	Tasso std. * 100000 (ic)	Tasso std. > Media reg.	SIR (ic)	BIR (ic)	SIR sign.	BIR sign.	Trend	Livello attenzione
Causa (ICD-IX)													
Malattie dell'apparato urinario(580-599)	M + F	594	637	.	.	276 (257-295)	.	93 (87-100)	95 (89-101)	↓	.	→	0 
Endometriosi(617)	F	49	40	.	.	45 (35-58)	↑	123 (97-156)	120 (99-145)	.	.	→	1 
Malformazioni congenite(740-759)	F	112	127	.	.	103 (88-121)	.	88 (76-103)	91 (80-101)	.	.	→	1 
Malformazioni congenite(740-759)	M	191	182	.	.	195 (173-220)	.	105 (93-118)	103 (93-113)	.	.	→	1 
Malformazioni congenite(740-759)	M + F	303	309	.	.	148 (134-162)	.	98 (89-108)	97 (90-105)	.	.	→	1 

Tabella 8C. Incidenza di primi ricoveri ospedalieri per causa nel comune di Monte San Giusto, tutte le età, periodo di osservazione 2009-2013


Tabella 8C - Monte San Giusto	Genere	Osservati	Attesi	Cluster sign.	SIR cluster	Tasso std. * 100000 (ic)	Tasso std. > Media reg.	SIR (ic)	BIR (ic)	SIR sign.	BIR sign.	Trend	Livello attenzione
Causa (ICD-IX)													
Malattie infettive(001-139)	F	20	29	.	.	107 (71-183)	.	69 (48-100)	75 (57-96)	.	↓	↓	0 
Malattie infettive(001-139)	M	44	36	.	.	217 (166-284)	.	123 (96-157)	109 (88-134)	.	.	→	1
Malattie infettive(001-139)	M + F	64	65	.	.	161 (129-211)	.	99 (81-122)	93 (78-111)	.	.	→	1
Tumori maligni delle vie aeree e digestive superiori(140-150, 161)	F	<5	<5	.	.	5 (0-65)	.	72 (16-321)	63 (35-108)	.	.	n.c.	1
Tumori maligni delle vie aeree e digestive superiori(140-150, 161)	M	<5	>5	.	.	22 (7-55)	.	81 (36-180)	86 (61-118)	.	.	n.c.	1
Tumori maligni delle vie aeree e digestive superiori(140-150, 161)	M + F	5	6	.	.	13 (5-46)	.	79 (38-162)	81 (60-106)	.	.	n.c.	1
Tumori maligni(140-208)	F	113	115	.	.	614 (521-739)	.	98 (84-114)	101 (91-112)	.	.	→	1
Tumori maligni(140-208)	M	131	116	.	.	737 (633-856)	.	113 (97-130)	98 (89-109)	.	.	→	1
Tumori maligni(140-208)	M + F	244	232	.	.	674 (604-760)	.	105 (95-117)	101 (93-109)	.	.	→	1
Tumori maligni dell'esofago(150)	F	<5	<5	.	.	5 (0-65)	.	383 (85-1715)	67 (13-200)	.	.	n.c.	1
Tumori maligni dell'esofago(150)	M	0	0	.	.	0 (0-24)	.	0 (.-.)	57 (20-130)	.	.	n.c.	1
Tumori maligni dell'esofago(150)	M + F	<5	<5	.	.	3 (0-33)	.	143 (32-643)	58 (24-117)	.	.	n.c.	1
Tumori maligni dello stomaco(151)	F	<5	>5	.	.	22 (7-85)	.	59 (26-131)	120 (80-173)	.	.	n.c.	1
Tumori maligni dello stomaco(151)	M	>5	>5	2	143	44 (22-85)	.	113 (64-201)	115 (81-163)	.	.	→	1
Tumori maligni dello stomaco(151)	M + F	12	14	.	.	33 (19-69)	.	87 (54-138)	119 (89-159)	.	.	→	1
Tumori maligni dell'intestino tenue, compreso il duodeno(152)	F	0	0	.	.	0 (0-60)	.	0 (.-.)	21 (1-102)	.	.	n.c.	1








Tabella 8C - Monte San Giusto	Genere	Osservati	Attesi	Cluster sign.	SIR cluster	Tasso std. * 100000 (ic)	Tasso std. > Media reg.	SIR (ic)	BIR (ic)	SIR sign.	BIR sign.	Trend	Livello attenzione
Causa (ICD-IX)													
Tumori maligni dell'intestino tenue, compreso il duodeno(152)	M	0	0	.	.	0 (0-24)	.	0 (.-.)	50 (15-123)	.	.	n.c.	1
Tumori maligni dell'intestino tenue, compreso il duodeno(152)	M + F	0	1	.	.	0 (0-31)	.	0 (.-.)	43 (16-98)	.	↓	n.c.	0 
Tumori maligni del colon(153)	F	20	14	.	.	119 (78-199)	↑	147 (102-211)	133 (103-173)	↑	↑	→	5 
Tumori maligni del colon(153)	M	14	11	.	.	79 (47-127)	.	124 (80-192)	88 (69-111)	.	.	→	1
Tumori maligni del colon(153)	M + F	34	25	.	.	99 (72-145)	↑	136 (103-181)	113 (92-138)	↑	.	→	3 
Tumori maligni del colon-retto(153-154)	F	25	18	.	.	147 (101-230)	↑	140 (101-194)	124 (102-154)	↑	↑	→	5 
Tumori maligni del colon-retto(153-154)	M	21	17	.	.	119 (79-176)	.	121 (84-173)	92 (77-112)	.	.	→	1
Tumori maligni del colon-retto(153-154)	M + F	46	35	.	.	133 (102-182)	↑	130 (102-166)	110 (94-129)	↑	.	→	3 
Tumori maligni del retto, della giunzione retto-sigmoidea e dell'ano(154)	F	6	6	.	.	33 (14-98)	.	108 (56-209)	112 (84-147)	.	.	n.c.	1
Tumori maligni del retto, della giunzione retto-sigmoidea e dell'ano(154)	M	10	8	.	.	55 (30-99)	.	134 (80-224)	101 (79-131)	.	.	→	1
Tumori maligni del retto, della giunzione retto-sigmoidea e dell'ano(154)	M + F	16	13	.	.	44 (27-81)	.	123 (82-185)	107 (86-131)	.	.	→	1
Tumore fegato e dotti biliari(1550-1551)	F	6	2	.	.	32 (14-97)	↑	371 (192-717)	142 (75-276)	↑	.	n.c.	3 
Tumore fegato e dotti biliari(1550-1551)	M	6	4	.	.	34 (15-72)	.	169 (87-326)	132 (87-203)	.	.	n.c.	1
Tumore fegato e dotti biliari(1550-1551)	M + F	12	5	.	.	33 (19-69)	↑	232 (145-371)	154 (101-234)	↑	↑	n.c.	5 
Tumori maligni del pancreas(157)	F	>5	<5	.	.	31 (11-97)	.	131 (64-269)	103 (72-144)	.	.	n.c.	1
Tumori maligni del pancreas(157)	M	<5	<5	.	.	15 (3-49)	.	67 (22-201)	78 (55-109)	.	.	n.c.	1
Tumori maligni del pancreas(157)	M + F	7	7	.	.	23 (11-59)	.	103 (56-190)	91 (71-116)	.	.	n.c.	1




Tabella 8C - Monte San Giusto	Genere	Osservati	Attesi	Cluster sign.	SIR cluster	Tasso std. * 100000 (ic)	Tasso std. > Media reg.	SIR (ic)	BIR (ic)	SIR sign.	BIR sign.	Trend	Livello attenzione
Causa (ICD-IX)													
Tumore del retroperitoneo(1580)	F	0	0	.	.	0 (0-60)	.	0 (.-)	91 (18-277)	'	'	n.c.	1
Tumore del retroperitoneo(1580)	M	0	0	.	.	0 (0-24)	.	0 (.-)	30 (2-176)	'	'	n.c.	1
Tumore del retroperitoneo(1580)	M + F	0	0	.	.	0 (0-31)	.	0 (.-)	71 (20-183)	'	'	n.c.	1
Tumori maligni del naso(1600)	F	0	0	.	.	0 (0-60)	.	.	0 (0-0)	'	'	n.c.	1
Tumori maligni del naso(1600)	M	<5	<5	.	.	6 (0-33)	.	436 (97-1955)	158 (29-583)	'	'	n.c.	1
Tumori maligni del naso(1600)	M + F	<5	<5	.	.	3 (0-34)	.	436 (97-1955)	104 (21-359)	'	'	n.c.	1
Tumori maligni della laringe(161)	F	0	0	.	.	0 (0-60)	.	0 (.-)	26 (2-124)	'	'	n.c.	1
Tumori maligni della laringe(161)	M	<5	<5	.	.	11 (2-40)	.	101 (34-306)	73 (45-115)	'	'	n.c.	1
Tumori maligni della laringe(161)	M + F	<5	<5	.	.	5 (1-37)	.	95 (31-287)	71 (45-109)	'	'	n.c.	1
Tumori maligni della trachea, dei bronchi e dei polmoni(162)	F	6	6	.	.	33 (14-98)	.	99 (51-192)	107 (75-148)	'	'	n.c.	1
Tumori maligni della trachea, dei bronchi e dei polmoni(162)	M	8	16	.	.	44 (22-84)	.	51 (29-91)	94 (75-115)	↓	'	n.c.	0 
Tumori maligni della trachea, dei bronchi e dei polmoni(162)	M + F	14	22	.	.	38 (23-75)	.	65 (42-100)	98 (81-116)	'	'	→	1
Tumori maligni della pleura(163)	F	0	0	.	.	0 (0-60)	.	0 (.-)	67 (13-217)	'	'	n.c.	1
Tumori maligni della pleura(163)	M	0	1	.	.	0 (0-24)	.	0 (.-)	118 (41-284)	'	'	n.c.	1
Tumori maligni della pleura(163)	M + F	0	1	.	.	0 (0-31)	.	0 (.-)	109 (45-230)	'	'	n.c.	1
Mesoteliomi pleurici e peritoneali(1588, 163)	F	0	0	.	.	0 (0-60)	.	0 (.-)	70 (19-196)	'	'	n.c.	1
Mesoteliomi pleurici e peritoneali(1588, 163)	M	0	1	.	.	0 (0-24)	.	0 (.-)	129 (49-291)	'	'	n.c.	1



Tabella 8C - Monte San Giusto	Genere	Osservati	Attesi	Cluster sign.	SIR cluster	Tasso std. * 100000 (ic)	Tasso std. > Media reg.	SIR (ic)	BIR (ic)	SIR sign.	BIR sign.	Trend	Livello attenzione
Causa (ICD-IX)													
Mesoteliomi pleurici e peritoneali(1588, 163)	M + F	0	2	.	.	0 (0-31)	.	0 (.-.)	111 (49-220)	.	.	n.c.	1
Tumori maligni delle ossa e della cartilagine articolare(170)	F	<5	<5	.	.	10 (2-71)	.	389 (129-1175)	107 (38-255)	↑	.	n.c.	3 
Tumori maligni delle ossa e della cartilagine articolare(170)	M	<5	<5	.	.	5 (0-31)	.	141 (31-633)	103 (41-206)	.	.	n.c.	1
Tumori maligni delle ossa e della cartilagine articolare(170)	M + F	<5	<5	.	.	7 (2-39)	.	245 (98-614)	109 (57-191)	.	.	n.c.	1
Tumori maligni del connettivo e di altri tessuti molli(171)	F	0	0	.	.	0 (0-60)	.	0 (.-.)	30 (9-74)	.	↓	n.c.	0 
Tumori maligni del connettivo e di altri tessuti molli(171)	M	<5	<5	.	.	10 (2-39)	.	175 (58-530)	77 (36-153)	.	.	n.c.	1
Tumori maligni del connettivo e di altri tessuti molli(171)	M + F	<5	<5	.	.	5 (1-36)	.	130 (43-394)	59 (29-110)	.	.	n.c.	1
Melanoma maligno della pelle(172)	F	<5	<5	.	.	11 (2-72)	.	86 (29-260)	77 (44-130)	.	.	n.c.	1
Melanoma maligno della pelle(172)	M	<5	<5	.	.	21 (7-54)	.	186 (84-415)	71 (40-121)	.	.	n.c.	1
Melanoma maligno della pelle(172)	M + F	6	5	.	.	16 (7-49)	.	134 (69-260)	77 (49-118)	.	.	n.c.	1
Tumori maligni della mammella(174-175)	F	>5	>5	.	.	157 (112-238)	.	91 (67-122)	93 (78-112)	.	.	→	1
Tumori maligni della mammella(174-175)	M	<5	<5	.	.	5 (0-32)	.	312 (70-1400)	95 (27-258)	.	.	n.c.	1
Tumori maligni della mammella(174-175)	M + F	31	34	.	.	83 (60-124)	.	93 (69-124)	94 (78-113)	.	.	→	1
Tumori maligni dell'utero(179-180, 182)	F	<5	>5	.	.	21 (7-84)	.	55 (25-124)	96 (73-124)	.	.	n.c.	1
Tumori maligni del corpo dell'utero(182)	F	<5	>5	.	.	16 (4-78)	.	61 (24-152)	98 (69-135)	.	.	n.c.	1
Tumori maligni dell'ovaio e degli altri annessi uterini(183)	F	<5	<5	.	.	4 (0-64)	.	27 (6-121)	99 (68-137)	.	.	n.c.	1
Tumore della prostata(185)	M	22	20	2	121	122 (83-178)	.	113 (80-160)	112 (90-139)	.	.	→	1

Tabella 8C - Monte San Giusto	Genere	Osservati	Attesi	Cluster sign.	SIR cluster	Tasso std. * 100000 (ic)	Tasso std. > Media reg.	SIR (ic)	BIR (ic)	SIR sign.	BIR sign.	Trend	Livello attenzione
Causa (ICD-IX)													
Tumore del testicolo(186)	M	<5	<5	.	.	5 (0-31)	.	91 (20-406)	60 (30-107)	.	.	n.c.	1
Tumori maligni della vescica(188)	F	0	3	.	.	0 (0-60)	.	0 (.-.)	87 (61-122)	.	.	n.c.	1
Tumori maligni della vescica(188)	M	14	16	.	.	78 (47-127)	.	90 (58-140)	92 (76-110)	.	.	→	1
Tumori maligni della vescica(188)	M + F	14	19	.	.	38 (23-75)	.	74 (48-115)	90 (75-107)	.	.	→	1
Tumori maligni del rene e di altri e non specificati organi urinari(189)	F	<5	<5	.	.	7 (0-68)	.	32 (7-145)	86 (58-120)	.	.	n.c.	1
Tumori maligni del rene e di altri e non specificati organi urinari(189)	M	>5	>5	.	.	43 (21-82)	.	125 (71-222)	91 (69-121)	.	.	n.c.	1
Tumori maligni del rene e di altri e non specificati organi urinari(189)	M + F	9	10	.	.	24 (13-58)	.	95 (55-163)	88 (68-113)	.	.	n.c.	1
Tumori maligni dell'encefalo(191)	F	<5	<5	.	.	10 (2-71)	.	76 (25-230)	102 (62-161)	.	.	n.c.	1
Tumori maligni dell'encefalo(191)	M	<5	<5	.	.	22 (7-55)	.	191 (86-425)	70 (44-107)	.	.	n.c.	1
Tumori maligni dell'encefalo(191)	M + F	6	5	.	.	16 (7-48)	.	127 (66-245)	87 (61-122)	.	.	n.c.	1
Tumori maligni del sistema nervoso centrale(191-192)	F	<5	<5	.	.	10 (2-71)	.	70 (23-211)	98 (63-149)	.	.	n.c.	1
Tumori maligni del sistema nervoso centrale(191-192)	M	<5	<5	.	.	22 (7-55)	.	172 (77-383)	71 (45-110)	.	.	n.c.	1
Tumori maligni del sistema nervoso centrale(191-192)	M + F	6	5	.	.	16 (7-48)	.	116 (60-224)	85 (60-119)	.	.	n.c.	1
Tumori maligni della ghiandola tiroide(193)	F	>5	>5	2	165	49 (27-116)	↑	143 (85-239)	152 (107-216)	.	↑	n.c.	4 🤔
Tumori maligni della ghiandola tiroide(193)	M	<5	<5	.	.	6 (0-33)	.	67 (15-300)	76 (38-142)	.	.	n.c.	1
Tumori maligni della ghiandola tiroide(193)	M + F	11	9	2	141	28 (16-62)	.	130 (79-212)	137 (97-189)	.	.	n.c.	1
Linfoma non Hodgkin(200, 202)	F	5	3	.	.	27 (11-91)	.	171 (83-352)	73 (49-108)	.	.	n.c.	1

Tabella 8C - Monte San Giusto	Genere	Osservati	Attesi	Cluster sign.	SIR cluster	Tasso std. * 100000 (ic)	Tasso std. > Media reg.	SIR (ic)	BIR (ic)	SIR sign.	BIR sign.	Trend	Livello attenzione
Causa (ICD-IX)													
Linfoma non Hodgkin(200, 202)	M	15	6	.	.	81 (50-129)	↑	270 (177-412)	122 (87-177)	↑	.	→	3 ☹️
Linfoma non Hodgkin(200, 202)	M + F	20	9	.	.	54 (35-92)	↑	236 (164-340)	107 (81-149)	↑	.	→	3 ☹️
Tumori emolinfopoiетici(200-208)	F	9	8	.	.	51 (27-120)	.	116 (68-200)	89 (67-118)	.	.	n.c.	1 😊
Tumori emolinfopoiетici(200-208)	M	20	12	.	.	110 (72-164)	↑	167 (116-241)	117 (91-149)	↑	.	→	3 ☹️
Tumori emolinfopoiетici(200-208)	M + F	29	20	.	.	80 (57-122)	↑	147 (109-200)	110 (89-137)	↑	.	→	3 ☹️
Malattia di Hodgkin(201)	F	0	1	.	.	0 (0-60)	.	0 (.-.)	54 (20-118)	.	.	n.c.	1 😊
Malattia di Hodgkin(201)	M	0	1	.	.	0 (0-24)	.	0 (.-.)	82 (36-156)	.	.	n.c.	1 😊
Malattia di Hodgkin(201)	M + F	0	1	.	.	0 (0-31)	.	0 (.-.)	69 (37-119)	.	.	n.c.	1 😊
Mieloma multiplo e tumori immunoproliferativi(203)	F	<5	<5	.	.	24 (8-88)	.	162 (73-361)	147 (92-222)	.	.	n.c.	1 😊
Mieloma multiplo e tumori immunoproliferativi(203)	M	<5	<5	.	.	24 (8-59)	.	151 (68-337)	129 (77-208)	.	.	n.c.	1 😊
Mieloma multiplo e tumori immunoproliferativi(203)	M + F	8	5	.	.	24 (12-59)	↑	156 (88-278)	146 (99-219)	.	.	n.c.	1 😊
Leucemie(204-208)	F	0	2	.	.	0 (0-60)	.	0 (.-.)	79 (46-123)	.	.	n.c.	1 😊
Leucemie(204-208)	M	<5	<5	.	.	14 (4-44)	.	79 (32-198)	99 (67-142)	.	.	n.c.	1 😊
Leucemie(204-208)	M + F	<5	>5	.	.	7 (2-38)	.	48 (19-121)	85 (59-122)	.	.	n.c.	1 😊
Gozzo non tossico(240-241)	F	<5	>5	.	.	19 (7-81)	.	40 (18-90)	94 (63-133)	↓	.	n.c.	0 😊
Gozzo non tossico(240-241)	M	<5	<5	.	.	16 (4-47)	.	83 (33-207)	126 (76-208)	.	.	n.c.	1 😊
Gozzo non tossico(240-241)	M + F	7	14	.	.	18 (8-51)	.	52 (28-95)	96 (67-135)	↓	.	→	0 😊











Tabella 8C - Monte San Giusto	Genere	Osservati	Attesi	Cluster sign.	SIR cluster	Tasso std. * 100000 (ic)	Tasso std. > Media reg.	SIR (ic)	BIR (ic)	SIR sign.	BIR sign.	Trend	Livello attenzione
Causa (ICD-IX)													
Malattie endocrine e della nutrizione(240-2799)	F	52	60	.	.	258 (202-350)	.	86 (69-108)	86 (72-103)	.	.	→	1
Malattie endocrine e della nutrizione(240-2799)	M	31	43	.	.	150 (108-207)	.	71 (53-96)	72 (58-88)	↓	↓	↓	0 
Malattie endocrine e della nutrizione(240-2799)	M + F	83	104	.	.	205 (169-258)	.	80 (67-96)	78 (67-91)	↓	↓	↓	0 
Tireotossicosi(242)	F	<5	<5	.	.	15 (4-76)	.	93 (37-234)	107 (66-170)	.	.	n.c.	1
Tireotossicosi(242)	M	0	0	.	.	0 (0-24)	.	0 (.-.)	17 (3-59)	.	↓	n.c.	0 
Tireotossicosi(242)	M + F	<5	<5	.	.	7 (2-39)	.	86 (34-216)	80 (48-128)	.	.	n.c.	1
Ipotiroidismo(243-244)	F	>5	<5	.	.	22 (9-84)	↑	206 (100-423)	171 (104-284)	↑	↑	n.c.	5 
Ipotiroidismo(243-244)	M	<5	<5	.	.	5 (0-31)	.	171 (38-768)	40 (15-85)	.	↓	n.c.	0 
Ipotiroidismo(243-244)	M + F	6	3	.	.	13 (6-45)	.	199 (103-385)	109 (73-160)	↑	.	n.c.	3 
Diabete mellito(250)	F	5	7	.	.	28 (11-93)	.	74 (36-152)	48 (29-77)	.	↓	n.c.	0 
Diabete mellito(250)	M	<5	>5	.	.	14 (4-44)	.	42 (17-105)	34 (20-54)	.	↓	n.c.	0 
Diabete mellito(250)	M + F	8	14	.	.	21 (11-55)	.	57 (32-102)	39 (26-56)	.	↓	n.c.	0 
Malattie del sangue e degli organi emopoietici(280-289)	F	18	18	.	.	96 (61-171)	.	98 (67-144)	87 (65-117)	.	.	→	1
Malattie del sangue e degli organi emopoietici(280-289)	M	12	16	.	.	63 (36-107)	.	74 (46-118)	75 (54-103)	.	.	→	1
Malattie del sangue e degli organi emopoietici(280-289)	M + F	30	35	.	.	80 (57-122)	.	87 (64-117)	82 (63-103)	.	.	→	1
Malattie neuro-psichiatriche (escluse tossicod.)(290-303, 306-319)	F	19	24	.	.	94 (62-167)	.	81 (55-117)	79 (61-101)	.	.	→	1
Malattie neuro-psichiatriche (escluse tossicod.)(290-303, 306-319)	M	21	27	.	.	109 (73-162)	.	77 (54-109)	74 (57-94)	.	↓	→	0 
















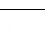
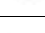
Tabella 8C - Monte San Giusto													
Causa (ICD-IX)	Genere	Osservati	Attesi	Cluster sign.	SIR cluster	Tasso std. * 100000 (ic)	Tasso std. > Media reg.	SIR (ic)	BIR (ic)	SIR sign.	BIR sign.	Trend	Livello attenzione
Malattie neuro-psichiatriche (escluse tossicod.)(290-303, 306-319)	M + F	40	51	.	.	102 (77-145)	.	78 (61-102)	74 (60-91)	.	↓	→	0 
Malattie del sistema nervoso e degli organi di senso(320-389)	F	100	112	.	.	526 (442-643)	.	89 (76-105)	73 (64-83)	.	↓	↓	0 
Malattie del sistema nervoso e degli organi di senso(320-389)	M	102	103	.	.	542 (456-644)	.	99 (84-117)	83 (72-95)	.	↓	↓	0 
Malattie del sistema nervoso e degli organi di senso(320-389)	M + F	202	215	.	.	534 (473-610)	.	94 (84-106)	78 (70-86)	.	↓	↓	0 
Malattia di Alzheimer(3310)	F	<5	>5	.	.	18 (5-80)	.	39 (16-98)	70 (36-122)	↓	.	n.c.	0 
Malattia di Alzheimer(3310)	M	5	4	.	.	34 (13-74)	.	120 (58-246)	124 (62-224)	.	.	n.c.	1 
Malattia di Alzheimer(3310)	M + F	8	12	.	.	26 (13-61)	.	67 (38-120)	89 (55-138)	.	.	n.c.	1 
Morbo di Parkinson(3320)	F	<5	<5	2	189	11 (2-73)	.	104 (34-315)	133 (69-249)	.	.	n.c.	1 
Morbo di Parkinson(3320)	M	0	1	.	.	0 (0-24)	.	0 (-.)	60 (28-119)	.	.	n.c.	1 
Morbo di Parkinson(3320)	M + F	<5	<5	2	170	6 (1-37)	.	64 (21-192)	93 (55-149)	.	.	n.c.	1 
Malattia dei neuroni motori(3352)	F	0	1	.	.	0 (0-60)	.	0 (-.)	67 (19-184)	.	.	n.c.	1 
Malattia dei neuroni motori(3352)	M	<5	<5	.	.	12 (2-42)	.	312 (103-943)	79 (32-177)	↑	.	n.c.	3 
Malattia dei neuroni motori(3352)	M + F	<5	<5	2	159	6 (1-37)	.	182 (60-551)	71 (37-128)	.	.	n.c.	1 
Sclerosi multipla(340)	F	<5	<5	.	.	19 (7-82)	.	203 (91-453)	74 (46-117)	.	.	n.c.	1 
Sclerosi multipla(340)	M	<5	<5	.	.	11 (2-40)	.	132 (44-400)	94 (50-159)	.	.	n.c.	1 
Sclerosi multipla(340)	M + F	6	4	.	.	15 (7-48)	.	173 (89-334)	85 (56-128)	.	.	n.c.	1 
Malattie cardiache(390-429)	F	88	99	.	.	496 (411-613)	.	89 (75-106)	89 (78-101)	.	.	↓	0 






Tabella 8C - Monte San Giusto	Genere	Osservati	Attesi	Cluster sign.	SIR cluster	Tasso std. * 100000 (ic)	Tasso std. > Media reg.	SIR (ic)	BIR (ic)	SIR sign.	BIR sign.	Trend	Livello attenzione
Causa (ICD-IX)													
Malattie cardiache(390-429)	M	138	133	.	.	790 (682-915)	.	104 (90-120)	99 (89-110)	.	.	→	1
Malattie cardiache(390-429)	M + F	226	231	.	.	640 (571-725)	.	98 (88-109)	95 (87-103)	.	.	→	1
Malattie dell'apparato circolatorio(390-459)	F	181	177	.	.	1019 (896-1173)	.	102 (90-115)	97 (89-106)	.	.	→	1
Malattie dell'apparato circolatorio(390-459)	M	237	221	2	106	1320 (1180-1475)	.	107 (96-119)	105 (97-113)	.	.	→	1
Malattie dell'apparato circolatorio(390-459)	M + F	418	399	.	.	1166 (1073-1275)	.	105 (97-114)	102 (95-109)	.	.	↓	0 
Malattie ischemiche del cuore(410-4149)	F	21	32	.	.	117 (78-195)	.	66 (46-94)	80 (64-98)	↓	↓	→	0 
Malattie ischemiche del cuore(410-4149)	M	68	63	2	114	388 (313-479)	.	108 (88-131)	96 (83-111)	.	.	→	1
Malattie ischemiche del cuore(410-4149)	M + F	89	95	2	113	250 (207-309)	.	94 (79-112)	90 (78-103)	.	.	→	1
Insufficienza cardiaca (scompenso cardiaco)(428)	F	34	38	.	.	199 (146-288)	.	89 (68-119)	82 (67-100)	.	↓	→	0 
Insufficienza cardiaca (scompenso cardiaco)(428)	M	31	36	.	.	196 (141-268)	.	85 (64-114)	90 (74-108)	.	.	→	1
Insufficienza cardiaca (scompenso cardiaco)(428)	M + F	65	74	.	.	198 (159-254)	.	87 (71-107)	85 (72-99)	.	↓	→	0 
Malattie cerebrovascolari(430-438)	F	63	66	.	.	382 (305-492)	.	96 (78-118)	104 (90-121)	.	.	→	1
Malattie cerebrovascolari(430-438)	M	65	67	.	.	378 (304-469)	.	97 (79-119)	105 (90-122)	.	.	→	1
Malattie cerebrovascolari(430-438)	M + F	128	133	.	.	380 (326-451)	.	97 (84-112)	104 (92-117)	.	.	→	1
Malattie dell'apparato respiratorio(460-5199)	F	134	135	.	.	706 (607-837)	.	99 (86-114)	98 (87-110)	.	.	→	1
Malattie dell'apparato respiratorio(460-5199)	M	141	166	.	.	756 (653-875)	.	85 (74-97)	89 (80-99)	↓	↓	→	0 
Malattie dell'apparato respiratorio(460-5199)	M + F	275	301	.	.	731 (659-819)	.	91 (83-101)	92 (85-101)	.	.	→	1

Tabella 8C - Monte San Giusto													
Causa (ICD-IX)	Genere	Osservati	Attesi	Cluster sign.	SIR cluster	Tasso std. * 100000 (ic)	Tasso std. > Media reg.	SIR (ic)	BIR (ic)	SIR sign.	BIR sign.	Trend	Livello attenzione
Malattie polmonari cronico ostruttive(490-492, 494, 496)	F	7	12	.	.	41 (19-108)	.	58 (31-107)	81 (52-121)	.	.	n.c.	1
Malattie polmonari cronico ostruttive(490-492, 494, 496)	M	15	14	.	.	95 (58-149)	.	110 (72-167)	105 (76-143)	.	.	n.c.	1
Malattie polmonari cronico ostruttive(490-492, 494, 496)	M + F	22	26	.	.	67 (45-109)	.	85 (60-121)	96 (71-125)	.	.	→	1
Pneumoconiosi(500-505)	F	0	0	.	.	0 (0-60)	.	.	0 (0-0)	.	.	n.c.	1
Pneumoconiosi(500-505)	M	0	1	.	.	0 (0-24)	.	0 (.-.)	95 (19-301)	.	.	n.c.	1
Pneumoconiosi(500-505)	M + F	0	1	.	.	0 (0-31)	.	0 (.-.)	107 (30-281)	.	.	n.c.	1
Malattie dell'apparato digerente(520-579)	F	171	167	.	.	872 (764-1011)	.	102 (90-116)	99 (90-108)	.	.	→	1
Malattie dell'apparato digerente(520-579)	M	221	227	.	.	1168 (1040-1310)	.	98 (87-109)	96 (89-104)	.	.	↓	0 😊
Malattie dell'apparato digerente(520-579)	M + F	392	394	.	.	1017 (933-1115)	.	100 (92-108)	98 (91-104)	.	.	↓	0 😊
Cirrosi e altre malattie croniche del fegato(571)	F	6	5	.	.	32 (14-96)	.	133 (69-257)	109 (77-151)	.	.	n.c.	1
Cirrosi e altre malattie croniche del fegato(571)	M	7	8	.	.	39 (18-78)	.	90 (49-167)	88 (61-124)	.	.	n.c.	1
Cirrosi e altre malattie croniche del fegato(571)	M + F	13	12	.	.	35 (21-71)	.	106 (67-167)	98 (73-127)	.	.	→	1
Nefropatie croniche e acute(580-589)	F	17	17	.	.	103 (65-180)	.	98 (66-145)	100 (73-134)	.	.	n.c.	1
Nefropatie croniche e acute(580-589)	M	18	19	.	.	117 (75-176)	.	97 (66-142)	81 (61-107)	.	.	→	1
Nefropatie croniche e acute(580-589)	M + F	35	36	.	.	109 (80-157)	.	97 (74-128)	91 (72-113)	.	.	→	1
Malattie dell'apparato urinario(580-599)	F	59	48	.	.	322 (255-423)	↑	124 (100-154)	117 (97-142)	↑	.	→	3 😊
Malattie dell'apparato urinario(580-599)	M	55	63	.	.	316 (248-401)	.	88 (70-110)	91 (78-106)	.	.	→	1




Tabella 8C - Monte San Giusto													
Causa (ICD-IX)	Genere	Osservati	Attesi	Cluster sign.	SIR cluster	Tasso std. * 100000 (ic)	Tasso std. > Media reg.	SIR (ic)	BIR (ic)	SIR sign.	BIR sign.	Trend	Livello attenzione
Malattie dell'apparato urinario(580-599)	M + F	114	110	.	.	319 (271-384)	.	104 (89-121)	102 (89-116)	,	,	→	1
Endometriosi(617)	F	<5	>5	.	.	15 (4-76)	.	34 (14-86)	81 (51-121)	↓	,	n.c.	0 
Malformazioni congenite(740-759)	F	23	26	.	.	107 (73-181)	.	90 (64-127)	90 (72-110)	,	,	→	1
Malformazioni congenite(740-759)	M	41	41	.	.	193 (146-256)	.	99 (77-128)	95 (79-114)	,	,	↑	1
Malformazioni congenite(740-759)	M + F	64	67	.	.	149 (120-196)	.	96 (78-118)	93 (79-107)	,	,	→	1

Tabella 9C. Incidenza di primi ricoveri ospedalieri per causa nel comune di Monte Urano, tutte le età, periodo di osservazione 2009-2013

Tabella 9C - Monte Urano	Genere	Osservati	Attesi	Cluster sign.	SIR cluster	Tasso std. * 100000 (ic)	Tasso std. > Media reg.	SIR (ic)	BIR (ic)	SIR sign.	BIR sign.	Trend	Livello attenzione
Causa (ICD-IX)													
Malattie infettive(001-139)	F	33	32	.	.	159 (116-292)	.	102 (77-136)	102 (82-128)	.	.	→	1
Malattie infettive(001-139)	M	42	39	.	.	194 (147-256)	.	107 (83-138)	102 (83-124)	.	.	→	1
Malattie infettive(001-139)	M + F	75	72	.	.	176 (143-250)	.	105 (87-127)	103 (88-122)	.	.	→	1
Tumori maligni delle vie aeree e digestive superiori(140-150, 161)	F	>5	<5	.	.	26 (10-154)	.	219 (106-449)	109 (79-155)	↑	.	n.c.	3 ☹️
Tumori maligni delle vie aeree e digestive superiori(140-150, 161)	M	<5	>5	.	.	5 (0-30)	.	16 (4-71)	95 (70-115)	↓	.	n.c.	0 😊
Tumori maligni delle vie aeree e digestive superiori(140-150, 161)	M + F	6	9	.	.	16 (7-82)	.	69 (36-134)	98 (79-119)	.	.	n.c.	1
Tumori maligni(140-208)	F	123	121	.	.	626 (536-790)	.	102 (88-118)	100 (91-110)	.	.	→	1
Tumori maligni(140-208)	M	126	138	.	.	647 (554-754)	.	91 (79-106)	97 (89-106)	.	.	→	1
Tumori maligni(140-208)	M + F	249	259	.	.	636 (571-736)	.	96 (87-107)	98 (91-106)	.	.	→	1
Tumori maligni dell'esofago(150)	F	0	0	.	.	0 (0-128)	.	0 (.-.)	98 (57-149)	.	.	n.c.	1
Tumori maligni dell'esofago(150)	M	<5	<5	.	.	5 (0-30)	.	115 (26-516)	107 (72-146)	.	.	n.c.	1
Tumori maligni dell'esofago(150)	M + F	<5	<5	.	.	2 (0-69)	.	85 (19-382)	89 (58-127)	.	.	n.c.	1
Tumori maligni dello stomaco(151)	F	<5	>5	.	.	16 (4-145)	.	59 (24-148)	90 (61-124)	.	.	n.c.	1
Tumori maligni dello stomaco(151)	M	>5	>5	.	.	40 (20-77)	.	113 (64-201)	100 (74-135)	.	.	n.c.	1
Tumori maligni dello stomaco(151)	M + F	11	12	.	.	28 (15-94)	.	91 (55-148)	94 (71-124)	.	.	→	1
Tumori maligni dell'intestino tenue, compreso il duodeno(152)	F	<5	<5	.	.	11 (2-139)	.	524 (173-1582)	106 (61-221)	↑	.	n.c.	3 ☹️


Tabella 9C - Monte Urano	Genere	Osservati	Attesi	Cluster sign.	SIR cluster	Tasso std. * 100000 (ic)	Tasso std. > Media reg.	SIR (ic)	BIR (ic)	SIR sign.	BIR sign.	Trend	Livello attenzione
Causa (ICD-IX)													
Tumori maligni dell'intestino tenue, compreso il duodeno(152)	M	0	1	.	.	0 (0-24)	.	0 (-.)	107 (73-145)	.	.	n.c.	1
Tumori maligni dell'intestino tenue, compreso il duodeno(152)	M + F	<5	<5	.	.	6 (1-72)	.	176 (58-532)	107 (76-146)	.	.	n.c.	1
Tumori maligni del colon(153)	F	17	12	.	.	91 (58-221)	.	139 (94-207)	110 (87-140)	.	.	↑	2 
Tumori maligni del colon(153)	M	16	15	.	.	86 (53-135)	.	105 (70-158)	102 (84-123)	.	.	→	1
Tumori maligni del colon(153)	M + F	33	27	.	.	88 (64-159)	.	120 (90-160)	108 (90-129)	.	.	→	1
Tumori maligni del colon-retto(153-154)	F	19	16	.	.	100 (66-232)	.	117 (80-170)	103 (87-123)	.	.	→	1
Tumori maligni del colon-retto(153-154)	M	21	22	.	.	114 (76-169)	.	97 (68-139)	100 (86-115)	.	.	→	1
Tumori maligni del colon-retto(153-154)	M + F	40	38	.	.	107 (81-179)	.	106 (82-137)	102 (89-118)	.	.	→	1
Tumori maligni del retto, della giunzione retto-sigmoidea e dell'ano(154)	F	<5	>5	.	.	20 (7-148)	.	77 (34-171)	100 (83-117)	.	.	n.c.	1
Tumori maligni del retto, della giunzione retto-sigmoidea e dell'ano(154)	M	>5	>5	.	.	28 (11-64)	.	63 (31-130)	96 (80-112)	.	.	n.c.	1
Tumori maligni del retto, della giunzione retto-sigmoidea e dell'ano(154)	M + F	9	13	.	.	24 (13-91)	.	69 (40-118)	96 (82-112)	.	.	n.c.	1
Tumore fegato e dotti biliari(1550-1551)	F	<5	<5	.	.	10 (2-138)	.	149 (49-450)	92 (58-150)	.	.	n.c.	1
Tumore fegato e dotti biliari(1550-1551)	M	<5	<5	.	.	10 (2-38)	.	66 (22-200)	95 (68-130)	.	.	n.c.	1
Tumore fegato e dotti biliari(1550-1551)	M + F	<5	<5	.	.	10 (3-76)	.	92 (41-204)	95 (66-135)	.	.	n.c.	1
Tumori maligni del pancreas(157)	F	>5	<5	.	.	25 (10-153)	.	129 (63-265)	100 (79-126)	.	.	n.c.	1
Tumori maligni del pancreas(157)	M	<5	<5	.	.	9 (2-37)	.	46 (15-140)	98 (82-111)	.	.	n.c.	1
Tumori maligni del pancreas(157)	M + F	7	8	.	.	18 (8-84)	.	86 (46-158)	98 (84-112)	.	.	n.c.	1



Tabella 9C - Monte Urano	Genere	Osservati	Attesi	Cluster sign.	SIR cluster	Tasso std. * 100000 (ic)	Tasso std. > Media reg.	SIR (ic)	BIR (ic)	SIR sign.	BIR sign.	Trend	Livello attenzione
Causa (ICD-IX)													
Tumore del retroperitoneo(1580)	F	0	0	.	.	0 (0-128)	.	0 (.-.)	102 (56-177)	,	,	n.c.	1
Tumore del retroperitoneo(1580)	M	0	0	.	.	0 (0-24)	.	0 (.-.)	77 (22-166)	,	,	n.c.	1
Tumore del retroperitoneo(1580)	M + F	0	1	.	.	0 (0-67)	.	0 (.-.)	96 (54-148)	,	,	n.c.	1
Tumori maligni del naso(1600)	F	0	0	.	.	0 (0-128)	.	0 (.-.)	65 (29-130)	,	,	n.c.	1
Tumori maligni del naso(1600)	M	0	0	.	.	0 (0-24)	.	0 (.-.)	130 (54-316)	,	,	n.c.	1
Tumori maligni del naso(1600)	M + F	0	0	.	.	0 (0-67)	.	0 (.-.)	107 (45-237)	,	,	n.c.	1
Tumori maligni della laringe(161)	F	<5	<5	.	.	10 (2-138)	.	599 (198-1810)	123 (64-303)	↑	,	n.c.	3 
Tumori maligni della laringe(161)	M	0	3	.	.	0 (0-24)	.	0 (.-.)	100 (75-123)	,	,	n.c.	1
Tumori maligni della laringe(161)	M + F	<5	<5	.	.	5 (1-72)	.	62 (20-187)	104 (80-125)	,	,	n.c.	1
Tumori maligni della trachea, dei bronchi e dei polmoni(162)	F	<5	>5	.	.	5 (0-133)	.	17 (4-75)	83 (58-109)	↓	,	n.c.	0 
Tumori maligni della trachea, dei bronchi e dei polmoni(162)	M	>5	>5	.	.	90 (58-138)	.	103 (70-152)	102 (87-118)	,	,	→	1
Tumori maligni della trachea, dei bronchi e dei polmoni(162)	M + F	19	23	.	.	46 (30-113)	.	81 (56-118)	97 (84-111)	,	,	→	1
Tumori maligni della pleura(163)	F	0	0	.	.	0 (0-128)	.	0 (.-.)	97 (43-165)	,	,	n.c.	1
Tumori maligni della pleura(163)	M	<5	<5	.	.	6 (0-33)	.	131 (29-586)	74 (30-174)	,	,	n.c.	1
Tumori maligni della pleura(163)	M + F	<5	<5	.	.	3 (0-69)	.	94 (21-421)	76 (36-150)	,	,	n.c.	1
Mesoteliomi pleurici e peritoneali(1588, 163)	F	0	0	.	.	0 (0-128)	.	0 (.-.)	91 (44-152)	,	,	n.c.	1
Mesoteliomi pleurici e peritoneali(1588, 163)	M	<5	<5	.	.	6 (0-33)	.	125 (28-560)	78 (35-170)	,	,	n.c.	1

Tabella 9C - Monte Urano	Genere	Osservati	Attesi	Cluster sign.	SIR cluster	Tasso std. * 100000 (ic)	Tasso std. > Media reg.	SIR (ic)	BIR (ic)	SIR sign.	BIR sign.	Trend	Livello attenzione
Causa (ICD-IX)													
Mesoteliomi pleurici e peritoneali(1588, 163)	M + F	<5	<5	.	.	3 (0-69)	.	82 (18-367)	83 (41-157)	,	,	n.c.	1
Tumori maligni delle ossa e della cartilagine articolare(170)	F	<5	<5	.	.	5 (0-134)	.	185 (41-831)	114 (69-184)	,	,	n.c.	1
Tumori maligni delle ossa e della cartilagine articolare(170)	M	0	1	.	.	0 (0-24)	.	0 (.-)	97 (74-126)	,	,	n.c.	1
Tumori maligni delle ossa e della cartilagine articolare(170)	M + F	<5	<5	.	.	3 (0-69)	.	88 (20-393)	105 (79-137)	,	,	n.c.	1
Tumori maligni del connettivo e di altri tessuti molli(171)	F	0	1	.	.	0 (0-128)	.	0 (.-)	94 (60-126)	,	,	n.c.	1
Tumori maligni del connettivo e di altri tessuti molli(171)	M	<5	<5	.	.	15 (4-44)	.	192 (77-481)	104 (64-175)	,	,	n.c.	1
Tumori maligni del connettivo e di altri tessuti molli(171)	M + F	<5	<5	.	.	7 (2-73)	.	113 (45-283)	93 (57-148)	,	,	n.c.	1
Melanoma maligno della pelle(172)	F	<5	<5	.	.	10 (2-138)	.	70 (23-211)	83 (53-125)	,	,	n.c.	1
Melanoma maligno della pelle(172)	M	<5	<5	.	.	6 (0-32)	.	32 (7-143)	67 (41-100)	,	,	n.c.	1
Melanoma maligno della pelle(172)	M + F	<5	>5	.	.	8 (2-74)	.	50 (20-125)	69 (45-100)	,	,	n.c.	1
Tumori maligni della mammella(174-175)	F	>5	>5	.	.	185 (138-321)	.	101 (77-133)	101 (85-119)	,	,	→	1
Tumori maligni della mammella(174-175)	M	<5	<5	.	.	5 (0-31)	.	282 (63-1262)	98 (56-186)	,	,	n.c.	1
Tumori maligni della mammella(174-175)	M + F	38	37	.	.	98 (74-169)	.	103 (79-134)	101 (85-119)	,	,	→	1
Tumori maligni dell'utero(179-180, 182)	F	7	8	.	.	33 (15-161)	.	88 (48-163)	103 (85-121)	,	,	n.c.	1
Tumori maligni del corpo dell'utero(182)	F	<5	>5	.	.	15 (4-143)	.	59 (23-147)	98 (75-119)	,	,	n.c.	1
Tumori maligni dell'ovaio e degli altri annessi uterini(183)	F	<5	<5	.	.	19 (7-147)	.	106 (48-237)	99 (81-119)	,	,	n.c.	1
Tumore della prostata(185)	M	20	22	2	121	100 (66-150)	.	91 (63-131)	110 (91-133)	,	,	→	1

Tabella 9C - Monte Urano	Genere	Osservati	Attesi	Cluster sign.	SIR cluster	Tasso std. * 100000 (ic)	Tasso std. > Media reg.	SIR (ic)	BIR (ic)	SIR sign.	BIR sign.	Trend	Livello attenzione
Causa (ICD-IX)													
Tumore del testicolo(186)	M	<5	<5	.	.	9 (2-37)	.	112 (37-338)	103 (78-135)	.	.	n.c.	1
Tumori maligni della vescica(188)	F	<5	<5	.	.	22 (8-151)	.	102 (46-226)	102 (84-120)	.	.	n.c.	1
Tumori maligni della vescica(188)	M	>5	>5	.	.	80 (49-127)	.	82 (54-125)	98 (85-110)	.	.	n.c.	1
Tumori maligni della vescica(188)	M + F	19	22	.	.	50 (33-118)	.	86 (59-124)	97 (85-110)	.	.	n.c.	1
Tumori maligni del rene e di altri e non specificati organi urinari(189)	F	<5	<5	.	.	21 (7-149)	.	112 (50-250)	95 (76-117)	.	.	n.c.	1
Tumori maligni del rene e di altri e non specificati organi urinari(189)	M	>5	>5	.	.	34 (16-70)	.	88 (47-161)	98 (78-118)	.	.	n.c.	1
Tumori maligni del rene e di altri e non specificati organi urinari(189)	M + F	11	12	.	.	28 (15-94)	.	95 (58-155)	96 (79-116)	.	.	n.c.	1
Tumori maligni dell'encefalo(191)	F	<5	<5	.	.	15 (4-143)	.	127 (51-318)	90 (63-127)	.	.	n.c.	1
Tumori maligni dell'encefalo(191)	M	>5	<5	.	.	43 (21-83)	↑	238 (134-423)	110 (88-148)	↑	.	n.c.	3 😊
Tumori maligni dell'encefalo(191)	M + F	11	6	.	.	28 (16-95)	↑	192 (118-314)	105 (83-139)	↑	.	→	3 😊
Tumori maligni del sistema nervoso centrale(191-192)	F	<5	<5	.	.	15 (4-143)	.	110 (44-275)	90 (66-117)	.	.	n.c.	1
Tumori maligni del sistema nervoso centrale(191-192)	M	>5	<5	.	.	43 (21-83)	↑	220 (124-391)	108 (87-155)	↑	.	n.c.	3 😊
Tumori maligni del sistema nervoso centrale(191-192)	M + F	11	6	.	.	28 (16-95)	↑	173 (106-283)	103 (81-142)	↑	.	→	3 😊
Tumori maligni della ghiandola tiroide(193)	F	>5	>5	2	165	43 (22-171)	.	174 (101-299)	118 (87-162)	↑	.	n.c.	3 😊
Tumori maligni della ghiandola tiroide(193)	M	<5	<5	.	.	10 (2-38)	.	115 (38-346)	100 (63-155)	.	.	n.c.	1
Tumori maligni della ghiandola tiroide(193)	M + F	11	7	2	141	27 (15-93)	.	159 (97-260)	121 (90-164)	.	.	n.c.	1
Linfoma non Hodgkin(200, 202)	F	0	4	.	.	0 (0-128)	.	0 (.-.)	96 (74-117)	.	.	n.c.	1






Tabella 9C - Monte Urano	Genere	Osservati	Attesi	Cluster sign.	SIR cluster	Tasso std. * 100000 (ic)	Tasso std. > Media reg.	SIR (ic)	BIR (ic)	SIR sign.	BIR sign.	Trend	Livello attenzione
Causa (ICD-IX)													
Linfoma non Hodgkin(200, 202)	M	<5	>5	.	.	10 (2-37)	.	35 (12-105)	94 (71-117)	.	.	n.c.	1
Linfoma non Hodgkin(200, 202)	M + F	<5	>5	.	.	5 (1-71)	.	20 (7-61)	91 (68-111)	↓	.	n.c.	0 
Tumori emolinfopoiетici(200-208)	F	<5	>5	.	.	10 (2-138)	.	22 (7-67)	93 (73-113)	↓	.	n.c.	0 
Tumori emolinfopoiетici(200-208)	M	>5	>5	.	.	61 (35-104)	.	103 (64-165)	99 (82-121)	.	.	→	1
Tumori emolinfopoiетici(200-208)	M + F	14	21	.	.	35 (21-101)	.	68 (44-105)	95 (77-113)	.	.	→	1
Malattia di Hodgkin(201)	F	0	1	.	.	0 (0-128)	.	0 (.-.)	109 (86-133)	.	.	n.c.	1
Malattia di Hodgkin(201)	M	<5	<5	.	.	9 (2-37)	.	218 (72-660)	99 (77-132)	.	.	n.c.	1
Malattia di Hodgkin(201)	M + F	<5	<5	.	.	4 (1-71)	.	106 (35-320)	104 (77-141)	.	.	n.c.	1
Mieloma multiplo e tumori immunoproliferativi(203)	F	0	2	.	.	0 (0-128)	.	0 (.-.)	94 (69-126)	.	.	n.c.	1
Mieloma multiplo e tumori immunoproliferativi(203)	M	6	2	.	.	31 (13-66)	↑	277 (143-535)	116 (81-190)	↑	.	n.c.	3 
Mieloma multiplo e tumori immunoproliferativi(203)	M + F	6	4	.	.	15 (6-81)	.	154 (80-298)	112 (79-164)	.	.	n.c.	1
Leucemie(204-208)	F	<5	<5	.	.	10 (2-138)	.	74 (25-225)	97 (68-133)	.	.	n.c.	1
Leucemie(204-208)	M	<5	<5	.	.	17 (5-48)	.	80 (32-199)	93 (70-116)	.	.	n.c.	1
Leucemie(204-208)	M + F	5	7	.	.	13 (5-80)	.	77 (38-159)	93 (69-124)	.	.	n.c.	1
Gozzo non tossico(240-241)	F	>5	>5	.	.	70 (43-200)	.	157 (102-243)	129 (94-176)	↑	.	↑	3 
Gozzo non tossico(240-241)	M	<5	<5	.	.	21 (7-53)	.	135 (60-300)	117 (75-181)	.	.	n.c.	1
Gozzo non tossico(240-241)	M + F	18	12	.	.	46 (30-114)	↑	151 (103-223)	131 (96-175)	↑	.	→	3 





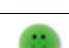



Tabella 9C - Monte Urano													
Causa (ICD-IX)	Genere	Osservati	Attesi	Cluster sign.	SIR cluster	Tasso std. * 100000 (ic)	Tasso std. > Media reg.	SIR (ic)	BIR (ic)	SIR sign.	BIR sign.	Trend	Livello attenzione
Malattie endocrine e della nutrizione(240-2799)	F	70	60	.	.	344 (279-490)	.	116 (95-141)	106 (90-125)	.	.	→	1
Malattie endocrine e della nutrizione(240-2799)	M	38	49	.	.	184 (137-245)	.	78 (60-102)	82 (68-98)	.	↓	→	0 
Malattie endocrine e della nutrizione(240-2799)	M + F	108	109	.	.	267 (226-347)	.	99 (84-116)	96 (83-110)	.	.	→	1
Tireotossicosi(242)	F	<5	<5	.	.	9 (2-137)	.	68 (22-205)	95 (63-138)	.	.	n.c.	1
Tireotossicosi(242)	M	<5	<5	.	.	5 (0-30)	.	91 (20-407)	91 (46-171)	.	.	n.c.	1
Tireotossicosi(242)	M + F	<5	<5	.	.	7 (2-73)	.	74 (30-185)	94 (62-136)	.	.	n.c.	1
Ipotiroidismo(243-244)	F	<5	<5	.	.	13 (4-141)	.	192 (77-481)	112 (83-162)	.	.	n.c.	1
Ipotiroidismo(243-244)	M	0	1	.	.	0 (0-24)	.	0 (.-.)	102 (79-126)	.	.	n.c.	1
Ipotiroidismo(243-244)	M + F	<5	<5	.	.	7 (2-73)	.	102 (41-256)	108 (89-129)	.	.	n.c.	1
Diabete mellito(250)	F	>5	>5	.	.	40 (20-168)	.	80 (45-142)	55 (33-86)	.	↓	n.c.	0 
Diabete mellito(250)	M	<5	>5	.	.	14 (4-42)	.	22 (9-54)	39 (25-59)	↓	↓	n.c.	0 
Diabete mellito(250)	M + F	11	24	.	.	27 (15-94)	.	46 (28-75)	45 (31-63)	↓	↓	n.c.	0 
Malattie del sangue e degli organi emopoietici(280-289)	F	12	20	.	.	56 (32-184)	.	59 (37-95)	73 (53-97)	↓	↓	n.c.	0 
Malattie del sangue e degli organi emopoietici(280-289)	M	7	18	.	.	34 (16-71)	.	39 (21-71)	63 (45-85)	↓	↓	n.c.	0 
Malattie del sangue e degli organi emopoietici(280-289)	M + F	19	38	.	.	45 (29-112)	.	49 (34-72)	61 (47-79)	↓	↓	↓	0 
Malattie neuro-psichiatriche (escluse tossicod.)(290-303, 306-319)	F	12	27	.	.	55 (32-183)	.	45 (28-71)	72 (55-91)	↓	↓	n.c.	0 
Malattie neuro-psichiatriche (escluse tossicod.)(290-303, 306-319)	M	26	33	.	.	121 (85-173)	.	78 (57-108)	84 (67-105)	.	.	→	1









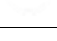
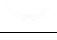
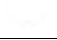





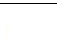
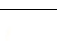
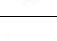
Tabella 9C - Monte Urano	Genere	Osservati	Attesi	Cluster sign.	SIR cluster	Tasso std. * 100000 (ic)	Tasso std. > Media reg.	SIR (ic)	BIR (ic)	SIR sign.	BIR sign.	Trend	Livello attenzione
Causa (ICD-IX)													
Malattie neuro-psichiatriche (escluse tossicod.)(290-303, 306-319)	M + F	38	60	.	.	87 (65-156)	.	63 (48-82)	74 (61-90)	↓	↓	→	0 
Malattie del sistema nervoso e degli organi di senso(320-389)	F	116	145	.	.	577 (492-737)	.	80 (69-93)	81 (71-92)	↓	↓	↓	0 
Malattie del sistema nervoso e degli organi di senso(320-389)	M	105	131	.	.	532 (449-630)	.	80 (69-94)	82 (72-92)	↓	↓	↓	0 
Malattie del sistema nervoso e degli organi di senso(320-389)	M + F	221	275	.	.	555 (495-651)	.	80 (72-90)	81 (73-89)	↓	↓	↓	0 
Malattia di Alzheimer(3310)	F	<5	>5	.	.	16 (4-144)	.	39 (16-97)	61 (33-109)	↓	.	n.c.	0 
Malattia di Alzheimer(3310)	M	>5	<5	.	.	25 (10-58)	.	123 (60-254)	89 (44-169)	.	.	n.c.	1 
Malattia di Alzheimer(3310)	M + F	8	12	.	.	20 (10-86)	.	68 (38-121)	76 (47-120)	.	.	→	1 
Morbo di Parkinson(3320)	F	<5	<5	2	189	16 (4-144)	.	177 (71-443)	148 (85-251)	.	.	n.c.	1 
Morbo di Parkinson(3320)	M	>5	<5	2	214	52 (27-95)	↑	373 (217-641)	203 (126-337)	↑	↑	n.c.	5 
Morbo di Parkinson(3320)	M + F	12	4	2	170	33 (19-100)	↑	292 (183-468)	192 (131-289)	↑	↑	n.c.	5 
Malattia dei neuroni motori(3352)	F	<5	<5	2	194	11 (2-139)	.	261 (86-788)	165 (81-349)	.	.	n.c.	1 
Malattia dei neuroni motori(3352)	M	<5	<5	.	.	6 (0-33)	.	111 (25-497)	109 (68-170)	.	.	n.c.	1 
Malattia dei neuroni motori(3352)	M + F	<5	<5	2	159	9 (2-75)	.	180 (72-450)	110 (85-144)	.	.	n.c.	1 
Sclerosi multipla(340)	F	<5	<5	.	.	14 (4-142)	.	109 (44-273)	99 (79-124)	.	.	n.c.	1 
Sclerosi multipla(340)	M	<5	<5	.	.	5 (0-31)	.	63 (14-283)	99 (62-130)	.	.	n.c.	1 
Sclerosi multipla(340)	M + F	<5	<5	.	.	10 (3-76)	.	92 (41-206)	99 (75-128)	.	.	n.c.	1 
Malattie cardiache(390-429)	F	129	111	.	.	694 (596-864)	↑	116 (101-135)	108 (97-121)	↑	.	→	3 










Tabella 9C - Monte Urano	Genere	Osservati	Attesi	Cluster sign.	SIR cluster	Tasso std. * 100000 (ic)	Tasso std. > Media reg.	SIR (ic)	BIR (ic)	SIR sign.	BIR sign.	Trend	Livello attenzione
Causa (ICD-IX)													
Malattie cardiache(390-429)	M	144	151	.	.	745 (645-859)	.	95 (83-109)	99 (90-108)	.	.	→	1
Malattie cardiache(390-429)	M + F	273	262	.	.	718 (648-823)	.	104 (94-115)	103 (95-112)	.	.	↓	0 
Malattie dell'apparato circolatorio(390-459)	F	196	197	.	.	1032 (913-1219)	.	100 (89-112)	102 (94-111)	.	.	→	1
Malattie dell'apparato circolatorio(390-459)	M	240	243	.	.	1235 (1106-1379)	.	99 (89-110)	102 (95-109)	.	.	↓	0 
Malattie dell'apparato circolatorio(390-459)	M + F	436	439	.	.	1130 (1041-1250)	.	99 (92-107)	102 (95-108)	.	.	↓	0 
Malattie ischemiche del cuore(410-4149)	F	53	38	.	.	284 (222-427)	↑	139 (111-174)	123 (103-147)	↑	↑	→	5 
Malattie ischemiche del cuore(410-4149)	M	86	77	2	114	441 (365-532)	.	111 (93-133)	111 (97-127)	.	.	→	1
Malattie ischemiche del cuore(410-4149)	M + F	139	115	2	113	359 (310-446)	↑	121 (105-139)	119 (105-134)	↑	↑	→	5 
Insufficienza cardiaca (scompenso cardiaco)(428)	F	44	45	.	.	251 (192-394)	.	98 (76-125)	97 (81-116)	.	.	↓	0 
Insufficienza cardiaca (scompenso cardiaco)(428)	M	34	43	.	.	190 (139-257)	.	79 (59-104)	89 (74-105)	.	.	→	1
Insufficienza cardiaca (scompenso cardiaco)(428)	M + F	78	88	.	.	222 (182-302)	.	88 (73-106)	92 (80-107)	.	.	↓	0 
Malattie cerebrovascolari(430-438)	F	63	64	.	.	348 (279-497)	.	98 (80-120)	101 (86-117)	.	.	↓	0 
Malattie cerebrovascolari(430-438)	M	65	69	.	.	347 (279-431)	.	94 (77-116)	97 (84-112)	.	.	→	1
Malattie cerebrovascolari(430-438)	M + F	128	133	.	.	348 (298-435)	.	96 (83-111)	98 (87-110)	.	.	↓	0 
Malattie dell'apparato respiratorio(460-5199)	F	128	131	.	.	657 (564-823)	.	98 (85-113)	96 (85-107)	.	.	→	1
Malattie dell'apparato respiratorio(460-5199)	M	167	174	.	.	832 (728-951)	.	96 (85-109)	96 (86-106)	.	.	→	1
Malattie dell'apparato respiratorio(460-5199)	M + F	295	304	.	.	741 (671-846)	.	97 (88-107)	96 (88-104)	.	.	→	1




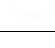





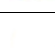




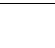
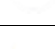

Tabella 9C - Monte Urano													
Causa (ICD-IX)	Genere	Osservati	Attesi	Cluster sign.	SIR cluster	Tasso std. * 100000 (ic)	Tasso std. > Media reg.	SIR (ic)	BIR (ic)	SIR sign.	BIR sign.	Trend	Livello attenzione
Malattie polmonari cronico ostruttive(490-492, 494, 496)	F	6	10	.	.	32 (14-161)	.	60 (31-116)	62 (40-93)	.	↓	n.c.	0 
Malattie polmonari cronico ostruttive(490-492, 494, 496)	M	11	14	.	.	62 (35-108)	.	77 (47-126)	79 (57-107)	.	.	n.c.	1 
Malattie polmonari cronico ostruttive(490-492, 494, 496)	M + F	17	24	.	.	47 (30-115)	.	70 (47-104)	70 (51-93)	.	↓	n.c.	0 
Pneumoconiosi(500-505)	F	0	0	.	.	0 (0-128)	.	0 (.-.)	84 (9-384)	.	.	n.c.	1 
Pneumoconiosi(500-505)	M	0	0	.	.	0 (0-24)	.	0 (.-.)	49 (10-127)	.	.	n.c.	1 
Pneumoconiosi(500-505)	M + F	0	0	.	.	0 (0-67)	.	0 (.-.)	68 (24-122)	.	.	n.c.	1 
Malattie dell'apparato digerente(520-579)	F	155	173	.	.	765 (666-935)	.	90 (79-102)	91 (83-99)	.	↓	→	0 
Malattie dell'apparato digerente(520-579)	M	222	246	.	.	1109 (989-1244)	.	90 (81-101)	94 (88-101)	.	.	↓	0 
Malattie dell'apparato digerente(520-579)	M + F	377	419	.	.	931 (853-1042)	.	90 (83-98)	92 (86-98)	↓	↓	↓	0 
Cirrosi e altre malattie croniche del fegato(571)	F	<5	<5	.	.	5 (0-133)	.	23 (5-105)	94 (72-116)	.	.	n.c.	1 
Cirrosi e altre malattie croniche del fegato(571)	M	<5	>5	.	.	14 (4-43)	.	36 (14-90)	82 (58-109)	↓	.	n.c.	0 
Cirrosi e altre malattie croniche del fegato(571)	M + F	<5	>5	.	.	9 (3-76)	.	32 (14-71)	84 (62-104)	↓	.	n.c.	0 
Nefropatie croniche e acute(580-589)	F	12	17	.	.	64 (37-193)	.	70 (44-113)	85 (62-114)	.	.	→	1 
Nefropatie croniche e acute(580-589)	M	20	24	.	.	108 (71-162)	.	85 (59-123)	89 (69-114)	.	.	→	1 
Nefropatie croniche e acute(580-589)	M + F	32	41	.	.	85 (62-155)	.	79 (59-105)	86 (69-107)	.	.	→	1 
Malattie dell'apparato urinario(580-599)	F	33	47	.	.	169 (123-305)	.	71 (53-94)	83 (67-100)	↓	.	→	0 
Malattie dell'apparato urinario(580-599)	M	65	69	.	.	338 (271-419)	.	94 (77-116)	95 (82-109)	.	.	→	1 



Tabella 9C - Monte Urano													
Causa (ICD-IX)	Genere	Osservati	Attesi	Cluster sign.	SIR cluster	Tasso std. * 100000 (ic)	Tasso std. > Media reg.	SIR (ic)	BIR (ic)	SIR sign.	BIR sign.	Trend	Livello attenzione
Malattie dell'apparato urinario(580-599)	M + F	98	116	.	.	250 (210-331)	.	85 (72-100)	89 (78-102)	,	,	→	1
Endometriosi(617)	F	8	8	.	.	39 (19-167)	.	98 (55-174)	92 (65-131)	,	,	n.c.	1
Malformazioni congenite(740-759)	F	23	26	.	.	102 (70-231)	.	88 (62-123)	89 (74-106)	,	,	→	1
Malformazioni congenite(740-759)	M	31	41	.	.	141 (102-195)	.	76 (57-102)	81 (67-97)	,	↓	→	0 
Malformazioni congenite(740-759)	M + F	54	67	.	.	121 (95-191)	.	81 (65-101)	83 (72-96)	,	↓	→	0 

Tabella 10C. Incidenza di primi ricoveri ospedalieri per causa nel comune di Montecassiano, tutte le età, periodo di osservazione 2009-2013







Tabella 10C - Montecassiano	Genere	Osservati	Attesi	Cluster sign.	SIR cluster	Tasso std. * 100000 (ic)	Tasso std. > Media reg.	SIR (ic)	BIR (ic)	SIR sign.	BIR sign.	Trend	Livello attenzione
Causa (ICD-IX)													
Malattie infettive(001-139)	F	28	26	.	.	161 (115-231)	.	106 (78-144)	98 (77-125)	.	.	→	1
Malattie infettive(001-139)	M	25	32	.	.	141 (98-208)	.	78 (56-108)	81 (64-102)	.	.	→	1
Malattie infettive(001-139)	M + F	53	59	.	.	152 (119-195)	.	90 (72-113)	89 (74-107)	.	.	→	1
Tumori maligni delle vie aeree e digestive superiori(140-150, 161)	F	<5	<5	.	.	6 (0-45)	.	65 (14-291)	80 (55-110)	.	.	n.c.	1
Tumori maligni delle vie aeree e digestive superiori(140-150, 161)	M	<5	>5	.	.	5 (0-45)	.	20 (4-88)	91 (68-111)	↓	.	n.c.	0 
Tumori maligni delle vie aeree e digestive superiori(140-150, 161)	M + F	<5	>5	.	.	6 (1-26)	.	30 (10-91)	86 (67-104)	↓	.	n.c.	0 
Tumori maligni(140-208)	F	98	101	.	.	546 (458-655)	.	97 (82-115)	96 (86-105)	.	.	→	1
Tumori maligni(140-208)	M	81	116	.	.	455 (375-557)	.	70 (58-84)	89 (80-98)	↓	↓	↓	0 
Tumori maligni(140-208)	M + F	179	217	.	.	502 (442-573)	.	82 (73-93)	89 (82-97)	↓	↓	→	0 
Tumori maligni dell'esofago(150)	F	0	0	.	.	0 (0-37)	.	0 (-.)	85 (47-141)	.	.	n.c.	1
Tumori maligni dell'esofago(150)	M	0	1	.	.	0 (0-38)	.	0 (-.)	86 (55-122)	.	.	n.c.	1
Tumori maligni dell'esofago(150)	M + F	0	1	.	.	0 (0-19)	.	0 (-.)	82 (54-120)	.	.	n.c.	1
Tumori maligni dello stomaco(151)	F	<5	<5	.	.	18 (5-61)	.	67 (27-169)	80 (54-115)	.	.	n.c.	1
Tumori maligni dello stomaco(151)	M	<5	>5	.	.	5 (0-45)	.	15 (3-69)	87 (62-119)	↓	.	n.c.	0 
Tumori maligni dello stomaco(151)	M + F	<5	>5	.	.	12 (4-34)	.	37 (16-82)	80 (59-107)	↓	.	n.c.	0 
Tumori maligni dell'intestino tenue, compreso il duodeno(152)	F	0	0	.	.	0 (0-37)	.	0 (-.)	92 (45-167)	.	.	n.c.	1





Tabella 10C - Montecassiano	Genere	Osservati	Attesi	Cluster sign.	SIR cluster	Tasso std. * 100000 (ic)	Tasso std. > Media reg.	SIR (ic)	BIR (ic)	SIR sign.	BIR sign.	Trend	Livello attenzione
Causa (ICD-IX)													
Tumori maligni dell'intestino tenue, compreso il duodeno(152)	M	0	1	.	.	0 (0-38)	.	0 (-.)	78 (51-113)	.	.	n.c.	1
Tumori maligni dell'intestino tenue, compreso il duodeno(152)	M + F	0	1	.	.	0 (0-19)	.	0 (-.)	86 (58-118)	.	.	n.c.	1
Tumori maligni del colon(153)	F	8	10	.	.	44 (22-93)	.	80 (45-141)	89 (69-113)	.	.	→	1
Tumori maligni del colon(153)	M	13	12	.	.	75 (44-132)	.	105 (67-165)	98 (80-119)	.	.	→	1
Tumori maligni del colon(153)	M + F	21	22	.	.	59 (40-91)	.	94 (66-134)	93 (77-112)	.	.	↓	0 
Tumori maligni del colon-retto(153-154)	F	10	14	.	.	55 (30-107)	.	72 (43-121)	94 (78-111)	.	.	→	1
Tumori maligni del colon-retto(153-154)	M	19	19	.	.	109 (71-171)	.	101 (69-147)	103 (88-119)	.	.	↓	0 
Tumori maligni del colon-retto(153-154)	M + F	29	33	.	.	82 (58-117)	.	89 (65-120)	98 (85-113)	.	.	↓	0 
Tumori maligni del retto, della giunzione retto-sigmoidea e dell'ano(154)	F	<5	>5	.	.	11 (2-52)	.	44 (15-132)	98 (80-116)	.	.	n.c.	1
Tumori maligni del retto, della giunzione retto-sigmoidea e dell'ano(154)	M	>5	>5	.	.	39 (18-87)	.	93 (50-172)	107 (90-126)	.	.	n.c.	1
Tumori maligni del retto, della giunzione retto-sigmoidea e dell'ano(154)	M + F	9	12	.	.	25 (13-50)	.	74 (43-128)	103 (87-120)	.	.	n.c.	1
Tumore fegato e dotti biliari(1550-1551)	F	<5	<5	.	.	16 (4-58)	.	240 (96-601)	100 (61-165)	.	.	n.c.	1
Tumore fegato e dotti biliari(1550-1551)	M	<5	<5	.	.	17 (5-60)	.	129 (51-322)	88 (63-125)	.	.	n.c.	1
Tumore fegato e dotti biliari(1550-1551)	M + F	6	4	.	.	17 (7-40)	.	168 (87-324)	95 (67-141)	.	.	n.c.	1
Tumori maligni del pancreas(157)	F	>5	<5	.	.	50 (26-101)	↑	272 (158-468)	103 (83-139)	↑	.	n.c.	3 
Tumori maligni del pancreas(157)	M	<5	<5	.	.	11 (2-52)	.	52 (17-158)	101 (86-118)	.	.	n.c.	1
Tumori maligni del pancreas(157)	M + F	11	7	.	.	31 (17-58)	.	154 (94-252)	102 (89-120)	.	.	n.c.	1

Tabella 10C - Montecassiano	Genere	Osservati	Attesi	Cluster sign.	SIR cluster	Tasso std. * 100000 (ic)	Tasso std. > Media reg.	SIR (ic)	BIR (ic)	SIR sign.	BIR sign.	Trend	Livello attenzione
Causa (ICD-IX)													
Tumore del retroperitoneo(1580)	F	0	0	.	.	0 (0-37)	.	0 (-.)	67 (33-127)	'	'	n.c.	1
Tumore del retroperitoneo(1580)	M	0	0	.	.	0 (0-38)	.	0 (-.)	92 (27-212)	'	'	n.c.	1
Tumore del retroperitoneo(1580)	M + F	0	0	.	.	0 (0-19)	.	0 (-.)	87 (49-142)	'	'	n.c.	1
Tumori maligni del naso(1600)	F	0	0	.	.	0 (0-37)	.	0 (-.)	159 (77-290)	'	'	n.c.	1
Tumori maligni del naso(1600)	M	0	0	.	.	0 (0-38)	.	0 (-.)	64 (19-163)	'	'	n.c.	1
Tumori maligni del naso(1600)	M + F	0	0	.	.	0 (0-19)	.	0 (-.)	87 (34-194)	'	'	n.c.	1
Tumori maligni della laringe(161)	F	0	0	.	.	0 (0-37)	.	0 (-.)	56 (19-121)	'	'	n.c.	1
Tumori maligni della laringe(161)	M	<5	<5	.	.	5 (0-45)	.	44 (10-199)	93 (69-116)	'	'	n.c.	1
Tumori maligni della laringe(161)	M + F	<5	<5	.	.	3 (0-23)	.	41 (9-184)	90 (67-110)	'	'	n.c.	1
Tumori maligni della trachea, dei bronchi e dei polmoni(162)	F	5	5	.	.	28 (11-73)	.	107 (52-219)	91 (67-120)	'	'	n.c.	1
Tumori maligni della trachea, dei bronchi e dei polmoni(162)	M	8	14	.	.	44 (22-94)	.	57 (32-102)	92 (77-107)	'	'	n.c.	1
Tumori maligni della trachea, dei bronchi e dei polmoni(162)	M + F	13	19	.	.	36 (21-64)	.	70 (44-109)	91 (79-104)	'	'	n.c.	1
Tumori maligni della pleura(163)	F	0	0	.	.	0 (0-37)	.	0 (-.)	66 (30-129)	'	'	n.c.	1
Tumori maligni della pleura(163)	M	0	1	.	.	0 (0-38)	.	0 (-.)	59 (22-139)	'	'	n.c.	1
Tumori maligni della pleura(163)	M + F	0	1	.	.	0 (0-19)	.	0 (-.)	60 (28-119)	'	'	n.c.	1
Mesoteliomi pleurici e peritoneali(1588, 163)	F	0	0	.	.	0 (0-37)	.	0 (-.)	78 (37-145)	'	'	n.c.	1
Mesoteliomi pleurici e peritoneali(1588, 163)	M	0	1	.	.	0 (0-38)	.	0 (-.)	68 (27-142)	'	'	n.c.	1

Tabella 10C - Montecassiano													
Causa (ICD-IX)	Genere	Osservati	Attesi	Cluster sign.	SIR cluster	Tasso std. * 100000 (ic)	Tasso std. > Media reg.	SIR (ic)	BIR (ic)	SIR sign.	BIR sign.	Trend	Livello attenzione
Mesoteliomi pleurici e peritoneali(1588, 163)	M + F	0	1	.	.	0 (0-19)	.	0 (-.)	71 (32-132)	.	.	n.c.	1
Tumori maligni delle ossa e della cartilagine articolare(170)	F	0	0	.	.	0 (0-37)	.	0 (-.)	71 (39-120)	.	.	n.c.	1
Tumori maligni delle ossa e della cartilagine articolare(170)	M	<5	<5	.	.	5 (0-45)	.	191 (43-858)	98 (71-133)	.	.	n.c.	1
Tumori maligni delle ossa e della cartilagine articolare(170)	M + F	<5	<5	.	.	3 (0-22)	.	119 (27-535)	87 (62-118)	.	.	n.c.	1
Tumori maligni del connettivo e di altri tessuti molli(171)	F	0	1	.	.	0 (0-37)	.	0 (-.)	102 (67-141)	.	.	n.c.	1
Tumori maligni del connettivo e di altri tessuti molli(171)	M	0	1	.	.	0 (0-38)	.	0 (-.)	76 (41-121)	.	.	n.c.	1
Tumori maligni del connettivo e di altri tessuti molli(171)	M + F	0	2	.	.	0 (0-19)	.	0 (-.)	75 (41-120)	.	.	n.c.	1
Melanoma maligno della pelle(172)	F	<5	<5	.	.	6 (0-45)	.	43 (10-193)	79 (49-118)	.	.	n.c.	1
Melanoma maligno della pelle(172)	M	<5	<5	.	.	11 (2-52)	.	74 (24-223)	91 (58-136)	.	.	n.c.	1
Melanoma maligno della pelle(172)	M + F	<5	>5	.	.	8 (2-30)	.	60 (24-149)	80 (54-116)	.	.	n.c.	1
Tumori maligni della mammella(174-175)	F	31	29	.	.	172 (124-242)	.	106 (79-142)	96 (81-115)	.	.	→	1
Tumori maligni della mammella(174-175)	M	<5	<5	.	.	5 (0-45)	.	281 (63-1261)	114 (63-220)	.	.	n.c.	1
Tumori maligni della mammella(174-175)	M + F	32	30	.	.	90 (66-127)	.	108 (81-144)	97 (82-114)	.	.	→	1
Tumori maligni dell'utero(179-180, 182)	F	9	6	.	.	48 (25-98)	.	148 (86-254)	97 (82-117)	.	.	→	1
Tumori maligni del corpo dell'utero(182)	F	7	4	.	.	38 (18-85)	.	161 (87-296)	101 (82-132)	.	.	→	1
Tumori maligni dell'ovaio e degli altri annessi uterini(183)	F	<5	<5	.	.	11 (2-52)	.	65 (22-198)	94 (75-113)	.	.	n.c.	1
Tumore della prostata(185)	M	14	18	.	.	79 (48-136)	.	80 (52-124)	101 (82-124)	.	.	→	1



Tabella 10C - Montecassiano	Genere	Osservati	Attesi	Cluster sign.	SIR cluster	Tasso std. * 100000 (ic)	Tasso std. > Media reg.	SIR (ic)	BIR (ic)	SIR sign.	BIR sign.	Trend	Livello attenzione
Causa (ICD-IX)													
Tumore del testicolo(186)	M	<5	<5	.	.	6 (0-45)	.	74 (16-331)	92 (69-121)	.	.	n.c.	1
Tumori maligni della vescica(188)	F	<5	<5	.	.	14 (2-57)	.	65 (21-195)	91 (74-109)	.	.	n.c.	1
Tumori maligni della vescica(188)	M	>5	>5	.	.	72 (43-127)	.	85 (54-134)	95 (82-107)	.	.	n.c.	1
Tumori maligni della vescica(188)	M + F	15	18	.	.	42 (26-71)	.	82 (54-125)	92 (80-105)	.	.	n.c.	1
Tumori maligni del rene e di altri e non specificati organi urinari(189)	F	<5	<5	.	.	16 (4-57)	.	89 (36-223)	102 (81-128)	.	.	n.c.	1
Tumori maligni del rene e di altri e non specificati organi urinari(189)	M	>5	>5	.	.	39 (18-87)	.	108 (59-200)	97 (78-120)	.	.	→	1
Tumori maligni del rene e di altri e non specificati organi urinari(189)	M + F	10	10	.	.	27 (15-53)	.	102 (61-170)	99 (81-120)	.	.	→	1
Tumori maligni dell'encefalo(191)	F	<5	<5	.	.	5 (0-43)	.	43 (10-191)	105 (72-145)	.	.	n.c.	1
Tumori maligni dell'encefalo(191)	M	<5	<5	.	.	11 (2-52)	.	82 (27-249)	87 (65-111)	.	.	n.c.	1
Tumori maligni dell'encefalo(191)	M + F	<5	>5	.	.	8 (2-29)	.	63 (25-157)	95 (72-121)	.	.	n.c.	1
Tumori maligni del sistema nervoso centrale(191-192)	F	<5	<5	.	.	5 (0-43)	.	38 (9-172)	105 (75-138)	.	.	n.c.	1
Tumori maligni del sistema nervoso centrale(191-192)	M	<5	<5	.	.	11 (2-52)	.	76 (25-229)	87 (61-111)	.	.	n.c.	1
Tumori maligni del sistema nervoso centrale(191-192)	M + F	<5	>5	.	.	8 (2-29)	.	57 (23-143)	93 (68-118)	.	.	n.c.	1
Tumori maligni della ghiandola tiroide(193)	F	<5	>5	.	.	16 (4-58)	.	60 (24-150)	104 (73-140)	.	.	n.c.	1
Tumori maligni della ghiandola tiroide(193)	M	<5	<5	.	.	6 (0-45)	.	55 (12-249)	109 (65-168)	.	.	n.c.	1
Tumori maligni della ghiandola tiroide(193)	M + F	<5	>5	.	.	11 (4-33)	.	59 (26-131)	102 (73-140)	.	.	n.c.	1
Linfoma non Hodgkin(200, 202)	F	<5	<5	.	.	22 (8-66)	.	103 (46-230)	105 (84-136)	.	.	n.c.	1




Tabella 10C - Montecassiano	Genere	Osservati	Attesi	Cluster sign.	SIR cluster	Tasso std. * 100000 (ic)	Tasso std. > Media reg.	SIR (ic)	BIR (ic)	SIR sign.	BIR sign.	Trend	Livello attenzione
Causa (ICD-IX)													
Linfoma non Hodgkin(200, 202)	M	<5	>5	.	.	17 (5-60)	.	65 (26-162)	92 (70-118)	.	.	n.c.	1
Linfoma non Hodgkin(200, 202)	M + F	7	9	.	.	20 (9-44)	.	82 (45-152)	98 (77-122)	.	.	n.c.	1
Tumori emolinfopoiетici(200-208)	F	>5	>5	.	.	29 (11-74)	.	61 (30-126)	97 (76-118)	.	.	n.c.	1
Tumori emolinfopoiетici(200-208)	M	<5	>5	.	.	23 (8-67)	.	38 (17-84)	95 (74-114)	↓	.	n.c.	0 
Tumori emolinfopoiетici(200-208)	M + F	9	19	.	.	26 (13-52)	.	48 (28-82)	90 (71-108)	↓	.	↓	0 
Malattia di Hodgkin(201)	F	0	1	.	.	0 (0-37)	.	0 (-.)	84 (62-110)	.	.	n.c.	1
Malattia di Hodgkin(201)	M	0	1	.	.	0 (0-38)	.	0 (-.)	103 (74-136)	.	.	n.c.	1
Malattia di Hodgkin(201)	M + F	0	2	.	.	0 (0-19)	.	0 (-.)	89 (59-121)	.	.	n.c.	1
Mieloma multiplo e tumori immunoproliferativi(203)	F	0	2	.	.	0 (0-37)	.	0 (-.)	91 (63-124)	.	.	n.c.	1
Mieloma multiplo e tumori immunoproliferativi(203)	M	0	2	.	.	0 (0-38)	.	0 (-.)	91 (53-135)	.	.	n.c.	1
Mieloma multiplo e tumori immunoproliferativi(203)	M + F	0	4	.	.	0 (0-19)	.	0 (-.)	76 (46-111)	.	.	n.c.	1
Leucemie(204-208)	F	<5	<5	.	.	6 (0-46)	.	40 (9-181)	98 (66-136)	.	.	n.c.	1
Leucemie(204-208)	M	<5	<5	.	.	6 (0-45)	.	27 (6-122)	103 (76-130)	.	.	n.c.	1
Leucemie(204-208)	M + F	<5	>5	.	.	6 (1-27)	.	33 (11-98)	93 (66-123)	↓	.	n.c.	0 
Gozzo non tossico(240-241)	F	>5	>5	.	.	60 (34-112)	.	132 (81-215)	108 (77-151)	.	.	→	1
Gozzo non tossico(240-241)	M	<5	>5	.	.	12 (2-54)	.	73 (24-219)	77 (47-123)	.	.	n.c.	1
Gozzo non tossico(240-241)	M + F	13	11	.	.	37 (22-65)	.	117 (75-184)	103 (73-142)	.	.	→	1









Tabella 10C - Montecassiano	Genere	Osservati	Attesi	Cluster sign.	SIR cluster	Tasso std. * 100000 (ic)	Tasso std. > Media reg.	SIR (ic)	BIR (ic)	SIR sign.	BIR sign.	Trend	Livello attenzione
Causa (ICD-IX)													
Malattie endocrine e della nutrizione(240-2799)	F	49	53	.	.	273 (212-356)	.	92 (73-116)	92 (77-110)	.	.	→	1
Malattie endocrine e della nutrizione(240-2799)	M	26	42	.	.	145 (102-213)	.	63 (45-86)	76 (62-91)	↓	↓	→	0 
Malattie endocrine e della nutrizione(240-2799)	M + F	75	95	.	.	211 (172-260)	.	79 (65-96)	82 (70-96)	↓	↓	→	0 
Tireotossicosi(242)	F	<5	<5	.	.	6 (0-45)	.	38 (9-172)	84 (53-123)	.	.	n.c.	1
Tireotossicosi(242)	M	<5	<5	.	.	11 (2-52)	.	188 (62-568)	85 (42-163)	.	.	n.c.	1
Tireotossicosi(242)	M + F	<5	<5	.	.	8 (2-30)	.	82 (33-204)	79 (51-119)	.	.	n.c.	1
Ipotiroidismo(243-244)	F	<5	<5	2	166	22 (7-65)	↑	437 (196-973)	82 (60-132)	↑	.	n.c.	3 
Ipotiroidismo(243-244)	M	0	1	.	.	0 (0-38)	.	0 (-.-)	98 (74-125)	.	.	n.c.	1
Ipotiroidismo(243-244)	M + F	<5	<5	.	.	11 (4-33)	.	202 (91-450)	89 (73-114)	.	.	n.c.	1
Diabete mellito(250)	F	9	8	.	.	53 (27-105)	.	108 (63-186)	85 (54-128)	.	.	n.c.	1
Diabete mellito(250)	M	7	10	.	.	40 (19-88)	.	72 (39-133)	61 (40-92)	.	↓	n.c.	0 
Diabete mellito(250)	M + F	16	18	.	.	46 (29-76)	.	89 (59-134)	73 (52-100)	.	.	→	1
Malattie del sangue e degli organi emopoietici(280-289)	F	11	19	.	.	60 (34-112)	.	59 (36-97)	80 (59-107)	↓	.	↓	0 
Malattie del sangue e degli organi emopoietici(280-289)	M	10	18	.	.	55 (30-107)	.	57 (34-96)	82 (59-110)	↓	.	n.c.	0 
Malattie del sangue e degli organi emopoietici(280-289)	M + F	21	36	.	.	58 (39-89)	.	58 (41-83)	75 (57-95)	↓	↓	→	0 
Malattie neuro-psichiatriche (escluse tossicod.)(290-303, 306-319)	F	18	23	.	.	98 (63-157)	.	78 (53-115)	85 (67-107)	.	.	→	1
Malattie neuro-psichiatriche (escluse tossicod.)(290-303, 306-319)	M	17	27	.	.	98 (62-158)	.	64 (43-95)	73 (57-92)	↓	↓	→	0 





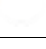
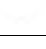
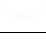


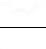
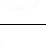
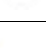
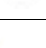
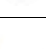
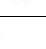

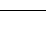
Tabella 10C - Montecassiano													
Causa (ICD-IX)	Genere	Osservati	Attesi	Cluster sign.	SIR cluster	Tasso std. * 100000 (ic)	Tasso std. > Media reg.	SIR (ic)	BIR (ic)	SIR sign.	BIR sign.	Trend	Livello attenzione
Malattie neuro-psichiatriche (escluse tossicod.)(290-303, 306-319)	M + F	35	50	.	.	98 (72-135)	.	71 (53-93)	76 (62-93)	↓	↓	→	0 
Malattie del sistema nervoso e degli organi di senso(320-389)	F	109	128	.	.	602 (510-714)	.	85 (73-100)	85 (74-96)	↓	↓	↓	0 
Malattie del sistema nervoso e degli organi di senso(320-389)	M	79	112	.	.	448 (368-549)	.	71 (59-85)	76 (66-87)	↓	↓	↓	0 
Malattie del sistema nervoso e degli organi di senso(320-389)	M + F	188	240	.	.	526 (465-599)	.	78 (70-88)	80 (71-88)	↓	↓	↓	0 
Malattia di Alzheimer(3310)	F	>5	>5	.	.	35 (15-83)	.	126 (65-244)	99 (56-164)	.	.	n.c.	1 
Malattia di Alzheimer(3310)	M	<5	<5	.	.	11 (2-52)	.	72 (24-217)	79 (38-152)	.	.	n.c.	1 
Malattia di Alzheimer(3310)	M + F	8	8	.	.	23 (12-49)	.	106 (60-188)	90 (55-138)	.	.	→	1 
Morbo di Parkinson(3320)	F	<5	<5	.	.	5 (0-44)	.	71 (16-317)	100 (52-172)	.	.	n.c.	1 
Morbo di Parkinson(3320)	M	<5	<5	.	.	23 (8-67)	.	242 (109-540)	113 (67-192)	↑	.	n.c.	3 
Morbo di Parkinson(3320)	M + F	5	3	.	.	14 (5-37)	.	163 (79-335)	109 (71-169)	.	.	n.c.	1 
Malattia dei neuroni motori(3352)	F	0	1	.	.	0 (0-37)	.	0 (-.-)	85 (33-178)	.	.	n.c.	1 
Malattia dei neuroni motori(3352)	M	0	1	.	.	0 (0-38)	.	0 (-.-)	77 (43-121)	.	.	n.c.	1 
Malattia dei neuroni motori(3352)	M + F	0	1	.	.	0 (0-19)	.	0 (-.-)	90 (65-117)	.	.	n.c.	1 
Sclerosi multipla(340)	F	<5	<5	.	.	22 (7-65)	.	159 (71-355)	106 (85-136)	.	.	n.c.	1 
Sclerosi multipla(340)	M	<5	<5	.	.	6 (0-45)	.	86 (19-384)	90 (64-129)	.	.	n.c.	1 
Sclerosi multipla(340)	M + F	5	4	.	.	14 (5-36)	.	136 (66-279)	101 (78-136)	.	.	n.c.	1 
Malattie cardiache(390-429)	F	98	98	.	.	567 (475-680)	.	101 (85-119)	96 (85-108)	.	.	→	1 






Tabella 10C - Montecassiano	Genere	Osservati	Attesi	Cluster sign.	SIR cluster	Tasso std. * 100000 (ic)	Tasso std. > Media reg.	SIR (ic)	BIR (ic)	SIR sign.	BIR sign.	Trend	Livello attenzione
Causa (ICD-IX)													
Malattie cardiache(390-429)	M	112	126	2	107	643 (545-762)	.	89 (76-104)	92 (84-102)	.	.	→	1
Malattie cardiache(390-429)	M + F	210	224	.	.	604 (536-682)	.	94 (84-105)	93 (85-102)	.	.	↑	1
Malattie dell'apparato circolatorio(390-459)	F	169	170	.	.	957 (838-1096)	.	100 (88-113)	97 (89-106)	.	.	→	1
Malattie dell'apparato circolatorio(390-459)	M	191	203	.	.	1102 (973-1252)	.	94 (84-106)	95 (88-103)	.	.	→	1
Malattie dell'apparato circolatorio(390-459)	M + F	360	373	.	.	1028 (940-1126)	.	97 (89-105)	96 (89-102)	.	.	→	1
Malattie ischemiche del cuore(410-4149)	F	33	32	.	.	194 (142-270)	.	103 (77-137)	97 (79-117)	.	.	→	1
Malattie ischemiche del cuore(410-4149)	M	58	61	.	.	333 (265-424)	.	95 (77-118)	94 (80-108)	.	.	→	1
Malattie ischemiche del cuore(410-4149)	M + F	91	93	.	.	262 (219-317)	.	98 (82-116)	95 (83-108)	.	.	→	1
Insufficienza cardiaca (scompenso cardiaco)(428)	F	34	39	.	.	202 (148-280)	.	87 (65-115)	84 (69-100)	.	.	→	1
Insufficienza cardiaca (scompenso cardiaco)(428)	M	33	36	.	.	188 (136-263)	.	92 (69-123)	89 (74-106)	.	.	↑	1
Insufficienza cardiaca (scompenso cardiaco)(428)	M + F	67	75	.	.	195 (157-245)	.	89 (73-109)	86 (73-99)	.	↓	↑	0 
Malattie cerebrovascolari(430-438)	F	56	56	.	.	319 (252-408)	.	100 (80-125)	98 (84-114)	.	.	↓	0 
Malattie cerebrovascolari(430-438)	M	53	60	.	.	300 (235-388)	.	88 (70-110)	93 (80-108)	.	.	→	1
Malattie cerebrovascolari(430-438)	M + F	109	116	.	.	310 (262-368)	.	94 (80-110)	95 (84-106)	.	.	→	1
Malattie dell'apparato respiratorio(460-5199)	F	93	119	.	.	527 (440-635)	.	78 (66-93)	85 (75-96)	↓	↓	→	0 
Malattie dell'apparato respiratorio(460-5199)	M	124	154	.	.	701 (600-824)	.	80 (69-93)	87 (78-97)	↓	↓	→	0 
Malattie dell'apparato respiratorio(460-5199)	M + F	217	273	.	.	612 (545-690)	.	79 (71-89)	84 (76-92)	↓	↓	→	0 




Tabella 10C - Montecassiano													
Causa (ICD-IX)	Genere	Osservati	Attesi	Cluster sign.	SIR cluster	Tasso std. * 100000 (ic)	Tasso std. > Media reg.	SIR (ic)	BIR (ic)	SIR sign.	BIR sign.	Trend	Livello attenzione
Malattie polmonari cronico ostruttive(490-492, 494, 496)	F	9	9	.	.	52 (27-103)	.	99 (58-170)	86 (57-126)	.	.	→	1
Malattie polmonari cronico ostruttive(490-492, 494, 496)	M	9	12	.	.	50 (26-101)	.	74 (43-128)	80 (57-109)	.	.	n.c.	1
Malattie polmonari cronico ostruttive(490-492, 494, 496)	M + F	18	21	.	.	51 (33-82)	.	85 (58-125)	81 (60-109)	.	.	→	1
Pneumoconiosi(500-505)	F	0	0	.	.	0 (0-37)	.	0 (-.)	56 (4-332)	.	.	n.c.	1
Pneumoconiosi(500-505)	M	0	0	.	.	0 (0-38)	.	0 (-.)	68 (17-166)	.	.	n.c.	1
Pneumoconiosi(500-505)	M + F	0	0	.	.	0 (0-19)	.	0 (-.)	83 (29-156)	.	.	n.c.	1
Malattie dell'apparato digerente(520-579)	F	144	149	.	.	806 (698-934)	.	97 (85-111)	99 (90-108)	.	.	→	1
Malattie dell'apparato digerente(520-579)	M	201	212	.	.	1146 (1016-1297)	.	95 (85-107)	100 (93-108)	.	.	→	1
Malattie dell'apparato digerente(520-579)	M + F	345	360	.	.	972 (887-1067)	.	96 (88-105)	98 (92-105)	.	.	→	1
Cirrosi e altre malattie croniche del fegato(571)	F	<5	<5	.	.	6 (0-45)	.	32 (7-143)	85 (65-109)	.	.	n.c.	1
Cirrosi e altre malattie croniche del fegato(571)	M	<5	>5	.	.	11 (2-52)	.	33 (11-100)	74 (51-99)	↓	↓	n.c.	0 
Cirrosi e altre malattie croniche del fegato(571)	M + F	<5	>5	.	.	8 (2-30)	.	33 (13-82)	78 (58-98)	↓	↓	n.c.	0 
Nefropatie croniche e acute(580-589)	F	16	14	.	.	94 (59-153)	.	113 (75-170)	96 (71-130)	.	.	→	1
Nefropatie croniche e acute(580-589)	M	14	19	.	.	77 (47-133)	.	72 (47-111)	77 (59-99)	.	↓	→	0 
Nefropatie croniche e acute(580-589)	M + F	30	34	.	.	86 (61-122)	.	89 (66-120)	85 (67-105)	.	.	→	1
Malattie dell'apparato urinario(580-599)	F	31	39	.	.	178 (129-251)	.	79 (59-106)	83 (68-102)	.	.	→	1
Malattie dell'apparato urinario(580-599)	M	65	59	.	.	363 (292-456)	.	111 (91-136)	102 (88-118)	.	.	→	1

Tabella 10C - Montecassiano													
Causa (ICD-IX)	Genere	Osservati	Attesi	Cluster sign.	SIR cluster	Tasso std. * 100000 (ic)	Tasso std. > Media reg.	SIR (ic)	BIR (ic)	SIR sign.	BIR sign.	Trend	Livello attenzione
Malattie dell'apparato urinario(580-599)	M + F	96	98	.	.	269 (225-323)	.	98 (83-116)	96 (84-109)	.	.	→	1
Endometriosi(617)	F	5	6	.	.	28 (11-73)	.	88 (43-180)	80 (54-114)	.	.	n.c.	1
Malformazioni congenite(740-759)	F	24	23	.	.	132 (91-197)	.	104 (75-146)	101 (83-122)	.	.	→	1
Malformazioni congenite(740-759)	M	45	33	.	.	258 (198-340)	↑	136 (107-174)	110 (92-132)	↑	.	→	3 ☹️
Malformazioni congenite(740-759)	M + F	69	56	.	.	194 (157-241)	↑	123 (101-150)	108 (94-125)	↑	.	→	3 ☹️

Tabella 11C. Incidenza primi di ricoveri ospedalieri per causa nel comune di Montecosaro, tutte le età, periodo di osservazione 2009-2013

Tabella 11C - Montecosaro	Genere	Osservati	Attesi	Cluster sign.	SIR cluster	Tasso std. * 100000 (ic)	Tasso std. > Media reg.	SIR (ic)	BIR (ic)	SIR sign.	BIR sign.	Trend	Livello attenzione
Causa (ICD-IX)													
Malattie infettive(001-139)	F	28	28	.	.	168 (118-239)	.	101 (74-138)	100 (80-124)	.	.	→	1
Malattie infettive(001-139)	M	26	32	.	.	160 (111-227)	.	81 (59-112)	91 (73-110)	.	.	→	1
Malattie infettive(001-139)	M + F	54	60	.	.	164 (128-210)	.	91 (72-113)	95 (80-112)	.	.	→	1
Tumori maligni delle vie aeree e digestive superiori(140-150, 161)	F	<5	<5	.	.	22 (6-65)	.	180 (72-451)	104 (76-144)	.	.	n.c.	1
Tumori maligni delle vie aeree e digestive superiori(140-150, 161)	M	>5	>5	.	.	36 (14-80)	.	110 (54-227)	102 (82-126)	.	.	n.c.	1
Tumori maligni delle vie aeree e digestive superiori(140-150, 161)	M + F	8	6	.	.	29 (14-56)	.	129 (73-229)	103 (85-125)	.	.	n.c.	1
Tumori maligni(140-208)	F	101	89	.	.	710 (597-844)	↑	113 (96-133)	104 (95-114)	.	.	→	1
Tumori maligni(140-208)	M	96	99	.	.	682 (571-812)	.	97 (82-115)	101 (92-110)	.	.	→	1
Tumori maligni(140-208)	M + F	197	188	.	.	697 (617-787)	.	105 (93-118)	103 (96-112)	.	.	→	1
Tumori maligni dell'esofago(150)	F	0	0	.	.	0 (0-32)	.	0 (.-.)	99 (62-146)	.	.	n.c.	1
Tumori maligni dell'esofago(150)	M	<5	<5	.	.	8 (0-42)	.	162 (36-727)	107 (73-147)	.	.	n.c.	1
Tumori maligni dell'esofago(150)	M + F	<5	<5	.	.	4 (0-23)	.	120 (27-538)	95 (65-131)	.	.	n.c.	1
Tumori maligni dello stomaco(151)	F	5	4	.	.	36 (14-83)	.	138 (67-283)	102 (74-141)	.	.	n.c.	1
Tumori maligni dello stomaco(151)	M	6	5	.	.	42 (18-87)	.	118 (61-228)	103 (78-137)	.	.	n.c.	1
Tumori maligni dello stomaco(151)	M + F	11	9	.	.	39 (22-68)	.	126 (77-206)	106 (83-136)	.	.	n.c.	1
Tumori maligni dell'intestino tenue, compreso il duodeno(152)	F	0	0	.	.	0 (0-32)	.	0 (.-.)	92 (43-154)	.	.	n.c.	1



Tabella 11C - Montecosaro	Genere	Osservati	Attesi	Cluster sign.	SIR cluster	Tasso std. * 100000 (ic)	Tasso std. > Media reg.	SIR (ic)	BIR (ic)	SIR sign.	BIR sign.	Trend	Livello attenzione
Causa (ICD-IX)													
Tumori maligni dell'intestino tenue, compreso il duodeno(152)	M	<5	<5	.	.	6 (0-37)	.	184 (41-826)	110 (78-152)	.	.	n.c.	1
Tumori maligni dell'intestino tenue, compreso il duodeno(152)	M + F	<5	<5	.	.	3 (0-21)	.	123 (27-549)	106 (75-145)	.	.	n.c.	1
Tumori maligni del colon(153)	F	13	9	.	.	93 (55-154)	.	149 (95-235)	110 (89-138)	.	.	n.c.	1
Tumori maligni del colon(153)	M	11	11	.	.	83 (46-140)	.	103 (63-167)	103 (86-124)	.	.	n.c.	1
Tumori maligni del colon(153)	M + F	24	19	.	.	88 (60-127)	.	124 (88-173)	108 (91-128)	.	.	↑	2 😊
Tumori maligni del colon-retto(153-154)	F	18	12	.	.	124 (80-191)	.	155 (106-228)	108 (92-129)	↑	.	n.c.	3 😊
Tumori maligni del colon-retto(153-154)	M	17	15	.	.	128 (81-195)	.	111 (75-165)	102 (90-117)	.	.	→	1
Tumori maligni del colon-retto(153-154)	M + F	35	27	.	.	126 (93-170)	.	130 (99-172)	107 (94-123)	.	.	→	1
Tumori maligni del retto, della giunzione retto-sigmoidea e dell'ano(154)	F	5	4	.	.	31 (12-75)	.	134 (65-275)	102 (87-121)	.	.	n.c.	1
Tumori maligni del retto, della giunzione retto-sigmoidea e dell'ano(154)	M	7	6	.	.	53 (24-102)	.	125 (68-230)	99 (85-118)	.	.	n.c.	1
Tumori maligni del retto, della giunzione retto-sigmoidea e dell'ano(154)	M + F	12	9	.	.	42 (24-71)	.	128 (80-205)	102 (88-121)	.	.	n.c.	1
Tumore fegato e dotti biliari(1550-1551)	F	<5	<5	.	.	7 (0-44)	.	105 (23-469)	94 (60-145)	.	.	n.c.	1
Tumore fegato e dotti biliari(1550-1551)	M	<5	<5	.	.	20 (6-58)	.	141 (56-353)	103 (78-140)	.	.	n.c.	1
Tumore fegato e dotti biliari(1550-1551)	M + F	<5	<5	.	.	14 (5-36)	.	130 (58-289)	105 (77-145)	.	.	n.c.	1
Tumori maligni del pancreas(157)	F	<5	<5	.	.	24 (7-68)	.	109 (44-273)	99 (77-120)	.	.	n.c.	1
Tumori maligni del pancreas(157)	M	<5	<5	.	.	7 (0-39)	.	33 (7-147)	98 (83-111)	.	.	n.c.	1
Tumori maligni del pancreas(157)	M + F	<5	>5	.	.	16 (5-40)	.	69 (31-154)	98 (84-111)	.	.	n.c.	1

Tabella 11C - Montecosaro	Genere	Osservati	Attesi	Cluster sign.	SIR cluster	Tasso std. * 100000 (ic)	Tasso std. > Media reg.	SIR (ic)	BIR (ic)	SIR sign.	BIR sign.	Trend	Livello attenzione
Causa (ICD-IX)													
Tumore del retroperitoneo(1580)	F	0	0	.	.	0 (0-32)	.	0 (.-.)	103 (59-165)	.	.	n.c.	1
Tumore del retroperitoneo(1580)	M	0	0	.	.	0 (0-28)	.	0 (.-.)	77 (23-175)	.	.	n.c.	1
Tumore del retroperitoneo(1580)	M + F	0	0	.	.	0 (0-17)	.	0 (.-.)	96 (55-148)	.	.	n.c.	1
Tumori maligni del naso(1600)	F	0	0	.	.	0 (0-32)	.	0 (.-.)	66 (30-131)	.	.	n.c.	1
Tumori maligni del naso(1600)	M	0	0	.	.	0 (0-28)	.	0 (.-.)	128 (57-294)	.	.	n.c.	1
Tumori maligni del naso(1600)	M + F	0	0	.	.	0 (0-17)	.	0 (.-.)	109 (48-225)	.	.	n.c.	1
Tumori maligni della laringe(161)	F	<5	<5	.	.	14 (2-53)	.	845 (280-2555)	117 (60-276)	↑	.	n.c.	3 😊
Tumori maligni della laringe(161)	M	<5	<5	.	.	28 (9-68)	.	197 (88-439)	105 (85-137)	.	.	n.c.	1
Tumori maligni della laringe(161)	M + F	6	2	.	.	21 (9-45)	↑	265 (137-512)	108 (89-141)	↑	.	n.c.	3 😊
Tumori maligni della trachea, dei bronchi e dei polmoni(162)	F	5	4	.	.	35 (14-82)	.	118 (58-243)	97 (73-127)	.	.	n.c.	1
Tumori maligni della trachea, dei bronchi e dei polmoni(162)	M	9	12	.	.	65 (34-117)	.	74 (43-127)	102 (87-119)	.	.	n.c.	1
Tumori maligni della trachea, dei bronchi e dei polmoni(162)	M + F	14	16	.	.	50 (30-81)	.	85 (55-132)	100 (87-114)	.	.	n.c.	1
Tumori maligni della pleura(163)	F	0	0	.	.	0 (0-32)	.	0 (.-.)	101 (49-169)	.	.	n.c.	1
Tumori maligni della pleura(163)	M	0	1	.	.	0 (0-28)	.	0 (.-.)	73 (29-159)	.	.	n.c.	1
Tumori maligni della pleura(163)	M + F	0	1	.	.	0 (0-17)	.	0 (.-.)	81 (41-149)	.	.	n.c.	1
Mesoteliomi pleurici e peritoneali(1588, 163)	F	0	0	.	.	0 (0-32)	.	0 (.-.)	96 (49-158)	.	.	n.c.	1
Mesoteliomi pleurici e peritoneali(1588, 163)	M	0	1	.	.	0 (0-28)	.	0 (.-.)	76 (34-151)	.	.	n.c.	1


Tabella 11C - Montecosaro													
Causa (ICD-IX)	Genere	Osservati	Attesi	Cluster sign.	SIR cluster	Tasso std. * 100000 (ic)	Tasso std. > Media reg.	SIR (ic)	BIR (ic)	SIR sign.	BIR sign.	Trend	Livello attenzione
Mesoteliomi pleurici e peritoneali(1588, 163)	M + F	0	1	.	.	0 (0-17)	.	0 (.-.)	81 (38-144)	.	.	n.c.	1
Tumori maligni delle ossa e della cartilagine articolare(170)	F	0	0	.	.	0 (0-32)	.	0 (.-.)	111 (68-172)	.	.	n.c.	1
Tumori maligni delle ossa e della cartilagine articolare(170)	M	0	0	.	.	0 (0-28)	.	0 (.-.)	98 (74-127)	.	.	n.c.	1
Tumori maligni delle ossa e della cartilagine articolare(170)	M + F	0	1	.	.	0 (0-17)	.	0 (.-.)	104 (80-134)	.	.	n.c.	1
Tumori maligni del connettivo e di altri tessuti molli(171)	F	0	1	.	.	0 (0-32)	.	0 (.-.)	94 (62-127)	.	.	n.c.	1
Tumori maligni del connettivo e di altri tessuti molli(171)	M	<5	<5	.	.	12 (2-45)	.	171 (57-517)	99 (63-153)	.	.	n.c.	1
Tumori maligni del connettivo e di altri tessuti molli(171)	M + F	<5	<5	.	.	6 (1-24)	.	100 (33-301)	90 (57-140)	.	.	n.c.	1
Melanoma maligno della pelle(172)	F	<5	<5	.	.	13 (2-51)	.	91 (30-274)	87 (58-127)	.	.	n.c.	1
Melanoma maligno della pelle(172)	M	<5	<5	.	.	12 (2-46)	.	86 (29-261)	77 (50-113)	.	.	n.c.	1
Melanoma maligno della pelle(172)	M + F	<5	>5	.	.	13 (4-34)	.	88 (40-197)	79 (55-112)	.	.	n.c.	1
Tumori maligni della mammella(174-175)	F	>5	>5	.	.	147 (99-217)	.	81 (57-114)	96 (81-111)	.	.	→	1
Tumori maligni della mammella(174-175)	M	<5	<5	.	.	8 (0-40)	.	417 (93-1871)	101 (61-193)	.	.	n.c.	1
Tumori maligni della mammella(174-175)	M + F	23	28	.	.	80 (55-117)	.	84 (59-118)	97 (83-113)	.	.	→	1
Tumori maligni dell'utero(179-180, 182)	F	8	6	.	.	58 (29-111)	.	134 (76-238)	105 (89-126)	.	.	n.c.	1
Tumori maligni del corpo dell'utero(182)	F	5	4	.	.	38 (15-86)	.	135 (66-278)	101 (81-131)	.	.	n.c.	1
Tumori maligni dell'ovaio e degli altri annessi uterini(183)	F	0	3	.	.	0 (0-32)	.	0 (.-.)	98 (76-113)	.	.	n.c.	1
Tumore della prostata(185)	M	20	15	2	121	151 (100-222)	.	135 (93-194)	120 (100-145)	.	↑	→	4 

Tabella 11C - Montecosaro	Genere	Osservati	Attesi	Cluster sign.	SIR cluster	Tasso std. * 100000 (ic)	Tasso std. > Media reg.	SIR (ic)	BIR (ic)	SIR sign.	BIR sign.	Trend	Livello attenzione
Causa (ICD-IX)													
Tumore del testicolo(186)	M	<5	<5	.	.	11 (2-43)	.	128 (42-386)	103 (79-133)	.	.	n.c.	1
Tumori maligni della vescica(188)	F	<5	<5	.	.	16 (3-56)	.	72 (24-216)	101 (84-119)	.	.	n.c.	1
Tumori maligni della vescica(188)	M	11	13	.	.	80 (45-135)	.	85 (52-139)	99 (87-111)	.	.	n.c.	1
Tumori maligni della vescica(188)	M + F	13	16	.	.	46 (27-77)	.	83 (53-130)	99 (87-111)	.	.	n.c.	1
Tumori maligni del rene e di altri e non specificati organi urinari(189)	F	<5	<5	.	.	12 (2-49)	.	78 (26-234)	95 (76-115)	.	.	n.c.	1
Tumori maligni del rene e di altri e non specificati organi urinari(189)	M	>5	>5	.	.	34 (13-76)	.	88 (43-182)	101 (81-122)	.	.	n.c.	1
Tumori maligni del rene e di altri e non specificati organi urinari(189)	M + F	7	8	.	.	22 (10-47)	.	85 (46-157)	98 (81-117)	.	.	n.c.	1
Tumori maligni dell'encefalo(191)	F	<5	<5	.	.	15 (3-55)	.	112 (37-338)	90 (65-124)	.	.	n.c.	1
Tumori maligni dell'encefalo(191)	M	<5	<5	.	.	5 (0-34)	.	40 (9-179)	104 (81-128)	.	.	n.c.	1
Tumori maligni dell'encefalo(191)	M + F	<5	<5	.	.	10 (3-31)	.	70 (28-175)	96 (75-120)	.	.	n.c.	1
Tumori maligni del sistema nervoso centrale(191-192)	F	<5	<5	.	.	15 (3-55)	.	97 (32-293)	92 (70-118)	.	.	n.c.	1
Tumori maligni del sistema nervoso centrale(191-192)	M	<5	<5	.	.	5 (0-34)	.	37 (8-166)	102 (71-123)	.	.	n.c.	1
Tumori maligni del sistema nervoso centrale(191-192)	M + F	<5	>5	.	.	10 (3-31)	.	63 (25-157)	95 (71-119)	.	.	n.c.	1
Tumori maligni della ghiandola tiroide(193)	F	>5	<5	2	165	65 (35-118)	↑	240 (144-402)	118 (90-163)	↑	.	n.c.	3 😊
Tumori maligni della ghiandola tiroide(193)	M	<5	<5	.	.	6 (0-38)	.	74 (16-330)	97 (63-147)	.	.	n.c.	1
Tumori maligni della ghiandola tiroide(193)	M + F	11	6	.	.	37 (20-65)	↑	199 (122-325)	119 (89-159)	↑	.	n.c.	3 😊
Linfoma non Hodgkin(200, 202)	F	>5	<5	.	.	35 (14-81)	.	160 (78-329)	103 (86-134)	.	.	n.c.	1

Tabella 11C - Montecosaro	Genere	Osservati	Attesi	Cluster sign.	SIR cluster	Tasso std. * 100000 (ic)	Tasso std. > Media reg.	SIR (ic)	BIR (ic)	SIR sign.	BIR sign.	Trend	Livello attenzione
Causa (ICD-IX)													
Linfoma non Hodgkin(200, 202)	M	<5	<5	.	.	25 (7-67)	.	71 (28-177)	99 (76-125)	.	.	n.c.	1
Linfoma non Hodgkin(200, 202)	M + F	8	7	.	.	30 (15-58)	.	109 (61-193)	105 (85-131)	.	.	→	1
Tumori emolinfopoiетici(200-208)	F	8	7	.	.	56 (28-107)	.	119 (67-211)	103 (85-126)	.	.	n.c.	1
Tumori emolinfopoiетici(200-208)	M	7	9	.	.	51 (23-99)	.	82 (44-151)	99 (83-118)	.	.	n.c.	1
Tumori emolinfopoiетici(200-208)	M + F	15	15	.	.	53 (33-86)	.	98 (64-150)	102 (86-120)	.	.	→	1
Malattia di Hodgkin(201)	F	0	1	.	.	0 (0-32)	.	0 (.-.)	109 (87-133)	.	.	n.c.	1
Malattia di Hodgkin(201)	M	<5	<5	.	.	6 (0-38)	.	142 (32-635)	98 (75-126)	.	.	n.c.	1
Malattia di Hodgkin(201)	M + F	<5	<5	.	.	3 (0-21)	.	67 (15-301)	102 (74-137)	.	.	n.c.	1
Mieloma multiplo e tumori immunoproliferativi(203)	F	<5	<5	.	.	15 (3-54)	.	163 (54-492)	99 (74-131)	.	.	n.c.	1
Mieloma multiplo e tumori immunoproliferativi(203)	M	0	2	.	.	0 (0-28)	.	0 (.-.)	89 (58-129)	.	.	n.c.	1
Mieloma multiplo e tumori immunoproliferativi(203)	M + F	<5	<5	.	.	8 (1-28)	.	72 (24-217)	94 (66-132)	.	.	n.c.	1
Leucemie(204-208)	F	<5	<5	.	.	6 (0-41)	.	50 (11-226)	97 (70-129)	.	.	n.c.	1
Leucemie(204-208)	M	<5	<5	.	.	19 (5-55)	.	108 (43-271)	96 (76-122)	.	.	n.c.	1
Leucemie(204-208)	M + F	<5	>5	.	.	12 (4-33)	.	84 (38-187)	96 (73-125)	.	.	n.c.	1
Gozzo non tossico(240-241)	F	>5	>5	.	.	39 (17-86)	.	87 (45-169)	97 (70-130)	.	.	n.c.	1
Gozzo non tossico(240-241)	M	<5	<5	.	.	25 (8-63)	.	174 (78-389)	106 (71-158)	.	.	n.c.	1
Gozzo non tossico(240-241)	M + F	10	9	.	.	32 (17-59)	.	109 (65-183)	101 (75-137)	.	.	n.c.	1




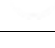


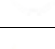


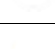
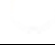





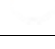
Tabella 11C - Montecosaro	Genere	Osservati	Attesi	Cluster sign.	SIR cluster	Tasso std. * 100000 (ic)	Tasso std. > Media reg.	SIR (ic)	BIR (ic)	SIR sign.	BIR sign.	Trend	Livello attenzione
Causa (ICD-IX)													
Malattie endocrine e della nutrizione(240-2799)	F	48	50	.	.	264 (202-347)	.	96 (76-121)	95 (80-112)	.	.	↓	0 
Malattie endocrine e della nutrizione(240-2799)	M	37	39	.	.	218 (161-292)	.	95 (73-125)	96 (80-113)	.	.	→	1 
Malattie endocrine e della nutrizione(240-2799)	M + F	85	89	1	113	242 (199-295)	.	96 (80-114)	95 (83-109)	.	.	↓	0 
Tireotossicosi(242)	F	<5	<5	.	.	6 (0-42)	.	43 (10-192)	88 (59-126)	.	.	n.c.	1 
Tireotossicosi(242)	M	<5	<5	.	.	6 (0-37)	.	121 (27-544)	91 (52-158)	.	.	n.c.	1 
Tireotossicosi(242)	M + F	<5	<5	.	.	6 (1-26)	.	63 (21-191)	88 (60-126)	.	.	n.c.	1 
Ipotiroidismo(243-244)	F	<5	<5	.	.	8 (1-42)	.	133 (44-402)	110 (80-154)	.	.	n.c.	1 
Ipotiroidismo(243-244)	M	<5	<5	.	.	14 (4-46)	.	235 (94-587)	105 (84-133)	.	.	n.c.	1 
Ipotiroidismo(243-244)	M + F	5	3	.	.	11 (4-30)	.	180 (87-369)	110 (93-135)	.	.	n.c.	1 
Diabete mellito(250)	F	<5	>5	.	.	21 (6-62)	.	40 (16-101)	52 (33-78)	.	↓	n.c.	0 
Diabete mellito(250)	M	<5	>5	.	.	31 (10-73)	.	39 (17-86)	52 (35-76)	↓	↓	n.c.	0 
Diabete mellito(250)	M + F	7	18	.	.	26 (12-52)	.	39 (21-73)	50 (36-70)	↓	↓	n.c.	0 
Malattie del sangue e degli organi emopoietici(280-289)	F	14	16	.	.	90 (54-149)	.	88 (57-137)	92 (70-121)	.	.	n.c.	1 
Malattie del sangue e degli organi emopoietici(280-289)	M	15	14	.	.	96 (59-153)	.	108 (71-164)	102 (78-133)	.	.	→	1 
Malattie del sangue e degli organi emopoietici(280-289)	M + F	29	30	2	116	93 (66-131)	.	97 (72-132)	97 (77-121)	.	.	→	1 
Malattie neuro-psichiatriche (escluse tossicod.)(290-303, 306-319)	F	17	22	.	.	82 (52-134)	.	77 (52-114)	86 (68-107)	.	.	→	1 
Malattie neuro-psichiatriche (escluse tossicod.)(290-303, 306-319)	M	14	27	.	.	76 (45-125)	.	51 (33-79)	79 (63-97)	↓	↓	→	0 









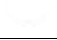





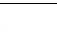
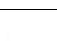
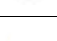
Tabella 11C - Montecosaro													
Causa (ICD-IX)	Genere	Osservati	Attesi	Cluster sign.	SIR cluster	Tasso std. * 100000 (ic)	Tasso std. > Media reg.	SIR (ic)	BIR (ic)	SIR sign.	BIR sign.	Trend	Livello attenzione
Malattie neuro-psichiatriche (escluse tossicod.)(290-303, 306-319)	M + F	31	49	.	.	79 (57-112)	.	63 (47-84)	78 (64-94)	↓	↓	→	0 
Malattie del sistema nervoso e degli organi di senso(320-389)	F	109	109	1	114	732 (619-865)	.	100 (85-117)	96 (85-108)	.	.	↓	0 
Malattie del sistema nervoso e degli organi di senso(320-389)	M	87	97	1	113	589 (488-709)	.	90 (75-107)	91 (80-103)	.	.	↓	0 
Malattie del sistema nervoso e degli organi di senso(320-389)	M + F	196	206	1	113	663 (586-750)	.	95 (85-107)	94 (85-104)	.	.	↓	0 
Malattia di Alzheimer(3310)	F	<5	>5	.	.	7 (0-44)	.	18 (4-82)	51 (26-93)	↓	↓	n.c.	0 
Malattia di Alzheimer(3310)	M	<5	<5	.	.	16 (3-53)	.	66 (22-201)	64 (32-122)	.	.	n.c.	1 
Malattia di Alzheimer(3310)	M + F	<5	>5	.	.	12 (3-33)	.	35 (14-89)	56 (33-92)	↓	↓	n.c.	0 
Morbo di Parkinson(3320)	F	0	1	.	.	0 (0-32)	.	0 (.-.)	102 (57-167)	.	.	n.c.	1 
Morbo di Parkinson(3320)	M	<5	<5	.	.	23 (6-63)	.	170 (68-425)	132 (81-214)	.	.	n.c.	1 
Morbo di Parkinson(3320)	M + F	<5	<5	.	.	11 (3-33)	.	102 (41-254)	119 (79-171)	.	.	n.c.	1 
Malattia dei neuroni motori(3352)	F	<5	<5	.	.	12 (2-49)	.	353 (117-1068)	151 (80-304)	↑	.	n.c.	3 
Malattia dei neuroni motori(3352)	M	<5	<5	.	.	7 (0-39)	.	155 (35-694)	111 (72-172)	.	.	n.c.	1 
Malattia dei neuroni motori(3352)	M + F	<5	<5	.	.	10 (3-30)	.	248 (99-619)	110 (87-147)	.	.	n.c.	1 
Sclerosi multipla(340)	F	<5	<5	.	.	11 (2-47)	.	85 (28-258)	99 (81-124)	.	.	n.c.	1 
Sclerosi multipla(340)	M	<5	<5	.	.	5 (0-35)	.	74 (17-333)	102 (71-135)	.	.	n.c.	1 
Sclerosi multipla(340)	M + F	<5	<5	.	.	8 (2-27)	.	81 (33-204)	101 (78-129)	.	.	n.c.	1 
Malattie cardiache(390-429)	F	74	80	.	.	558 (455-682)	.	93 (77-113)	94 (83-105)	.	.	→	1 










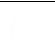

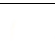


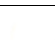
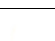

Tabella 11C - Montecosaro	Genere	Osservati	Attesi	Cluster sign.	SIR cluster	Tasso std. * 100000 (ic)	Tasso std. > Media reg.	SIR (ic)	BIR (ic)	SIR sign.	BIR sign.	Trend	Livello attenzione
Causa (ICD-IX)													
Malattie cardiache(390-429)	M	93	111	.	.	653 (545-779)	.	84 (71-100)	95 (86-104)	↓	.	→	0 
Malattie cardiache(390-429)	M + F	167	190	.	.	603 (528-689)	.	88 (77-100)	93 (85-102)	↓	.	→	0 
Malattie dell'apparato circolatorio(390-459)	F	145	144	.	.	1030 (892-1189)	.	100 (88-115)	102 (93-111)	.	.	→	1 
Malattie dell'apparato circolatorio(390-459)	M	176	181	.	.	1183 (1039-1345)	.	97 (86-110)	101 (94-109)	.	.	→	1 
Malattie dell'apparato circolatorio(390-459)	M + F	321	325	.	.	1104 (1003-1215)	.	99 (90-108)	101 (95-108)	.	.	→	1 
Malattie ischemiche del cuore(410-4149)	F	24	27	.	.	186 (128-266)	.	89 (64-124)	91 (75-110)	.	.	→	1 
Malattie ischemiche del cuore(410-4149)	M	45	55	2	114	323 (248-417)	.	81 (64-104)	95 (81-108)	.	.	→	1 
Malattie ischemiche del cuore(410-4149)	M + F	69	82	.	.	252 (204-311)	.	84 (69-102)	91 (79-103)	.	.	→	1 
Insufficienza cardiaca (scompenso cardiaco)(428)	F	24	32	.	.	189 (130-271)	.	75 (54-105)	87 (72-103)	.	.	→	1 
Insufficienza cardiaca (scompenso cardiaco)(428)	M	26	32	.	.	195 (137-274)	.	81 (59-111)	93 (78-110)	.	.	→	1 
Insufficienza cardiaca (scompenso cardiaco)(428)	M + F	50	64	.	.	192 (150-246)	.	78 (62-98)	88 (75-102)	↓	.	→	0 
Malattie cerebrovascolari(430-438)	F	49	46	2	114	380 (294-486)	.	107 (84-135)	108 (93-124)	.	.	→	1 
Malattie cerebrovascolari(430-438)	M	55	50	.	.	400 (315-503)	.	110 (88-138)	107 (93-122)	.	.	→	1 
Malattie cerebrovascolari(430-438)	M + F	104	96	2	112	389 (328-461)	.	109 (92-128)	108 (96-122)	.	.	→	1 
Malattie dell'apparato respiratorio(460-5199)	F	95	107	.	.	581 (483-699)	.	89 (75-106)	92 (81-103)	.	.	→	1 
Malattie dell'apparato respiratorio(460-5199)	M	139	138	.	.	858 (740-994)	.	101 (88-116)	100 (90-111)	.	.	→	1 
Malattie dell'apparato respiratorio(460-5199)	M + F	234	245	.	.	715 (637-801)	.	96 (86-107)	96 (87-104)	.	.	→	1 





Tabella 11C - Montecosaro													
Causa (ICD-IX)	Genere	Osservati	Attesi	Cluster sign.	SIR cluster	Tasso std. * 100000 (ic)	Tasso std. > Media reg.	SIR (ic)	BIR (ic)	SIR sign.	BIR sign.	Trend	Livello attenzione
Malattie polmonari cronico ostruttive(490-492, 494, 496)	F	7	7	.	.	41 (18-87)	.	97 (52-179)	90 (60-129)	.	.	n.c.	1
Malattie polmonari cronico ostruttive(490-492, 494, 496)	M	14	11	.	.	88 (53-144)	.	133 (86-205)	108 (80-144)	.	.	↓	0 
Malattie polmonari cronico ostruttive(490-492, 494, 496)	M + F	21	18	.	.	64 (42-96)	.	118 (83-169)	106 (80-139)	.	.	→	1
Pneumoconiosi(500-505)	F	0	0	.	.	0 (0-32)	.	0 (.-.)	86 (11-403)	.	.	n.c.	1
Pneumoconiosi(500-505)	M	0	0	.	.	0 (0-28)	.	0 (.-.)	51 (12-127)	.	.	n.c.	1
Pneumoconiosi(500-505)	M + F	0	0	.	.	0 (0-17)	.	0 (.-.)	71 (27-124)	.	.	n.c.	1
Malattie dell'apparato digerente(520-579)	F	119	136	.	.	738 (628-868)	.	88 (75-102)	95 (87-103)	.	.	→	1
Malattie dell'apparato digerente(520-579)	M	178	189	.	.	1154 (1014-1312)	.	94 (83-106)	98 (91-106)	.	.	→	1
Malattie dell'apparato digerente(520-579)	M + F	297	325	.	.	938 (849-1037)	.	91 (83-101)	96 (89-102)	.	.	↓	0 
Cirrosi e altre malattie croniche del fegato(571)	F	<5	<5	.	.	20 (5-60)	.	93 (37-234)	100 (81-122)	.	.	n.c.	1
Cirrosi e altre malattie croniche del fegato(571)	M	>5	>5	.	.	52 (26-99)	.	126 (71-224)	102 (78-133)	.	.	n.c.	1
Cirrosi e altre malattie croniche del fegato(571)	M + F	11	10	.	.	35 (20-62)	.	115 (70-188)	101 (82-125)	.	.	n.c.	1
Nefropatie croniche e acute(580-589)	F	12	12	.	.	95 (54-159)	.	96 (60-154)	104 (77-139)	.	.	→	1
Nefropatie croniche e acute(580-589)	M	15	18	.	.	107 (66-168)	.	85 (56-130)	93 (73-117)	.	.	→	1
Nefropatie croniche e acute(580-589)	M + F	27	30	.	.	101 (71-142)	.	90 (66-123)	97 (79-120)	.	.	→	1
Malattie dell'apparato urinario(580-599)	F	34	36	.	.	234 (171-319)	.	94 (71-124)	101 (84-121)	.	.	→	1
Malattie dell'apparato urinario(580-599)	M	55	52	.	.	369 (290-467)	.	105 (84-131)	104 (91-119)	.	.	→	1



Tabella 11C - Montecosaro													
Causa (ICD-IX)	Genere	Osservati	Attesi	Cluster sign.	SIR cluster	Tasso std. * 100000 (ic)	Tasso std. > Media reg.	SIR (ic)	BIR (ic)	SIR sign.	BIR sign.	Trend	Livello attenzione
Malattie dell'apparato urinario(580-599)	M + F	89	89	.	.	299 (248-361)	.	101 (84-120)	104 (91-117)	,	,	→	1
Endometriosi(617)	F	6	7	.	.	32 (14-74)	.	81 (42-157)	90 (64-123)	,	,	n.c.	1
Malformazioni congenite(740-759)	F	19	24	.	.	93 (61-147)	.	80 (55-116)	86 (72-102)	,	,	n.c.	1
Malformazioni congenite(740-759)	M	20	35	.	.	103 (68-156)	.	58 (40-83)	78 (65-92)	↓	↓	n.c.	0 
Malformazioni congenite(740-759)	M + F	39	59	.	.	98 (73-133)	.	67 (51-87)	79 (68-91)	↓	↓	n.c.	0 

Tabella 12C. Incidenza di primi ricoveri ospedalieri per causa nel comune di Montefano, tutte le età, periodo di osservazione 2009-2013

Tabella 12C - Montefano	Genere	Osservati	Attesi	Cluster sign.	SIR cluster	Tasso std. * 100000 (ic)	Tasso std. > Media reg.	SIR (ic)	BIR (ic)	SIR sign.	BIR sign.	Trend	Livello attenzione
Causa (ICD-IX)													
Malattie infettive(001-139)	F	13	13	.	.	136 (80-222)	.	97 (62-152)	90 (69-117)	'	'	n.c.	1
Malattie infettive(001-139)	M	17	17	.	.	181 (115-286)	.	102 (68-151)	86 (67-111)	'	'	→	1
Malattie infettive(001-139)	M + F	30	30	.	.	158 (113-221)	.	100 (74-134)	90 (72-111)	'	'	→	1
Tumori maligni delle vie aeree e digestive superiori(140-150, 161)	F	<5	<5	.	.	13 (1-64)	.	132 (29-591)	83 (59-116)	'	'	n.c.	1
Tumori maligni delle vie aeree e digestive superiori(140-150, 161)	M	<5	<5	.	.	22 (4-89)	.	81 (27-245)	95 (74-120)	'	'	n.c.	1
Tumori maligni delle vie aeree e digestive superiori(140-150, 161)	M + F	<5	<5	.	.	17 (5-53)	.	93 (37-233)	91 (73-112)	'	'	n.c.	1
Tumori maligni(140-208)	F	43	49	.	.	488 (371-634)	.	88 (68-113)	95 (85-105)	'	'	→	1
Tumori maligni(140-208)	M	54	57	.	.	631 (495-803)	.	95 (76-118)	97 (88-108)	'	'	→	1
Tumori maligni(140-208)	M + F	97	106	.	.	558 (467-666)	.	91 (77-108)	95 (86-104)	'	'	→	1
Tumori maligni dell'esofago(150)	F	0	0	.	.	0 (0-43)	.	0 (-.)	86 (49-145)	'	'	n.c.	1
Tumori maligni dell'esofago(150)	M	<5	<5	.	.	12 (1-76)	.	344 (77-1543)	89 (61-130)	'	'	n.c.	1
Tumori maligni dell'esofago(150)	M + F	<5	<5	.	.	6 (0-37)	.	243 (54-1090)	88 (60-128)	'	'	n.c.	1
Tumori maligni dello stomaco(151)	F	0	2	.	.	0 (0-43)	.	0 (-.)	75 (51-106)	'	'	n.c.	1
Tumori maligni dello stomaco(151)	M	6	3	.	.	73 (32-159)	.	185 (96-359)	105 (78-144)	'	'	n.c.	1
Tumori maligni dello stomaco(151)	M + F	6	5	.	.	36 (15-78)	.	111 (57-215)	91 (69-122)	'	'	n.c.	1
Tumori maligni dell'intestino tenue, compreso il duodeno(152)	F	0	0	.	.	0 (0-43)	.	0 (-.)	95 (47-176)	'	'	n.c.	1



Tabella 12C - Montefano	Genere	Osservati	Attesi	Cluster sign.	SIR cluster	Tasso std. * 100000 (ic)	Tasso std. > Media reg.	SIR (ic)	BIR (ic)	SIR sign.	BIR sign.	Trend	Livello attenzione
Causa (ICD-IX)													
Tumori maligni dell'intestino tenue, compreso il duodeno(152)	M	0	0	.	.	0 (0-59)	.	0 (-.)	79 (52-112)	.	.	n.c.	1
Tumori maligni dell'intestino tenue, compreso il duodeno(152)	M + F	0	0	.	.	0 (0-29)	.	0 (-.)	87 (58-120)	.	.	n.c.	1
Tumori maligni del colon(153)	F	<5	>5	.	.	14 (1-68)	.	21 (5-92)	88 (67-111)	↓	.	n.c.	0 
Tumori maligni del colon(153)	M	>5	>5	.	.	92 (46-181)	.	131 (74-233)	100 (82-122)	.	.	n.c.	1
Tumori maligni del colon(153)	M + F	9	11	.	.	52 (27-98)	.	82 (48-141)	93 (77-113)	.	.	n.c.	1
Tumori maligni del colon-retto(153-154)	F	<5	>5	.	.	37 (10-99)	.	44 (18-111)	96 (80-113)	.	.	n.c.	1
Tumori maligni del colon-retto(153-154)	M	>5	>5	.	.	105 (54-198)	.	97 (57-167)	103 (88-119)	.	.	n.c.	1
Tumori maligni del colon-retto(153-154)	M + F	12	16	.	.	70 (40-120)	.	75 (47-120)	98 (85-114)	.	.	n.c.	1
Tumori maligni del retto, della giunzione retto-sigmoidea e dell'ano(154)	F	<5	<5	.	.	22 (4-77)	.	89 (30-270)	100 (83-119)	.	.	n.c.	1
Tumori maligni del retto, della giunzione retto-sigmoidea e dell'ano(154)	M	<5	<5	.	.	27 (5-99)	.	54 (18-164)	106 (88-123)	.	.	n.c.	1
Tumori maligni del retto, della giunzione retto-sigmoidea e dell'ano(154)	M + F	<5	>5	.	.	25 (8-64)	.	68 (30-151)	104 (87-121)	.	.	n.c.	1
Tumore fegato e dotti biliari(1550-1551)	F	<5	<5	.	.	30 (8-86)	.	477 (191-1194)	102 (65-177)	↑	.	n.c.	3 
Tumore fegato e dotti biliari(1550-1551)	M	0	1	.	.	0 (0-59)	.	0 (-.)	85 (60-117)	.	.	n.c.	1
Tumore fegato e dotti biliari(1550-1551)	M + F	<5	<5	.	.	15 (4-49)	.	171 (68-427)	91 (64-133)	.	.	n.c.	1
Tumori maligni del pancreas(157)	F	<5	<5	.	.	19 (3-72)	.	122 (40-370)	97 (77-123)	.	.	n.c.	1
Tumori maligni del pancreas(157)	M	<5	<5	.	.	23 (4-91)	.	107 (36-324)	102 (87-120)	.	.	n.c.	1
Tumori maligni del pancreas(157)	M + F	<5	<5	.	.	21 (7-57)	.	114 (51-255)	101 (87-116)	.	.	n.c.	1

Tabella 12C - Montefano	Genere	Osservati	Attesi	Cluster sign.	SIR cluster	Tasso std. * 100000 (ic)	Tasso std. > Media reg.	SIR (ic)	BIR (ic)	SIR sign.	BIR sign.	Trend	Livello attenzione
Causa (ICD-IX)													
Tumore del retroperitoneo(1580)	F	0	0	.	.	0 (0-43)	.	0 (-.)	68 (33-127)	'	'	n.c.	1
Tumore del retroperitoneo(1580)	M	0	0	.	.	0 (0-59)	.	0 (-.)	94 (30-224)	'	'	n.c.	1
Tumore del retroperitoneo(1580)	M + F	0	0	.	.	0 (0-29)	.	0 (-.)	89 (50-147)	'	'	n.c.	1
Tumori maligni del naso(1600)	F	0	0	.	.	0 (0-43)	.	0 (-.)	158 (77-286)	'	'	n.c.	1
Tumori maligni del naso(1600)	M	0	0	.	.	0 (0-59)	.	0 (-.)	63 (19-158)	'	'	n.c.	1
Tumori maligni del naso(1600)	M + F	0	0	.	.	0 (0-29)	.	0 (-.)	88 (35-199)	'	'	n.c.	1
Tumori maligni della laringe(161)	F	0	0	.	.	0 (0-43)	.	0 (-.)	56 (19-119)	'	'	n.c.	1
Tumori maligni della laringe(161)	M	0	1	.	.	0 (0-59)	.	0 (-.)	93 (69-117)	'	'	n.c.	1
Tumori maligni della laringe(161)	M + F	0	1	.	.	0 (0-29)	.	0 (-.)	91 (68-111)	'	'	n.c.	1
Tumori maligni della trachea, dei bronchi e dei polmoni(162)	F	<5	<5	.	.	54 (18-125)	.	175 (78-389)	94 (70-126)	'	'	n.c.	1
Tumori maligni della trachea, dei bronchi e dei polmoni(162)	M	>5	>5	.	.	79 (37-165)	.	101 (55-186)	96 (83-114)	'	'	n.c.	1
Tumori maligni della trachea, dei bronchi e dei polmoni(162)	M + F	11	9	.	.	66 (37-116)	.	119 (73-195)	95 (83-110)	'	'	→	1
Tumori maligni della pleura(163)	F	0	0	.	.	0 (0-43)	.	0 (-.)	67 (31-130)	'	'	n.c.	1
Tumori maligni della pleura(163)	M	0	0	.	.	0 (0-59)	.	0 (-.)	69 (26-158)	'	'	n.c.	1
Tumori maligni della pleura(163)	M + F	0	0	.	.	0 (0-29)	.	0 (-.)	67 (32-133)	'	'	n.c.	1
Mesoteliomi pleurici e peritoneali(1588, 163)	F	0	0	.	.	0 (0-43)	.	0 (-.)	79 (38-145)	'	'	n.c.	1
Mesoteliomi pleurici e peritoneali(1588, 163)	M	0	0	.	.	0 (0-59)	.	0 (-.)	75 (32-158)	'	'	n.c.	1

Tabella 12C - Montefano													
Causa (ICD-IX)	Genere	Osservati	Attesi	Cluster sign.	SIR cluster	Tasso std. * 100000 (ic)	Tasso std. > Media reg.	SIR (ic)	BIR (ic)	SIR sign.	BIR sign.	Trend	Livello attenzione
Mesoteliomi pleurici e peritoneali(1588, 163)	M + F	0	0	.	.	0 (0-29)	.	0 (-.)	75 (35-142)	.	.	n.c.	1
Tumori maligni delle ossa e della cartilagine articolare(170)	F	0	0	.	.	0 (0-43)	.	0 (-.)	72 (40-121)	.	.	n.c.	1
Tumori maligni delle ossa e della cartilagine articolare(170)	M	0	0	.	.	0 (0-59)	.	0 (-.)	97 (70-131)	.	.	n.c.	1
Tumori maligni delle ossa e della cartilagine articolare(170)	M + F	0	0	.	.	0 (0-29)	.	0 (-.)	86 (62-116)	.	.	n.c.	1
Tumori maligni del connettivo e di altri tessuti molli(171)	F	<5	<5	.	.	23 (4-78)	.	397 (131-1199)	109 (77-158)	↑	.	n.c.	3 🟡
Tumori maligni del connettivo e di altri tessuti molli(171)	M	0	1	.	.	0 (0-59)	.	0 (-.)	82 (46-130)	.	.	n.c.	1
Tumori maligni del connettivo e di altri tessuti molli(171)	M + F	<5	<5	.	.	12 (2-45)	.	180 (60-544)	92 (56-149)	.	.	n.c.	1
Melanoma maligno della pelle(172)	F	<5	<5	.	.	11 (1-60)	.	87 (19-389)	88 (57-132)	.	.	n.c.	1
Melanoma maligno della pelle(172)	M	<5	<5	.	.	38 (10-113)	.	225 (90-562)	105 (70-162)	.	.	n.c.	1
Melanoma maligno della pelle(172)	M + F	<5	<5	.	.	24 (8-62)	.	161 (72-358)	98 (67-144)	.	.	n.c.	1
Tumori maligni della mammella(174-175)	F	11	14	.	.	126 (70-213)	.	78 (48-128)	91 (76-108)	.	.	→	1
Tumori maligni della mammella(174-175)	M	0	0	.	.	0 (0-59)	.	0 (-.)	106 (56-186)	.	.	n.c.	1
Tumori maligni della mammella(174-175)	M + F	11	14	.	.	64 (36-113)	.	77 (47-126)	91 (75-108)	.	.	→	1
Tumori maligni dell'utero(179-180, 182)	F	<5	<5	.	.	30 (8-87)	.	102 (41-256)	94 (78-113)	.	.	n.c.	1
Tumori maligni del corpo dell'utero(182)	F	<5	<5	.	.	30 (8-87)	.	144 (57-359)	99 (79-128)	.	.	n.c.	1
Tumori maligni dell'ovaio e degli altri annessi uterini(183)	F	0	2	.	.	0 (0-43)	.	0 (-.)	93 (74-112)	.	.	n.c.	1
Tumore della prostata(185)	M	11	8	.	.	127 (71-224)	.	134 (82-219)	107 (87-132)	.	.	n.c.	1



Tabella 12C - Montefano													
Causa (ICD-IX)	Genere	Osservati	Attesi	Cluster sign.	SIR cluster	Tasso std. * 100000 (ic)	Tasso std. > Media reg.	SIR (ic)	BIR (ic)	SIR sign.	BIR sign.	Trend	Livello attenzione
Tumore del testicolo(186)	M	<5	<5	.	.	11 (1-76)	.	144 (32-646)	93 (70-122)	.	.	n.c.	1
Tumori maligni della vescica(188)	F	<5	<5	.	.	20 (3-72)	.	132 (44-398)	92 (77-111)	.	.	n.c.	1
Tumori maligni della vescica(188)	M	<5	>5	.	.	20 (4-86)	.	26 (9-79)	94 (81-106)	↓	.	n.c.	0 
Tumori maligni della vescica(188)	M + F	<5	>5	.	.	20 (7-55)	.	44 (20-98)	93 (81-106)	↓	.	n.c.	0 
Tumori maligni del rene e di altri e non specificati organi urinari(189)	F	<5	<5	.	.	13 (1-66)	.	61 (14-275)	104 (81-128)	.	.	n.c.	1
Tumori maligni del rene e di altri e non specificati organi urinari(189)	M	>5	<5	.	.	59 (23-141)	.	159 (77-327)	99 (80-123)	.	.	n.c.	1
Tumori maligni del rene e di altri e non specificati organi urinari(189)	M + F	6	5	.	.	36 (15-78)	.	126 (65-243)	101 (83-123)	.	.	n.c.	1
Tumori maligni dell'encefalo(191)	F	<5	<5	.	.	13 (1-65)	.	88 (20-393)	110 (76-153)	.	.	n.c.	1
Tumori maligni dell'encefalo(191)	M	<5	<5	.	.	10 (1-73)	.	85 (19-379)	88 (67-113)	.	.	n.c.	1
Tumori maligni dell'encefalo(191)	M + F	<5	<5	.	.	11 (2-45)	.	86 (28-260)	99 (76-126)	.	.	n.c.	1
Tumori maligni del sistema nervoso centrale(191-192)	F	<5	<5	.	.	13 (1-65)	.	79 (18-352)	109 (82-142)	.	.	n.c.	1
Tumori maligni del sistema nervoso centrale(191-192)	M	<5	<5	.	.	10 (1-73)	.	78 (17-349)	88 (63-112)	.	.	n.c.	1
Tumori maligni del sistema nervoso centrale(191-192)	M + F	<5	<5	.	.	11 (2-45)	.	78 (26-236)	96 (72-125)	.	.	n.c.	1
Tumori maligni della ghiandola tiroide(193)	F	0	2	.	.	0 (0-43)	.	0 (-.)	99 (70-135)	.	.	n.c.	1
Tumori maligni della ghiandola tiroide(193)	M	0	1	.	.	0 (0-59)	.	0 (-.)	104 (61-159)	.	.	n.c.	1
Tumori maligni della ghiandola tiroide(193)	M + F	0	3	.	.	0 (0-29)	.	0 (-.)	95 (68-130)	.	.	n.c.	1
Linfoma non Hodgkin(200, 202)	F	<5	<5	.	.	20 (4-73)	.	106 (35-321)	105 (84-133)	.	.	n.c.	1

Tabella 12C - Montefano	Genere	Osservati	Attesi	Cluster sign.	SIR cluster	Tasso std. * 100000 (ic)	Tasso std. > Media reg.	SIR (ic)	BIR (ic)	SIR sign.	BIR sign.	Trend	Livello attenzione
Causa (ICD-IX)													
Linfoma non Hodgkin(200, 202)	M	<5	<5	.	.	20 (4-86)	.	87 (29-264)	95 (72-122)	.	.	n.c.	1
Linfoma non Hodgkin(200, 202)	M + F	<5	<5	.	.	20 (7-56)	.	96 (43-213)	101 (79-125)	.	.	n.c.	1
Tumori emolinfopietici(200-208)	F	<5	<5	.	.	43 (15-106)	.	100 (45-223)	101 (81-123)	.	.	n.c.	1
Tumori emolinfopietici(200-208)	M	<5	>5	.	.	43 (15-117)	.	76 (34-169)	102 (83-123)	.	.	n.c.	1
Tumori emolinfopietici(200-208)	M + F	8	9	.	.	43 (21-85)	.	86 (49-153)	100 (82-120)	.	.	n.c.	1
Malattia di Hodgkin(201)	F	0	0	.	.	0 (0-43)	.	0 (.-.)	85 (63-110)	.	.	n.c.	1
Malattia di Hodgkin(201)	M	0	0	.	.	0 (0-59)	.	0 (.-.)	103 (76-137)	.	.	n.c.	1
Malattia di Hodgkin(201)	M + F	0	1	.	.	0 (0-29)	.	0 (.-.)	91 (62-123)	.	.	n.c.	1
Mieloma multiplo e tumori immunoproliferativi(203)	F	<5	<5	.	.	11 (1-59)	.	127 (28-571)	95 (68-130)	.	.	n.c.	1
Mieloma multiplo e tumori immunoproliferativi(203)	M	0	1	.	.	0 (0-59)	.	0 (.-.)	95 (59-140)	.	.	n.c.	1
Mieloma multiplo e tumori immunoproliferativi(203)	M + F	<5	<5	.	.	5 (0-36)	.	54 (12-243)	86 (56-125)	.	.	n.c.	1
Leucemie(204-208)	F	<5	<5	.	.	13 (1-64)	.	82 (18-367)	105 (74-145)	.	.	n.c.	1
Leucemie(204-208)	M	<5	<5	.	.	23 (4-91)	.	109 (36-329)	110 (86-143)	.	.	n.c.	1
Leucemie(204-208)	M + F	<5	<5	.	.	18 (5-54)	.	98 (39-245)	108 (80-143)	.	.	n.c.	1
Gozzo non tossico(240-241)	F	>5	<5	.	.	102 (53-183)	↑	226 (131-388)	104 (74-150)	↑	.	n.c.	3 ☹️
Gozzo non tossico(240-241)	M	<5	<5	.	.	40 (11-116)	.	229 (92-574)	80 (48-129)	.	.	n.c.	1
Gozzo non tossico(240-241)	M + F	12	5	.	.	71 (41-122)	↑	227 (142-363)	107 (75-152)	↑	.	n.c.	3 ☹️



Tabella 12C - Montefano	Genere	Osservati	Attesi	Cluster sign.	SIR cluster	Tasso std. * 100000 (ic)	Tasso std. > Media reg.	SIR (ic)	BIR (ic)	SIR sign.	BIR sign.	Trend	Livello attenzione
Causa (ICD-IX)													
Malattie endocrine e della nutrizione(240-2799)	F	30	27	.	.	337 (241-462)	.	110 (81-148)	99 (81-120)	.	.	→	1
Malattie endocrine e della nutrizione(240-2799)	M	16	21	.	.	177 (111-283)	.	75 (50-113)	86 (70-105)	.	.	→	1
Malattie endocrine e della nutrizione(240-2799)	M + F	46	49	.	.	259 (199-337)	.	95 (74-121)	93 (78-111)	.	.	→	1
Tireotossicosi(242)	F	<5	<5	.	.	12 (1-63)	.	80 (18-358)	85 (54-128)	.	.	n.c.	1
Tireotossicosi(242)	M	0	1	.	.	0 (0-59)	.	0 (-.-)	69 (32-128)	.	.	n.c.	1
Tireotossicosi(242)	M + F	<5	<5	.	.	6 (0-38)	.	57 (13-254)	72 (46-109)	.	.	n.c.	1
Ipotiroidismo(243-244)	F	<5	<5	2	166	21 (4-75)	.	436 (144-1319)	79 (56-119)	↑	.	n.c.	3 ☹️
Ipotiroidismo(243-244)	M	<5	<5	.	.	10 (0-72)	.	161 (36-721)	100 (76-128)	.	.	n.c.	1
Ipotiroidismo(243-244)	M + F	<5	<5	.	.	15 (4-50)	.	278 (111-695)	89 (73-112)	↑	.	n.c.	3 ☹️
Diabete mellito(250)	F	<5	<5	.	.	23 (4-78)	.	49 (16-147)	68 (42-107)	.	.	n.c.	1
Diabete mellito(250)	M	<5	>5	.	.	12 (1-76)	.	21 (5-95)	59 (37-89)	↓	↓	n.c.	0 😊
Diabete mellito(250)	M + F	<5	>5	.	.	17 (5-53)	.	34 (14-85)	59 (40-86)	↓	↓	n.c.	0 😊
Malattie del sangue e degli organi emopoietici(280-289)	F	8	9	.	.	90 (45-168)	.	87 (49-154)	96 (68-130)	.	.	n.c.	1
Malattie del sangue e degli organi emopoietici(280-289)	M	11	9	.	.	116 (65-209)	.	124 (76-202)	108 (79-146)	.	.	n.c.	1
Malattie del sangue e degli organi emopoietici(280-289)	M + F	19	18	2	116	103 (67-158)	.	105 (72-153)	103 (78-133)	.	.	→	1
Malattie neuro-psichiatriche (escluse tossicod.)(290-303, 306-319)	F	9	12	.	.	103 (54-186)	.	77 (45-133)	88 (67-112)	.	.	→	1
Malattie neuro-psichiatriche (escluse tossicod.)(290-303, 306-319)	M	9	14	.	.	98 (51-187)	.	67 (39-114)	78 (60-99)	.	↓	n.c.	0 😊
















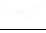

Tabella 12C - Montefano													
Causa (ICD-IX)	Genere	Osservati	Attesi	Cluster sign.	SIR cluster	Tasso std. * 100000 (ic)	Tasso std. > Media reg.	SIR (ic)	BIR (ic)	SIR sign.	BIR sign.	Trend	Livello attenzione
Malattie neuro-psichiatriche (escluse tossicod.)(290-303, 306-319)	M + F	18	25	.	.	101 (65-156)	.	72 (49-105)	80 (64-99)	.	↓	→	0 
Malattie del sistema nervoso e degli organi di senso(320-389)	F	34	63	.	.	384 (281-517)	.	54 (41-71)	75 (64-88)	↓	↓	↓	0 
Malattie del sistema nervoso e degli organi di senso(320-389)	M	36	56	.	.	425 (315-573)	.	65 (49-85)	80 (68-93)	↓	↓	↓	0 
Malattie del sistema nervoso e degli organi di senso(320-389)	M + F	70	119	.	.	404 (327-499)	.	59 (48-72)	73 (64-83)	↓	↓	↓	0 
Malattia di Alzheimer(3310)	F	5	2	.	.	52 (20-117)	.	215 (105-442)	132 (73-227)	↑	.	→	3 
Malattia di Alzheimer(3310)	M	<5	<5	.	.	10 (1-72)	.	69 (15-309)	92 (42-181)	.	.	n.c.	1 
Malattia di Alzheimer(3310)	M + F	6	4	.	.	31 (14-71)	.	159 (82-308)	116 (68-188)	.	.	→	1 
Morbo di Parkinson(3320)	F	<5	<5	.	.	14 (1-68)	.	149 (33-667)	104 (57-185)	.	.	n.c.	1 
Morbo di Parkinson(3320)	M	0	1	.	.	0 (0-59)	.	0 (-.)	88 (49-150)	.	.	n.c.	1 
Morbo di Parkinson(3320)	M + F	<5	<5	.	.	7 (0-40)	.	67 (15-299)	98 (62-149)	.	.	n.c.	1 
Malattia dei neuroni motori(3352)	F	0	0	.	.	0 (0-43)	.	0 (-.)	92 (40-192)	.	.	n.c.	1 
Malattia dei neuroni motori(3352)	M	0	0	.	.	0 (0-59)	.	0 (-.)	78 (45-127)	.	.	n.c.	1 
Malattia dei neuroni motori(3352)	M + F	0	1	.	.	0 (0-29)	.	0 (-.)	91 (67-119)	.	.	n.c.	1 
Sclerosi multipla(340)	F	<5	<5	.	.	12 (1-63)	.	83 (18-371)	103 (81-128)	.	.	n.c.	1 
Sclerosi multipla(340)	M	0	1	.	.	0 (0-59)	.	0 (-.)	91 (64-130)	.	.	n.c.	1 
Sclerosi multipla(340)	M + F	<5	<5	.	.	6 (0-38)	.	56 (13-251)	97 (73-127)	.	.	n.c.	1 
Malattie cardiache(390-429)	F	50	49	.	.	563 (437-719)	.	101 (80-128)	95 (83-109)	.	.	→	1 


Tabella 12C - Montefano	Genere	Osservati	Attesi	Cluster sign.	SIR cluster	Tasso std. * 100000 (ic)	Tasso std. > Media reg.	SIR (ic)	BIR (ic)	SIR sign.	BIR sign.	Trend	Livello attenzione
Causa (ICD-IX)													
Malattie cardiache(390-429)	M	68	63	2	107	775 (626-960)	.	109 (89-132)	97 (88-108)	.	.	→	1
Malattie cardiache(390-429)	M + F	118	112	.	.	667 (568-783)	.	105 (91-122)	98 (89-108)	.	.	↑	2 
Malattie dell'apparato circolatorio(390-459)	F	89	85	.	.	1001 (831-1200)	.	105 (88-125)	98 (89-108)	.	.	→	1
Malattie dell'apparato circolatorio(390-459)	M	97	101	.	.	1093 (916-1306)	.	97 (82-114)	96 (88-104)	.	.	→	1
Malattie dell'apparato circolatorio(390-459)	M + F	186	185	.	.	1046 (922-1187)	.	100 (89-113)	97 (90-105)	.	.	→	1
Malattie ischemiche del cuore(410-4149)	F	17	16	.	.	200 (127-305)	.	106 (71-157)	95 (77-116)	.	.	→	1
Malattie ischemiche del cuore(410-4149)	M	31	30	.	.	360 (260-498)	.	104 (78-140)	95 (81-112)	.	.	→	1
Malattie ischemiche del cuore(410-4149)	M + F	48	46	.	.	278 (215-359)	.	105 (83-133)	96 (83-112)	.	.	→	1
Insufficienza cardiaca (scompenso cardiaco)(428)	F	16	21	.	.	169 (105-264)	.	78 (52-117)	83 (68-101)	.	.	n.c.	1
Insufficienza cardiaca (scompenso cardiaco)(428)	M	23	19	.	.	258 (176-379)	.	124 (88-175)	96 (80-116)	.	.	→	1
Insufficienza cardiaca (scompenso cardiaco)(428)	M + F	39	39	.	.	213 (159-284)	.	100 (77-130)	91 (76-108)	.	.	→	1
Malattie cerebrovascolari(430-438)	F	27	28	.	.	312 (219-435)	.	97 (70-132)	95 (80-112)	.	.	→	1
Malattie cerebrovascolari(430-438)	M	36	30	.	.	406 (301-549)	.	118 (90-156)	99 (85-116)	.	.	→	1
Malattie cerebrovascolari(430-438)	M + F	63	58	.	.	358 (286-447)	.	108 (88-133)	98 (86-113)	.	.	→	1
Malattie dell'apparato respiratorio(460-5199)	F	50	61	.	.	528 (410-675)	.	82 (65-103)	89 (78-103)	.	.	→	1
Malattie dell'apparato respiratorio(460-5199)	M	80	80	.	.	897 (738-1093)	.	100 (84-121)	98 (87-110)	.	.	→	1
Malattie dell'apparato respiratorio(460-5199)	M + F	130	141	.	.	708 (609-826)	.	92 (80-107)	93 (84-104)	.	.	→	1




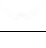

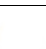


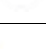

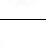
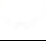


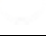

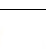
Tabella 12C - Montefano													
Causa (ICD-IX)	Genere	Osservati	Attesi	Cluster sign.	SIR cluster	Tasso std. * 100000 (ic)	Tasso std. > Media reg.	SIR (ic)	BIR (ic)	SIR sign.	BIR sign.	Trend	Livello attenzione
Malattie polmonari cronico ostruttive(490-492, 494, 496)	F	0	5	.	.	0 (0-43)	.	0 (-.)	64 (39-98)	.	↓	n.c.	0 
Malattie polmonari cronico ostruttive(490-492, 494, 496)	M	<5	>5	.	.	41 (14-113)	.	64 (29-143)	80 (56-112)	.	.	n.c.	1 
Malattie polmonari cronico ostruttive(490-492, 494, 496)	M + F	<5	>5	.	.	20 (7-55)	.	37 (17-82)	67 (47-94)	↓	↓	n.c.	0 
Pneumoconiosi(500-505)	F	0	0	.	.	0 (0-43)	.	0 (-.)	54 (3-292)	.	.	n.c.	1 
Pneumoconiosi(500-505)	M	0	0	.	.	0 (0-59)	.	0 (-.)	72 (19-171)	.	.	n.c.	1 
Pneumoconiosi(500-505)	M + F	0	0	.	.	0 (0-29)	.	0 (-.)	85 (32-154)	.	.	n.c.	1 
Malattie dell'apparato digerente(520-579)	F	73	73	.	.	804 (654-983)	.	99 (82-121)	101 (91-111)	.	.	→	1 
Malattie dell'apparato digerente(520-579)	M	99	104	.	.	1168 (981-1392)	.	95 (81-112)	102 (94-111)	.	.	→	1 
Malattie dell'apparato digerente(520-579)	M + F	172	177	.	.	982 (861-1120)	.	97 (86-110)	101 (93-109)	.	.	→	1 
Cirrosi e altre malattie croniche del fegato(571)	F	<5	<5	.	.	25 (4-82)	.	133 (44-401)	89 (70-114)	.	.	n.c.	1 
Cirrosi e altre malattie croniche del fegato(571)	M	<5	<5	.	.	14 (1-81)	.	34 (8-153)	79 (56-105)	.	.	n.c.	1 
Cirrosi e altre malattie croniche del fegato(571)	M + F	<5	<5	.	.	20 (5-57)	.	68 (27-169)	85 (65-105)	.	.	n.c.	1 
Nefropatie croniche e acute(580-589)	F	11	7	.	.	127 (70-215)	.	152 (93-248)	100 (72-138)	.	.	n.c.	1 
Nefropatie croniche e acute(580-589)	M	11	10	.	.	134 (75-235)	.	110 (68-180)	87 (66-114)	.	.	n.c.	1 
Nefropatie croniche e acute(580-589)	M + F	22	17	.	.	130 (88-192)	.	128 (90-181)	96 (75-122)	.	.	→	1 
Malattie dell'apparato urinario(580-599)	F	22	20	.	.	251 (169-364)	.	111 (78-158)	93 (74-115)	.	.	→	1 
Malattie dell'apparato urinario(580-599)	M	33	30	.	.	383 (280-525)	.	112 (84-149)	100 (86-117)	.	.	→	1 

Tabella 12C - Montefano													
Causa (ICD-IX)	Genere	Osservati	Attesi	Cluster sign.	SIR cluster	Tasso std. * 100000 (ic)	Tasso std. > Media reg.	SIR (ic)	BIR (ic)	SIR sign.	BIR sign.	Trend	Livello attenzione
Malattie dell'apparato urinario(580-599)	M + F	55	49	.	.	316 (249-401)	.	112 (89-139)	99 (85-115)	'	'	→	1
Endometriosi(617)	F	<5	<5	.	.	12 (1-62)	.	36 (8-162)	78 (52-111)	'	'	n.c.	1
Malformazioni congenite(740-759)	F	12	11	.	.	129 (74-215)	.	105 (66-168)	104 (87-127)	'	'	n.c.	1
Malformazioni congenite(740-759)	M	15	17	.	.	166 (102-270)	.	86 (57-131)	98 (82-119)	'	'	n.c.	1
Malformazioni congenite(740-759)	M + F	27	29	.	.	147 (103-209)	.	94 (68-128)	101 (87-118)	'	'	→	1

Tabella 13C. Incidenza di primi ricoveri ospedalieri per causa nel comune di Montegranaro, tutte le età, periodo di osservazione 2009-2013

Tabella 13C - Montegranaro	Genere	Osservati	Attesi	Cluster sign.	SIR cluster	Tasso std. * 100000 (ic)	Tasso std. > Media reg.	SIR (ic)	BIR (ic)	SIR sign.	BIR sign.	Trend	Livello attenzione
Causa (ICD-IX)													
Malattie infettive(001-139)	F	43	50	.	.	132 (101-180)	.	86 (67-110)	92 (77-111)	.	.	→	1
Malattie infettive(001-139)	M	60	61	.	.	183 (146-231)	.	98 (79-121)	99 (84-116)	.	.	→	1
Malattie infettive(001-139)	M + F	103	112	.	.	157 (132-189)	.	92 (78-109)	96 (83-109)	.	.	→	1
Tumori maligni delle vie aeree e digestive superiori(140-150, 161)	F	<5	<5	.	.	3 (0-32)	.	27 (6-121)	96 (68-126)	.	.	n.c.	1
Tumori maligni delle vie aeree e digestive superiori(140-150, 161)	M	>5	>5	.	.	51 (32-81)	↑	157 (104-236)	107 (89-138)	↑	.	n.c.	3 😞
Tumori maligni delle vie aeree e digestive superiori(140-150, 161)	M + F	17	14	.	.	26 (17-45)	.	123 (82-182)	104 (87-126)	.	.	→	1
Tumori maligni(140-208)	F	176	196	.	.	554 (487-636)	.	90 (79-102)	96 (88-104)	.	.	→	1
Tumori maligni(140-208)	M	260	222	.	.	824 (742-917)	↑	117 (106-130)	108 (101-118)	↑	↑	→	5 😡
Tumori maligni(140-208)	M + F	436	418	.	.	684 (631-745)	.	104 (96-113)	104 (97-110)	.	.	→	1
Tumori maligni dell'esofago(150)	F	0	1	.	.	0 (0-29)	.	0 (-.)	98 (61-143)	.	.	n.c.	1
Tumori maligni dell'esofago(150)	M	<5	<5	.	.	3 (0-21)	.	73 (16-326)	105 (68-139)	.	.	n.c.	1
Tumori maligni dell'esofago(150)	M + F	<5	<5	.	.	2 (0-17)	.	53 (12-239)	90 (63-122)	.	.	n.c.	1
Tumori maligni dello stomaco(151)	F	13	8	.	.	41 (24-77)	.	156 (99-246)	108 (81-146)	.	.	→	1
Tumori maligni dello stomaco(151)	M	10	11	.	.	32 (17-58)	.	88 (52-146)	100 (78-128)	.	.	n.c.	1
Tumori maligni dello stomaco(151)	M + F	23	20	.	.	36 (25-57)	.	116 (83-164)	106 (85-132)	.	.	→	1
Tumori maligni dell'intestino tenue, compreso il duodeno(152)	F	<5	<5	.	.	3 (0-33)	.	165 (37-740)	97 (50-169)	.	.	n.c.	1

Tabella 13C - Montegranaro	Genere	Osservati	Attesi	Cluster sign.	SIR cluster	Tasso std. * 100000 (ic)	Tasso std. > Media reg.	SIR (ic)	BIR (ic)	SIR sign.	BIR sign.	Trend	Livello attenzione
Causa (ICD-IX)													
Tumori maligni dell'intestino tenue, compreso il duodeno(152)	M	0	1	.	.	0 (0-17)	.	0 (-.)	107 (73-141)	.	.	n.c.	1
Tumori maligni dell'intestino tenue, compreso il duodeno(152)	M + F	<5	<5	.	.	2 (0-17)	.	55 (12-248)	104 (70-137)	.	.	n.c.	1
Tumori maligni del colon(153)	F	19	20	.	.	60 (39-99)	.	95 (65-139)	103 (83-124)	.	.	n.c.	1
Tumori maligni del colon(153)	M	28	25	.	.	89 (63-126)	.	114 (84-156)	105 (89-124)	.	.	→	1
Tumori maligni del colon(153)	M + F	47	44	.	.	74 (57-99)	.	106 (83-134)	106 (91-122)	.	.	→	1
Tumori maligni del colon-retto(153-154)	F	22	27	.	.	69 (47-110)	.	83 (58-117)	99 (85-115)	.	.	→	1
Tumori maligni del colon-retto(153-154)	M	48	35	.	.	152 (118-197)	↑	138 (109-175)	107 (94-122)	↑	.	→	3 😊
Tumori maligni del colon-retto(153-154)	M + F	70	61	.	.	109 (89-138)	.	114 (94-139)	106 (94-120)	.	.	→	1
Tumori maligni del retto, della giunzione retto-sigmoidea e dell'ano(154)	F	<5	>5	.	.	13 (4-44)	.	47 (21-104)	98 (80-113)	.	.	n.c.	1
Tumori maligni del retto, della giunzione retto-sigmoidea e dell'ano(154)	M	>5	>5	.	.	76 (52-110)	↑	188 (135-263)	105 (91-131)	↑	.	→	3 😊
Tumori maligni del retto, della giunzione retto-sigmoidea e dell'ano(154)	M + F	28	21	.	.	43 (31-65)	.	132 (97-179)	104 (91-122)	.	.	→	1
Tumore fegato e dotti biliari(1550-1551)	F	<5	<5	.	.	3 (0-33)	.	45 (10-204)	88 (56-133)	.	.	n.c.	1
Tumore fegato e dotti biliari(1550-1551)	M	>5	>5	.	.	25 (13-50)	.	167 (94-296)	105 (81-142)	.	.	n.c.	1
Tumore fegato e dotti biliari(1550-1551)	M + F	9	7	.	.	14 (7-31)	.	129 (75-221)	105 (78-143)	.	.	n.c.	1
Tumori maligni del pancreas(157)	F	5	6	.	.	16 (6-48)	.	79 (38-162)	98 (78-119)	.	.	n.c.	1
Tumori maligni del pancreas(157)	M	12	7	.	.	39 (22-67)	↑	174 (109-279)	100 (88-117)	↑	.	→	3 😊
Tumori maligni del pancreas(157)	M + F	17	13	.	.	27 (17-46)	.	129 (87-191)	100 (88-113)	.	.	→	1

Tabella 13C - Montegranaro	Genere	Osservati	Attesi	Cluster sign.	SIR cluster	Tasso std. * 100000 (ic)	Tasso std. > Media reg.	SIR (ic)	BIR (ic)	SIR sign.	BIR sign.	Trend	Livello attenzione
Causa (ICD-IX)													
Tumore del retroperitoneo(1580)	F	0	0	.	.	0 (0-29)	.	0 (-.)	103 (59-165)	,	,	n.c.	1
Tumore del retroperitoneo(1580)	M	0	0	.	.	0 (0-17)	.	0 (-.)	75 (22-165)	,	,	n.c.	1
Tumore del retroperitoneo(1580)	M + F	0	1	.	.	0 (0-15)	.	0 (-.)	95 (54-142)	,	,	n.c.	1
Tumori maligni del naso(1600)	F	0	0	.	.	0 (0-29)	.	0 (-.)	66 (29-128)	,	,	n.c.	1
Tumori maligni del naso(1600)	M	<5	<5	.	.	7 (1-26)	.	587 (194-1775)	158 (78-404)	↑	,	n.c.	3 😞
Tumori maligni del naso(1600)	M + F	<5	<5	.	.	3 (1-19)	.	475 (157-1436)	130 (67-287)	↑	,	n.c.	3 😞
Tumori maligni della laringe(161)	F	0	1	.	.	0 (0-29)	.	0 (-.)	103 (44-180)	,	,	n.c.	1
Tumori maligni della laringe(161)	M	8	5	.	.	26 (13-51)	.	173 (97-306)	107 (88-138)	,	,	n.c.	1
Tumori maligni della laringe(161)	M + F	8	5	.	.	12 (6-29)	.	155 (87-274)	107 (88-134)	,	,	n.c.	1
Tumori maligni della trachea, dei bronchi e dei polmoni(162)	F	<5	>5	.	.	9 (3-40)	.	31 (12-78)	83 (59-106)	↓	,	n.c.	0 😊
Tumori maligni della trachea, dei bronchi e dei polmoni(162)	M	>5	>5	.	.	89 (63-125)	.	100 (73-136)	101 (88-115)	,	,	→	1
Tumori maligni della trachea, dei bronchi e dei polmoni(162)	M + F	31	38	.	.	48 (34-70)	.	82 (61-111)	97 (85-109)	,	,	→	1
Tumori maligni della pleura(163)	F	0	1	.	.	0 (0-29)	.	0 (-.)	97 (45-159)	,	,	n.c.	1
Tumori maligni della pleura(163)	M	0	1	.	.	0 (0-17)	.	0 (-.)	61 (26-127)	,	,	n.c.	1
Tumori maligni della pleura(163)	M + F	0	2	.	.	0 (0-15)	.	0 (-.)	69 (34-120)	,	,	n.c.	1
Mesoteliomi pleurici e peritoneali(1588, 163)	F	0	1	.	.	0 (0-29)	.	0 (-.)	92 (44-151)	,	,	n.c.	1
Mesoteliomi pleurici e peritoneali(1588, 163)	M	0	1	.	.	0 (0-17)	.	0 (-.)	67 (30-125)	,	,	n.c.	1



Tabella 13C - Montegranaro													
Causa (ICD-IX)	Genere	Osservati	Attesi	Cluster sign.	SIR cluster	Tasso std. * 100000 (ic)	Tasso std. > Media reg.	SIR (ic)	BIR (ic)	SIR sign.	BIR sign.	Trend	Livello attenzione
Mesoteliomi pleurici e peritoneali(1588, 163)	M + F	0	2	.	.	0 (0-15)	.	0 (-.)	71 (35-123)	.	.	n.c.	1
Tumori maligni delle ossa e della cartilagine articolare(170)	F	<5	<5	.	.	3 (0-32)	.	117 (26-525)	113 (72-175)	.	.	n.c.	1
Tumori maligni delle ossa e della cartilagine articolare(170)	M	<5	<5	.	.	10 (3-30)	.	315 (126-788)	100 (77-131)	↑	.	n.c.	3 ☹️
Tumori maligni delle ossa e della cartilagine articolare(170)	M + F	<5	<5	.	.	6 (2-22)	.	221 (99-493)	108 (85-143)	.	.	n.c.	1
Tumori maligni del connettivo e di altri tessuti molli(171)	F	<5	<5	.	.	3 (0-32)	.	57 (13-257)	95 (63-127)	.	.	n.c.	1
Tumori maligni del connettivo e di altri tessuti molli(171)	M	<5	<5	.	.	9 (3-29)	.	120 (48-300)	97 (64-148)	.	.	n.c.	1
Tumori maligni del connettivo e di altri tessuti molli(171)	M + F	<5	<5	.	.	6 (2-22)	.	94 (42-210)	91 (58-135)	.	.	n.c.	1
Melanoma maligno della pelle(172)	F	<5	>5	.	.	3 (0-33)	.	22 (5-98)	78 (51-110)	↓	.	n.c.	0 😊
Melanoma maligno della pelle(172)	M	<5	>5	.	.	3 (0-22)	.	20 (4-90)	67 (42-95)	↓	↓	n.c.	0 😊
Melanoma maligno della pelle(172)	M + F	<5	>5	.	.	3 (1-19)	.	21 (7-63)	65 (46-90)	↓	↓	n.c.	0 😊
Tumori maligni della mammella(174-175)	F	48	59	.	.	151 (117-201)	.	81 (64-103)	94 (82-109)	.	.	→	1
Tumori maligni della mammella(174-175)	M	0	1	.	.	0 (0-17)	.	0 (-.)	94 (53-160)	.	.	n.c.	1
Tumori maligni della mammella(174-175)	M + F	48	60	.	.	78 (61-104)	.	81 (64-102)	94 (81-108)	.	.	→	1
Tumori maligni dell'utero(179-180, 182)	F	14	13	.	.	42 (25-78)	.	110 (71-169)	105 (89-124)	.	.	→	1
Tumori maligni del corpo dell'utero(182)	F	10	8	.	.	30 (16-64)	.	121 (72-203)	102 (84-129)	.	.	n.c.	1
Tumori maligni dell'ovaio e degli altri annessi uterini(183)	F	<5	>5	.	.	13 (4-44)	.	66 (30-147)	98 (79-114)	.	.	n.c.	1
Tumore della prostata(185)	M	53	35	2	121	165 (129-211)	↑	152 (121-190)	128 (110-151)	↑	↑	→	5 😡

Tabella 13C - Montegranaro	Genere	Osservati	Attesi	Cluster sign.	SIR cluster	Tasso std. * 100000 (ic)	Tasso std. > Media reg.	SIR (ic)	BIR (ic)	SIR sign.	BIR sign.	Trend	Livello attenzione
Causa (ICD-IX)													
Tumore del testicolo(186)	M	<5	<5	.	.	12 (4-33)	.	137 (62-306)	104 (82-133)	.	.	n.c.	1
Tumori maligni della vescica(188)	F	9	6	.	.	29 (15-64)	.	140 (82-241)	103 (87-123)	.	.	→	1
Tumori maligni della vescica(188)	M	30	29	.	.	96 (69-134)	.	102 (76-138)	99 (88-111)	.	.	→	1
Tumori maligni della vescica(188)	M + F	39	36	.	.	61 (46-85)	.	109 (84-142)	100 (89-112)	.	.	→	1
Tumori maligni del rene e di altri e non specificati organi urinari(189)	F	6	6	.	.	20 (9-52)	.	103 (53-200)	95 (77-115)	.	.	n.c.	1
Tumori maligni del rene e di altri e non specificati organi urinari(189)	M	7	13	.	.	23 (11-48)	.	55 (30-101)	94 (73-112)	.	.	n.c.	1
Tumori maligni del rene e di altri e non specificati organi urinari(189)	M + F	13	19	.	.	21 (13-40)	.	70 (44-110)	93 (75-109)	.	.	→	1
Tumori maligni dell'encefalo(191)	F	<5	<5	.	.	6 (1-36)	.	52 (17-159)	85 (60-113)	.	.	n.c.	1
Tumori maligni dell'encefalo(191)	M	>5	>5	.	.	23 (11-47)	.	131 (71-241)	106 (85-133)	.	.	n.c.	1
Tumori maligni dell'encefalo(191)	M + F	9	9	.	.	14 (7-31)	.	98 (57-169)	98 (77-121)	.	.	n.c.	1
Tumori maligni del sistema nervoso centrale(191-192)	F	<5	<5	.	.	6 (1-36)	.	46 (15-137)	89 (66-111)	.	.	n.c.	1
Tumori maligni del sistema nervoso centrale(191-192)	M	>5	>5	.	.	23 (11-47)	.	121 (65-222)	105 (81-132)	.	.	n.c.	1
Tumori maligni del sistema nervoso centrale(191-192)	M + F	9	10	.	.	14 (7-31)	.	88 (51-152)	95 (74-119)	.	.	n.c.	1
Tumori maligni della ghiandola tiroide(193)	F	15	8	2	165	45 (28-82)	↑	183 (120-279)	123 (95-161)	↑	.	→	3 😊
Tumori maligni della ghiandola tiroide(193)	M	5	3	.	.	15 (6-37)	.	179 (87-367)	106 (72-157)	.	.	n.c.	1
Tumori maligni della ghiandola tiroide(193)	M + F	20	11	2	141	31 (20-51)	↑	182 (126-262)	128 (100-166)	↑	.	→	3 😊
Linfoma non Hodgkin(200, 202)	F	9	7	.	.	29 (15-63)	.	134 (78-230)	103 (86-129)	.	.	n.c.	1

Tabella 13C - Montegranaro	Genere	Osservati	Attesi	Cluster sign.	SIR cluster	Tasso std. * 100000 (ic)	Tasso std. > Media reg.	SIR (ic)	BIR (ic)	SIR sign.	BIR sign.	Trend	Livello attenzione
Causa (ICD-IX)													
Linfoma non Hodgkin(200, 202)	M	14	9	.	.	45 (27-75)	↑	152 (98-235)	107 (87-138)	.	.	→	1
Linfoma non Hodgkin(200, 202)	M + F	23	16	.	.	37 (25-58)	↑	144 (102-203)	110 (92-136)	↑	.	→	3 😊
Tumori emolinfopoiетici(200-208)	F	17	15	.	.	55 (35-93)	.	116 (78-173)	103 (86-124)	.	.	n.c.	1
Tumori emolinfopoiетici(200-208)	M	26	19	.	.	83 (58-119)	.	139 (101-192)	104 (89-126)	↑	.	→	3 😊
Tumori emolinfopoiетici(200-208)	M + F	43	33	.	.	69 (52-94)	↑	129 (101-166)	108 (93-127)	↑	.	→	3 😊
Malattia di Hodgkin(201)	F	<5	<5	.	.	3 (0-33)	.	66 (15-294)	109 (88-133)	.	.	n.c.	1
Malattia di Hodgkin(201)	M	<5	<5	.	.	6 (1-25)	.	136 (45-412)	98 (75-127)	.	.	n.c.	1
Malattia di Hodgkin(201)	M + F	<5	<5	.	.	5 (1-20)	.	100 (40-251)	103 (77-136)	.	.	n.c.	1
Mieloma multiplo e tumori immunoproliferativi(203)	F	<5	<5	.	.	10 (3-40)	.	106 (42-265)	97 (74-128)	.	.	n.c.	1
Mieloma multiplo e tumori immunoproliferativi(203)	M	>5	<5	.	.	16 (6-38)	.	142 (69-292)	104 (74-153)	.	.	n.c.	1
Mieloma multiplo e tumori immunoproliferativi(203)	M + F	8	6	.	.	13 (6-30)	.	126 (71-224)	106 (78-145)	.	.	n.c.	1
Leucemie(204-208)	F	5	4	.	.	16 (6-48)	.	115 (56-237)	98 (73-130)	.	.	n.c.	1
Leucemie(204-208)	M	6	6	.	.	19 (8-42)	.	99 (51-192)	93 (74-115)	.	.	n.c.	1
Leucemie(204-208)	M + F	11	10	.	.	17 (10-35)	.	106 (65-173)	95 (73-122)	.	.	→	1
Gozzo non tossico(240-241)	F	23	14	.	.	70 (48-110)	↑	161 (115-227)	125 (97-161)	↑	.	n.c.	3 😊
Gozzo non tossico(240-241)	M	8	5	.	.	24 (12-48)	.	168 (95-298)	119 (83-174)	.	.	n.c.	1
Gozzo non tossico(240-241)	M + F	31	19	.	.	48 (34-70)	↑	163 (121-219)	131 (103-165)	↑	↑	→	5 😊










Tabella 13C - Montegranaro													
Causa (ICD-IX)	Genere	Osservati	Attesi	Cluster sign.	SIR cluster	Tasso std. * 100000 (ic)	Tasso std. > Media reg.	SIR (ic)	BIR (ic)	SIR sign.	BIR sign.	Trend	Livello attenzione
Malattie endocrine e della nutrizione(240-2799)	F	102	95	.	.	318 (268-384)	.	107 (91-126)	100 (86-114)	.	.	→	1
Malattie endocrine e della nutrizione(240-2799)	M	64	77	.	.	200 (160-250)	.	83 (68-102)	83 (72-96)	.	↓	↓	0 
Malattie endocrine e della nutrizione(240-2799)	M + F	166	172	.	.	261 (229-302)	.	96 (85-110)	93 (83-105)	.	.	↓	0 
Tireotossicosi(242)	F	>5	>5	.	.	22 (10-55)	.	148 (81-274)	105 (74-148)	.	.	n.c.	1
Tireotossicosi(242)	M	<5	<5	.	.	7 (1-26)	.	113 (37-342)	94 (55-157)	.	.	n.c.	1
Tireotossicosi(242)	M + F	9	7	.	.	15 (8-32)	.	139 (81-239)	103 (74-142)	.	.	n.c.	1
Ipotiroidismo(243-244)	F	<5	<5	.	.	6 (1-36)	.	87 (29-264)	109 (78-147)	.	.	n.c.	1
Ipotiroidismo(243-244)	M	<5	<5	.	.	9 (2-28)	.	140 (56-350)	104 (83-128)	.	.	n.c.	1
Ipotiroidismo(243-244)	M + F	5	4	.	.	7 (3-23)	.	113 (55-232)	108 (91-130)	.	.	n.c.	1
Diabete mellito(250)	F	<5	>5	.	.	12 (4-43)	.	25 (11-55)	40 (27-59)	↓	↓	n.c.	0 
Diabete mellito(250)	M	>5	>5	.	.	40 (24-68)	.	58 (37-92)	50 (36-70)	↓	↓	n.c.	0 
Diabete mellito(250)	M + F	17	38	.	.	26 (16-45)	.	44 (30-66)	45 (33-59)	↓	↓	→	0 
Malattie del sangue e degli organi emopoietici(280-289)	F	17	32	.	.	56 (35-95)	.	53 (35-78)	70 (53-89)	↓	↓	n.c.	0 
Malattie del sangue e degli organi emopoietici(280-289)	M	21	29	.	.	65 (44-98)	.	73 (51-105)	79 (61-99)	.	↓	↓	0 
Malattie del sangue e degli organi emopoietici(280-289)	M + F	38	61	.	.	60 (45-84)	.	62 (48-81)	70 (57-85)	↓	↓	↓	0 
Malattie neuro-psichiatriche (escluse tossicod.)(290-303, 306-319)	F	41	42	.	.	124 (94-171)	.	97 (75-125)	91 (76-110)	.	.	→	1
Malattie neuro-psichiatriche (escluse tossicod.)(290-303, 306-319)	M	40	52	.	.	121 (91-161)	.	77 (59-100)	82 (68-99)	↓	↓	→	0 












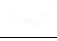
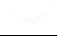
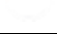
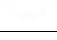
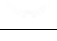

Tabella 13C - Montegranaro													
Causa (ICD-IX)	Genere	Osservati	Attesi	Cluster sign.	SIR cluster	Tasso std. * 100000 (ic)	Tasso std. > Media reg.	SIR (ic)	BIR (ic)	SIR sign.	BIR sign.	Trend	Livello attenzione
Malattie neuro-psichiatriche (escluse tossicod.)(290-303, 306-319)	M + F	81	94	.	.	122 (101-152)	.	86 (72-103)	86 (74-100)	.	↓	→	0 
Malattie del sistema nervoso e degli organi di senso(320-389)	F	171	233	.	.	534 (469-615)	.	73 (65-83)	77 (69-85)	↓	↓	↓	0 
Malattie del sistema nervoso e degli organi di senso(320-389)	M	176	207	.	.	555 (488-632)	.	85 (75-96)	85 (76-94)	↓	↓	↓	0 
Malattie del sistema nervoso e degli organi di senso(320-389)	M + F	347	440	.	.	544 (497-599)	.	79 (72-86)	80 (74-87)	↓	↓	↓	0 
Malattia di Alzheimer(3310)	F	>5	>5	.	.	44 (26-81)	.	101 (65-160)	94 (61-141)	.	.	n.c.	1 
Malattia di Alzheimer(3310)	M	<5	>5	.	.	10 (3-31)	.	45 (18-113)	61 (33-105)	.	.	n.c.	1 
Malattia di Alzheimer(3310)	M + F	16	20	.	.	28 (17-48)	.	82 (55-124)	83 (57-117)	.	.	n.c.	1 
Morbo di Parkinson(3320)	F	>5	<5	2	189	24 (11-57)	↑	251 (136-464)	159 (102-252)	↑	↑	n.c.	5 
Morbo di Parkinson(3320)	M	<5	<5	.	.	10 (3-30)	.	76 (30-190)	119 (73-183)	.	.	n.c.	1 
Morbo di Parkinson(3320)	M + F	10	7	2	170	17 (9-35)	.	149 (89-249)	144 (103-197)	.	↑	n.c.	4 
Malattia dei neuroni motori(3352)	F	<5	<5	2	194	10 (3-40)	.	242 (97-605)	155 (86-288)	.	.	n.c.	1 
Malattia dei neuroni motori(3352)	M	0	1	.	.	0 (0-17)	.	0 (-.-)	103 (59-148)	.	.	n.c.	1 
Malattia dei neuroni motori(3352)	M + F	<5	<5	2	159	5 (1-21)	.	112 (45-280)	108 (84-138)	.	.	n.c.	1 
Sclerosi multipla(340)	F	<5	<5	.	.	9 (2-39)	.	69 (27-172)	98 (79-119)	.	.	n.c.	1 
Sclerosi multipla(340)	M	<5	<5	.	.	6 (1-26)	.	78 (26-236)	101 (70-131)	.	.	n.c.	1 
Sclerosi multipla(340)	M + F	5	7	.	.	8 (3-24)	.	72 (35-148)	98 (76-123)	.	.	n.c.	1 
Malattie cardiache(390-429)	F	177	181	.	.	593 (520-680)	.	98 (86-111)	98 (89-108)	.	.	→	1 







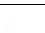




Tabella 13C - Montegranaro	Genere	Osservati	Attesi	Cluster sign.	SIR cluster	Tasso std. * 100000 (ic)	Tasso std. > Media reg.	SIR (ic)	BIR (ic)	SIR sign.	BIR sign.	Trend	Livello attenzione
Causa (ICD-IX)													
Malattie cardiache(390-429)	M	256	244	.	.	837 (753-932)	.	105 (95-116)	103 (96-112)	.	.	→	1
Malattie cardiache(390-429)	M + F	433	425	.	.	710 (655-774)	.	102 (94-110)	102 (95-109)	.	.	→	1
Malattie dell'apparato circolatorio(390-459)	F	333	320	.	.	1080 (983-1191)	.	104 (95-114)	104 (97-111)	.	.	↓	0 
Malattie dell'apparato circolatorio(390-459)	M	417	390	2	106	1334 (1228-1450)	↑	107 (99-116)	106 (100-113)	.	.	→	2 
Malattie dell'apparato circolatorio(390-459)	M + F	750	710	.	.	1202 (1130-1282)	↑	106 (100-112)	106 (101-111)	.	↑	→	4 
Malattie ischemiche del cuore(410-4149)	F	66	62	.	.	217 (175-276)	.	106 (86-129)	105 (91-122)	.	.	→	1
Malattie ischemiche del cuore(410-4149)	M	149	124	2	114	478 (415-550)	↑	120 (105-137)	116 (104-130)	↑	↑	→	5 
Malattie ischemiche del cuore(410-4149)	M + F	215	187	2	113	343 (305-388)	↑	115 (103-129)	114 (104-126)	↑	↑	→	5 
Insufficienza cardiaca (scompenso cardiaco)(428)	F	78	74	.	.	270 (221-335)	.	105 (87-126)	100 (87-116)	.	.	↓	0 
Insufficienza cardiaca (scompenso cardiaco)(428)	M	69	71	.	.	245 (198-303)	.	97 (80-119)	97 (84-111)	.	.	→	1
Insufficienza cardiaca (scompenso cardiaco)(428)	M + F	147	145	.	.	258 (224-300)	.	101 (88-116)	101 (89-112)	.	.	↓	0 
Malattie cerebrovascolari(430-438)	F	85	106	.	.	288 (238-354)	.	80 (67-96)	93 (82-105)	↓	.	↓	0 
Malattie cerebrovascolari(430-438)	M	109	111	.	.	357 (302-421)	.	98 (84-115)	100 (89-112)	.	.	→	1
Malattie cerebrovascolari(430-438)	M + F	194	217	.	.	321 (284-366)	.	89 (79-101)	95 (86-104)	.	.	↓	0 
Malattie dell'apparato respiratorio(460-5199)	F	181	207	.	.	575 (506-658)	.	88 (78-99)	89 (81-98)	↓	↓	→	0 
Malattie dell'apparato respiratorio(460-5199)	M	250	275	.	.	801 (719-893)	.	91 (82-101)	92 (85-100)	.	.	→	1
Malattie dell'apparato respiratorio(460-5199)	M + F	431	481	.	.	683 (630-744)	.	90 (83-97)	90 (84-97)	↓	↓	↓	0 





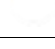


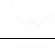


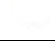
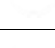
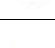
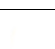


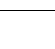
Tabella 13C - Montegranaro													
Causa (ICD-IX)	Genere	Osservati	Attesi	Cluster sign.	SIR cluster	Tasso std. * 100000 (ic)	Tasso std. > Media reg.	SIR (ic)	BIR (ic)	SIR sign.	BIR sign.	Trend	Livello attenzione
Malattie polmonari cronico ostruttive(490-492, 494, 496)	F	7	16	.	.	23 (11-56)	.	43 (23-79)	60 (41-83)	↓	↓	→	0 
Malattie polmonari cronico ostruttive(490-492, 494, 496)	M	23	23	.	.	79 (54-116)	.	100 (71-140)	93 (72-119)	.	.	→	1 
Malattie polmonari cronico ostruttive(490-492, 494, 496)	M + F	30	39	.	.	50 (36-73)	.	76 (57-103)	77 (61-97)	.	↓	→	0 
Pneumoconiosi(500-505)	F	0	0	.	.	0 (0-29)	.	0 (-.)	81 (9-351)	.	.	n.c.	1 
Pneumoconiosi(500-505)	M	0	0	.	.	0 (0-17)	.	0 (-.)	48 (11-121)	.	.	n.c.	1 
Pneumoconiosi(500-505)	M + F	0	1	.	.	0 (0-15)	.	0 (-.)	67 (25-117)	.	.	n.c.	1 
Malattie dell'apparato digerente(520-579)	F	236	274	.	.	734 (657-826)	.	86 (77-96)	90 (84-97)	↓	↓	→	0 
Malattie dell'apparato digerente(520-579)	M	397	393	.	.	1230 (1130-1339)	.	101 (93-110)	100 (93-106)	.	.	→	1 
Malattie dell'apparato digerente(520-579)	M + F	633	667	.	.	973 (910-1043)	.	95 (89-101)	95 (91-101)	.	.	↓	0 
Cirrosi e altre malattie croniche del fegato(571)	F	6	7	.	.	20 (8-52)	.	87 (45-168)	98 (79-119)	.	.	n.c.	1 
Cirrosi e altre malattie croniche del fegato(571)	M	8	13	.	.	25 (12-50)	.	60 (34-107)	86 (66-111)	.	.	n.c.	1 
Cirrosi e altre malattie croniche del fegato(571)	M + F	14	20	.	.	22 (13-41)	.	69 (45-107)	90 (72-109)	.	.	n.c.	1 
Nefropatie croniche e acute(580-589)	F	33	28	.	.	106 (78-152)	.	118 (89-157)	107 (85-135)	.	.	→	1 
Nefropatie croniche e acute(580-589)	M	33	38	.	.	107 (78-146)	.	87 (65-115)	91 (74-110)	.	.	→	1 
Nefropatie croniche e acute(580-589)	M + F	66	66	.	.	107 (86-136)	.	100 (82-122)	98 (83-116)	.	.	→	1 
Malattie dell'apparato urinario(580-599)	F	68	75	.	.	216 (175-273)	.	91 (74-111)	94 (80-109)	.	.	↓	0 
Malattie dell'apparato urinario(580-599)	M	95	111	.	.	303 (254-363)	.	86 (73-102)	92 (82-103)	.	.	→	1 



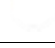


Tabella 13C - Montegranaro													
Causa (ICD-IX)	Genere	Osservati	Attesi	Cluster sign.	SIR cluster	Tasso std. * 100000 (ic)	Tasso std. > Media reg.	SIR (ic)	BIR (ic)	SIR sign.	BIR sign.	Trend	Livello attenzione
Malattie dell'apparato urinario(580-599)	M + F	163	186	.	.	258 (226-298)	.	88 (77-100)	92 (83-102)	↓	.	→	0 
Endometriosi(617)	F	10	13	.	.	29 (16-63)	.	78 (47-131)	86 (63-115)	.	.	n.c.	1 
Malformazioni congenite(740-759)	F	39	40	.	.	114 (85-159)	.	98 (75-127)	91 (77-106)	.	.	→	1 
Malformazioni congenite(740-759)	M	45	63	.	.	135 (104-177)	.	72 (56-91)	80 (68-92)	↓	↓	→	0 
Malformazioni congenite(740-759)	M + F	84	103	.	.	124 (102-153)	.	82 (68-98)	83 (74-94)	↓	↓	→	0 



Tabella 14C. Incidenza di primi ricoveri ospedalieri per causa nel comune di Montelupone, tutte le età, periodo di osservazione 2009-2013

Tabella 14C - Montelupone	Genere	Osservati	Attesi	Cluster sign.	SIR cluster	Tasso std. * 100000 (ic)	Tasso std. > Media reg.	SIR (ic)	BIR (ic)	SIR sign.	BIR sign.	Trend	Livello attenzione
Causa (ICD-IX)													
Malattie infettive(001-139)	F	20	14	.	.	229 (152-342)	↑	139 (97-201)	112 (87-145)	.	.	→	1
Malattie infettive(001-139)	M	23	17	.	.	253 (173-362)	.	137 (97-193)	111 (88-141)	.	.	→	1
Malattie infettive(001-139)	M + F	43	31	.	.	241 (183-315)	↑	138 (107-177)	118 (97-144)	↑	.	→	3 😊
Tumori maligni delle vie aeree e digestive superiori(140-150, 161)	F	<5	<5	.	.	24 (4-88)	.	205 (68-619)	106 (78-147)	.	.	n.c.	1
Tumori maligni delle vie aeree e digestive superiori(140-150, 161)	M	<5	<5	.	.	47 (16-110)	.	143 (64-320)	103 (82-129)	.	.	n.c.	1
Tumori maligni delle vie aeree e digestive superiori(140-150, 161)	M + F	6	4	.	.	35 (15-75)	.	159 (82-308)	104 (86-128)	.	.	n.c.	1
Tumori maligni(140-208)	F	64	52	.	.	768 (616-953)	↑	123 (101-152)	105 (95-117)	↑	.	→	3 😊
Tumori maligni(140-208)	M	72	61	.	.	843 (686-1029)	↑	118 (97-143)	105 (95-116)	.	.	↑	3 😊
Tumori maligni(140-208)	M + F	136	113	.	.	804 (694-931)	↑	120 (104-138)	108 (99-118)	↑	.	→	3 😊
Tumori maligni dell'esofago(150)	F	0	0	.	.	0 (0-52)	.	0 (.-.)	100 (62-147)	.	.	n.c.	1
Tumori maligni dell'esofago(150)	M	0	0	.	.	0 (0-40)	.	0 (.-.)	105 (67-143)	.	.	n.c.	1
Tumori maligni dell'esofago(150)	M + F	0	1	.	.	0 (0-27)	.	0 (.-.)	97 (68-136)	.	.	n.c.	1
Tumori maligni dello stomaco(151)	F	<5	<5	.	.	38 (10-108)	.	136 (54-339)	98 (70-139)	.	.	n.c.	1
Tumori maligni dello stomaco(151)	M	>5	<5	2	143	82 (38-157)	↑	219 (119-404)	114 (86-158)	↑	.	n.c.	3 😊
Tumori maligni dello stomaco(151)	M + F	10	5	.	.	59 (32-106)	↑	185 (111-309)	114 (87-152)	↑	.	n.c.	3 😊
Tumori maligni dell'intestino tenue, compreso il duodeno(152)	F	<5	<5	.	.	12 (1-70)	.	621 (139-2784)	100 (54-194)	↑	.	n.c.	1

Tabella 14C - Montelupone	Genere	Osservati	Attesi	Cluster sign.	SIR cluster	Tasso std. * 100000 (ic)	Tasso std. > Media reg.	SIR (ic)	BIR (ic)	SIR sign.	BIR sign.	Trend	Livello attenzione
Causa (ICD-IX)													
Tumori maligni dell'intestino tenue, compreso il duodeno(152)	M	<5	<5	.	.	13 (1-63)	.	306 (68-1373)	111 (80-154)	.	.	n.c.	1
Tumori maligni dell'intestino tenue, compreso il duodeno(152)	M + F	<5	<5	.	.	13 (2-45)	.	410 (136-1240)	108 (78-155)	↑	.	n.c.	3 😞
Tumori maligni del colon(153)	F	7	5	.	.	86 (40-171)	.	133 (72-245)	107 (84-137)	.	.	n.c.	1
Tumori maligni del colon(153)	M	5	7	.	.	59 (23-127)	.	74 (36-151)	101 (83-123)	.	.	n.c.	1
Tumori maligni del colon(153)	M + F	12	12	.	.	73 (42-123)	.	100 (62-159)	104 (86-124)	.	.	n.c.	1
Tumori maligni del colon-retto(153-154)	F	9	7	.	.	111 (58-202)	.	129 (75-221)	105 (89-126)	.	.	→	1
Tumori maligni del colon-retto(153-154)	M	10	10	.	.	119 (65-204)	.	104 (62-174)	103 (90-119)	.	.	n.c.	1
Tumori maligni del colon-retto(153-154)	M + F	19	17	.	.	115 (75-173)	.	114 (78-166)	105 (91-123)	.	.	→	1
Tumori maligni del retto, della giunzione retto-sigmoidea e dell'ano(154)	F	<5	<5	.	.	25 (4-88)	.	89 (29-269)	101 (85-120)	.	.	n.c.	1
Tumori maligni del retto, della giunzione retto-sigmoidea e dell'ano(154)	M	>5	<5	.	.	60 (24-129)	.	142 (69-292)	100 (86-120)	.	.	n.c.	1
Tumori maligni del retto, della giunzione retto-sigmoidea e dell'ano(154)	M + F	7	6	.	.	42 (20-84)	.	121 (66-224)	102 (88-121)	.	.	n.c.	1
Tumore fegato e dotti biliari(1550-1551)	F	0	1	.	.	0 (0-52)	.	0 (-.)	88 (53-138)	.	.	n.c.	1
Tumore fegato e dotti biliari(1550-1551)	M	<5	<5	.	.	24 (4-79)	.	150 (50-453)	102 (76-141)	.	.	n.c.	1
Tumore fegato e dotti biliari(1550-1551)	M + F	<5	<5	.	.	12 (2-44)	.	105 (35-316)	99 (70-142)	.	.	n.c.	1
Tumori maligni del pancreas(157)	F	<5	<5	.	.	10 (1-66)	.	60 (13-269)	99 (77-122)	.	.	n.c.	1
Tumori maligni del pancreas(157)	M	<5	<5	.	.	25 (4-81)	.	105 (35-316)	99 (85-114)	.	.	n.c.	1
Tumori maligni del pancreas(157)	M + F	<5	<5	.	.	17 (5-52)	.	84 (33-210)	99 (86-113)	.	.	n.c.	1

Tabella 14C - Montelupone	Genere	Osservati	Attesi	Cluster sign.	SIR cluster	Tasso std. * 100000 (ic)	Tasso std. > Media reg.	SIR (ic)	BIR (ic)	SIR sign.	BIR sign.	Trend	Livello attenzione
Causa (ICD-IX)													
Tumore del retroperitoneo(1580)	F	0	0	.	.	0 (0-52)	.	0 (.-.)	103 (58-165)	'	'	n.c.	1
Tumore del retroperitoneo(1580)	M	0	0	.	.	0 (0-40)	.	0 (.-.)	80 (23-178)	'	'	n.c.	1
Tumore del retroperitoneo(1580)	M + F	0	0	.	.	0 (0-27)	.	0 (.-.)	97 (56-152)	'	'	n.c.	1
Tumori maligni del naso(1600)	F	0	0	.	.	0 (0-52)	.	0 (.-.)	65 (29-127)	'	'	n.c.	1
Tumori maligni del naso(1600)	M	0	0	.	.	0 (0-40)	.	0 (.-.)	117 (47-277)	'	'	n.c.	1
Tumori maligni del naso(1600)	M + F	0	0	.	.	0 (0-27)	.	0 (.-.)	100 (42-209)	'	'	n.c.	1
Tumori maligni della laringe(161)	F	0	0	.	.	0 (0-52)	.	0 (.-.)	102 (43-189)	'	'	n.c.	1
Tumori maligni della laringe(161)	M	<5	<5	.	.	24 (4-78)	.	159 (53-481)	104 (82-132)	'	'	n.c.	1
Tumori maligni della laringe(161)	M + F	<5	<5	.	.	11 (2-43)	.	143 (47-432)	105 (83-130)	'	'	n.c.	1
Tumori maligni della trachea, dei bronchi e dei polmoni(162)	F	6	3	.	.	72 (32-152)	↑	237 (123-458)	105 (80-142)	↑	'	n.c.	3 🤔
Tumori maligni della trachea, dei bronchi e dei polmoni(162)	M	6	8	.	.	69 (30-139)	.	78 (40-150)	103 (87-119)	'	'	n.c.	1
Tumori maligni della trachea, dei bronchi e dei polmoni(162)	M + F	12	10	.	.	71 (41-120)	.	117 (73-187)	103 (90-118)	'	'	n.c.	1
Tumori maligni della pleura(163)	F	0	0	.	.	0 (0-52)	.	0 (.-.)	102 (50-172)	'	'	n.c.	1
Tumori maligni della pleura(163)	M	0	0	.	.	0 (0-40)	.	0 (.-.)	75 (29-167)	'	'	n.c.	1
Tumori maligni della pleura(163)	M + F	0	1	.	.	0 (0-27)	.	0 (.-.)	84 (40-161)	'	'	n.c.	1
Mesoteliomi pleurici e peritoneali(1588, 163)	F	0	0	.	.	0 (0-52)	.	0 (.-.)	102 (50-176)	'	'	n.c.	1
Mesoteliomi pleurici e peritoneali(1588, 163)	M	0	0	.	.	0 (0-40)	.	0 (.-.)	78 (33-157)	'	'	n.c.	1

Tabella 14C - Montelupone	Genere	Osservati	Attesi	Cluster sign.	SIR cluster	Tasso std. * 100000 (ic)	Tasso std. > Media reg.	SIR (ic)	BIR (ic)	SIR sign.	BIR sign.	Trend	Livello attenzione
Causa (ICD-IX)													
Mesoteliomi pleurici e peritoneali(1588, 163)	M + F	0	1	.	.	0 (0-27)	.	0 (.-.)	85 (41-159)	.	.	n.c.	1
Tumori maligni delle ossa e della cartilagine articolare(170)	F	0	0	.	.	0 (0-52)	.	0 (.-.)	111 (66-173)	.	.	n.c.	1
Tumori maligni delle ossa e della cartilagine articolare(170)	M	0	0	.	.	0 (0-40)	.	0 (.-.)	98 (75-126)	.	.	n.c.	1
Tumori maligni delle ossa e della cartilagine articolare(170)	M + F	0	1	.	.	0 (0-27)	.	0 (.-.)	104 (78-132)	.	.	n.c.	1
Tumori maligni del connettivo e di altri tessuti molli(171)	F	0	1	.	.	0 (0-52)	.	0 (.-.)	95 (63-127)	.	.	n.c.	1
Tumori maligni del connettivo e di altri tessuti molli(171)	M	0	1	.	.	0 (0-40)	.	0 (.-.)	89 (51-135)	.	.	n.c.	1
Tumori maligni del connettivo e di altri tessuti molli(171)	M + F	0	1	.	.	0 (0-27)	.	0 (.-.)	82 (47-127)	.	.	n.c.	1
Melanoma maligno della pelle(172)	F	<5	<5	.	.	25 (4-89)	.	164 (54-496)	94 (61-140)	.	.	n.c.	1
Melanoma maligno della pelle(172)	M	0	1	.	.	0 (0-40)	.	0 (.-.)	77 (49-115)	.	.	n.c.	1
Melanoma maligno della pelle(172)	M + F	<5	<5	.	.	13 (2-46)	.	77 (26-234)	82 (56-119)	.	.	n.c.	1
Tumori maligni della mammella(174-175)	F	>5	>5	.	.	161 (97-261)	.	90 (58-139)	100 (84-119)	.	.	→	1
Tumori maligni della mammella(174-175)	M	<5	<5	.	.	11 (1-57)	.	637 (142-2857)	101 (61-201)	↑	.	n.c.	1
Tumori maligni della mammella(174-175)	M + F	15	16	.	.	89 (54-141)	.	95 (62-145)	101 (84-120)	.	.	→	1
Tumori maligni dell'utero(179-180, 182)	F	6	3	.	.	71 (31-151)	.	179 (92-345)	106 (89-129)	.	.	n.c.	1
Tumori maligni del corpo dell'utero(182)	F	<5	<5	.	.	38 (10-108)	.	138 (55-346)	101 (81-129)	.	.	n.c.	1
Tumori maligni dell'ovaio e degli altri annessi uterini(183)	F	<5	<5	.	.	12 (1-70)	.	62 (14-280)	100 (81-118)	.	.	n.c.	1
Tumore della prostata(185)	M	10	9	2	121	118 (64-203)	.	107 (64-179)	112 (92-136)	.	.	→	1

Tabella 14C - Montelupone	Genere	Osservati	Attesi	Cluster sign.	SIR cluster	Tasso std. * 100000 (ic)	Tasso std. > Media reg.	SIR (ic)	BIR (ic)	SIR sign.	BIR sign.	Trend	Livello attenzione
Causa (ICD-IX)													
Tumore del testicolo(186)	M	<5	<5	.	.	24 (4-78)	.	251 (83-757)	104 (81-138)	.	.	n.c.	1
Tumori maligni della vescica(188)	F	<5	<5	.	.	36 (10-104)	.	177 (71-444)	104 (87-122)	.	.	n.c.	1
Tumori maligni della vescica(188)	M	6	8	.	.	70 (30-141)	.	73 (38-142)	99 (86-111)	.	.	n.c.	1
Tumori maligni della vescica(188)	M + F	9	10	.	.	52 (27-97)	.	91 (53-157)	99 (87-112)	.	.	n.c.	1
Tumori maligni del rene e di altri e non specificati organi urinari(189)	F	<5	<5	.	.	13 (1-71)	.	65 (15-293)	95 (77-117)	.	.	n.c.	1
Tumori maligni del rene e di altri e non specificati organi urinari(189)	M	<5	<5	.	.	35 (10-94)	.	85 (34-214)	102 (82-125)	.	.	n.c.	1
Tumori maligni del rene e di altri e non specificati organi urinari(189)	M + F	<5	>5	.	.	23 (8-60)	.	79 (36-177)	99 (81-120)	.	.	n.c.	1
Tumori maligni dell'encefalo(191)	F	<5	<5	.	.	12 (1-70)	.	98 (22-441)	92 (66-129)	.	.	n.c.	1
Tumori maligni dell'encefalo(191)	M	<5	<5	.	.	21 (4-72)	.	135 (45-408)	106 (83-134)	.	.	n.c.	1
Tumori maligni dell'encefalo(191)	M + F	<5	<5	.	.	16 (4-50)	.	120 (48-301)	100 (78-127)	.	.	n.c.	1
Tumori maligni del sistema nervoso centrale(191-192)	F	<5	<5	.	.	12 (1-70)	.	85 (19-382)	95 (71-122)	.	.	n.c.	1
Tumori maligni del sistema nervoso centrale(191-192)	M	<5	<5	.	.	21 (4-72)	.	125 (41-377)	104 (77-132)	.	.	n.c.	1
Tumori maligni del sistema nervoso centrale(191-192)	M + F	<5	<5	.	.	16 (4-50)	.	108 (43-271)	99 (75-127)	.	.	n.c.	1
Tumori maligni della ghiandola tiroide(193)	F	<5	<5	2	165	32 (9-96)	.	138 (55-346)	105 (77-144)	.	.	n.c.	1
Tumori maligni della ghiandola tiroide(193)	M	<5	<5	.	.	33 (9-91)	.	396 (158-990)	111 (73-181)	↑	.	n.c.	3 😊
Tumori maligni della ghiandola tiroide(193)	M + F	6	3	.	.	33 (14-71)	.	205 (106-396)	114 (83-157)	↑	.	n.c.	3 😊
Linfoma non Hodgkin(200, 202)	F	<5	<5	.	.	23 (4-86)	.	110 (37-334)	101 (83-130)	.	.	n.c.	1

Tabella 14C - Montelupone	Genere	Osservati	Attesi	Cluster sign.	SIR cluster	Tasso std. * 100000 (ic)	Tasso std. > Media reg.	SIR (ic)	BIR (ic)	SIR sign.	BIR sign.	Trend	Livello attenzione
Causa (ICD-IX)													
Linfoma non Hodgkin(200, 202)	M	<5	<5	.	.	23 (4-77)	.	78 (26-237)	101 (78-128)	.	.	n.c.	1
Linfoma non Hodgkin(200, 202)	M + F	<5	<5	.	.	23 (8-60)	.	92 (41-204)	104 (82-130)	.	.	n.c.	1
Tumori emolinfopoiетici(200-208)	F	>5	<5	.	.	60 (24-136)	.	128 (62-263)	101 (82-124)	.	.	n.c.	1
Tumori emolinfopoiетici(200-208)	M	<5	>5	.	.	34 (9-91)	.	58 (23-145)	97 (80-116)	.	.	n.c.	1
Tumori emolinfopoiетici(200-208)	M + F	8	9	.	.	47 (23-91)	.	88 (50-156)	98 (81-119)	.	.	n.c.	1
Malattia di Hodgkin(201)	F	<5	<5	.	.	22 (4-84)	.	475 (157-1436)	110 (90-137)	↑	.	n.c.	3 😊
Malattia di Hodgkin(201)	M	0	0	.	.	0 (0-40)	.	0 (.-.)	97 (74-125)	.	.	n.c.	1
Malattia di Hodgkin(201)	M + F	<5	<5	.	.	12 (2-44)	.	243 (80-733)	105 (78-144)	.	.	n.c.	1
Mieloma multiplo e tumori immunoproliferativi(203)	F	<5	<5	.	.	25 (4-90)	.	267 (88-806)	96 (71-130)	.	.	n.c.	1
Mieloma multiplo e tumori immunoproliferativi(203)	M	0	1	.	.	0 (0-40)	.	0 (.-.)	89 (57-130)	.	.	n.c.	1
Mieloma multiplo e tumori immunoproliferativi(203)	M + F	<5	<5	.	.	13 (2-47)	.	116 (38-350)	89 (60-128)	.	.	n.c.	1
Leucemie(204-208)	F	<5	<5	.	.	11 (1-68)	.	86 (19-387)	97 (68-131)	.	.	n.c.	1
Leucemie(204-208)	M	<5	<5	.	.	11 (1-57)	.	60 (13-269)	95 (73-119)	.	.	n.c.	1
Leucemie(204-208)	M + F	<5	<5	.	.	11 (2-42)	.	71 (23-214)	93 (67-123)	.	.	n.c.	1
Gozzo non tossico(240-241)	F	>5	<5	.	.	68 (29-145)	.	159 (82-308)	99 (71-140)	.	.	n.c.	1
Gozzo non tossico(240-241)	M	<5	<5	.	.	36 (10-95)	.	233 (93-583)	87 (56-137)	.	.	n.c.	1
Gozzo non tossico(240-241)	M + F	9	5	.	.	52 (27-97)	.	178 (104-306)	102 (73-144)	↑	.	n.c.	3 😊

Tabella 14C - Montelupone	Genere	Osservati	Attesi	Cluster sign.	SIR cluster	Tasso std. * 100000 (ic)	Tasso std. > Media reg.	SIR (ic)	BIR (ic)	SIR sign.	BIR sign.	Trend	Livello attenzione
Causa (ICD-IX)													
Malattie endocrine e della nutrizione(240-2799)	F	35	27	.	.	383 (282-517)	.	132 (100-175)	103 (85-126)	↑	.	→	3 😊
Malattie endocrine e della nutrizione(240-2799)	M	31	21	.	.	352 (255-478)	↑	148 (110-199)	106 (87-130)	↑	.	→	3 😊
Malattie endocrine e della nutrizione(240-2799)	M + F	66	47	1	113	368 (296-456)	↑	139 (114-171)	113 (96-133)	↑	.	→	3 😊
Tireotossicosi(242)	F	<5	<5	.	.	47 (16-118)	.	318 (143-708)	101 (68-154)	↑	.	n.c.	3 😊
Tireotossicosi(242)	M	<5	<5	.	.	12 (1-61)	.	211 (47-945)	88 (48-162)	.	.	n.c.	1
Tireotossicosi(242)	M + F	5	2	.	.	30 (12-69)	↑	289 (141-593)	99 (67-152)	↑	.	n.c.	3 😊
Ipotiroidismo(243-244)	F	0	1	.	.	0 (0-52)	.	0 (.-.)	108 (74-149)	.	.	n.c.	1
Ipotiroidismo(243-244)	M	0	1	.	.	0 (0-40)	.	0 (.-.)	104 (82-129)	.	.	n.c.	1
Ipotiroidismo(243-244)	M + F	0	1	.	.	0 (0-27)	.	0 (.-.)	108 (89-129)	.	.	n.c.	1
Diabete mellito(250)	F	<5	<5	.	.	23 (4-86)	.	46 (15-140)	60 (36-95)	.	↓	n.c.	0 😊
Diabete mellito(250)	M	>5	>5	.	.	57 (22-123)	.	83 (40-170)	67 (44-101)	.	.	n.c.	1
Diabete mellito(250)	M + F	7	10	.	.	39 (18-80)	.	68 (37-125)	64 (44-92)	.	↓	n.c.	0 😊
Malattie del sangue e degli organi emopoietici(280-289)	F	15	9	.	.	184 (113-292)	↑	170 (111-259)	120 (88-163)	↑	.	n.c.	3 😊
Malattie del sangue e degli organi emopoietici(280-289)	M	11	8	.	.	117 (65-198)	.	137 (84-223)	109 (80-148)	.	.	n.c.	1
Malattie del sangue e degli organi emopoietici(280-289)	M + F	26	17	2	116	152 (106-216)	↑	154 (112-212)	124 (95-160)	↑	.	→	3 😊
Malattie neuro-psichiatriche (escluse tossicod.)(290-303, 306-319)	F	11	12	.	.	118 (66-207)	.	94 (58-154)	93 (72-119)	.	.	n.c.	1
Malattie neuro-psichiatriche (escluse tossicod.)(290-303, 306-319)	M	17	14	.	.	186 (118-282)	.	118 (80-176)	97 (76-123)	.	.	↑	2 😊





Tabella 14C - Montelupone	Genere	Osservati	Attesi	Cluster sign.	SIR cluster	Tasso std. * 100000 (ic)	Tasso std. > Media reg.	SIR (ic)	BIR (ic)	SIR sign.	BIR sign.	Trend	Livello attenzione
Causa (ICD-IX)													
Malattie neuro-psichiatriche (escluse tossicod.)(290-303, 306-319)	M + F	28	26	.	.	151 (107-212)	.	107 (79-146)	97 (78-121)	.	.	→	1
Malattie del sistema nervoso e degli organi di senso(320-389)	F	58	63	.	.	662 (525-832)	.	92 (74-115)	91 (78-105)	.	.	↓	0 
Malattie del sistema nervoso e degli organi di senso(320-389)	M	47	57	.	.	536 (414-686)	.	82 (65-104)	87 (75-102)	.	.	↓	0 
Malattie del sistema nervoso e degli organi di senso(320-389)	M + F	105	120	.	.	601 (508-712)	.	87 (74-103)	88 (78-100)	.	.	↓	0 
Malattia di Alzheimer(3310)	F	<5	<5	.	.	53 (18-129)	.	117 (52-260)	95 (49-173)	.	.	n.c.	1
Malattia di Alzheimer(3310)	M	0	2	.	.	0 (0-40)	.	0 (.-.)	66 (29-138)	.	.	n.c.	1
Malattia di Alzheimer(3310)	M + F	<5	>5	.	.	28 (9-67)	.	74 (33-166)	80 (46-137)	.	.	n.c.	1
Morbo di Parkinson(3320)	F	0	1	.	.	0 (0-52)	.	0 (.-.)	105 (57-179)	.	.	n.c.	1
Morbo di Parkinson(3320)	M	<5	<5	.	.	11 (1-57)	.	90 (20-401)	118 (67-193)	.	.	n.c.	1
Morbo di Parkinson(3320)	M + F	<5	<5	.	.	5 (0-34)	.	54 (12-241)	113 (74-167)	.	.	n.c.	1
Malattia dei neuroni motori(3352)	F	0	0	.	.	0 (0-52)	.	0 (.-.)	108 (51-219)	.	.	n.c.	1
Malattia dei neuroni motori(3352)	M	<5	<5	.	.	12 (1-61)	.	251 (56-1127)	112 (71-180)	.	.	n.c.	1
Malattia dei neuroni motori(3352)	M + F	<5	<5	.	.	6 (0-36)	.	136 (30-610)	108 (84-140)	.	.	n.c.	1
Sclerosi multipla(340)	F	<5	<5	.	.	33 (9-99)	.	256 (102-640)	101 (83-127)	↑	.	n.c.	3 
Sclerosi multipla(340)	M	0	1	.	.	0 (0-40)	.	0 (.-.)	103 (71-137)	.	.	n.c.	1
Sclerosi multipla(340)	M + F	<5	<5	.	.	17 (5-51)	.	160 (64-401)	104 (80-137)	.	.	n.c.	1
Malattie cardiache(390-429)	F	48	48	.	.	596 (461-765)	.	99 (78-126)	96 (84-110)	.	.	→	1









Tabella 14C - Montelupone	Genere	Osservati	Attesi	Cluster sign.	SIR cluster	Tasso std. * 100000 (ic)	Tasso std. > Media reg.	SIR (ic)	BIR (ic)	SIR sign.	BIR sign.	Trend	Livello attenzione
Causa (ICD-IX)													
Malattie cardiache(390-429)	M	64	68	.	.	728 (584-900)	.	94 (76-115)	99 (89-110)	.	.	→	1
Malattie cardiache(390-429)	M + F	112	117	.	.	659 (559-776)	.	96 (82-112)	97 (88-107)	.	.	→	1
Malattie dell'apparato circolatorio(390-459)	F	94	85	.	.	1159 (968-1383)	.	110 (93-131)	104 (94-114)	.	.	→	1
Malattie dell'apparato circolatorio(390-459)	M	110	109	2	106	1254 (1063-1472)	.	101 (86-118)	102 (94-111)	.	.	→	1
Malattie dell'apparato circolatorio(390-459)	M + F	204	194	.	.	1204 (1068-1357)	.	105 (94-118)	104 (96-112)	.	.	→	1
Malattie ischemiche del cuore(410-4149)	F	14	17	.	.	174 (105-279)	.	85 (55-131)	93 (74-113)	.	.	n.c.	1
Malattie ischemiche del cuore(410-4149)	M	20	34	.	.	232 (154-340)	.	59 (41-85)	90 (75-105)	↓	.	→	0 
Malattie ischemiche del cuore(410-4149)	M + F	34	51	.	.	202 (148-273)	.	67 (51-89)	86 (73-100)	↓	.	→	0 
Insufficienza cardiaca (scompenso cardiaco)(428)	F	14	20	.	.	185 (111-296)	.	70 (46-109)	85 (69-103)	.	.	→	1
Insufficienza cardiaca (scompenso cardiaco)(428)	M	18	21	.	.	202 (130-304)	.	86 (59-127)	97 (80-116)	.	.	→	1
Insufficienza cardiaca (scompenso cardiaco)(428)	M + F	32	41	.	.	193 (140-265)	.	78 (59-105)	88 (74-105)	.	.	→	1
Malattie cerebrovascolari(430-438)	F	34	28	2	114	437 (321-588)	.	121 (91-160)	111 (95-131)	.	.	↓	1
Malattie cerebrovascolari(430-438)	M	42	32	.	.	483 (367-628)	↑	133 (103-171)	113 (97-131)	↑	.	→	3 
Malattie cerebrovascolari(430-438)	M + F	76	60	2	112	459 (376-560)	↑	127 (105-153)	115 (101-132)	↑	↑	→	5 
Malattie dell'apparato respiratorio(460-5199)	F	48	58	.	.	564 (436-726)	.	83 (66-106)	90 (78-102)	.	.	→	1
Malattie dell'apparato respiratorio(460-5199)	M	79	77	.	.	878 (721-1062)	.	103 (85-124)	100 (89-112)	.	.	↓	0 
Malattie dell'apparato respiratorio(460-5199)	M + F	127	134	.	.	715 (613-834)	.	94 (82-109)	95 (85-106)	.	.	↓	0 






Tabella 14C - Montelupone	Genere	Osservati	Attesi	Cluster sign.	SIR cluster	Tasso std. * 100000 (ic)	Tasso std. > Media reg.	SIR (ic)	BIR (ic)	SIR sign.	BIR sign.	Trend	Livello attenzione
Causa (ICD-IX)													
Malattie polmonari cronico ostruttive(490-492, 494, 496)	F	5	4	.	.	61 (24-138)	.	114 (56-235)	97 (62-144)	.	.	n.c.	1
Malattie polmonari cronico ostruttive(490-492, 494, 496)	M	7	7	.	.	73 (34-142)	.	105 (57-194)	102 (73-140)	.	.	n.c.	1
Malattie polmonari cronico ostruttive(490-492, 494, 496)	M + F	12	11	.	.	67 (38-114)	.	109 (68-174)	103 (74-141)	.	.	↓	0 
Pneumoconiosi(500-505)	F	0	0	.	.	0 (0-52)	.	0 (.-.)	83 (9-389)	.	.	n.c.	1
Pneumoconiosi(500-505)	M	<5	<5	.	.	12 (1-60)	.	844 (188-3784)	67 (22-181)	↑	.	n.c.	1
Pneumoconiosi(500-505)	M + F	<5	<5	.	.	6 (0-35)	.	748 (167-3355)	80 (35-155)	↑	.	n.c.	1
Malattie dell'apparato digerente(520-579)	F	99	75	.	.	1129 (948-1343)	↑	133 (113-157)	108 (99-120)	↑	.	→	3 
Malattie dell'apparato digerente(520-579)	M	127	108	.	.	1449 (1243-1682)	↑	118 (102-136)	106 (98-115)	↑	.	→	3 
Malattie dell'apparato digerente(520-579)	M + F	226	183	1	112	1283 (1145-1437)	↑	124 (111-138)	110 (102-119)	↑	↑	→	5 
Cirrosi e altre malattie croniche del fegato(571)	F	<5	<5	.	.	25 (4-90)	.	108 (36-327)	103 (83-128)	.	.	n.c.	1
Cirrosi e altre malattie croniche del fegato(571)	M	0	4	.	.	0 (0-40)	.	0 (.-.)	94 (66-124)	.	.	n.c.	1
Cirrosi e altre malattie croniche del fegato(571)	M + F	<5	>5	.	.	13 (2-47)	.	36 (12-110)	99 (77-121)	.	.	n.c.	1
Nefropatie croniche e acute(580-589)	F	6	8	.	.	74 (32-155)	.	80 (42-155)	95 (68-131)	.	.	n.c.	1
Nefropatie croniche e acute(580-589)	M	11	11	.	.	128 (71-215)	.	100 (61-164)	95 (72-124)	.	.	n.c.	1
Nefropatie croniche e acute(580-589)	M + F	17	19	.	.	100 (63-155)	.	92 (62-137)	95 (75-121)	.	.	→	1
Malattie dell'apparato urinario(580-599)	F	24	20	1	122	291 (200-417)	.	117 (84-164)	107 (86-132)	.	.	→	1
Malattie dell'apparato urinario(580-599)	M	43	31	.	.	498 (380-646)	↑	139 (109-179)	112 (96-131)	↑	.	→	3 






Tabella 14C - Montelupone														
Causa (ICD-IX)	Genere	Osservati	Attesi	Cluster sign.	SIR cluster	Tasso std. * 100000 (ic)	Tasso std. > Media reg.	SIR (ic)	BIR (ic)	SIR sign.	BIR sign.	Trend	Livello attenzione	
Malattie dell'apparato urinario(580-599)	M + F	67	51	1	118	391 (315-483)	↑	131 (107-160)	115 (99-133)	↑	,	→	3	
Endometriosi(617)	F	<5	<5	.	.	21 (4-82)	.	59 (20-178)	93 (64-134)	.	,	n.c.	1	
Malformazioni congenite(740-759)	F	6	12	.	.	59 (26-131)	.	51 (27-99)	84 (68-102)	↓	,	n.c.	0	
Malformazioni congenite(740-759)	M	20	17	.	.	226 (150-332)	.	119 (82-171)	94 (79-114)	.	,	→	1	
Malformazioni congenite(740-759)	M + F	26	29	.	.	140 (98-199)	.	91 (66-126)	88 (75-103)	.	,	→	1	

Tabella 15C. Incidenza di primi ricoveri ospedalieri per causa nel comune di Morrovalle, tutte le età, periodo di osservazione 2009-2013

Tabella 15C - Morrovalle	Genere	Osservati	Attesi	Cluster sign.	SIR cluster	Tasso std. * 100000 (ic)	Tasso std. > Media reg.	SIR (ic)	BIR (ic)	SIR sign.	BIR sign.	Trend	Livello attenzione
Causa (ICD-IX)													
Malattie infettive(001-139)	F	38	40	.	.	143 (107-391)	.	95 (73-124)	97 (80-117)	.	.	→	1
Malattie infettive(001-139)	M	60	48	.	.	233 (186-291)	↑	125 (101-154)	115 (96-137)	↑	.	→	3 ☹️
Malattie infettive(001-139)	M + F	98	88	.	.	186 (156-316)	.	111 (94-131)	109 (94-126)	.	.	→	1
Tumori maligni delle vie aeree e digestive superiori(140-150, 161)	F	<5	<5	.	.	17 (6-272)	.	146 (66-326)	106 (78-145)	.	.	n.c.	1
Tumori maligni delle vie aeree e digestive superiori(140-150, 161)	M	>5	>5	.	.	26 (11-53)	.	80 (41-154)	100 (79-122)	.	.	n.c.	1
Tumori maligni delle vie aeree e digestive superiori(140-150, 161)	M + F	10	10	.	.	21 (11-153)	.	97 (58-163)	102 (84-122)	.	.	n.c.	1
Tumori maligni(140-208)	F	150	145	.	.	652 (567-912)	.	103 (90-118)	102 (94-112)	.	.	→	1
Tumori maligni(140-208)	M	156	165	.	.	675 (589-773)	.	95 (83-108)	99 (91-108)	.	.	→	1
Tumori maligni(140-208)	M + F	306	310	.	.	663 (602-807)	.	99 (90-108)	101 (94-108)	.	.	→	1
Tumori maligni dell'esofago(150)	F	0	0	.	.	0 (0-257)	.	0 (.-.)	98 (62-144)	.	.	n.c.	1
Tumori maligni dell'esofago(150)	M	<5	<5	.	.	4 (0-22)	.	97 (22-435)	105 (70-143)	.	.	n.c.	1
Tumori maligni dell'esofago(150)	M + F	<5	<5	.	.	2 (0-135)	.	72 (16-321)	93 (65-127)	.	.	n.c.	1
Tumori maligni dello stomaco(151)	F	9	6	.	.	41 (21-294)	.	145 (84-250)	107 (79-145)	.	.	n.c.	1
Tumori maligni dello stomaco(151)	M	13	9	2	143	56 (33-91)	.	151 (96-237)	116 (90-154)	.	.	→	1
Tumori maligni dello stomaco(151)	M + F	22	15	.	.	48 (33-178)	↑	148 (105-210)	119 (94-151)	↑	.	→	3 ☹️
Tumori maligni dell'intestino tenue, compreso il duodeno(152)	F	0	0	.	.	0 (0-257)	.	0 (.-.)	91 (43-153)	.	.	n.c.	1

Tabella 15C - Morrovalle	Genere	Osservati	Attesi	Cluster sign.	SIR cluster	Tasso std. * 100000 (ic)	Tasso std. > Media reg.	SIR (ic)	BIR (ic)	SIR sign.	BIR sign.	Trend	Livello attenzione
Causa (ICD-IX)													
Tumori maligni dell'intestino tenue, compreso il duodeno(152)	M	0	1	.	.	0 (0-16)	.	0 (.-.)	107 (73-141)	,	,	n.c.	1
Tumori maligni dell'intestino tenue, compreso il duodeno(152)	M + F	0	1	.	.	0 (0-133)	.	0 (.-.)	103 (68-134)	,	,	n.c.	1
Tumori maligni del colon(153)	F	9	15	.	.	40 (21-294)	.	62 (36-106)	97 (77-118)	,	,	n.c.	1
Tumori maligni del colon(153)	M	20	18	.	.	87 (57-128)	.	110 (76-158)	105 (89-124)	,	,	→	1
Tumori maligni del colon(153)	M + F	29	33	.	.	63 (45-192)	.	88 (65-120)	101 (86-119)	,	,	→	1
Tumori maligni del colon-retto(153-154)	F	18	20	.	.	78 (50-329)	.	92 (63-136)	102 (87-119)	,	,	n.c.	1
Tumori maligni del colon-retto(153-154)	M	28	26	.	.	121 (86-167)	.	108 (79-148)	103 (91-118)	,	,	→	1
Tumori maligni del colon-retto(153-154)	M + F	46	45	.	.	99 (76-228)	.	101 (80-129)	104 (91-118)	,	,	→	1
Tumori maligni del retto, della giunzione retto-sigmoidea e dell'ano(154)	F	10	6	.	.	42 (23-295)	.	160 (95-267)	103 (89-125)	,	,	n.c.	1
Tumori maligni del retto, della giunzione retto-sigmoidea e dell'ano(154)	M	10	10	.	.	42 (23-73)	.	106 (63-177)	99 (85-117)	,	,	→	1
Tumori maligni del retto, della giunzione retto-sigmoidea e dell'ano(154)	M + F	20	16	.	.	42 (28-172)	.	127 (88-183)	103 (89-122)	,	,	→	1
Tumore fegato e dotti biliari(1550-1551)	F	<5	<5	.	.	4 (0-260)	.	62 (14-279)	89 (57-136)	,	,	n.c.	1
Tumore fegato e dotti biliari(1550-1551)	M	<5	<5	.	.	13 (4-36)	.	84 (34-211)	100 (75-134)	,	,	n.c.	1
Tumore fegato e dotti biliari(1550-1551)	M + F	<5	>5	.	.	9 (3-141)	.	78 (35-173)	99 (73-136)	,	,	n.c.	1
Tumori maligni del pancreas(157)	F	>5	>5	.	.	23 (9-278)	.	108 (53-222)	100 (80-123)	,	,	n.c.	1
Tumori maligni del pancreas(157)	M	<5	>5	.	.	17 (6-42)	.	78 (35-174)	99 (84-112)	,	,	n.c.	1
Tumori maligni del pancreas(157)	M + F	9	10	.	.	20 (11-152)	.	92 (54-159)	99 (87-112)	,	,	n.c.	1

Tabella 15C - Morrovalle	Genere	Osservati	Attesi	Cluster sign.	SIR cluster	Tasso std. * 100000 (ic)	Tasso std. > Media reg.	SIR (ic)	BIR (ic)	SIR sign.	BIR sign.	Trend	Livello attenzione
Causa (ICD-IX)													
Tumore del retroperitoneo(1580)	F	0	0	.	.	0 (0-257)	.	0 (.-.)	103 (58-165)	,	,	n.c.	1
Tumore del retroperitoneo(1580)	M	0	0	.	.	0 (0-16)	.	0 (.-.)	77 (22-170)	,	,	n.c.	1
Tumore del retroperitoneo(1580)	M + F	0	1	.	.	0 (0-133)	.	0 (.-.)	97 (55-147)	,	,	n.c.	1
Tumori maligni del naso(1600)	F	0	0	.	.	0 (0-257)	.	0 (.-.)	65 (30-128)	,	,	n.c.	1
Tumori maligni del naso(1600)	M	0	0	.	.	0 (0-16)	.	0 (.-.)	123 (54-272)	,	,	n.c.	1
Tumori maligni del naso(1600)	M + F	0	0	.	.	0 (0-133)	.	0 (.-.)	101 (45-209)	,	,	n.c.	1
Tumori maligni della laringe(161)	F	0	0	.	.	0 (0-257)	.	0 (.-.)	101 (42-175)	,	,	n.c.	1
Tumori maligni della laringe(161)	M	<5	<5	.	.	8 (1-29)	.	59 (20-179)	102 (79-126)	,	,	n.c.	1
Tumori maligni della laringe(161)	M + F	<5	<5	.	.	4 (1-137)	.	53 (18-160)	104 (80-124)	,	,	n.c.	1
Tumori maligni della trachea, dei bronchi e dei polmoni(162)	F	6	7	.	.	27 (12-281)	.	85 (44-165)	95 (71-121)	,	,	n.c.	1
Tumori maligni della trachea, dei bronchi e dei polmoni(162)	M	19	21	.	.	85 (56-126)	.	92 (63-134)	101 (86-115)	,	,	→	1
Tumori maligni della trachea, dei bronchi e dei polmoni(162)	M + F	25	28	.	.	55 (38-184)	.	90 (65-125)	99 (87-112)	,	,	→	1
Tumori maligni della pleura(163)	F	<5	<5	.	.	5 (0-261)	.	277 (62-1243)	105 (54-178)	,	,	n.c.	1
Tumori maligni della pleura(163)	M	<5	<5	.	.	4 (0-22)	.	110 (25-494)	73 (31-156)	,	,	n.c.	1
Tumori maligni della pleura(163)	M + F	<5	<5	.	.	4 (1-137)	.	158 (52-477)	84 (45-154)	,	,	n.c.	1
Mesoteliomi pleurici e peritoneali(1588, 163)	F	<5	<5	.	.	5 (0-261)	.	197 (44-884)	101 (53-173)	,	,	n.c.	1
Mesoteliomi pleurici e peritoneali(1588, 163)	M	<5	<5	.	.	4 (0-22)	.	105 (23-472)	73 (35-145)	,	,	n.c.	1

Tabella 15C - Morrovalle	Genere	Osservati	Attesi	Cluster sign.	SIR cluster	Tasso std. * 100000 (ic)	Tasso std. > Media reg.	SIR (ic)	BIR (ic)	SIR sign.	BIR sign.	Trend	Livello attenzione
Causa (ICD-IX)													
Mesoteliomi pleurici e peritoneali(1588, 163)	M + F	<5	<5	.	.	4 (1-137)	.	137 (45-415)	92 (50-165)	.	.	n.c.	1
Tumori maligni delle ossa e della cartilagine articolare(170)	F	<5	<5	.	.	12 (3-268)	.	460 (184-1151)	124 (83-225)	↑	.	n.c.	3 ☹️
Tumori maligni delle ossa e della cartilagine articolare(170)	M	<5	<5	.	.	4 (0-23)	.	138 (31-620)	98 (75-127)	.	.	n.c.	1
Tumori maligni delle ossa e della cartilagine articolare(170)	M + F	<5	<5	.	.	8 (3-141)	.	291 (131-648)	108 (84-144)	↑	.	n.c.	3 ☹️
Tumori maligni del connettivo e di altri tessuti molli(171)	F	<5	<5	.	.	4 (0-260)	.	77 (17-343)	96 (65-128)	.	.	n.c.	1
Tumori maligni del connettivo e di altri tessuti molli(171)	M	0	2	.	.	0 (0-16)	.	0 (.-)	85 (50-127)	.	.	n.c.	1
Tumori maligni del connettivo e di altri tessuti molli(171)	M + F	<5	<5	.	.	2 (0-135)	.	31 (7-139)	80 (48-121)	.	.	n.c.	1
Melanoma maligno della pelle(172)	F	>5	<5	.	.	21 (8-276)	.	145 (71-299)	92 (64-137)	.	.	n.c.	1
Melanoma maligno della pelle(172)	M	<5	<5	.	.	12 (3-34)	.	80 (32-201)	77 (51-112)	.	.	n.c.	1
Melanoma maligno della pelle(172)	M + F	8	7	.	.	17 (8-148)	.	112 (63-198)	84 (60-117)	.	.	n.c.	1
Tumori maligni della mammella(174-175)	F	46	44	.	.	198 (152-447)	.	106 (83-134)	103 (89-119)	.	.	→	1
Tumori maligni della mammella(174-175)	M	0	0	.	.	0 (0-16)	.	0 (.-)	94 (53-160)	.	.	n.c.	1
Tumori maligni della mammella(174-175)	M + F	46	44	.	.	103 (79-232)	.	105 (82-133)	103 (89-118)	.	.	→	1
Tumori maligni dell'utero(179-180, 182)	F	6	9	.	.	25 (11-280)	.	64 (33-123)	102 (83-118)	.	.	n.c.	1
Tumori maligni del corpo dell'utero(182)	F	<5	>5	.	.	12 (3-268)	.	50 (20-125)	97 (73-117)	.	.	n.c.	1
Tumori maligni dell'ovaio e degli altri annessi uterini(183)	F	<5	<5	.	.	9 (2-265)	.	45 (15-136)	99 (80-115)	.	.	n.c.	1
Tumore della prostata(185)	M	23	25	2	121	104 (71-148)	.	93 (66-131)	111 (93-131)	.	.	→	1


Tabella 15C - Morrovalle	Genere	Osservati	Attesi	Cluster sign.	SIR cluster	Tasso std. * 100000 (ic)	Tasso std. > Media reg.	SIR (ic)	BIR (ic)	SIR sign.	BIR sign.	Trend	Livello attenzione
Causa (ICD-IX)													
Tumore del testicolo(186)	M	0	2	.	.	0 (0-16)	.	0 (.-.)	101 (74-124)	,	,	n.c.	1
Tumori maligni della vescica(188)	F	7	5	.	.	31 (14-285)	.	149 (81-274)	103 (87-122)	,	,	n.c.	1
Tumori maligni della vescica(188)	M	23	22	.	.	100 (68-143)	.	105 (75-148)	100 (89-112)	,	,	→	1
Tumori maligni della vescica(188)	M + F	30	27	.	.	64 (46-193)	.	113 (84-152)	100 (89-112)	,	,	→	1
Tumori maligni del rene e di altri e non specificati organi urinari(189)	F	<5	<5	.	.	5 (0-261)	.	23 (5-105)	92 (73-111)	,	,	n.c.	1
Tumori maligni del rene e di altri e non specificati organi urinari(189)	M	>5	>5	.	.	36 (18-66)	.	85 (48-151)	99 (80-120)	,	,	n.c.	1
Tumori maligni del rene e di altri e non specificati organi urinari(189)	M + F	9	14	.	.	20 (10-151)	.	66 (38-113)	94 (77-112)	,	,	n.c.	1
Tumori maligni dell'encefalo(191)	F	<5	<5	.	.	14 (4-270)	.	106 (42-264)	91 (67-125)	,	,	n.c.	1
Tumori maligni dell'encefalo(191)	M	<5	<5	.	.	9 (2-31)	.	49 (16-149)	103 (79-126)	,	,	n.c.	1
Tumori maligni dell'encefalo(191)	M + F	5	7	.	.	12 (5-144)	.	73 (35-149)	96 (74-117)	,	,	n.c.	1
Tumori maligni del sistema nervoso centrale(191-192)	F	<5	<5	.	.	19 (7-274)	.	122 (55-271)	94 (72-120)	,	,	n.c.	1
Tumori maligni del sistema nervoso centrale(191-192)	M	<5	<5	.	.	9 (2-31)	.	46 (15-138)	101 (70-122)	,	,	n.c.	1
Tumori maligni del sistema nervoso centrale(191-192)	M + F	6	8	.	.	14 (6-146)	.	78 (40-151)	95 (71-118)	,	,	n.c.	1
Tumori maligni della ghiandola tiroide(193)	F	>5	>5	2	165	28 (13-282)	.	113 (61-208)	110 (81-145)	,	,	n.c.	1
Tumori maligni della ghiandola tiroide(193)	M	<5	<5	.	.	8 (1-27)	.	95 (31-286)	103 (69-152)	,	,	n.c.	1
Tumori maligni della ghiandola tiroide(193)	M + F	9	8	2	141	18 (9-150)	.	108 (63-186)	115 (87-147)	,	,	n.c.	1
Linfoma non Hodgkin(200, 202)	F	9	5	.	.	40 (21-294)	↑	181 (105-311)	104 (87-135)	↑	,	n.c.	3 





Tabella 15C - Morrovalle	Genere	Osservati	Attesi	Cluster sign.	SIR cluster	Tasso std. * 100000 (ic)	Tasso std. > Media reg.	SIR (ic)	BIR (ic)	SIR sign.	BIR sign.	Trend	Livello attenzione
Causa (ICD-IX)													
Linfoma non Hodgkin(200, 202)	M	8	7	.	.	33 (16-61)	.	115 (65-204)	103 (82-131)	,	,	n.c.	1
Linfoma non Hodgkin(200, 202)	M + F	17	12	.	.	37 (23-167)	.	142 (96-212)	110 (91-137)	,	,	n.c.	1
Tumori emolinfopoiетici(200-208)	F	12	11	.	.	53 (30-305)	.	111 (69-178)	101 (84-123)	,	,	→	1
Tumori emolinfopoiетici(200-208)	M	14	14	.	.	58 (35-93)	.	99 (64-153)	98 (83-115)	,	,	→	1
Tumori emolinfopoiетici(200-208)	M + F	26	25	.	.	55 (39-185)	.	104 (76-144)	100 (85-117)	,	,	→	1
Malattia di Hodgkin(201)	F	0	1	.	.	0 (0-257)	.	0 (.-.)	108 (87-133)	,	,	n.c.	1
Malattia di Hodgkin(201)	M	0	1	.	.	0 (0-16)	.	0 (.-.)	96 (73-123)	,	,	n.c.	1
Malattia di Hodgkin(201)	M + F	0	2	.	.	0 (0-133)	.	0 (.-.)	99 (70-128)	,	,	n.c.	1
Mieloma multiplo e tumori immunoproliferativi(203)	F	<5	<5	.	.	5 (0-261)	.	48 (11-215)	94 (70-123)	,	,	n.c.	1
Mieloma multiplo e tumori immunoproliferativi(203)	M	<5	<5	.	.	13 (3-35)	.	114 (46-285)	96 (67-141)	,	,	n.c.	1
Mieloma multiplo e tumori immunoproliferativi(203)	M + F	<5	>5	.	.	8 (3-141)	.	85 (38-189)	93 (67-128)	,	,	n.c.	1
Leucemie(204-208)	F	<5	<5	.	.	8 (1-264)	.	62 (21-188)	94 (67-123)	,	,	n.c.	1
Leucemie(204-208)	M	<5	>5	.	.	17 (6-41)	.	88 (40-196)	93 (71-114)	,	,	n.c.	1
Leucemie(204-208)	M + F	6	8	.	.	12 (5-144)	.	77 (40-150)	88 (67-113)	,	,	n.c.	1
Gozzo non tossico(240-241)	F	>5	>5	.	.	44 (25-297)	.	104 (64-170)	103 (77-136)	,	,	↓	0 
Gozzo non tossico(240-241)	M	<5	<5	.	.	4 (0-22)	.	28 (6-125)	87 (57-128)	,	,	n.c.	1
Gozzo non tossico(240-241)	M + F	12	14	.	.	25 (14-156)	.	85 (53-136)	96 (72-126)	,	,	↓	0 
















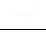

Tabella 15C - Morrovalle	Genere	Osservati	Attesi	Cluster sign.	SIR cluster	Tasso std. * 100000 (ic)	Tasso std. > Media reg.	SIR (ic)	BIR (ic)	SIR sign.	BIR sign.	Trend	Livello attenzione
Causa (ICD-IX)													
Malattie endocrine e della nutrizione(240-2799)	F	45	74	.	.	181 (138-429)	.	61 (47-77)	73 (62-86)	↓	↓	↓	0 
Malattie endocrine e della nutrizione(240-2799)	M	39	59	.	.	150 (113-199)	.	66 (51-86)	76 (64-89)	↓	↓	↓	0 
Malattie endocrine e della nutrizione(240-2799)	M + F	84	134	.	.	166 (137-295)	.	63 (53-75)	71 (62-81)	↓	↓	↓	0 
Tireotossicosi(242)	F	<5	<5	.	.	16 (6-272)	.	113 (51-251)	98 (68-138)	.	.	n.c.	1 
Tireotossicosi(242)	M	<5	<5	.	.	8 (1-28)	.	154 (51-464)	96 (55-167)	.	.	n.c.	1 
Tireotossicosi(242)	M + F	6	5	.	.	12 (5-144)	.	124 (64-239)	100 (70-140)	.	.	n.c.	1 
Ipotiroidismo(243-244)	F	<5	<5	.	.	3 (0-260)	.	51 (11-230)	107 (73-145)	.	.	n.c.	1 
Ipotiroidismo(243-244)	M	<5	<5	.	.	7 (1-26)	.	121 (40-365)	104 (83-128)	.	.	n.c.	1 
Ipotiroidismo(243-244)	M + F	<5	<5	.	.	5 (1-138)	.	83 (33-208)	108 (90-128)	.	.	n.c.	1 
Diabete mellito(250)	F	>5	>5	.	.	26 (11-280)	.	50 (26-97)	53 (35-77)	↓	↓	n.c.	0 
Diabete mellito(250)	M	<5	>5	.	.	17 (6-40)	.	24 (11-54)	44 (31-63)	↓	↓	n.c.	0 
Diabete mellito(250)	M + F	10	29	.	.	21 (11-153)	.	35 (21-59)	46 (33-62)	↓	↓	n.c.	0 
Malattie del sangue e degli organi emopoietici(280-289)	F	23	25	.	.	95 (65-346)	.	92 (65-130)	92 (72-118)	.	.	→	1 
Malattie del sangue e degli organi emopoietici(280-289)	M	29	22	.	.	120 (86-165)	.	130 (96-177)	106 (82-136)	.	.	→	1 
Malattie del sangue e degli organi emopoietici(280-289)	M + F	52	47	.	.	107 (84-236)	.	110 (88-138)	102 (84-123)	.	.	→	1 
Malattie neuro-psichiatriche (escluse tossicod.)(290-303, 306-319)	F	27	33	.	.	104 (73-354)	.	82 (60-112)	87 (71-106)	.	.	→	1 
Malattie neuro-psichiatriche (escluse tossicod.)(290-303, 306-319)	M	40	41	.	.	156 (118-205)	.	97 (75-126)	93 (77-112)	.	.	→	1 







Tabella 15C - Morrovalle													
Causa (ICD-IX)	Genere	Osservati	Attesi	Cluster sign.	SIR cluster	Tasso std. * 100000 (ic)	Tasso std. > Media reg.	SIR (ic)	BIR (ic)	SIR sign.	BIR sign.	Trend	Livello attenzione
Malattie neuro-psichiatriche (escluse tossicod.)(290-303, 306-319)	M + F	67	74	.	.	129 (104-258)	.	90 (74-111)	90 (76-106)	.	.	→	1
Malattie del sistema nervoso e degli organi di senso(320-389)	F	123	175	.	.	506 (433-760)	.	71 (61-82)	76 (67-85)	↓	↓	↓	0 
Malattie del sistema nervoso e degli organi di senso(320-389)	M	129	157	.	.	534 (459-619)	.	82 (71-95)	85 (75-94)	↓	↓	↓	0 
Malattie del sistema nervoso e degli organi di senso(320-389)	M + F	252	331	.	.	519 (466-658)	.	76 (69-84)	79 (72-86)	↓	↓	↓	0 
Malattia di Alzheimer(3310)	F	<5	>5	.	.	13 (4-269)	.	31 (12-77)	57 (33-95)	↓	↓	n.c.	0 
Malattia di Alzheimer(3310)	M	>5	>5	.	.	22 (9-48)	.	95 (46-195)	90 (50-155)	.	.	n.c.	1
Malattia di Alzheimer(3310)	M + F	8	15	.	.	17 (9-149)	.	53 (30-94)	69 (45-104)	↓	.	n.c.	0 
Morbo di Parkinson(3320)	F	<5	<5	2	189	14 (4-269)	.	144 (57-359)	133 (80-215)	.	.	n.c.	1
Morbo di Parkinson(3320)	M	<5	<5	.	.	13 (4-36)	.	99 (40-248)	120 (73-185)	.	.	n.c.	1
Morbo di Parkinson(3320)	M + F	6	5	.	.	14 (6-145)	.	117 (61-227)	129 (89-182)	.	.	n.c.	1
Malattia dei neuroni motori(3352)	F	<5	<5	.	.	4 (0-260)	.	110 (25-493)	113 (57-210)	.	.	n.c.	1
Malattia dei neuroni motori(3352)	M	<5	<5	.	.	13 (4-35)	.	280 (112-700)	118 (81-201)	↑	.	n.c.	3 
Malattia dei neuroni motori(3352)	M + F	<5	<5	.	.	8 (3-140)	.	202 (91-450)	111 (87-146)	.	.	n.c.	1
Sclerosi multipla(340)	F	<5	<5	.	.	16 (5-271)	.	118 (53-262)	100 (82-123)	.	.	n.c.	1
Sclerosi multipla(340)	M	<5	<5	.	.	15 (5-38)	.	199 (89-443)	107 (81-149)	.	.	n.c.	1
Sclerosi multipla(340)	M + F	8	5	.	.	16 (8-147)	.	148 (83-262)	106 (85-137)	.	.	n.c.	1
Malattie cardiache(390-429)	F	123	136	.	.	538 (460-794)	.	91 (78-105)	94 (84-104)	.	.	→	1

Tabella 15C - Morrovalle	Genere	Osservati	Attesi	Cluster sign.	SIR cluster	Tasso std. * 100000 (ic)	Tasso std. > Media reg.	SIR (ic)	BIR (ic)	SIR sign.	BIR sign.	Trend	Livello attenzione
Causa (ICD-IX)													
Malattie cardiache(390-429)	M	204	185	.	.	867 (769-975)	↑	110 (98-124)	106 (97-115)	.	.	→	1
Malattie cardiache(390-429)	M + F	327	321	.	.	696 (634-840)	.	102 (93-112)	102 (94-109)	.	.	→	1
Malattie dell'apparato circolatorio(390-459)	F	245	239	.	.	1055 (946-1326)	.	102 (92-114)	103 (95-111)	.	.	→	1
Malattie dell'apparato circolatorio(390-459)	M	322	297	2	106	1350 (1229-1483)	↑	108 (99-119)	106 (99-114)	.	.	→	2 😊
Malattie dell'apparato circolatorio(390-459)	M + F	567	536	.	.	1197 (1115-1354)	↑	106 (99-113)	106 (100-112)	.	.	→	1
Malattie ischemiche del cuore(410-4149)	F	44	46	.	.	193 (148-442)	.	95 (74-122)	99 (84-117)	.	.	→	1
Malattie ischemiche del cuore(410-4149)	M	95	92	2	114	405 (339-482)	.	103 (87-122)	105 (93-118)	.	.	↑	3 😞
Malattie ischemiche del cuore(410-4149)	M + F	139	138	2	113	295 (255-428)	.	100 (87-116)	103 (92-115)	.	.	→	1
Insufficienza cardiaca (scompenso cardiaco)(428)	F	51	57	.	.	225 (176-474)	.	90 (71-113)	91 (77-106)	.	.	→	1
Insufficienza cardiaca (scompenso cardiaco)(428)	M	60	56	.	.	258 (206-322)	.	107 (87-132)	102 (88-119)	.	.	→	1
Insufficienza cardiaca (scompenso cardiaco)(428)	M + F	111	113	.	.	241 (205-372)	.	98 (84-115)	98 (86-111)	.	.	→	1
Malattie cerebrovascolari(430-438)	F	92	80	2	114	400 (334-653)	.	116 (97-137)	111 (98-125)	.	.	↓	1
Malattie cerebrovascolari(430-438)	M	105	85	.	.	454 (383-535)	↑	124 (105-145)	114 (101-129)	↑	↑	→	5 🧡
Malattie cerebrovascolari(430-438)	M + F	197	164	2	112	426 (377-563)	↑	120 (107-135)	115 (104-127)	↑	↑	→	5 🧡
Malattie dell'apparato respiratorio(460-5199)	F	142	162	.	.	564 (488-819)	.	88 (76-101)	89 (80-98)	.	↓	→	0 😊
Malattie dell'apparato respiratorio(460-5199)	M	234	216	.	.	947 (847-1058)	.	108 (97-120)	102 (93-111)	.	.	→	1
Malattie dell'apparato respiratorio(460-5199)	M + F	376	378	.	.	749 (686-892)	.	99 (91-108)	97 (90-104)	.	.	→	1


Tabella 15C - Morrovalle													
Causa (ICD-IX)	Genere	Osservati	Attesi	Cluster sign.	SIR cluster	Tasso std. * 100000 (ic)	Tasso std. > Media reg.	SIR (ic)	BIR (ic)	SIR sign.	BIR sign.	Trend	Livello attenzione
Malattie polmonari cronico ostruttive(490-492, 494, 496)	F	16	12	.	.	71 (44-322)	.	130 (86-195)	99 (72-138)	,	,	→	1
Malattie polmonari cronico ostruttive(490-492, 494, 496)	M	23	18	.	.	97 (66-139)	.	128 (91-180)	110 (85-144)	,	,	→	1
Malattie polmonari cronico ostruttive(490-492, 494, 496)	M + F	39	30	.	.	83 (63-213)	.	129 (99-168)	113 (90-143)	,	,	→	1
Pneumoconiosi(500-505)	F	0	0	.	.	0 (0-257)	.	0 (.-.)	80 (8-334)	,	,	n.c.	1
Pneumoconiosi(500-505)	M	0	0	.	.	0 (0-16)	.	0 (.-.)	53 (14-129)	,	,	n.c.	1
Pneumoconiosi(500-505)	M + F	0	0	.	.	0 (0-133)	.	0 (.-.)	69 (27-119)	,	,	n.c.	1
Malattie dell'apparato digerente(520-579)	F	194	210	.	.	792 (700-1054)	.	92 (82-104)	96 (88-103)	,	,	→	1
Malattie dell'apparato digerente(520-579)	M	300	300	.	.	1227 (1112-1352)	.	100 (91-110)	100 (94-107)	,	,	→	1
Malattie dell'apparato digerente(520-579)	M + F	494	510	.	.	1001 (928-1152)	.	97 (90-104)	98 (92-104)	,	,	→	1
Cirrosi e altre malattie croniche del fegato(571)	F	<5	>5	.	.	13 (4-269)	.	58 (23-145)	99 (79-121)	,	,	n.c.	1
Cirrosi e altre malattie croniche del fegato(571)	M	>5	>5	.	.	25 (11-51)	.	60 (31-115)	91 (68-116)	,	,	n.c.	1
Cirrosi e altre malattie croniche del fegato(571)	M + F	9	15	.	.	19 (10-150)	.	59 (34-102)	93 (73-111)	,	,	n.c.	1
Nefropatie croniche e acute(580-589)	F	22	21	.	.	96 (65-346)	.	104 (73-147)	100 (78-129)	,	,	→	1
Nefropatie croniche e acute(580-589)	M	30	30	.	.	127 (91-174)	.	101 (75-136)	96 (77-118)	,	,	→	1
Nefropatie croniche e acute(580-589)	M + F	52	51	.	.	111 (87-240)	.	102 (81-128)	99 (82-118)	,	,	→	1
Malattie dell'apparato urinario(580-599)	F	58	58	.	.	246 (194-495)	.	101 (81-125)	102 (86-119)	,	,	→	1
Malattie dell'apparato urinario(580-599)	M	88	85	.	.	366 (304-439)	.	104 (87-124)	101 (89-114)	,	,	↓	0 


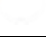
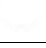


Tabella 15C - Morrovalle													
Causa (ICD-IX)	Genere	Osservati	Attesi	Cluster sign.	SIR cluster	Tasso std. * 100000 (ic)	Tasso std. > Media reg.	SIR (ic)	BIR (ic)	SIR sign.	BIR sign.	Trend	Livello attenzione
Malattie dell'apparato urinario(580-599)	M + F	146	142	.	.	304 (263-436)	.	103 (90-118)	102 (92-114)	,	,	↓	0 
Endometriosi(617)	F	9	10	.	.	32 (17-286)	.	89 (52-153)	93 (68-124)	,	,	→	1 
Malformazioni congenite(740-759)	F	26	32	.	.	93 (65-343)	.	80 (58-111)	87 (73-102)	,	,	→	1 
Malformazioni congenite(740-759)	M	32	50	.	.	121 (88-165)	.	64 (48-86)	81 (69-95)	↓	↓	→	0 
Malformazioni congenite(740-759)	M + F	58	82	.	.	106 (84-235)	.	70 (57-87)	82 (71-92)	↓	↓	→	0 

Tabella 16C. Incidenza di primi ricoveri ospedalieri per causa nel comune di Numana, tutte le età, periodo di osservazione 2009-2013




Tabella 16C - Numana	Genere	Osservati	Attesi	Cluster sign.	SIR cluster	Tasso std. * 100000 (ic)	Tasso std. > Media reg.	SIR (ic)	BIR (ic)	SIR sign.	BIR sign.	Trend	Livello attenzione
Causa (ICD-IX)													
Malattie infettive(001-139)	F	15	13	.	.	164 (100-259)	.	117 (77-178)	98 (72-132)	.	.	n.c.	1
Malattie infettive(001-139)	M	8	17	.	.	88 (44-165)	.	48 (27-85)	68 (50-92)	↓	↓	→	0 
Malattie infettive(001-139)	M + F	23	30	.	.	127 (86-183)	.	78 (55-109)	80 (62-102)	.	.	→	1
Tumori maligni delle vie aeree e digestive superiori(140-150, 161)	F	0	1	.	.	0 (0-43)	.	0 (.-.)	83 (56-118)	.	.	n.c.	1
Tumori maligni delle vie aeree e digestive superiori(140-150, 161)	M	<5	<5	.	.	10 (1-58)	.	35 (8-158)	93 (70-116)	.	.	n.c.	1
Tumori maligni delle vie aeree e digestive superiori(140-150, 161)	M + F	<5	<5	.	.	5 (0-30)	.	28 (6-124)	89 (68-111)	.	.	n.c.	1
Tumori maligni(140-208)	F	64	51	2	114	692 (555-858)	.	124 (101-153)	105 (94-119)	↑	.	→	3 
Tumori maligni(140-208)	M	76	64	2	108	781 (639-951)	.	118 (98-143)	106 (95-119)	.	.	→	1
Tumori maligni(140-208)	M + F	140	116	2	109	736 (636-850)	.	121 (105-139)	109 (99-120)	↑	.	→	3 
Tumori maligni dell'esofago(150)	F	0	0	.	.	0 (0-43)	.	0 (.-.)	88 (45-153)	.	.	n.c.	1
Tumori maligni dell'esofago(150)	M	<5	<5	.	.	10 (1-58)	.	291 (65-1306)	89 (60-134)	.	.	n.c.	1
Tumori maligni dell'esofago(150)	M + F	<5	<5	.	.	5 (0-30)	.	218 (49-975)	92 (58-146)	.	.	n.c.	1
Tumori maligni dello stomaco(151)	F	<5	<5	.	.	11 (1-61)	.	46 (10-206)	67 (40-103)	.	.	n.c.	1
Tumori maligni dello stomaco(151)	M	<5	<5	.	.	41 (14-101)	.	112 (50-250)	91 (61-131)	.	.	n.c.	1
Tumori maligni dello stomaco(151)	M + F	5	6	.	.	26 (10-58)	.	87 (42-179)	77 (53-109)	.	.	n.c.	1
Tumori maligni dell'intestino tenue, compreso il duodeno(152)	F	0	0	.	.	0 (0-43)	.	0 (.-.)	96 (46-186)	.	.	n.c.	1

Tabella 16C - Numana	Genere	Osservati	Attesi	Cluster sign.	SIR cluster	Tasso std. * 100000 (ic)	Tasso std. > Media reg.	SIR (ic)	BIR (ic)	SIR sign.	BIR sign.	Trend	Livello attenzione
Causa (ICD-IX)													
Tumori maligni dell'intestino tenue, compreso il duodeno(152)	M	<5	<5	.	.	29 (8-85)	↑	1131 (452-2831)	85 (58-133)	↑	.	n.c.	3 ☹️
Tumori maligni dell'intestino tenue, compreso il duodeno(152)	M + F	<5	<5	.	.	14 (4-43)	↑	697 (279-1745)	93 (68-154)	↑	.	n.c.	3 ☹️
Tumori maligni del colon(153)	F	8	5	.	.	91 (45-169)	.	160 (90-284)	108 (82-147)	.	.	n.c.	1 😊
Tumori maligni del colon(153)	M	9	7	.	.	98 (51-176)	.	133 (77-228)	107 (85-136)	.	.	n.c.	1 😊
Tumori maligni del colon(153)	M + F	17	12	.	.	94 (60-144)	.	144 (97-215)	112 (90-140)	.	.	n.c.	1 😊
Tumori maligni del colon-retto(153-154)	F	12	7	.	.	131 (75-218)	.	174 (109-278)	107 (88-135)	↑	.	n.c.	3 ☹️
Tumori maligni del colon-retto(153-154)	M	11	10	.	.	119 (66-202)	.	107 (65-174)	106 (90-127)	.	.	n.c.	1 😊
Tumori maligni del colon-retto(153-154)	M + F	23	17	.	.	125 (85-180)	.	134 (95-188)	111 (94-133)	.	.	n.c.	1 😊
Tumori maligni del retto, della giunzione retto-sigmoidea e dell'ano(154)	F	>5	<5	.	.	54 (21-122)	.	219 (107-449)	102 (86-127)	↑	.	n.c.	3 ☹️
Tumori maligni del retto, della giunzione retto-sigmoidea e dell'ano(154)	M	<5	<5	.	.	21 (4-74)	.	49 (16-147)	105 (85-124)	.	.	n.c.	1 😊
Tumori maligni del retto, della giunzione retto-sigmoidea e dell'ano(154)	M + F	7	6	.	.	38 (18-75)	.	109 (59-201)	105 (89-126)	.	.	n.c.	1 😊
Tumore fegato e dotti biliari(1550-1551)	F	0	1	.	.	0 (0-43)	.	0 (.-.)	83 (44-140)	.	.	n.c.	1 😊
Tumore fegato e dotti biliari(1550-1551)	M	<5	<5	.	.	31 (8-88)	.	228 (91-571)	92 (65-143)	.	.	n.c.	1 😊
Tumore fegato e dotti biliari(1550-1551)	M + F	<5	<5	.	.	15 (4-44)	.	154 (62-386)	90 (59-142)	.	.	n.c.	1 😊
Tumori maligni del pancreas(157)	F	0	2	.	.	0 (0-43)	.	0 (.-.)	94 (68-119)	.	.	n.c.	1 😊
Tumori maligni del pancreas(157)	M	<5	<5	.	.	10 (0-56)	.	48 (11-213)	102 (85-120)	.	.	n.c.	1 😊
Tumori maligni del pancreas(157)	M + F	<5	<5	.	.	5 (0-29)	.	27 (6-121)	99 (83-115)	.	.	n.c.	1 😊



Tabella 16C - Numana	Genere	Osservati	Attesi	Cluster sign.	SIR cluster	Tasso std. * 100000 (ic)	Tasso std. > Media reg.	SIR (ic)	BIR (ic)	SIR sign.	BIR sign.	Trend	Livello attenzione
Causa (ICD-IX)													
Tumore del retroperitoneo(1580)	F	0	0	.	.	0 (0-43)	.	0 (.-.)	65 (30-129)	,	,	n.c.	1
Tumore del retroperitoneo(1580)	M	0	0	2	270	0 (0-42)	.	0 (.-.)	95 (29-222)	,	,	n.c.	1
Tumore del retroperitoneo(1580)	M + F	0	0	.	.	0 (0-22)	.	0 (.-.)	89 (49-152)	,	,	n.c.	1
Tumori maligni del naso(1600)	F	0	0	.	.	0 (0-43)	.	0 (.-.)	160 (76-294)	,	,	n.c.	1
Tumori maligni del naso(1600)	M	0	0	.	.	0 (0-42)	.	0 (.-.)	64 (17-193)	,	,	n.c.	1
Tumori maligni del naso(1600)	M + F	0	0	.	.	0 (0-22)	.	0 (.-.)	90 (34-219)	,	,	n.c.	1
Tumori maligni della laringe(161)	F	0	0	.	.	0 (0-43)	.	0 (.-.)	59 (18-129)	,	,	n.c.	1
Tumori maligni della laringe(161)	M	0	1	.	.	0 (0-42)	.	0 (.-.)	92 (67-118)	,	,	n.c.	1
Tumori maligni della laringe(161)	M + F	0	1	.	.	0 (0-22)	.	0 (.-.)	91 (65-112)	,	,	n.c.	1
Tumori maligni della trachea, dei bronchi e dei polmoni(162)	F	<5	<5	.	.	35 (9-95)	.	127 (51-317)	93 (67-128)	,	,	n.c.	1
Tumori maligni della trachea, dei bronchi e dei polmoni(162)	M	>5	>5	.	.	86 (42-160)	.	105 (59-186)	99 (83-120)	,	,	n.c.	1
Tumori maligni della trachea, dei bronchi e dei polmoni(162)	M + F	11	10	.	.	59 (33-102)	.	110 (67-180)	97 (84-113)	,	,	→	1
Tumori maligni della pleura(163)	F	0	0	.	.	0 (0-43)	.	0 (.-.)	72 (33-154)	,	,	n.c.	1
Tumori maligni della pleura(163)	M	<5	<5	.	.	9 (0-55)	.	402 (90-1802)	107 (38-286)	,	,	n.c.	1
Tumori maligni della pleura(163)	M + F	<5	<5	2	217	4 (0-28)	.	297 (66-1332)	104 (46-240)	,	,	n.c.	1
Mesoteliomi pleurici e peritoneali(1588, 163)	F	0	0	.	.	0 (0-43)	.	0 (.-.)	83 (39-171)	,	,	n.c.	1
Mesoteliomi pleurici e peritoneali(1588, 163)	M	<5	<5	.	.	9 (0-55)	.	341 (76-1530)	109 (43-272)	,	,	n.c.	1

Tabella 16C - Numana	Genere	Osservati	Attesi	Cluster sign.	SIR cluster	Tasso std. * 100000 (ic)	Tasso std. > Media reg.	SIR (ic)	BIR (ic)	SIR sign.	BIR sign.	Trend	Livello attenzione
Causa (ICD-IX)													
Mesoteliomi pleurici e peritoneali(1588, 163)	M + F	<5	<5	.	.	4 (0-28)	.	226 (50-1012)	92 (43-196)	,	,	n.c.	1
Tumori maligni delle ossa e della cartilagine articolare(170)	F	0	0	.	.	0 (0-43)	.	0 (.-.)	72 (38-125)	,	,	n.c.	1
Tumori maligni delle ossa e della cartilagine articolare(170)	M	0	0	.	.	0 (0-42)	.	0 (.-.)	97 (70-132)	,	,	n.c.	1
Tumori maligni delle ossa e della cartilagine articolare(170)	M + F	0	0	.	.	0 (0-22)	.	0 (.-.)	86 (59-118)	,	,	n.c.	1
Tumori maligni del connettivo e di altri tessuti molli(171)	F	<5	<5	.	.	25 (4-83)	.	379 (125-1145)	109 (75-160)	↑	,	n.c.	3 ☹️
Tumori maligni del connettivo e di altri tessuti molli(171)	M	0	1	.	.	0 (0-42)	.	0 (.-.)	89 (45-159)	,	,	n.c.	1
Tumori maligni del connettivo e di altri tessuti molli(171)	M + F	<5	<5	.	.	13 (2-43)	.	170 (56-513)	103 (60-184)	,	,	n.c.	1
Melanoma maligno della pelle(172)	F	<5	<5	.	.	20 (4-73)	.	167 (55-503)	108 (66-175)	,	,	n.c.	1
Melanoma maligno della pelle(172)	M	<5	<5	2	157	28 (8-83)	.	197 (79-492)	111 (70-181)	,	,	n.c.	1
Melanoma maligno della pelle(172)	M + F	5	3	2	152	24 (9-56)	.	183 (89-377)	119 (79-186)	,	,	n.c.	1
Tumori maligni della mammella(174-175)	F	26	15	2	120	279 (195-393)	↑	169 (123-233)	116 (94-143)	↑	,	→	3 ☹️
Tumori maligni della mammella(174-175)	M	0	0	.	.	0 (0-42)	.	0 (.-.)	108 (51-222)	,	,	n.c.	1
Tumori maligni della mammella(174-175)	M + F	26	16	2	119	143 (100-201)	↑	167 (121-230)	116 (95-142)	↑	,	→	3 ☹️
Tumori maligni dell'utero(179-180, 182)	F	5	3	.	.	50 (20-113)	.	156 (76-321)	96 (80-118)	,	,	n.c.	1
Tumori maligni del corpo dell'utero(182)	F	<5	<5	.	.	20 (3-72)	.	89 (29-268)	97 (75-123)	,	,	n.c.	1
Tumori maligni dell'ovaio e degli altri annessi uterini(183)	F	0	2	.	.	0 (0-43)	.	0 (.-.)	93 (72-112)	,	,	n.c.	1
Tumore della prostata(185)	M	12	10	.	.	115 (67-194)	.	118 (74-189)	108 (85-138)	,	,	→	1

Tabella 16C - Numana	Genere	Osservati	Attesi	Cluster sign.	SIR cluster	Tasso std. * 100000 (ic)	Tasso std. > Media reg.	SIR (ic)	BIR (ic)	SIR sign.	BIR sign.	Trend	Livello attenzione
Causa (ICD-IX)													
Tumore del testicolo(186)	M	<5	<5	.	.	21 (4-74)	.	265 (88-801)	95 (69-133)	.	.	n.c.	1
Tumori maligni della vescica(188)	F	<5	<5	.	.	13 (1-64)	.	65 (15-294)	92 (75-112)	.	.	n.c.	1
Tumori maligni della vescica(188)	M	11	8	.	.	117 (65-199)	.	133 (81-217)	98 (85-113)	.	.	→	1
Tumori maligni della vescica(188)	M + F	12	10	.	.	64 (37-106)	.	122 (77-196)	98 (84-114)	.	.	→	1
Tumori maligni del rene e di altri e non specificati organi urinari(189)	F	<5	<5	.	.	9 (0-57)	.	59 (13-264)	103 (80-130)	.	.	n.c.	1
Tumori maligni del rene e di altri e non specificati organi urinari(189)	M	>5	<5	.	.	61 (27-128)	.	168 (87-324)	101 (82-129)	.	.	n.c.	1
Tumori maligni del rene e di altri e non specificati organi urinari(189)	M + F	7	5	2	125	35 (16-70)	.	133 (72-245)	103 (84-129)	.	.	n.c.	1
Tumori maligni dell'encefalo(191)	F	<5	<5	.	.	22 (4-77)	.	168 (56-507)	110 (77-160)	.	.	n.c.	1
Tumori maligni dell'encefalo(191)	M	<5	<5	.	.	10 (1-58)	.	75 (17-338)	89 (66-119)	.	.	n.c.	1
Tumori maligni dell'encefalo(191)	M + F	<5	<5	.	.	16 (4-46)	.	119 (48-298)	99 (75-131)	.	.	n.c.	1
Tumori maligni del sistema nervoso centrale(191-192)	F	<5	<5	.	.	22 (4-77)	.	151 (50-456)	107 (76-149)	.	.	n.c.	1
Tumori maligni del sistema nervoso centrale(191-192)	M	<5	<5	.	.	10 (1-58)	.	69 (15-311)	88 (62-117)	.	.	n.c.	1
Tumori maligni del sistema nervoso centrale(191-192)	M + F	<5	<5	.	.	16 (4-46)	.	108 (43-271)	97 (73-130)	.	.	n.c.	1
Tumori maligni della ghiandola tiroide(193)	F	<5	<5	.	.	30 (8-87)	.	111 (44-277)	101 (69-145)	.	.	n.c.	1
Tumori maligni della ghiandola tiroide(193)	M	0	1	.	.	0 (0-42)	.	0 (.-)	96 (52-163)	.	.	n.c.	1
Tumori maligni della ghiandola tiroide(193)	M + F	<5	<5	.	.	15 (4-44)	.	81 (32-202)	95 (63-139)	.	.	n.c.	1
Linfoma non Hodgkin(200, 202)	F	<5	<5	.	.	32 (9-90)	.	153 (61-383)	108 (87-148)	.	.	n.c.	1

Tabella 16C - Numana	Genere	Osservati	Attesi	Cluster sign.	SIR cluster	Tasso std. * 100000 (ic)	Tasso std. > Media reg.	SIR (ic)	BIR (ic)	SIR sign.	BIR sign.	Trend	Livello attenzione
Causa (ICD-IX)													
Linfoma non Hodgkin(200, 202)	M	<5	<5	.	.	10 (0-56)	.	40 (9-178)	93 (69-121)	,	,	n.c.	1
Linfoma non Hodgkin(200, 202)	M + F	<5	5	.	.	21 (7-52)	.	89 (40-199)	103 (79-134)	,	,	n.c.	1
Tumori emolinfopoiетici(200-208)	F	<5	<5	.	.	32 (9-90)	.	73 (29-184)	99 (77-125)	,	,	n.c.	1
Tumori emolinfopoiетici(200-208)	M	<5	>5	.	.	40 (14-99)	.	69 (31-155)	107 (85-134)	,	,	n.c.	1
Tumori emolinfopoiетici(200-208)	M + F	7	10	.	.	36 (17-71)	.	71 (39-131)	101 (81-125)	,	,	n.c.	1
Malattia di Hodgkin(201)	F	0	0	.	.	0 (0-43)	.	0 (.-)	84 (62-110)	,	,	n.c.	1
Malattia di Hodgkin(201)	M	<5	<5	.	.	9 (0-56)	.	221 (49-993)	104 (75-143)	,	,	n.c.	1
Malattia di Hodgkin(201)	M + F	<5	<5	.	.	5 (0-29)	.	125 (28-562)	91 (60-126)	,	,	n.c.	1
Mieloma multiplo e tumori immunoproliferativi(203)	F	0	1	.	.	0 (0-43)	.	0 (.-)	90 (56-128)	,	,	n.c.	1
Mieloma multiplo e tumori immunoproliferativi(203)	M	0	1	.	.	0 (0-42)	.	0 (.-)	93 (53-144)	,	,	n.c.	1
Mieloma multiplo e tumori immunoproliferativi(203)	M + F	0	2	.	.	0 (0-22)	.	0 (.-)	77 (44-120)	,	,	n.c.	1
Leucemie(204-208)	F	0	1	.	.	0 (0-43)	.	0 (.-)	103 (68-151)	,	,	n.c.	1
Leucemie(204-208)	M	<5	<5	2	140	21 (4-74)	.	102 (34-308)	117 (91-166)	,	,	n.c.	1
Leucemie(204-208)	M + F	<5	<5	.	.	10 (2-37)	.	63 (21-190)	115 (82-161)	,	,	n.c.	1
Gozzo non tossico(240-241)	F	<5	>5	.	.	31 (8-89)	.	66 (26-166)	64 (40-98)	,	↓	n.c.	0 😊
Gozzo non tossico(240-241)	M	<5	<5	.	.	9 (0-56)	.	62 (14-279)	55 (29-99)	,	↓	n.c.	0 😊
Gozzo non tossico(240-241)	M + F	<5	>5	.	.	20 (7-51)	.	65 (29-145)	59 (37-90)	,	↓	n.c.	0 😊

Tabella 16C - Numana	Genere	Osservati	Attesi	Cluster sign.	SIR cluster	Tasso std. * 100000 (ic)	Tasso std. > Media reg.	SIR (ic)	BIR (ic)	SIR sign.	BIR sign.	Trend	Livello attenzione
Causa (ICD-IX)													
Malattie endocrine e della nutrizione(240-2799)	F	20	26	.	.	226 (149-333)	.	76 (53-109)	84 (66-106)	.	.	→	1
Malattie endocrine e della nutrizione(240-2799)	M	20	22	.	.	225 (149-332)	.	93 (65-134)	97 (76-122)	.	.	n.c.	1
Malattie endocrine e della nutrizione(240-2799)	M + F	40	48	.	.	225 (170-296)	.	84 (65-108)	89 (73-107)	.	.	→	1
Tireotossicosi(242)	F	<5	<5	.	.	10 (0-58)	.	73 (16-327)	80 (48-124)	.	.	n.c.	1
Tireotossicosi(242)	M	0	1	.	.	0 (0-42)	.	0 (.-.)	56 (21-122)	.	.	n.c.	1
Tireotossicosi(242)	M + F	<5	<5	.	.	5 (0-30)	.	51 (11-227)	65 (38-108)	.	.	n.c.	1
Ipotiroidismo(243-244)	F	<5	<5	.	.	12 (1-63)	.	235 (52-1054)	77 (53-112)	.	.	n.c.	1
Ipotiroidismo(243-244)	M	<5	<5	.	.	12 (1-61)	.	190 (42-850)	100 (76-133)	.	.	n.c.	1
Ipotiroidismo(243-244)	M + F	<5	<5	.	.	12 (2-41)	.	210 (69-634)	88 (71-111)	.	.	n.c.	1
Diabete mellito(250)	F	<5	<5	2	129	25 (4-82)	.	48 (16-146)	80 (46-135)	.	.	n.c.	1
Diabete mellito(250)	M	>5	>5	.	.	65 (28-133)	.	111 (58-215)	89 (55-140)	.	.	n.c.	1
Diabete mellito(250)	M + F	8	10	.	.	44 (22-83)	.	84 (47-149)	85 (57-125)	.	.	n.c.	1
Malattie del sangue e degli organi emopoietici(280-289)	F	7	9	.	.	82 (38-159)	.	78 (42-144)	91 (63-127)	.	.	n.c.	1
Malattie del sangue e degli organi emopoietici(280-289)	M	16	9	.	.	176 (110-272)	↑	178 (119-268)	136 (97-189)	↑	.	↑	3 😊
Malattie del sangue e degli organi emopoietici(280-289)	M + F	23	18	.	.	128 (87-184)	.	128 (91-181)	116 (87-153)	.	.	→	1
Malattie neuro-psichiatriche (escluse tossicod.)(290-303, 306-319)	F	10	12	.	.	105 (56-184)	.	86 (51-143)	92 (69-121)	.	.	n.c.	1
Malattie neuro-psichiatriche (escluse tossicod.)(290-303, 306-319)	M	16	14	.	.	174 (108-269)	.	117 (78-176)	101 (76-133)	.	.	→	1






Tabella 16C - Numana	Genere	Osservati	Attesi	Cluster sign.	SIR cluster	Tasso std. * 100000 (ic)	Tasso std. > Media reg.	SIR (ic)	BIR (ic)	SIR sign.	BIR sign.	Trend	Livello attenzione
Causa (ICD-IX)													
Malattie neuro-psichiatriche (escluse tossicod.)(290-303, 306-319)	M + F	26	25	.	.	138 (96-195)	.	102 (74-141)	97 (76-123)	.	.	→	1
Malattie del sistema nervoso e degli organi di senso(320-389)	F	72	64	.	.	827 (671-1011)	.	112 (92-136)	114 (98-134)	.	.	↓	0 
Malattie del sistema nervoso e degli organi di senso(320-389)	M	62	61	.	.	644 (515-802)	.	102 (83-126)	107 (92-126)	.	.	→	1
Malattie del sistema nervoso e degli organi di senso(320-389)	M + F	134	125	.	.	737 (635-855)	.	107 (93-123)	111 (98-124)	.	.	↓	0 
Malattia di Alzheimer(3310)	F	7	2	2	280	93 (44-177)	↑	317 (172-585)	191 (104-330)	↑	↑	n.c.	5 
Malattia di Alzheimer(3310)	M	5	1	2	323	52 (20-116)	.	345 (168-708)	223 (109-417)	↑	↑	n.c.	5 
Malattia di Alzheimer(3310)	M + F	12	4	2	286	73 (42-120)	↑	328 (205-525)	217 (136-334)	↑	↑	n.c.	5 
Morbo di Parkinson(3320)	F	0	1	.	.	0 (0-43)	.	0 (.-.)	98 (48-193)	.	.	n.c.	1
Morbo di Parkinson(3320)	M	<5	<5	.	.	21 (4-73)	.	221 (73-669)	110 (60-207)	.	.	n.c.	1
Morbo di Parkinson(3320)	M + F	<5	<5	.	.	10 (2-37)	.	127 (42-382)	112 (66-186)	.	.	n.c.	1
Malattia dei neuroni motori(3352)	F	0	0	.	.	0 (0-43)	.	0 (.-.)	105 (39-254)	.	.	n.c.	1
Malattia dei neuroni motori(3352)	M	<5	<5	.	.	9 (0-55)	.	298 (67-1338)	83 (50-139)	.	.	n.c.	1
Malattia dei neuroni motori(3352)	M + F	<5	<5	.	.	4 (0-28)	.	146 (33-656)	93 (69-124)	.	.	n.c.	1
Sclerosi multipla(340)	F	0	1	.	.	0 (0-43)	.	0 (.-.)	101 (74-125)	.	.	n.c.	1
Sclerosi multipla(340)	M	0	1	.	.	0 (0-42)	.	0 (.-.)	88 (57-126)	.	.	n.c.	1
Sclerosi multipla(340)	M + F	0	2	.	.	0 (0-22)	.	0 (.-.)	91 (62-120)	.	.	n.c.	1
Malattie cardiache(390-429)	F	42	48	.	.	489 (371-637)	.	88 (69-114)	91 (78-106)	.	.	→	1





Tabella 16C - Numana	Genere	Osservati	Attesi	Cluster sign.	SIR cluster	Tasso std. * 100000 (ic)	Tasso std. > Media reg.	SIR (ic)	BIR (ic)	SIR sign.	BIR sign.	Trend	Livello attenzione
Causa (ICD-IX)													
Malattie cardiache(390-429)	M	70	69	.	.	737 (597-904)	.	101 (83-123)	97 (87-109)	.	.	→	1
Malattie cardiache(390-429)	M + F	112	117	.	.	610 (517-717)	.	96 (82-112)	95 (84-106)	.	.	→	1
Malattie dell'apparato circolatorio(390-459)	F	72	85	.	.	809 (657-990)	.	85 (70-103)	91 (82-102)	.	.	↓	0 
Malattie dell'apparato circolatorio(390-459)	M	112	111	.	.	1176 (998-1381)	.	101 (86-118)	98 (89-107)	.	.	→	1
Malattie dell'apparato circolatorio(390-459)	M + F	184	196	.	.	988 (870-1120)	.	94 (83-106)	94 (86-102)	.	.	→	1
Malattie ischemiche del cuore(410-4149)	F	13	16	.	.	155 (91-250)	.	82 (52-129)	87 (68-111)	.	.	→	1
Malattie ischemiche del cuore(410-4149)	M	35	34	.	.	356 (263-478)	.	103 (78-136)	94 (79-112)	.	.	→	1
Malattie ischemiche del cuore(410-4149)	M + F	48	50	.	.	253 (196-325)	.	96 (76-122)	91 (77-108)	.	.	→	1
Insufficienza cardiaca (scompenso cardiaco)(428)	F	14	19	.	.	171 (103-272)	.	76 (49-117)	82 (64-103)	.	.	n.c.	1
Insufficienza cardiaca (scompenso cardiaco)(428)	M	14	19	.	.	159 (96-253)	.	74 (48-115)	82 (65-102)	.	.	n.c.	1
Insufficienza cardiaca (scompenso cardiaco)(428)	M + F	28	37	.	.	165 (117-229)	.	75 (55-102)	79 (64-96)	.	↓	→	0 
Malattie cerebrovascolari(430-438)	F	22	27	.	.	255 (172-369)	.	82 (58-116)	89 (73-108)	.	.	→	1
Malattie cerebrovascolari(430-438)	M	30	32	.	.	322 (231-442)	.	93 (69-125)	93 (77-111)	.	.	→	1
Malattie cerebrovascolari(430-438)	M + F	52	59	.	.	288 (225-366)	.	88 (70-110)	90 (77-105)	.	.	→	1
Malattie dell'apparato respiratorio(460-5199)	F	49	58	.	.	554 (429-708)	.	85 (67-107)	91 (77-105)	.	.	→	1
Malattie dell'apparato respiratorio(460-5199)	M	62	80	.	.	655 (524-815)	.	77 (63-95)	89 (77-102)	↓	.	→	0 
Malattie dell'apparato respiratorio(460-5199)	M + F	111	138	.	.	604 (512-710)	.	81 (69-94)	87 (77-98)	↓	↓	→	0 




Tabella 16C - Numana	Genere	Osservati	Attesi	Cluster sign.	SIR cluster	Tasso std. * 100000 (ic)	Tasso std. > Media reg.	SIR (ic)	BIR (ic)	SIR sign.	BIR sign.	Trend	Livello attenzione
Causa (ICD-IX)													
Malattie polmonari cronico ostruttive(490-492, 494, 496)	F	6	4	.	.	68 (30-141)	.	138 (71-266)	99 (59-159)	,	,	n.c.	1
Malattie polmonari cronico ostruttive(490-492, 494, 496)	M	10	6	.	.	106 (57-186)	.	156 (93-261)	100 (68-147)	,	,	n.c.	1
Malattie polmonari cronico ostruttive(490-492, 494, 496)	M + F	16	11	.	.	87 (54-135)	.	149 (99-224)	110 (78-155)	,	,	→	1
Pneumoconiosi(500-505)	F	0	0	.	.	0 (0-43)	.	0 (.-.)	58 (4-419)	,	,	n.c.	1
Pneumoconiosi(500-505)	M	0	0	.	.	0 (0-42)	.	0 (.-.)	75 (17-188)	,	,	n.c.	1
Pneumoconiosi(500-505)	M + F	0	0	.	.	0 (0-22)	.	0 (.-.)	88 (30-176)	,	,	n.c.	1
Malattie dell'apparato digerente(520-579)	F	78	75	.	.	863 (707-1048)	.	104 (86-125)	102 (92-113)	,	,	↓	0 
Malattie dell'apparato digerente(520-579)	M	122	116	2	111	1259 (1076-1468)	.	106 (91-123)	107 (98-116)	,	,	→	1
Malattie dell'apparato digerente(520-579)	M + F	200	191	.	.	1056 (935-1191)	.	105 (93-118)	105 (97-113)	,	,	→	1
Cirrosi e altre malattie croniche del fegato(571)	F	<5	<5	.	.	34 (9-94)	.	187 (75-468)	90 (69-119)	,	,	n.c.	1
Cirrosi e altre malattie croniche del fegato(571)	M	<5	<5	.	.	45 (15-108)	.	117 (53-261)	99 (70-142)	,	,	n.c.	1
Cirrosi e altre malattie croniche del fegato(571)	M + F	7	5	.	.	39 (18-77)	.	140 (76-257)	97 (74-130)	,	,	n.c.	1
Nefropatie croniche e acute(580-589)	F	5	7	.	.	59 (23-130)	.	74 (36-152)	77 (51-116)	,	,	n.c.	1
Nefropatie croniche e acute(580-589)	M	11	10	.	.	121 (68-205)	.	107 (65-175)	94 (69-130)	,	,	n.c.	1
Nefropatie croniche e acute(580-589)	M + F	16	17	.	.	89 (56-139)	.	94 (62-141)	88 (66-116)	,	,	→	1
Malattie dell'apparato urinario(580-599)	F	12	19	.	.	137 (79-228)	.	62 (39-99)	77 (58-99)	↓	↓	→	0 
Malattie dell'apparato urinario(580-599)	M	36	32	.	.	369 (273-493)	.	114 (87-150)	105 (88-125)	,	,	↓	0 



Tabella 16C - Numana	Genere	Osservati	Attesi	Cluster sign.	SIR cluster	Tasso std. * 100000 (ic)	Tasso std. > Media reg.	SIR (ic)	BIR (ic)	SIR sign.	BIR sign.	Trend	Livello attenzione
Causa (ICD-IX)													
Malattie dell'apparato urinario(580-599)	M + F	48	51	.	.	251 (194-322)	.	94 (74-120)	94 (79-112)	,	,	→	1
Endometriosi(617)	F	<5	<5	.	.	9 (0-56)	.	32 (7-141)	71 (43-109)	,	,	n.c.	1
Malformazioni congenite(740-759)	F	6	12	.	.	68 (29-141)	.	52 (27-101)	87 (67-108)	,	,	n.c.	1
Malformazioni congenite(740-759)	M	18	17	.	.	206 (133-310)	.	107 (73-157)	105 (85-130)	,	,	→	1
Malformazioni congenite(740-759)	M + F	24	28	.	.	136 (93-194)	.	85 (61-118)	95 (79-114)	,	,	→	1

Tabella 17C. Incidenza di primi ricoveri ospedalieri per causa nel comune di Osimo, tutte le età, periodo di osservazione 2009-2013











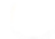





Tabella 17C - Osimo	Genere	Osservati	Attesi	Cluster sign.	SIR cluster	Tasso std. * 100000 (ic)	Tasso std. > Media reg.	SIR (ic)	BIR (ic)	SIR sign.	BIR sign.	Trend	Livello attenzione
Causa (ICD-IX)													
Malattie infettive(001-139)	F	90	129	.	.	103 (86-123)	.	70 (59-83)	74 (64-85)	↓	↓	↓	0 
Malattie infettive(001-139)	M	134	151	.	.	156 (135-181)	.	89 (77-102)	87 (77-98)	.	↓	↓	0 
Malattie infettive(001-139)	M + F	224	280	.	.	129 (115-144)	.	80 (72-89)	80 (72-88)	↓	↓	↓	0 
Tumori maligni delle vie aeree e digestive superiori(140-150, 161)	F	11	7	.	.	13 (8-22)	.	154 (94-251)	92 (69-124)	.	.	n.c.	1 
Tumori maligni delle vie aeree e digestive superiori(140-150, 161)	M	26	22	.	.	34 (24-47)	.	118 (86-163)	100 (84-121)	.	.	→	1 
Tumori maligni delle vie aeree e digestive superiori(140-150, 161)	M + F	37	29	.	.	23 (17-31)	.	127 (97-166)	99 (84-118)	.	.	→	1 
Tumori maligni(140-208)	F	465	463	.	.	561 (519-606)	.	100 (93-108)	98 (92-104)	.	.	→	1 
Tumori maligni(140-208)	M	541	499	2	108	712 (662-764)	.	108 (101-116)	105 (99-111)	↑	.	→	3 
Tumori maligni(140-208)	M + F	1006	962	2	109	635 (602-669)	.	105 (99-110)	102 (97-106)	.	.	→	1 
Tumori maligni dell'esofago(150)	F	<5	<5	.	.	3 (0-8)	.	184 (61-557)	92 (55-147)	.	.	n.c.	1 
Tumori maligni dell'esofago(150)	M	0	3	.	.	0 (0-4)	.	0 (-.)	83 (46-113)	.	.	n.c.	1 
Tumori maligni dell'esofago(150)	M + F	<5	<5	.	.	1 (0-4)	.	53 (18-162)	90 (65-123)	.	.	n.c.	1 
Tumori maligni dello stomaco(151)	F	17	20	.	.	21 (13-31)	.	85 (57-126)	78 (60-99)	.	↓	↓	0 
Tumori maligni dello stomaco(151)	M	23	27	.	.	31 (21-44)	.	84 (60-119)	93 (75-114)	.	.	→	1 
Tumori maligni dello stomaco(151)	M + F	40	47	.	.	26 (19-34)	.	84 (65-109)	86 (72-103)	.	.	→	1 
Tumori maligni dell'intestino tenue, compreso il duodeno(152)	F	<5	<5	.	.	1 (0-6)	.	67 (15-299)	93 (49-156)	.	.	n.c.	1 

Tabella 17C - Osimo													
Causa (ICD-IX)	Genere	Osservati	Attesi	Cluster sign.	SIR cluster	Tasso std. * 100000 (ic)	Tasso std. > Media reg.	SIR (ic)	BIR (ic)	SIR sign.	BIR sign.	Trend	Livello attenzione
Tumori maligni dell'intestino tenue, compreso il duodeno(152)	M	<5	<5	.	.	3 (1-9)	.	97 (32-294)	80 (55-112)	.	.	n.c.	1
Tumori maligni dell'intestino tenue, compreso il duodeno(152)	M + F	<5	<5	.	.	2 (1-5)	.	84 (34-211)	87 (61-118)	.	.	n.c.	1
Tumori maligni del colon(153)	F	45	45	.	.	55 (42-71)	.	100 (78-127)	95 (81-112)	.	.	→	1
Tumori maligni del colon(153)	M	61	52	.	.	82 (65-102)	.	117 (94-144)	106 (92-121)	.	.	→	1
Tumori maligni del colon(153)	M + F	106	97	.	.	68 (58-80)	.	109 (93-128)	102 (90-115)	.	.	→	1
Tumori maligni del colon-retto(153-154)	F	64	63	.	.	78 (63-96)	.	102 (83-126)	100 (88-113)	.	.	→	1
Tumori maligni del colon-retto(153-154)	M	86	80	.	.	115 (95-137)	.	108 (90-129)	106 (95-118)	.	.	→	1
Tumori maligni del colon-retto(153-154)	M + F	150	142	.	.	96 (83-110)	.	105 (92-121)	104 (94-114)	.	.	→	1
Tumori maligni del retto, della giunzione retto-sigmoidea e dell'ano(154)	F	22	21	.	.	27 (18-38)	.	106 (75-150)	100 (86-117)	.	.	→	1
Tumori maligni del retto, della giunzione retto-sigmoidea e dell'ano(154)	M	32	32	.	.	42 (31-57)	.	100 (75-134)	106 (92-122)	.	.	→	1
Tumori maligni del retto, della giunzione retto-sigmoidea e dell'ano(154)	M + F	54	53	.	.	34 (27-43)	.	102 (82-128)	105 (92-119)	.	.	→	1
Tumore fegato e dotti biliari(1550-1551)	F	<5	>5	.	.	5 (2-11)	.	70 (32-157)	86 (57-123)	.	.	n.c.	1
Tumore fegato e dotti biliari(1550-1551)	M	>5	>5	.	.	20 (12-31)	.	148 (97-226)	92 (72-121)	.	.	→	1
Tumore fegato e dotti biliari(1550-1551)	M + F	19	16	.	.	12 (8-18)	.	120 (83-175)	91 (71-117)	.	.	→	1
Tumori maligni del pancreas(157)	F	14	15	.	.	17 (10-27)	.	94 (61-146)	96 (77-114)	.	.	n.c.	1
Tumori maligni del pancreas(157)	M	18	16	.	.	24 (16-36)	.	111 (75-163)	103 (90-120)	.	.	→	1
Tumori maligni del pancreas(157)	M + F	32	31	.	.	21 (15-28)	.	103 (77-138)	101 (89-114)	.	.	→	1

Tabella 17C - Osimo													
Causa (ICD-IX)	Genere	Osservati	Attesi	Cluster sign.	SIR cluster	Tasso std. * 100000 (ic)	Tasso std. > Media reg.	SIR (ic)	BIR (ic)	SIR sign.	BIR sign.	Trend	Livello attenzione
Tumore del retroperitoneo(1580)	F	<5	<5	.	.	1 (0-6)	.	158 (35-710)	69 (36-123)	,	,	n.c.	1
Tumore del retroperitoneo(1580)	M	<5	<5	2	270	3 (0-8)	.	196 (65-593)	117 (51-258)	,	,	n.c.	1
Tumore del retroperitoneo(1580)	M + F	<5	<5	.	.	2 (1-5)	.	182 (73-455)	96 (60-160)	,	,	n.c.	1
Tumori maligni del naso(1600)	F	<5	<5	.	.	1 (0-6)	.	210 (47-942)	158 (79-286)	,	,	n.c.	1
Tumori maligni del naso(1600)	M	0	0	.	.	0 (0-4)	.	0 (.-.)	62 (22-137)	,	,	n.c.	1
Tumori maligni del naso(1600)	M + F	<5	<5	.	.	1 (0-3)	.	108 (24-486)	91 (41-180)	,	,	n.c.	1
Tumori maligni della laringe(161)	F	0	1	.	.	0 (0-4)	.	0 (.-.)	55 (21-104)	,	,	n.c.	1
Tumori maligni della laringe(161)	M	13	10	.	.	17 (10-28)	.	133 (85-209)	97 (79-123)	,	,	n.c.	1
Tumori maligni della laringe(161)	M + F	13	11	.	.	8 (5-14)	.	123 (78-193)	94 (77-116)	,	,	n.c.	1
Tumori maligni della trachea, dei bronchi e dei polmoni(162)	F	14	21	.	.	17 (10-27)	.	65 (42-101)	84 (64-104)	,	,	→	1
Tumori maligni della trachea, dei bronchi e dei polmoni(162)	M	75	59	.	.	100 (82-122)	.	128 (106-155)	103 (92-119)	↑	,	→	3 🙄
Tumori maligni della trachea, dei bronchi e dei polmoni(162)	M + F	89	80	.	.	58 (48-69)	.	111 (93-132)	98 (89-110)	,	,	→	1
Tumori maligni della pleura(163)	F	0	1	.	.	0 (0-4)	.	0 (.-.)	66 (31-119)	,	,	n.c.	1
Tumori maligni della pleura(163)	M	<5	<5	.	.	4 (1-11)	.	158 (63-395)	98 (50-175)	,	,	n.c.	1
Tumori maligni della pleura(163)	M + F	<5	<5	2	217	2 (1-5)	.	111 (44-278)	85 (48-138)	,	,	n.c.	1
Mesoteliomi pleurici e peritoneali(1588, 163)	F	0	1	.	.	0 (0-4)	.	0 (.-.)	75 (35-126)	,	,	n.c.	1
Mesoteliomi pleurici e peritoneali(1588, 163)	M	<5	<5	.	.	4 (1-11)	.	133 (53-332)	99 (54-169)	,	,	n.c.	1

Tabella 17C - Osimo													
Causa (ICD-IX)	Genere	Osservati	Attesi	Cluster sign.	SIR cluster	Tasso std. * 100000 (ic)	Tasso std. > Media reg.	SIR (ic)	BIR (ic)	SIR sign.	BIR sign.	Trend	Livello attenzione
Mesoteliomi pleurici e peritoneali(1588, 163)	M + F	<5	<5	.	.	2 (1-5)	.	84 (33-209)	80 (43-132)	.	.	n.c.	1
Tumori maligni delle ossa e della cartilagine articolare(170)	F	<5	<5	.	.	1 (0-6)	.	69 (15-310)	72 (42-117)	.	.	n.c.	1
Tumori maligni delle ossa e della cartilagine articolare(170)	M	<5	<5	.	.	2 (0-8)	.	87 (29-262)	97 (71-130)	.	.	n.c.	1
Tumori maligni delle ossa e della cartilagine articolare(170)	M + F	<5	<5	.	.	2 (1-5)	.	80 (32-200)	87 (64-113)	.	.	n.c.	1
Tumori maligni del connettivo e di altri tessuti molli(171)	F	<5	>5	.	.	5 (2-11)	.	83 (37-186)	104 (72-138)	.	.	n.c.	1
Tumori maligni del connettivo e di altri tessuti molli(171)	M	>5	>5	.	.	10 (5-19)	.	149 (84-264)	98 (67-142)	.	.	n.c.	1
Tumori maligni del connettivo e di altri tessuti molli(171)	M + F	12	10	.	.	8 (4-12)	.	118 (74-189)	101 (72-140)	.	.	n.c.	1
Melanoma maligno della pelle(172)	F	9	11	.	.	11 (5-19)	.	83 (49-144)	93 (67-125)	.	.	n.c.	1
Melanoma maligno della pelle(172)	M	14	12	.	.	18 (11-29)	.	116 (75-179)	109 (81-146)	.	.	→	1
Melanoma maligno della pelle(172)	M + F	23	23	.	.	14 (10-20)	.	101 (72-142)	102 (79-129)	.	.	→	1
Tumori maligni della mammella(174-175)	F	>5	>5	2	120	182 (158-208)	.	112 (98-128)	102 (91-113)	.	.	→	1
Tumori maligni della mammella(174-175)	M	<5	<5	.	.	1 (0-7)	.	64 (14-289)	105 (60-168)	.	.	n.c.	1
Tumori maligni della mammella(174-175)	M + F	153	137	2	119	93 (81-107)	.	112 (98-127)	102 (91-112)	.	.	→	1
Tumori maligni dell'utero(179-180, 182)	F	27	28	.	.	32 (23-44)	.	96 (70-131)	94 (79-109)	.	.	→	1
Tumori maligni del corpo dell'utero(182)	F	21	20	.	.	25 (17-36)	.	105 (74-151)	98 (81-120)	.	.	→	1
Tumori maligni dell'ovaio e degli altri annessi uterini(183)	F	13	14	.	.	15 (9-25)	.	93 (59-146)	94 (77-111)	.	.	n.c.	1
Tumore della prostata(185)	M	75	76	.	.	98 (80-119)	.	98 (81-119)	98 (86-112)	.	.	→	1

Tabella 17C - Osimo													
Causa (ICD-IX)	Genere	Osservati	Attesi	Cluster sign.	SIR cluster	Tasso std. * 100000 (ic)	Tasso std. > Media reg.	SIR (ic)	BIR (ic)	SIR sign.	BIR sign.	Trend	Livello attenzione
Tumore del testicolo(186)	M	6	7	.	.	7 (3-15)	.	90 (46-173)	92 (71-115)	.	.	n.c.	1
Tumori maligni della vescica(188)	F	8	14	.	.	10 (5-19)	.	57 (32-102)	90 (73-105)	.	.	→	1
Tumori maligni della vescica(188)	M	77	64	.	.	102 (84-124)	.	120 (100-145)	101 (92-114)	.	.	→	1
Tumori maligni della vescica(188)	M + F	85	78	.	.	55 (46-66)	.	109 (91-130)	99 (90-109)	.	.	→	1
Tumori maligni del rene e di altri e non specificati organi urinari(189)	F	16	15	.	.	20 (12-30)	.	106 (70-159)	105 (88-127)	.	.	→	1
Tumori maligni del rene e di altri e non specificati organi urinari(189)	M	28	28	.	.	36 (26-50)	.	100 (73-136)	98 (82-116)	.	.	→	1
Tumori maligni del rene e di altri e non specificati organi urinari(189)	M + F	44	43	.	.	28 (21-36)	.	102 (80-131)	101 (86-117)	.	.	→	1
Tumori maligni dell'encefalo(191)	F	13	11	.	.	15 (9-25)	.	120 (76-188)	116 (89-152)	.	.	n.c.	1
Tumori maligni dell'encefalo(191)	M	12	11	.	.	15 (9-25)	.	112 (70-180)	90 (73-113)	.	.	n.c.	1
Tumori maligni dell'encefalo(191)	M + F	25	22	.	.	15 (11-22)	.	116 (84-161)	104 (86-128)	.	.	→	1
Tumori maligni del sistema nervoso centrale(191-192)	F	14	12	.	.	17 (10-26)	.	116 (75-179)	113 (92-143)	.	.	→	1
Tumori maligni del sistema nervoso centrale(191-192)	M	13	12	.	.	17 (10-27)	.	112 (71-176)	90 (72-113)	.	.	n.c.	1
Tumori maligni del sistema nervoso centrale(191-192)	M + F	27	24	.	.	17 (12-23)	.	114 (83-156)	102 (84-125)	.	.	→	1
Tumori maligni della ghiandola tiroide(193)	F	19	24	.	.	22 (15-33)	.	80 (55-116)	95 (75-118)	.	.	→	1
Tumori maligni della ghiandola tiroide(193)	M	6	9	.	.	8 (3-16)	.	71 (37-137)	96 (66-132)	.	.	n.c.	1
Tumori maligni della ghiandola tiroide(193)	M + F	25	32	.	.	15 (11-21)	.	77 (56-107)	92 (74-112)	.	.	→	1
Linfoma non Hodgkin(200, 202)	F	18	18	.	.	22 (14-33)	.	102 (69-150)	106 (89-128)	.	.	n.c.	1









Tabella 17C - Osimo	Genere	Osservati	Attesi	Cluster sign.	SIR cluster	Tasso std. * 100000 (ic)	Tasso std. > Media reg.	SIR (ic)	BIR (ic)	SIR sign.	BIR sign.	Trend	Livello attenzione
Causa (ICD-IX)													
Linfoma non Hodgkin(200, 202)	M	24	20	.	.	31 (21-43)	.	119 (85-166)	101 (82-124)	.	.	→	1
Linfoma non Hodgkin(200, 202)	M + F	42	38	.	.	26 (20-34)	.	111 (86-143)	106 (90-125)	.	.	→	1
Tumori emolinfopoiетici(200-208)	F	45	37	.	.	54 (41-69)	.	121 (95-155)	107 (92-126)	.	.	→	1
Tumori emolinfopoiетici(200-208)	M	61	46	.	.	78 (62-97)	↑	131 (106-162)	116 (101-134)	↑	↑	→	5 
Tumori emolinfopoiетici(200-208)	M + F	106	84	.	.	66 (56-77)	↑	127 (108-149)	116 (102-131)	↑	↑	→	5 
Malattia di Hodgkin(201)	F	<5	<5	.	.	4 (1-10)	.	98 (39-244)	84 (63-109)	.	.	n.c.	1
Malattia di Hodgkin(201)	M	<5	<5	.	.	4 (1-10)	.	78 (31-195)	103 (77-134)	.	.	n.c.	1
Malattia di Hodgkin(201)	M + F	6	7	.	.	4 (2-7)	.	87 (45-168)	91 (67-119)	.	.	n.c.	1
Mieloma multiplo e tumori immunoproliferativi(203)	F	7	7	.	.	9 (4-17)	.	96 (52-178)	95 (70-124)	.	.	n.c.	1
Mieloma multiplo e tumori immunoproliferativi(203)	M	11	9	.	.	14 (8-24)	.	118 (72-192)	105 (75-143)	.	.	n.c.	1
Mieloma multiplo e tumori immunoproliferativi(203)	M + F	18	17	.	.	12 (7-17)	.	108 (74-159)	95 (72-125)	.	.	→	1
Leucemie(204-208)	F	19	11	.	.	22 (14-33)	↑	167 (115-244)	121 (94-161)	↑	.	→	3 
Leucemie(204-208)	M	24	16	2	140	31 (21-43)	↑	150 (107-209)	123 (100-157)	↑	↑	→	5 
Leucemie(204-208)	M + F	43	27	2	136	26 (20-34)	↑	157 (122-202)	136 (112-167)	↑	↑	→	5 
Gozzo non tossico(240-241)	F	25	40	.	.	29 (20-41)	.	63 (46-88)	70 (55-87)	↓	↓	→	0 
Gozzo non tossico(240-241)	M	7	13	.	.	9 (4-17)	.	55 (30-101)	60 (41-84)	.	↓	n.c.	0 
Gozzo non tossico(240-241)	M + F	32	52	.	.	19 (14-26)	.	61 (46-82)	65 (53-81)	↓	↓	→	0 









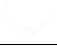








Tabella 17C - Osimo	Genere	Osservati	Attesi	Cluster sign.	SIR cluster	Tasso std. * 100000 (ic)	Tasso std. > Media reg.	SIR (ic)	BIR (ic)	SIR sign.	BIR sign.	Trend	Livello attenzione
Causa (ICD-IX)													
Malattie endocrine e della nutrizione(240-2799)	F	212	258	.	.	246 (219-276)	.	82 (73-92)	85 (77-94)	↓	↓	→	0 
Malattie endocrine e della nutrizione(240-2799)	M	171	192	.	.	209 (183-238)	.	89 (78-101)	92 (83-102)	.	.	→	1 
Malattie endocrine e della nutrizione(240-2799)	M + F	383	450	.	.	228 (209-248)	.	85 (78-92)	87 (81-94)	↓	↓	↓	0 
Tireotossicosi(242)	F	>5	>5	.	.	8 (4-16)	.	57 (31-105)	75 (53-102)	.	.	n.c.	1 
Tireotossicosi(242)	M	<5	>5	.	.	2 (0-8)	.	41 (13-122)	61 (34-97)	.	↓	n.c.	0 
Tireotossicosi(242)	M + F	9	17	.	.	5 (3-9)	.	52 (30-90)	65 (47-87)	↓	↓	n.c.	0 
Ipotiroidismo(243-244)	F	>5	>5	2	166	9 (4-16)	.	177 (100-314)	81 (61-119)	.	.	n.c.	1 
Ipotiroidismo(243-244)	M	<5	>5	.	.	1 (0-6)	.	18 (4-80)	97 (75-122)	↓	.	n.c.	0 
Ipotiroidismo(243-244)	M + F	9	10	.	.	5 (3-9)	.	89 (52-153)	87 (72-106)	.	.	n.c.	1 
Diabete mellito(250)	F	17	38	.	.	21 (13-31)	.	44 (30-66)	61 (46-79)	↓	↓	→	0 
Diabete mellito(250)	M	39	44	.	.	49 (36-64)	.	89 (69-116)	83 (67-104)	.	.	→	1 
Diabete mellito(250)	M + F	56	82	.	.	34 (27-43)	.	68 (55-85)	71 (59-84)	↓	↓	→	0 
Malattie del sangue e degli organi emopoietici(280-289)	F	110	86	2	137	132 (112-155)	↑	128 (109-149)	123 (106-142)	↑	↑	↑	6 
Malattie del sangue e degli organi emopoietici(280-289)	M	93	77	.	.	120 (100-143)	↑	121 (102-144)	121 (103-140)	↑	↑	↑	6 
Malattie del sangue e degli organi emopoietici(280-289)	M + F	203	163	2	116	126 (112-142)	↑	125 (111-140)	125 (111-139)	↑	↑	↑	6 
Malattie neuro-psichiatriche (escluse tossicod.)(290-303, 306-319)	F	96	111	.	.	112 (94-133)	.	87 (73-102)	88 (77-101)	.	.	→	1 
Malattie neuro-psichiatriche (escluse tossicod.)(290-303, 306-319)	M	91	124	.	.	110 (92-132)	.	74 (62-87)	78 (67-89)	↓	↓	→	0 












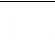
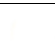
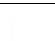


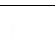
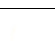

Tabella 17C - Osimo													
Causa (ICD-IX)	Genere	Osservati	Attesi	Cluster sign.	SIR cluster	Tasso std. * 100000 (ic)	Tasso std. > Media reg.	SIR (ic)	BIR (ic)	SIR sign.	BIR sign.	Trend	Livello attenzione
Malattie neuro-psichiatriche (escluse tossicod.)(290-303, 306-319)	M + F	187	235	.	.	111 (98-126)	.	80 (71-90)	81 (73-90)	↓	↓	→	0 
Malattie del sistema nervoso e degli organi di senso(320-389)	F	660	586	.	.	803 (752-856)	↑	113 (106-120)	113 (107-120)	↑	↑	↓	4 
Malattie del sistema nervoso e degli organi di senso(320-389)	M	544	492	.	.	701 (652-753)	↑	111 (103-119)	111 (104-119)	↑	↑	↓	4 
Malattie del sistema nervoso e degli organi di senso(320-389)	M + F	1204	1078	.	.	753 (718-790)	↑	112 (107-117)	112 (107-118)	↑	↑	↓	4 
Malattia di Alzheimer(3310)	F	60	21	2	280	77 (61-95)	↑	286 (231-353)	203 (163-249)	↑	↑	→	5 
Malattia di Alzheimer(3310)	M	31	11	2	323	42 (30-57)	↑	276 (206-370)	204 (152-268)	↑	↑	→	5 
Malattia di Alzheimer(3310)	M + F	91	32	2	286	60 (50-71)	↑	282 (238-335)	207 (173-245)	↑	↑	→	5 
Morbo di Parkinson(3320)	F	7	6	.	.	9 (4-17)	.	112 (61-207)	105 (68-154)	.	.	n.c.	1 
Morbo di Parkinson(3320)	M	11	7	.	.	14 (8-24)	.	159 (98-260)	108 (75-156)	.	.	n.c.	1 
Morbo di Parkinson(3320)	M + F	18	13	.	.	12 (7-17)	.	137 (93-201)	109 (83-144)	.	.	→	1 
Malattia dei neuroni motori(3352)	F	<5	<5	.	.	5 (2-11)	.	130 (58-289)	112 (64-185)	.	.	n.c.	1 
Malattia dei neuroni motori(3352)	M	<5	<5	.	.	1 (0-7)	.	39 (9-177)	75 (43-111)	.	.	n.c.	1 
Malattia dei neuroni motori(3352)	M + F	5	6	.	.	3 (1-7)	.	89 (43-183)	92 (69-116)	.	.	n.c.	1 
Sclerosi multipla(340)	F	7	12	.	.	8 (4-15)	.	58 (31-107)	99 (77-119)	.	.	n.c.	1 
Sclerosi multipla(340)	M	9	6	.	.	11 (6-19)	.	160 (93-275)	96 (74-132)	.	.	n.c.	1 
Sclerosi multipla(340)	M + F	16	18	.	.	9 (6-14)	.	90 (60-136)	95 (75-116)	.	.	→	1 
Malattie cardiache(390-429)	F	495	449	2	108	613 (568-660)	.	110 (102-119)	104 (98-112)	↑	.	→	3 










Tabella 17C - Osimo													
Causa (ICD-IX)	Genere	Osservati	Attesi	Cluster sign.	SIR cluster	Tasso std. * 100000 (ic)	Tasso std. > Media reg.	SIR (ic)	BIR (ic)	SIR sign.	BIR sign.	Trend	Livello attenzione
Malattie cardiache(390-429)	M	542	543	2	107	721 (671-775)	.	100 (93-107)	97 (91-103)	.	.	→	1
Malattie cardiache(390-429)	M + F	1037	992	2	107	666 (632-701)	.	105 (99-110)	101 (96-105)	.	.	→	1
Malattie dell'apparato circolatorio(390-459)	F	798	785	.	.	972 (916-1031)	.	102 (96-108)	99 (94-104)	.	.	↓	0 
Malattie dell'apparato circolatorio(390-459)	M	842	887	.	.	1099 (1037-1164)	.	95 (90-101)	94 (89-98)	.	↓	↓	0 
Malattie dell'apparato circolatorio(390-459)	M + F	1640	1671	.	.	1034 (992-1077)	.	98 (94-102)	96 (92-99)	.	↓	↓	0 
Malattie ischemiche del cuore(410-4149)	F	140	147	.	.	174 (151-201)	.	95 (83-110)	91 (81-102)	.	.	→	1
Malattie ischemiche del cuore(410-4149)	M	252	265	.	.	334 (300-372)	.	95 (86-106)	91 (84-100)	.	.	→	1
Malattie ischemiche del cuore(410-4149)	M + F	392	412	.	.	253 (232-275)	.	95 (88-104)	91 (85-98)	.	↓	→	0 
Insufficienza cardiaca (scompenso cardiaco)(428)	F	186	184	.	.	232 (205-262)	.	101 (90-114)	94 (85-104)	.	.	→	1
Insufficienza cardiaca (scompenso cardiaco)(428)	M	158	146	.	.	220 (192-252)	.	108 (95-123)	96 (86-107)	.	.	↓	0 
Insufficienza cardiaca (scompenso cardiaco)(428)	M + F	344	330	.	.	226 (207-248)	.	104 (95-114)	96 (88-104)	.	.	→	1
Malattie cerebrovascolari(430-438)	F	215	256	.	.	265 (236-297)	.	84 (75-94)	85 (77-93)	↓	↓	→	0 
Malattie cerebrovascolari(430-438)	M	223	252	.	.	303 (270-339)	.	89 (79-99)	89 (81-97)	↓	↓	↓	0 
Malattie cerebrovascolari(430-438)	M + F	438	508	.	.	284 (262-307)	.	86 (80-93)	86 (80-92)	↓	↓	↓	0 
Malattie dell'apparato respiratorio(460-5199)	F	529	574	.	.	625 (581-672)	.	92 (86-99)	94 (88-101)	↓	.	→	0 
Malattie dell'apparato respiratorio(460-5199)	M	742	699	.	.	928 (872-987)	↑	106 (100-113)	105 (100-111)	.	.	→	1
Malattie dell'apparato respiratorio(460-5199)	M + F	1271	1273	.	.	773 (738-810)	.	100 (95-105)	101 (97-105)	.	.	→	1





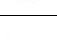
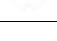
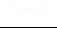
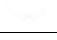






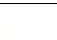


Tabella 17C - Osimo													
Causa (ICD-IX)	Genere	Osservati	Attesi	Cluster sign.	SIR cluster	Tasso std. * 100000 (ic)	Tasso std. > Media reg.	SIR (ic)	BIR (ic)	SIR sign.	BIR sign.	Trend	Livello attenzione
Malattie polmonari cronico ostruttive(490-492, 494, 496)	F	30	42	.	.	36 (26-49)	.	71 (53-96)	76 (59-97)	↓	↓	→	0 
Malattie polmonari cronico ostruttive(490-492, 494, 496)	M	43	50	.	.	59 (45-76)	.	86 (67-110)	82 (67-100)	.	.	↓	0 
Malattie polmonari cronico ostruttive(490-492, 494, 496)	M + F	73	92	.	.	47 (39-58)	.	79 (65-96)	79 (66-92)	↓	↓	↓	0 
Pneumoconiosi(500-505)	F	0	0	.	.	0 (0-4)	.	0 (-.)	51 (3-250)	.	.	n.c.	1 
Pneumoconiosi(500-505)	M	0	1	.	.	0 (0-4)	.	0 (-.)	71 (25-144)	.	.	n.c.	1 
Pneumoconiosi(500-505)	M + F	0	1	.	.	0 (0-2)	.	0 (-.)	84 (35-143)	.	.	n.c.	1 
Malattie dell'apparato digerente(520-579)	F	698	694	.	.	827 (776-880)	.	101 (95-107)	101 (96-106)	.	.	→	1 
Malattie dell'apparato digerente(520-579)	M	1023	957	2	111	1287 (1221-1356)	↑	107 (101-112)	107 (102-112)	↑	↑	→	5 
Malattie dell'apparato digerente(520-579)	M + F	1721	1651	.	.	1052 (1010-1095)	.	104 (100-108)	104 (101-108)	↑	↑	↓	4 
Cirrosi e altre malattie croniche del fegato(571)	F	13	15	.	.	16 (9-25)	.	90 (57-141)	89 (73-108)	.	.	n.c.	1 
Cirrosi e altre malattie croniche del fegato(571)	M	23	27	.	.	29 (20-42)	.	84 (60-119)	84 (68-102)	.	.	→	1 
Cirrosi e altre malattie croniche del fegato(571)	M + F	36	42	.	.	22 (16-29)	.	86 (66-113)	86 (72-101)	.	.	→	1 
Nefropatie croniche e acute(580-589)	F	56	66	.	.	68 (54-85)	.	84 (68-105)	82 (68-97)	.	↓	→	0 
Nefropatie croniche e acute(580-589)	M	74	82	.	.	99 (81-120)	.	90 (75-109)	87 (74-101)	.	.	→	1 
Nefropatie croniche e acute(580-589)	M + F	130	148	.	.	83 (72-97)	.	88 (76-101)	84 (74-95)	.	↓	→	0 
Malattie dell'apparato urinario(580-599)	F	147	185	.	.	175 (152-201)	.	79 (69-91)	79 (70-88)	↓	↓	→	0 
Malattie dell'apparato urinario(580-599)	M	244	257	.	.	312 (280-347)	.	95 (85-106)	95 (87-104)	.	.	↑	1 






Tabella 17C - Osimo													
Causa (ICD-IX)	Genere	Osservati	Attesi	Cluster sign.	SIR cluster	Tasso std. * 100000 (ic)	Tasso std. > Media reg.	SIR (ic)	BIR (ic)	SIR sign.	BIR sign.	Trend	Livello attenzione
Malattie dell'apparato urinario(580-599)	M + F	391	442	.	.	242 (222-263)	.	88 (81-96)	88 (81-94)	↓	↓	↓	0 
Endometriosi(617)	F	43	28	.	.	49 (37-63)	↑	153 (119-196)	106 (86-132)	↑	.	→	3 
Malformazioni congenite(740-759)	F	126	112	.	.	143 (123-166)	↑	113 (98-131)	111 (99-125)	.	.	→	1 
Malformazioni congenite(740-759)	M	173	163	.	.	202 (177-229)	.	106 (94-120)	106 (95-117)	.	.	→	1 
Malformazioni congenite(740-759)	M + F	299	275	.	.	172 (156-189)	↑	109 (99-120)	109 (100-118)	.	↑	→	4 

Tabella 18C. Incidenza di primi ricoveri ospedalieri per causa nel comune di Porto Recanati, tutte le età, periodo di osservazione 2009-2013





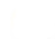






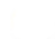



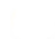
Tabella 18C - Porto Recanati	Genere	Osservati	Attesi	Cluster sign.	SIR cluster	Tasso std. * 100000 (ic)	Tasso std. > Media reg.	SIR (ic)	BIR (ic)	SIR sign.	BIR sign.	Trend	Livello attenzione
Causa (ICD-IX)													
Malattie infettive(001-139)	F	44	40	.	.	153 (116-201)	.	109 (85-140)	94 (75-114)	.	.	↓	0 
Malattie infettive(001-139)	M	53	52	.	.	176 (137-243)	.	101 (81-127)	90 (74-108)	.	.	↓	0 
Malattie infettive(001-139)	M + F	97	93	.	.	165 (137-204)	.	105 (89-124)	94 (81-109)	.	.	↓	0 
Tumori maligni delle vie aeree e digestive superiori(140-150, 161)	F	<5	<5	.	.	12 (3-34)	.	163 (65-407)	71 (40-119)	.	.	n.c.	1 
Tumori maligni delle vie aeree e digestive superiori(140-150, 161)	M	<5	>5	.	.	18 (6-69)	.	60 (27-133)	83 (59-113)	.	.	n.c.	1 
Tumori maligni delle vie aeree e digestive superiori(140-150, 161)	M + F	7	9	.	.	15 (7-41)	.	82 (45-151)	81 (60-106)	.	.	n.c.	1 
Tumori maligni(140-208)	F	149	155	.	.	595 (516-685)	.	96 (84-110)	102 (93-113)	.	.	→	1 
Tumori maligni(140-208)	M	173	152	.	.	776 (680-895)	.	114 (101-129)	101 (92-111)	↑	.	→	3 
Tumori maligni(140-208)	M + F	322	307	.	.	684 (621-757)	.	105 (96-115)	102 (95-110)	.	.	→	1 
Tumori maligni dell'esofago(150)	F	0	0	.	.	0 (0-16)	.	0 (.-.)	66 (14-198)	.	.	n.c.	1 
Tumori maligni dell'esofago(150)	M	0	1	.	.	0 (0-47)	.	0 (.-.)	57 (20-129)	.	.	n.c.	1 
Tumori maligni dell'esofago(150)	M + F	0	1	.	.	0 (0-23)	.	0 (.-.)	68 (30-136)	.	.	n.c.	1 
Tumori maligni dello stomaco(151)	F	6	9	.	.	29 (12-58)	.	69 (36-133)	97 (64-141)	.	.	n.c.	1 
Tumori maligni dello stomaco(151)	M	7	9	.	.	29 (13-81)	.	75 (41-138)	92 (64-127)	.	.	n.c.	1 
Tumori maligni dello stomaco(151)	M + F	13	18	.	.	29 (17-57)	.	72 (46-113)	91 (67-120)	.	.	n.c.	1 
Tumori maligni dell'intestino tenue, compreso il duodeno(152)	F	<5	<5	.	.	4 (0-22)	.	587 (131-2633)	25 (2-120)	↑	.	n.c.	1 


Tabella 18C - Porto Recanati													
Causa (ICD-IX)	Genere	Osservati	Attesi	Cluster sign.	SIR cluster	Tasso std. * 100000 (ic)	Tasso std. > Media reg.	SIR (ic)	BIR (ic)	SIR sign.	BIR sign.	Trend	Livello attenzione
Tumori maligni dell'intestino tenue, compreso il duodeno(152)	M	<5	<5	.	.	4 (0-51)	.	198 (44-888)	52 (16-127)	.	.	n.c.	1
Tumori maligni dell'intestino tenue, compreso il duodeno(152)	M + F	<5	<5	.	.	4 (1-27)	.	296 (98-895)	46 (17-105)	.	.	n.c.	1
Tumori maligni del colon(153)	F	19	18	.	.	78 (51-117)	.	106 (73-154)	129 (101-163)	.	↑	↑	4 
Tumori maligni del colon(153)	M	14	15	.	.	64 (39-122)	.	96 (62-149)	87 (69-110)	.	.	n.c.	1
Tumori maligni del colon(153)	M + F	33	33	.	.	71 (52-104)	.	102 (76-135)	107 (89-128)	.	.	→	1
Tumori maligni del colon-retto(153-154)	F	22	24	.	.	91 (61-132)	.	93 (66-132)	121 (98-146)	.	.	→	1
Tumori maligni del colon-retto(153-154)	M	20	23	.	.	92 (61-154)	.	87 (61-126)	91 (76-109)	.	.	→	1
Tumori maligni del colon-retto(153-154)	M + F	42	47	.	.	91 (69-127)	.	90 (70-116)	105 (90-121)	.	.	→	1
Tumori maligni del retto, della giunzione retto-sigmoidea e dell'ano(154)	F	<5	>5	.	.	16 (6-40)	.	54 (24-119)	110 (82-142)	.	.	n.c.	1
Tumori maligni del retto, della giunzione retto-sigmoidea e dell'ano(154)	M	>5	>5	.	.	31 (14-83)	.	71 (38-130)	98 (76-125)	.	.	n.c.	1
Tumori maligni del retto, della giunzione retto-sigmoidea e dell'ano(154)	M + F	11	17	.	.	24 (13-50)	.	63 (39-103)	102 (81-124)	.	.	n.c.	1
Tumore fegato e dotti biliari(1550-1551)	F	<5	<5	.	.	3 (0-21)	.	46 (10-207)	102 (51-181)	.	.	n.c.	1
Tumore fegato e dotti biliari(1550-1551)	M	>5	<5	.	.	23 (9-74)	.	113 (55-233)	128 (84-188)	.	.	n.c.	1
Tumore fegato e dotti biliari(1550-1551)	M + F	6	7	.	.	13 (5-38)	.	91 (47-176)	117 (78-169)	.	.	n.c.	1
Tumori maligni del pancreas(157)	F	>5	>5	.	.	32 (15-61)	.	139 (75-256)	106 (75-147)	.	.	n.c.	1
Tumori maligni del pancreas(157)	M	<5	<5	.	.	19 (6-69)	.	106 (47-235)	79 (55-111)	.	.	n.c.	1

Tabella 18C - Porto Recanati													
Causa (ICD-IX)	Genere	Osservati	Attesi	Cluster sign.	SIR cluster	Tasso std. * 100000 (ic)	Tasso std. > Media reg.	SIR (ic)	BIR (ic)	SIR sign.	BIR sign.	Trend	Livello attenzione
Tumori maligni del pancreas(157)	M + F	11	9	.	.	25 (14-53)	.	125 (76-203)	93 (73-119)	.	.	n.c.	1
Tumore del retroperitoneo(1580)	F	0	0	.	.	0 (0-16)	.	0 (.-.)	88 (18-270)	.	.	n.c.	1
Tumore del retroperitoneo(1580)	M	<5	<5	2	270	3 (0-50)	.	436 (97-1954)	42 (3-233)	.	.	n.c.	1
Tumore del retroperitoneo(1580)	M + F	<5	<5	.	.	1 (0-25)	.	190 (42-853)	77 (23-193)	.	.	n.c.	1
Tumori maligni del naso(1600)	F	0	0	.	.	0 (0-16)	.	.	0 (0-0)	.	.	n.c.	1
Tumori maligni del naso(1600)	M	0	0	.	.	0 (0-47)	.	0 (.-.)	110 (18-383)	.	.	n.c.	1
Tumori maligni del naso(1600)	M + F	0	0	.	.	0 (0-23)	.	0 (.-.)	76 (15-252)	.	.	n.c.	1
Tumori maligni della laringe(161)	F	<5	<5	.	.	3 (0-21)	.	500 (112-2243)	28 (2-139)	↑	.	n.c.	1
Tumori maligni della laringe(161)	M	<5	<5	.	.	5 (0-53)	.	41 (9-183)	70 (42-108)	.	.	n.c.	1
Tumori maligni della laringe(161)	M + F	<5	<5	.	.	4 (1-28)	.	75 (25-228)	69 (42-106)	.	.	n.c.	1
Tumori maligni della trachea, dei bronchi e dei polmoni(162)	F	8	8	.	.	34 (17-64)	.	103 (58-182)	110 (78-152)	.	.	n.c.	1
Tumori maligni della trachea, dei bronchi e dei polmoni(162)	M	27	20	.	.	122 (86-187)	↑	137 (100-187)	110 (91-135)	.	.	→	1
Tumori maligni della trachea, dei bronchi e dei polmoni(162)	M + F	35	28	.	.	77 (57-111)	↑	127 (96-168)	110 (93-130)	.	.	→	1
Tumori maligni della pleura(163)	F	<5	<5	.	.	5 (0-25)	.	403 (90-1808)	81 (16-256)	.	.	n.c.	1
Tumori maligni della pleura(163)	M	<5	<5	.	.	11 (3-60)	.	180 (72-449)	256 (107-539)	.	↑	n.c.	3 😞
Tumori maligni della pleura(163)	M + F	<5	<5	.	.	8 (3-32)	.	208 (94-464)	225 (111-429)	.	↑	n.c.	3 😞



Tabella 18C - Porto Recanati	Genere	Osservati	Attesi	Cluster sign.	SIR cluster	Tasso std. * 100000 (ic)	Tasso std. > Media reg.	SIR (ic)	BIR (ic)	SIR sign.	BIR sign.	Trend	Livello attenzione
Causa (ICD-IX)													
Mesoteliomi pleurici e peritoneali(1588, 163)	F	<5	<5	.	.	5 (0-25)	.	238 (53-1069)	88 (25-238)	.	.	n.c.	1
Mesoteliomi pleurici e peritoneali(1588, 163)	M	<5	<5	.	.	11 (3-60)	.	166 (66-415)	241 (109-490)	.	↑	n.c.	3 
Mesoteliomi pleurici e peritoneali(1588, 163)	M + F	<5	<5	.	.	8 (3-32)	.	179 (81-400)	190 (95-359)	.	.	n.c.	1
Tumori maligni delle ossa e della cartilagine articolare(170)	F	<5	<5	.	.	3 (0-21)	.	146 (33-653)	97 (33-227)	.	.	n.c.	1
Tumori maligni delle ossa e della cartilagine articolare(170)	M	<5	<5	.	.	3 (0-50)	.	97 (22-435)	103 (42-207)	.	.	n.c.	1
Tumori maligni delle ossa e della cartilagine articolare(170)	M + F	<5	<5	.	.	3 (1-26)	.	117 (39-352)	103 (55-178)	.	.	n.c.	1
Tumori maligni del connettivo e di altri tessuti molli(171)	F	<5	<5	.	.	4 (0-22)	.	198 (44-890)	31 (10-78)	.	↓	n.c.	0 
Tumori maligni del connettivo e di altri tessuti molli(171)	M	<5	<5	.	.	8 (1-56)	.	119 (39-358)	83 (39-160)	.	.	n.c.	1
Tumori maligni del connettivo e di altri tessuti molli(171)	M + F	<5	<5	.	.	6 (1-30)	.	137 (55-343)	64 (34-118)	.	.	n.c.	1
Melanoma maligno della pelle(172)	F	<5	<5	.	.	14 (5-36)	.	117 (53-261)	99 (58-160)	.	.	n.c.	1
Melanoma maligno della pelle(172)	M	<5	<5	.	.	11 (3-60)	.	98 (39-245)	77 (44-127)	.	.	n.c.	1
Melanoma maligno della pelle(172)	M + F	7	7	.	.	13 (6-37)	.	108 (59-200)	93 (62-137)	.	.	n.c.	1
Tumori maligni della mammella(174-175)	F	44	45	.	.	169 (129-220)	.	98 (77-126)	101 (85-119)	.	.	→	1
Tumori maligni della mammella(174-175)	M	0	0	.	.	0 (0-47)	.	0 (.-.)	89 (24-231)	.	.	n.c.	1
Tumori maligni della mammella(174-175)	M + F	44	45	.	.	86 (66-121)	.	97 (76-125)	101 (84-118)	.	.	→	1
Tumori maligni dell'utero(179-180, 182)	F	10	10	.	.	36 (19-64)	.	102 (61-171)	99 (76-129)	.	.	n.c.	1



Tabella 18C - Porto Recanati	Genere	Osservati	Attesi	Cluster sign.	SIR cluster	Tasso std. * 100000 (ic)	Tasso std. > Media reg.	SIR (ic)	BIR (ic)	SIR sign.	BIR sign.	Trend	Livello attenzione
Causa (ICD-IX)													
Tumori maligni del corpo dell'utero(182)	F	4	7	.	.	14 (5-36)	.	61 (27-135)	96 (67-130)	,	,	n.c.	1
Tumori maligni dell'ovaio e degli altri annessi uterini(183)	F	<5	>5	.	.	13 (3-35)	.	60 (24-150)	100 (69-138)	,	,	n.c.	1
Tumore della prostata(185)	M	31	24	.	.	139 (101-206)	.	128 (96-172)	108 (87-133)	,	,	→	1
Tumore del testicolo(186)	M	<5	<5	.	.	9 (2-57)	.	185 (74-463)	63 (32-114)	,	,	n.c.	1
Tumori maligni della vescica(188)	F	<5	>5	.	.	17 (6-41)	.	89 (40-199)	90 (64-126)	,	,	n.c.	1
Tumori maligni della vescica(188)	M	25	20	.	.	119 (83-185)	.	129 (93-178)	97 (81-116)	,	,	→	1
Tumori maligni della vescica(188)	M + F	29	24	.	.	67 (48-100)	.	121 (89-164)	96 (81-114)	,	,	→	1
Tumori maligni del rene e di altri e non specificati organi urinari(189)	F	<5	<5	.	.	16 (5-39)	.	98 (44-219)	90 (62-128)	,	,	n.c.	1
Tumori maligni del rene e di altri e non specificati organi urinari(189)	M	>5	>5	.	.	29 (13-81)	.	73 (38-141)	91 (67-119)	,	,	n.c.	1
Tumori maligni del rene e di altri e non specificati organi urinari(189)	M + F	10	12	2	125	22 (12-49)	.	81 (49-136)	91 (70-117)	,	,	n.c.	1
Tumori maligni dell'encefalo(191)	F	<5	<5	.	.	11 (3-33)	.	83 (33-208)	106 (67-162)	,	,	n.c.	1
Tumori maligni dell'encefalo(191)	M	<5	<5	.	.	12 (3-61)	.	109 (44-274)	70 (44-109)	,	,	n.c.	1
Tumori maligni dell'encefalo(191)	M + F	6	6	.	.	12 (5-36)	.	95 (49-183)	88 (62-120)	,	,	n.c.	1
Tumori maligni del sistema nervoso centrale(191-192)	F	<5	<5	.	.	11 (3-33)	.	77 (31-191)	102 (66-152)	,	,	n.c.	1
Tumori maligni del sistema nervoso centrale(191-192)	M	<5	<5	.	.	16 (5-66)	.	132 (59-294)	72 (45-111)	,	,	n.c.	1
Tumori maligni del sistema nervoso centrale(191-192)	M + F	7	7	.	.	14 (6-39)	.	101 (55-186)	87 (61-120)	,	,	n.c.	1

Tabella 18C - Porto Recanati													
Causa (ICD-IX)	Genere	Osservati	Attesi	Cluster sign.	SIR cluster	Tasso std. * 100000 (ic)	Tasso std. > Media reg.	SIR (ic)	BIR (ic)	SIR sign.	BIR sign.	Trend	Livello attenzione
Tumori maligni della ghiandola tiroide(193)	F	7	10	.	.	25 (11-50)	.	69 (38-128)	111 (78-155)	'	'	n.c.	1
Tumori maligni della ghiandola tiroide(193)	M	0	2	.	.	0 (0-47)	.	0 (.-.)	63 (30-113)	'	'	n.c.	1
Tumori maligni della ghiandola tiroide(193)	M + F	7	12	.	.	13 (6-37)	.	56 (31-104)	91 (64-127)	'	'	n.c.	1
Linfoma non Hodgkin(200, 202)	F	5	4	.	.	18 (7-42)	.	128 (62-263)	73 (49-107)	'	'	n.c.	1
Linfoma non Hodgkin(200, 202)	M	10	8	.	.	45 (24-100)	.	132 (79-220)	111 (81-152)	'	'	n.c.	1
Linfoma non Hodgkin(200, 202)	M + F	15	12	.	.	31 (19-59)	.	130 (86-199)	98 (75-127)	'	'	n.c.	1
Tumori emolinfopoiетici(200-208)	F	7	10	.	.	25 (12-51)	.	69 (37-126)	84 (63-109)	'	'	n.c.	1
Tumori emolinfopoiетici(200-208)	M	22	16	.	.	98 (66-160)	↑	137 (97-195)	119 (95-150)	'	'	→	1
Tumori emolinfopoiетici(200-208)	M + F	29	26	.	.	61 (43-93)	.	111 (82-150)	103 (84-126)	'	'	→	1
Malattia di Hodgkin(201)	F	<5	<5	.	.	3 (0-21)	.	140 (31-627)	55 (19-120)	'	'	n.c.	1
Malattia di Hodgkin(201)	M	<5	<5	.	.	3 (0-50)	.	88 (20-394)	82 (37-156)	'	'	n.c.	1
Malattia di Hodgkin(201)	M + F	<5	<5	.	.	3 (1-26)	.	108 (36-326)	70 (38-120)	'	'	n.c.	1
Mieloma multiplo e tumori immunoproliferativi(203)	F	<5	<5	.	.	4 (0-22)	.	32 (7-145)	126 (76-192)	'	'	n.c.	1
Mieloma multiplo e tumori immunoproliferativi(203)	M	<5	<5	.	.	18 (6-69)	.	115 (52-256)	115 (67-184)	'	'	n.c.	1
Mieloma multiplo e tumori immunoproliferativi(203)	M + F	5	7	.	.	11 (4-36)	.	76 (37-156)	107 (68-161)	'	'	n.c.	1
Leucemie(204-208)	F	0	3	.	.	0 (0-16)	.	0 (.-.)	82 (49-127)	'	'	n.c.	1


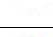




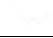






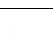


Tabella 18C - Porto Recanati													
Causa (ICD-IX)	Genere	Osservati	Attesi	Cluster sign.	SIR cluster	Tasso std. * 100000 (ic)	Tasso std. > Media reg.	SIR (ic)	BIR (ic)	SIR sign.	BIR sign.	Trend	Livello attenzione
Leucemie(204-208)	M	9	5	2	140	39 (20-92)	↑	178 (104-307)	119 (82-174)	↑	,	n.c.	3 
Leucemie(204-208)	M + F	9	8	.	.	19 (10-45)	.	108 (63-185)	109 (78-151)	,	,	n.c.	1 
Gozzo non tossico(240-241)	F	>5	>5	.	.	19 (7-43)	.	37 (18-75)	60 (41-86)	↓	↓	n.c.	0 
Gozzo non tossico(240-241)	M	<5	>5	.	.	4 (0-51)	.	19 (4-83)	58 (32-98)	↓	↓	n.c.	0 
Gozzo non tossico(240-241)	M + F	6	19	.	.	12 (5-36)	.	32 (16-61)	54 (37-76)	↓	↓	n.c.	0 
Malattie endocrine e della nutrizione(240-2799)	F	101	83	.	.	369 (309-439)	↑	122 (103-143)	110 (95-128)	↑	,	→	3 
Malattie endocrine e della nutrizione(240-2799)	M	85	64	.	.	276 (227-351)	.	133 (112-159)	114 (97-133)	↑	,	↓	1 
Malattie endocrine e della nutrizione(240-2799)	M + F	186	147	1	113	323 (284-374)	↑	127 (112-143)	116 (103-130)	↑	↑	↓	5 
Tireotossicosi(242)	F	<5	<5	.	.	7 (1-27)	.	45 (15-137)	82 (48-131)	,	,	n.c.	1 
Tireotossicosi(242)	M	0	0	.	.	0 (0-47)	.	0 (-.)	11 (2-40)	,	↓	n.c.	0 
Tireotossicosi(242)	M + F	<5	>5	.	.	4 (1-27)	.	42 (14-128)	55 (32-89)	,	↓	n.c.	0 
Ipotiroidismo(243-244)	F	0	4	.	.	0 (0-16)	.	0 (-.)	146 (83-230)	,	,	n.c.	1 
Ipotiroidismo(243-244)	M	0	1	.	.	0 (0-47)	.	0 (-.)	40 (15-87)	,	↓	n.c.	0 
Ipotiroidismo(243-244)	M + F	0	5	.	.	0 (0-23)	.	0 (-.)	103 (69-149)	,	,	n.c.	1 
Diabete mellito(250)	F	16	9	2	129	70 (43-108)	.	178 (118-268)	104 (71-149)	↑	,	n.c.	3 
Diabete mellito(250)	M	11	10	.	.	41 (23-94)	.	112 (69-183)	68 (46-96)	,	↓	→	0 


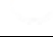









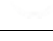
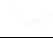



Tabella 18C - Porto Recanati													
Causa (ICD-IX)	Genere	Osservati	Attesi	Cluster sign.	SIR cluster	Tasso std. * 100000 (ic)	Tasso std. > Media reg.	SIR (ic)	BIR (ic)	SIR sign.	BIR sign.	Trend	Livello attenzione
Diabete mellito(250)	M + F	27	19	.	.	56 (39-87)	.	144 (105-197)	86 (65-112)	↑	.	→	3 
Malattie del sangue e degli organi emopoietici(280-289)	F	28	25	.	.	105 (74-147)	.	113 (83-154)	100 (77-129)	.	.	→	1 
Malattie del sangue e degli organi emopoietici(280-289)	M	24	23	.	.	84 (57-141)	.	107 (76-149)	99 (75-127)	.	.	→	1 
Malattie del sangue e degli organi emopoietici(280-289)	M + F	52	47	.	.	94 (73-129)	.	110 (88-138)	101 (83-123)	.	.	→	1 
Malattie neuro-psichiatriche (escluse tossicod.)(290-303, 306-319)	F	51	34	.	.	178 (138-228)	↑	152 (120-191)	114 (92-139)	↑	.	→	3 
Malattie neuro-psichiatriche (escluse tossicod.)(290-303, 306-319)	M	59	41	.	.	196 (155-264)	↑	144 (116-178)	111 (92-135)	↑	.	→	3 
Malattie neuro-psichiatriche (escluse tossicod.)(290-303, 306-319)	M + F	110	75	.	.	187 (158-228)	↑	148 (126-173)	120 (103-139)	↑	↑	→	5 
Malattie del sistema nervoso e degli organi di senso(320-389)	F	217	152	1	114	866 (770-973)	↑	143 (128-160)	112 (101-124)	↑	↑	↓	5 
Malattie del sistema nervoso e degli organi di senso(320-389)	M	203	142	1	113	831 (735-951)	↑	143 (128-161)	117 (105-130)	↑	↑	→	5 
Malattie del sistema nervoso e degli organi di senso(320-389)	M + F	420	293	1	113	849 (781-929)	↑	143 (132-155)	116 (108-126)	↑	↑	↓	5 
Malattia di Alzheimer(3310)	F	10	10	.	.	48 (26-82)	.	100 (60-168)	121 (75-186)	.	.	n.c.	1 
Malattia di Alzheimer(3310)	M	5	6	.	.	24 (9-75)	.	90 (44-184)	132 (74-224)	.	.	n.c.	1 
Malattia di Alzheimer(3310)	M + F	15	16	.	.	36 (22-65)	.	96 (63-147)	123 (83-175)	.	.	n.c.	1 
Morbo di Parkinson(3320)	F	<5	<5	.	.	13 (4-36)	.	118 (47-294)	113 (58-208)	.	.	n.c.	1 
Morbo di Parkinson(3320)	M	<5	<5	.	.	11 (2-60)	.	111 (37-336)	69 (35-130)	.	.	n.c.	1 
Morbo di Parkinson(3320)	M + F	5	4	.	.	12 (5-37)	.	115 (56-236)	91 (57-146)	.	.	n.c.	1 








Tabella 18C - Porto Recanati													
Causa (ICD-IX)	Genere	Osservati	Attesi	Cluster sign.	SIR cluster	Tasso std. * 100000 (ic)	Tasso std. > Media reg.	SIR (ic)	BIR (ic)	SIR sign.	BIR sign.	Trend	Livello attenzione
Malattia dei neuroni motori(3352)	F	<5	<5	.	.	3 (0-22)	.	172 (38-770)	69 (21-185)	.	.	n.c.	1
Malattia dei neuroni motori(3352)	M	<5	<5	.	.	3 (0-50)	.	109 (24-490)	75 (29-160)	.	.	n.c.	1
Malattia dei neuroni motori(3352)	M + F	<5	<5	.	.	3 (1-27)	.	134 (44-404)	71 (37-122)	.	.	n.c.	1
Sclerosi multipla(340)	F	0	3	.	.	0 (0-16)	.	0 (.-.)	68 (41-106)	.	.	n.c.	1
Sclerosi multipla(340)	M	<5	<5	.	.	9 (3-57)	.	135 (54-338)	96 (52-162)	.	.	n.c.	1
Sclerosi multipla(340)	M + F	<5	>5	.	.	5 (1-28)	.	57 (23-142)	76 (49-110)	.	.	n.c.	1
Malattie cardiache(390-429)	F	117	130	.	.	527 (448-616)	.	90 (77-105)	88 (78-98)	.	↓	→	0 
Malattie cardiache(390-429)	M	178	177	.	.	772 (677-891)	.	101 (89-114)	98 (90-108)	.	.	→	1
Malattie cardiache(390-429)	M + F	295	307	.	.	647 (585-720)	.	96 (87-106)	94 (86-101)	.	.	→	1
Malattie dell'apparato circolatorio(390-459)	F	219	237	.	.	929 (826-1042)	.	92 (83-103)	91 (83-99)	.	↓	↓	0 
Malattie dell'apparato circolatorio(390-459)	M	303	301	.	.	1258 (1139-1401)	.	101 (92-111)	101 (93-108)	.	.	↓	0 
Malattie dell'apparato circolatorio(390-459)	M + F	522	539	.	.	1090 (1011-1180)	.	97 (90-104)	96 (90-102)	.	.	↓	0 
Malattie ischemiche del cuore(410-4149)	F	35	41	.	.	164 (121-218)	.	85 (64-112)	79 (65-95)	.	↓	→	0 
Malattie ischemiche del cuore(410-4149)	M	84	84	.	.	353 (291-441)	.	101 (84-120)	90 (78-104)	.	.	→	1
Malattie ischemiche del cuore(410-4149)	M + F	119	125	.	.	256 (218-307)	.	95 (82-111)	86 (76-97)	.	↓	→	0 
Insufficienza cardiaca (scompenso cardiaco)(428)	F	41	50	.	.	192 (145-251)	.	82 (64-106)	78 (65-93)	.	↓	→	0 







Tabella 18C - Porto Recanati													
Causa (ICD-IX)	Genere	Osservati	Attesi	Cluster sign.	SIR cluster	Tasso std. * 100000 (ic)	Tasso std. > Media reg.	SIR (ic)	BIR (ic)	SIR sign.	BIR sign.	Trend	Livello attenzione
Insufficienza cardiaca (scompenso cardiaco)(428)	M	45	47	.	.	220 (168-300)	.	95 (75-122)	94 (80-113)	.	.	→	1
Insufficienza cardiaca (scompenso cardiaco)(428)	M + F	86	97	.	.	206 (170-254)	.	89 (74-106)	84 (73-97)	.	↓	→	0 
Malattie cerebrovascolari(430-438)	F	77	87	.	.	346 (283-421)	.	89 (74-107)	98 (85-114)	.	.	→	1
Malattie cerebrovascolari(430-438)	M	85	86	.	.	391 (323-485)	.	99 (83-118)	102 (89-117)	.	.	↓	0 
Malattie cerebrovascolari(430-438)	M + F	162	173	.	.	368 (321-427)	.	94 (82-107)	101 (90-112)	.	.	→	1
Malattie dell'apparato respiratorio(460-5199)	F	185	185	.	.	687 (604-781)	.	100 (88-113)	100 (90-110)	.	.	→	1
Malattie dell'apparato respiratorio(460-5199)	M	262	236	.	.	987 (886-1112)	↑	111 (100-123)	107 (98-117)	↑	.	→	3 
Malattie dell'apparato respiratorio(460-5199)	M + F	447	422	.	.	834 (768-911)	↑	106 (98-115)	105 (98-113)	.	.	→	1
Malattie polmonari cronico ostruttive(490-492, 494, 496)	F	14	16	.	.	61 (36-98)	.	88 (57-135)	112 (78-157)	.	.	↓	0 
Malattie polmonari cronico ostruttive(490-492, 494, 496)	M	15	18	.	.	63 (38-120)	.	82 (54-126)	95 (70-128)	.	.	→	1
Malattie polmonari cronico ostruttive(490-492, 494, 496)	M + F	29	34	.	.	62 (44-95)	.	85 (63-115)	101 (78-129)	.	.	↓	0 
Pneumoconiosi(500-505)	F	0	0	.	.	0 (0-16)	.	.	0 (0-0)	.	.	n.c.	1
Pneumoconiosi(500-505)	M	<5	<5	.	.	3 (0-50)	.	143 (32-641)	137 (37-406)	.	.	n.c.	1
Pneumoconiosi(500-505)	M + F	<5	<5	.	.	1 (0-25)	.	143 (32-641)	133 (43-338)	.	.	n.c.	1
Malattie dell'apparato digerente(520-579)	F	249	231	.	.	918 (823-1024)	.	108 (97-120)	107 (98-116)	.	.	→	1
Malattie dell'apparato digerente(520-579)	M	305	320	.	.	1131 (1025-1261)	.	95 (87-105)	98 (92-106)	.	.	↓	0 


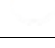
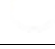










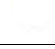
Tabella 18C - Porto Recanati													
Causa (ICD-IX)	Genere	Osservati	Attesi	Cluster sign.	SIR cluster	Tasso std. * 100000 (ic)	Tasso std. > Media reg.	SIR (ic)	BIR (ic)	SIR sign.	BIR sign.	Trend	Livello attenzione
Malattie dell'apparato digerente(520-579)	M + F	554	551	.	.	1023 (951-1106)	.	101 (94-108)	102 (96-108)	.	.	↓	0 
Cirrosi e altre malattie croniche del fegato(571)	F	5	6	.	.	21 (8-46)	.	84 (41-172)	114 (81-156)	.	.	n.c.	1 
Cirrosi e altre malattie croniche del fegato(571)	M	15	11	.	.	55 (34-110)	.	138 (91-211)	122 (90-165)	.	.	→	1 
Cirrosi e altre malattie croniche del fegato(571)	M + F	20	17	.	.	38 (25-66)	.	119 (82-171)	118 (92-151)	.	.	→	1 
Nefropatie croniche e acute(580-589)	F	27	23	.	.	120 (84-167)	.	116 (85-159)	106 (80-138)	.	.	n.c.	1 
Nefropatie croniche e acute(580-589)	M	25	25	.	.	124 (83-196)	.	101 (73-140)	86 (68-110)	.	.	→	1 
Nefropatie croniche e acute(580-589)	M + F	52	48	.	.	122 (94-164)	.	109 (86-136)	98 (80-118)	.	.	→	1 
Malattie dell'apparato urinario(580-599)	F	80	65	.	.	318 (261-387)	↑	123 (102-147)	115 (97-135)	↑	.	→	3 
Malattie dell'apparato urinario(580-599)	M	97	86	.	.	396 (329-490)	.	113 (96-134)	107 (94-122)	.	.	→	1 
Malattie dell'apparato urinario(580-599)	M + F	177	151	.	.	357 (312-413)	↑	117 (104-133)	113 (101-125)	↑	↑	→	5 
Endometriosi(617)	F	14	13	.	.	44 (27-72)	.	105 (68-162)	113 (79-155)	.	.	→	1 
Malformazioni congenite(740-759)	F	23	37	.	.	69 (47-102)	.	62 (44-88)	81 (65-98)	↓	↓	→	0 
Malformazioni congenite(740-759)	M	64	64	.	.	190 (153-255)	.	100 (82-123)	105 (89-122)	.	.	→	1 
Malformazioni congenite(740-759)	M + F	87	101	.	.	129 (107-163)	.	86 (73-103)	93 (81-106)	.	.	→	1 

Tabella 19C. Incidenza di primi ricoveri ospedalieri per causa nel comune di Porto Sant'Elpidio, tutte le età, periodo di osservazione 2009-2013






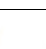
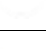

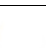



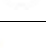
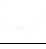


Tabella 19C - Porto Sant'Elpidio	Genere	Osservati	Attesi	Cluster sign.	SIR cluster	Tasso std. * 100000 (ic)	Tasso std. > Media reg.	SIR (ic)	BIR (ic)	SIR sign.	BIR sign.	Trend	Livello attenzione
Causa (ICD-IX)													
Malattie infettive(001-139)	F	73	98	.	.	117 (95-144)	.	75 (62-91)	81 (68-95)	↓	↓	↓	0 
Malattie infettive(001-139)	M	104	114	.	.	174 (146-206)	.	91 (78-107)	92 (79-107)	.	.	→	1 
Malattie infettive(001-139)	M + F	177	212	.	.	144 (127-164)	.	84 (74-95)	86 (76-97)	↓	↓	↓	0 
Tumori maligni delle vie aeree e digestive superiori(140-150, 161)	F	5	7	.	.	8 (3-20)	.	72 (35-148)	96 (68-128)	.	.	n.c.	1 
Tumori maligni delle vie aeree e digestive superiori(140-150, 161)	M	26	19	.	.	45 (32-65)	↑	141 (102-194)	110 (92-139)	↑	.	→	3 
Tumori maligni delle vie aeree e digestive superiori(140-150, 161)	M + F	31	25	.	.	26 (19-36)	.	122 (91-164)	107 (90-131)	.	.	→	1 
Tumori maligni(140-208)	F	397	369	.	.	663 (608-722)	↑	108 (99-117)	106 (98-114)	.	.	→	1 
Tumori maligni(140-208)	M	423	401	.	.	745 (686-808)	.	105 (97-114)	105 (98-112)	.	.	→	1 
Tumori maligni(140-208)	M + F	820	771	.	.	702 (662-745)	↑	106 (100-113)	106 (101-112)	↑	↑	→	5 
Tumori maligni dell'esofago(150)	F	0	1	.	.	0 (0-9)	.	0 (.-.)	96 (53-147)	.	.	n.c.	1 
Tumori maligni dell'esofago(150)	M	<5	<5	.	.	5 (1-16)	.	120 (48-299)	106 (77-147)	.	.	n.c.	1 
Tumori maligni dell'esofago(150)	M + F	<5	<5	.	.	3 (1-8)	.	88 (35-220)	91 (60-129)	.	.	n.c.	1 
Tumori maligni dello stomaco(151)	F	27	15	.	.	45 (32-64)	↑	178 (130-244)	135 (101-181)	↑	↑	→	5 
Tumori maligni dello stomaco(151)	M	16	21	.	.	29 (18-46)	.	77 (51-117)	85 (64-110)	.	.	→	1 
Tumori maligni dello stomaco(151)	M + F	43	36	.	.	38 (29-49)	.	120 (93-154)	108 (86-133)	.	.	→	1 
Tumori maligni dell'intestino tenue, compreso il duodeno(152)	F	0	1	.	.	0 (0-9)	.	0 (.-.)	85 (39-141)	.	.	n.c.	1 




Tabella 19C - Porto Sant'Elpidio													
Causa (ICD-IX)	Genere	Osservati	Attesi	Cluster sign.	SIR cluster	Tasso std. * 100000 (ic)	Tasso std. > Media reg.	SIR (ic)	BIR (ic)	SIR sign.	BIR sign.	Trend	Livello attenzione
Tumori maligni dell'intestino tenue, compreso il duodeno(152)	M	0	2	.	.	0 (0-8)	.	0 (-.)	105 (69-136)	.	.	n.c.	1
Tumori maligni dell'intestino tenue, compreso il duodeno(152)	M + F	0	3	.	.	0 (0-4)	.	0 (-.)	99 (61-127)	.	.	n.c.	1
Tumori maligni del colon(153)	F	29	37	.	.	49 (35-69)	.	79 (58-107)	92 (74-112)	.	.	→	1
Tumori maligni del colon(153)	M	35	44	.	.	62 (46-83)	.	79 (60-105)	93 (78-110)	.	.	→	1
Tumori maligni del colon(153)	M + F	64	81	.	.	55 (44-69)	.	79 (64-97)	90 (77-105)	↓	.	→	0 
Tumori maligni del colon-retto(153-154)	F	48	49	.	.	82 (64-106)	.	98 (77-124)	100 (86-116)	.	.	→	1
Tumori maligni del colon-retto(153-154)	M	57	63	.	.	101 (80-128)	.	91 (73-113)	96 (84-109)	.	.	→	1
Tumori maligni del colon-retto(153-154)	M + F	105	112	.	.	91 (77-108)	.	94 (80-110)	97 (86-109)	.	.	→	1
Tumori maligni del retto, della giunzione retto-sigmoidea e dell'ano(154)	F	20	16	.	.	35 (23-52)	.	127 (88-183)	103 (89-125)	.	.	→	1
Tumori maligni del retto, della giunzione retto-sigmoidea e dell'ano(154)	M	26	23	.	.	46 (33-66)	.	113 (82-156)	99 (85-117)	.	.	→	1
Tumori maligni del retto, della giunzione retto-sigmoidea e dell'ano(154)	M + F	46	39	.	.	40 (31-52)	.	119 (93-151)	103 (90-120)	.	.	→	1
Tumore fegato e dotti biliari(1550-1551)	F	5	4	.	.	9 (3-20)	.	123 (60-253)	98 (64-154)	.	.	n.c.	1
Tumore fegato e dotti biliari(1550-1551)	M	10	9	.	.	17 (9-30)	.	114 (68-191)	102 (75-138)	.	.	n.c.	1
Tumore fegato e dotti biliari(1550-1551)	M + F	15	13	.	.	12 (8-20)	.	117 (77-178)	106 (77-144)	.	.	→	1
Tumori maligni del pancreas(157)	F	11	12	.	.	20 (11-34)	.	95 (58-155)	98 (75-119)	.	.	→	1
Tumori maligni del pancreas(157)	M	10	13	.	.	17 (9-31)	.	80 (48-134)	98 (83-112)	.	.	→	1
Tumori maligni del pancreas(157)	M + F	21	24	.	.	19 (12-28)	.	87 (61-125)	97 (83-109)	.	.	→	1

Tabella 19C - Porto Sant'Elpidio	Genere	Osservati	Attesi	Cluster sign.	SIR cluster	Tasso std. * 100000 (ic)	Tasso std. > Media reg.	SIR (ic)	BIR (ic)	SIR sign.	BIR sign.	Trend	Livello attenzione
Causa (ICD-IX)													
Tumore del retroperitoneo(1580)	F	<5	<5	.	.	1 (0-11)	.	137 (31-613)	107 (60-187)	.	.	n.c.	1
Tumore del retroperitoneo(1580)	M	0	1	.	.	0 (0-8)	.	0 (-.)	71 (20-150)	.	.	n.c.	1
Tumore del retroperitoneo(1580)	M + F	<5	<5	.	.	1 (0-5)	.	72 (16-323)	97 (57-149)	.	.	n.c.	1
Tumori maligni del naso(1600)	F	<5	<5	.	.	2 (0-11)	.	638 (142-2861)	68 (31-134)	↑	.	n.c.	1
Tumori maligni del naso(1600)	M	<5	<5	.	.	5 (1-16)	↑	481 (192-1204)	192 (88-547)	↑	.	n.c.	3 😞
Tumori maligni del naso(1600)	M + F	<5	<5	.	.	3 (1-9)	↑	513 (230-1142)	177 (85-449)	↑	.	n.c.	3 😞
Tumori maligni della laringe(161)	F	<5	<5	.	.	2 (0-11)	.	99 (22-443)	101 (43-184)	.	.	n.c.	1
Tumori maligni della laringe(161)	M	13	8	.	.	23 (13-38)	.	155 (99-244)	110 (90-144)	.	.	→	1
Tumori maligni della laringe(161)	M + F	14	9	.	.	12 (7-19)	.	149 (96-231)	109 (91-142)	.	.	→	1
Tumori maligni della trachea, dei bronchi e dei polmoni(162)	F	17	18	.	.	30 (19-47)	.	95 (64-141)	94 (73-121)	.	.	→	1
Tumori maligni della trachea, dei bronchi e dei polmoni(162)	M	68	50	.	.	120 (97-148)	↑	135 (110-165)	114 (100-134)	↑	↑	→	5 😡
Tumori maligni della trachea, dei bronchi e dei polmoni(162)	M + F	85	68	.	.	73 (61-89)	↑	124 (104-149)	109 (98-125)	↑	.	→	3 😞
Tumori maligni della pleura(163)	F	<5	<5	.	.	4 (1-14)	.	221 (73-667)	111 (57-198)	.	.	n.c.	1
Tumori maligni della pleura(163)	M	<5	<5	.	.	2 (0-10)	.	45 (10-202)	68 (28-145)	.	.	n.c.	1
Tumori maligni della pleura(163)	M + F	<5	<5	.	.	3 (1-8)	.	96 (38-240)	89 (46-161)	.	.	n.c.	1
Mesoteliomi pleurici e peritoneali(1588, 163)	F	<5	<5	.	.	4 (1-14)	.	157 (52-476)	100 (54-178)	.	.	n.c.	1
Mesoteliomi pleurici e peritoneali(1588, 163)	M	<5	<5	.	.	2 (0-10)	.	43 (10-193)	73 (33-144)	.	.	n.c.	1



Tabella 19C - Porto Sant'Elpidio													
Causa (ICD-IX)	Genere	Osservati	Attesi	Cluster sign.	SIR cluster	Tasso std. * 100000 (ic)	Tasso std. > Media reg.	SIR (ic)	BIR (ic)	SIR sign.	BIR sign.	Trend	Livello attenzione
Mesoteliomi pleurici e peritoneali(1588, 163)	M + F	<5	<5	.	.	3 (1-8)	.	84 (33-209)	86 (47-145)	.	.	n.c.	1
Tumori maligni delle ossa e della cartilagine articolare(170)	F	<5	<5	.	.	2 (0-12)	.	61 (14-274)	109 (63-169)	.	.	n.c.	1
Tumori maligni delle ossa e della cartilagine articolare(170)	M	<5	<5	.	.	5 (1-15)	.	169 (68-424)	99 (77-130)	.	.	n.c.	1
Tumori maligni delle ossa e della cartilagine articolare(170)	M + F	<5	<5	.	.	3 (1-9)	.	117 (53-262)	106 (80-138)	.	.	n.c.	1
Tumori maligni del connettivo e di altri tessuti molli(171)	F	<5	<5	.	.	6 (2-17)	.	120 (54-268)	98 (70-136)	.	.	n.c.	1
Tumori maligni del connettivo e di altri tessuti molli(171)	M	<5	>5	.	.	7 (2-18)	.	87 (39-193)	95 (57-147)	.	.	n.c.	1
Tumori maligni del connettivo e di altri tessuti molli(171)	M + F	8	8	.	.	6 (3-13)	.	101 (57-179)	97 (63-144)	.	.	n.c.	1
Melanoma maligno della pelle(172)	F	8	9	.	.	12 (6-24)	.	90 (51-160)	87 (59-123)	.	.	n.c.	1
Melanoma maligno della pelle(172)	M	12	9	.	.	20 (12-35)	.	130 (81-208)	92 (64-134)	.	.	n.c.	1
Melanoma maligno della pelle(172)	M + F	20	18	.	.	16 (11-24)	.	110 (77-159)	93 (68-125)	.	.	n.c.	1
Tumori maligni della mammella(174-175)	F	120	113	.	.	198 (169-232)	.	106 (91-123)	106 (93-120)	.	.	→	1
Tumori maligni della mammella(174-175)	M	<5	<5	.	.	4 (1-13)	.	197 (65-594)	101 (60-191)	.	.	n.c.	1
Tumori maligni della mammella(174-175)	M + F	122	114	.	.	104 (89-122)	.	107 (92-124)	106 (93-120)	.	.	→	1
Tumori maligni dell'utero(179-180, 182)	F	30	25	.	.	47 (34-66)	.	122 (91-165)	108 (93-129)	.	.	→	1
Tumori maligni del corpo dell'utero(182)	F	14	16	.	.	23 (14-39)	.	89 (58-138)	98 (78-117)	.	.	↓	0 
Tumori maligni dell'ovaio e degli altri annessi uterini(183)	F	14	12	.	.	24 (14-39)	.	121 (78-187)	101 (85-122)	.	.	→	1
Tumore della prostata(185)	M	74	62	2	121	130 (106-159)	↑	119 (98-144)	119 (101-138)	.	↑	↓	3 

Tabella 19C - Porto Sant'Elpidio	Genere	Osservati	Attesi	Cluster sign.	SIR cluster	Tasso std. * 100000 (ic)	Tasso std. > Media reg.	SIR (ic)	BIR (ic)	SIR sign.	BIR sign.	Trend	Livello attenzione
Causa (ICD-IX)													
Tumore del testicolo(186)	M	5	6	.	.	8 (3-19)	.	90 (44-185)	103 (76-131)	.	.	n.c.	1
Tumori maligni della vescica(188)	F	14	12	.	.	24 (14-39)	.	118 (77-183)	104 (87-122)	.	.	n.c.	1
Tumori maligni della vescica(188)	M	66	53	.	.	117 (95-145)	↑	125 (102-152)	105 (94-121)	↑	.	→	3 ☹️
Tumori maligni della vescica(188)	M + F	80	65	.	.	69 (57-84)	↑	123 (103-148)	106 (95-121)	↑	.	→	3 ☹️
Tumori maligni del rene e di altri e non specificati organi urinari(189)	F	7	11	.	.	11 (5-23)	.	65 (35-119)	91 (72-111)	.	.	n.c.	1
Tumori maligni del rene e di altri e non specificati organi urinari(189)	M	16	23	.	.	28 (18-44)	.	69 (46-104)	93 (74-111)	.	.	→	1
Tumori maligni del rene e di altri e non specificati organi urinari(189)	M + F	23	34	.	.	19 (13-28)	.	68 (48-95)	89 (73-105)	↓	.	→	0 😊
Tumori maligni dell'encefalo(191)	F	6	7	.	.	9 (4-21)	.	83 (43-160)	85 (60-116)	.	.	n.c.	1
Tumori maligni dell'encefalo(191)	M	9	10	.	.	16 (8-29)	.	91 (53-157)	104 (79-129)	.	.	n.c.	1
Tumori maligni dell'encefalo(191)	M + F	15	17	.	.	12 (8-20)	.	88 (58-134)	94 (73-116)	.	.	n.c.	1
Tumori maligni del sistema nervoso centrale(191-192)	F	7	8	.	.	11 (5-23)	.	84 (46-155)	88 (64-113)	.	.	n.c.	1
Tumori maligni del sistema nervoso centrale(191-192)	M	10	11	.	.	17 (9-31)	.	94 (56-157)	103 (76-126)	.	.	→	1
Tumori maligni del sistema nervoso centrale(191-192)	M + F	17	19	.	.	14 (9-22)	.	89 (60-133)	94 (74-117)	.	.	→	1
Tumori maligni della ghiandola tiroide(193)	F	16	16	.	.	24 (15-39)	.	98 (65-148)	99 (75-128)	.	.	→	1
Tumori maligni della ghiandola tiroide(193)	M	6	5	.	.	10 (5-22)	.	115 (59-222)	96 (62-145)	.	.	n.c.	1
Tumori maligni della ghiandola tiroide(193)	M + F	22	22	.	.	18 (12-26)	.	102 (72-145)	98 (75-127)	.	.	→	1
Linfoma non Hodgkin(200, 202)	F	19	13	.	.	31 (21-48)	.	148 (102-216)	106 (89-140)	↑	.	→	3 ☹️






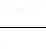


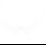

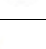





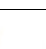
Tabella 19C - Porto Sant'Elpidio	Genere	Osservati	Attesi	Cluster sign.	SIR cluster	Tasso std. * 100000 (ic)	Tasso std. > Media reg.	SIR (ic)	BIR (ic)	SIR sign.	BIR sign.	Trend	Livello attenzione
Causa (ICD-IX)													
Linfoma non Hodgkin(200, 202)	M	14	17	.	.	24 (14-39)	.	83 (53-128)	96 (75-118)	.	.	↓	0 
Linfoma non Hodgkin(200, 202)	M + F	33	30	.	.	28 (20-38)	.	111 (83-148)	104 (86-126)	.	.	→	1 
Tumori emolinfopoiетici(200-208)	F	41	28	.	.	71 (53-94)	↑	149 (115-192)	117 (97-144)	↑	.	→	3 
Tumori emolinfopoiетici(200-208)	M	34	34	.	.	59 (43-80)	.	100 (75-132)	98 (82-116)	.	.	→	1 
Tumori emolinfopoiетici(200-208)	M + F	75	62	.	.	65 (53-80)	↑	121 (101-147)	111 (96-130)	↑	.	→	3 
Malattia di Hodgkin(201)	F	<5	<5	.	.	7 (2-18)	.	134 (60-298)	110 (89-137)	.	.	n.c.	1 
Malattia di Hodgkin(201)	M	<5	<5	.	.	5 (1-15)	.	110 (44-275)	98 (74-128)	.	.	n.c.	1 
Malattia di Hodgkin(201)	M + F	7	6	.	.	6 (3-12)	.	122 (66-226)	106 (79-144)	.	.	n.c.	1 
Mieloma multiplo e tumori immunoproliferativi(203)	F	5	5	.	.	8 (3-20)	.	96 (47-197)	98 (73-135)	.	.	n.c.	1 
Mieloma multiplo e tumori immunoproliferativi(203)	M	6	6	.	.	11 (5-23)	.	95 (49-183)	93 (64-135)	.	.	n.c.	1 
Mieloma multiplo e tumori immunoproliferativi(203)	M + F	11	12	.	.	10 (5-17)	.	95 (58-155)	99 (70-134)	.	.	n.c.	1 
Leucemie(204-208)	F	16	8	.	.	29 (18-46)	↑	196 (130-295)	124 (93-180)	↑	.	→	3 
Leucemie(204-208)	M	12	11	.	.	21 (12-36)	.	109 (68-175)	97 (77-126)	.	.	→	1 
Leucemie(204-208)	M + F	28	19	.	.	25 (18-35)	↑	146 (107-199)	119 (94-153)	↑	.	→	3 
Gozzo non tossico(240-241)	F	26	28	.	.	40 (28-58)	.	93 (68-128)	95 (72-121)	.	.	→	1 
Gozzo non tossico(240-241)	M	11	9	.	.	18 (10-32)	.	124 (76-203)	115 (79-165)	.	.	n.c.	1 
Gozzo non tossico(240-241)	M + F	37	37	.	.	30 (22-40)	.	101 (77-132)	99 (79-125)	.	.	→	1 









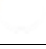



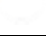



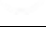
Tabella 19C - Porto Sant'Elpidio													
Causa (ICD-IX)	Genere	Osservati	Attesi	Cluster sign.	SIR cluster	Tasso std. * 100000 (ic)	Tasso std. > Media reg.	SIR (ic)	BIR (ic)	SIR sign.	BIR sign.	Trend	Livello attenzione
Malattie endocrine e della nutrizione(240-2799)	F	202	184	.	.	326 (288-368)	.	110 (98-124)	108 (96-120)	.	.	↓	0 
Malattie endocrine e della nutrizione(240-2799)	M	141	141	.	.	237 (205-274)	.	100 (87-115)	100 (88-113)	.	.	↓	0 
Malattie endocrine e della nutrizione(240-2799)	M + F	343	325	.	.	283 (258-310)	.	106 (97-115)	105 (96-114)	.	.	↓	0 
Tireotossicosi(242)	F	>5	>5	.	.	14 (7-27)	.	98 (57-168)	96 (67-133)	.	.	→	1 
Tireotossicosi(242)	M	<5	<5	.	.	3 (1-13)	.	62 (20-186)	79 (41-139)	.	.	n.c.	1 
Tireotossicosi(242)	M + F	11	13	.	.	9 (5-16)	.	88 (54-144)	90 (62-125)	.	.	→	1 
Ipotiroidismo(243-244)	F	>5	>5	.	.	10 (5-22)	.	153 (83-282)	114 (87-166)	.	.	n.c.	1 
Ipotiroidismo(243-244)	M	<5	<5	.	.	6 (2-16)	.	102 (46-226)	103 (81-130)	.	.	n.c.	1 
Ipotiroidismo(243-244)	M + F	11	9	.	.	8 (5-15)	.	129 (79-211)	109 (92-134)	.	.	→	1 
Diabete mellito(250)	F	15	30	.	.	26 (16-42)	.	50 (33-76)	50 (34-71)	↓	↓	n.c.	0 
Diabete mellito(250)	M	19	41	.	.	32 (21-48)	.	47 (32-68)	50 (36-69)	↓	↓	↓	0 
Diabete mellito(250)	M + F	34	71	.	.	29 (21-39)	.	48 (36-63)	50 (39-64)	↓	↓	↓	0 
Malattie del sangue e degli organi emopoietici(280-289)	F	52	61	.	.	84 (66-108)	.	86 (68-108)	87 (70-105)	.	.	→	1 
Malattie del sangue e degli organi emopoietici(280-289)	M	48	52	.	.	84 (65-108)	.	92 (72-116)	89 (72-110)	.	.	→	1 
Malattie del sangue e degli organi emopoietici(280-289)	M + F	100	113	.	.	84 (70-100)	.	89 (75-104)	87 (75-101)	.	.	↓	0 
Malattie neuro-psichiatriche (escluse tossicod.)(290-303, 306-319)	F	78	83	.	.	120 (99-147)	.	94 (78-113)	93 (79-110)	.	.	↓	0 
Malattie neuro-psichiatriche (escluse tossicod.)(290-303, 306-319)	M	90	98	.	.	146 (121-175)	.	92 (78-110)	95 (81-110)	.	.	→	1 










Tabella 19C - Porto Sant'Elpidio	Genere	Osservati	Attesi	Cluster sign.	SIR cluster	Tasso std. * 100000 (ic)	Tasso std. > Media reg.	SIR (ic)	BIR (ic)	SIR sign.	BIR sign.	Trend	Livello attenzione
Causa (ICD-IX)													
Malattie neuro-psichiatriche (escluse tossicod.)(290-303, 306-319)	M + F	168	181	.	.	133 (116-152)	.	93 (82-106)	95 (84-107)	.	.	→	1
Malattie del sistema nervoso e degli organi di senso(320-389)	F	364	442	.	.	596 (545-651)	.	82 (76-90)	84 (77-91)	↓	↓	↓	0 
Malattie del sistema nervoso e degli organi di senso(320-389)	M	296	381	.	.	502 (455-554)	.	78 (71-86)	80 (73-87)	↓	↓	↓	0 
Malattie del sistema nervoso e degli organi di senso(320-389)	M + F	660	823	.	.	551 (516-588)	.	80 (75-86)	81 (77-86)	↓	↓	↓	0 
Malattia di Alzheimer(3310)	F	26	22	.	.	48 (33-68)	.	116 (84-160)	124 (88-170)	.	.	n.c.	1
Malattia di Alzheimer(3310)	M	<5	12	.	.	2 (0-11)	.	8 (2-38)	24 (10-48)	↓	↓	n.c.	0 
Malattia di Alzheimer(3310)	M + F	27	34	.	.	26 (18-36)	.	79 (57-108)	85 (62-114)	.	.	→	1
Morbo di Parkinson(3320)	F	>5	>5	2	189	21 (11-36)	↑	219 (134-357)	165 (105-263)	↑	↑	→	5 
Morbo di Parkinson(3320)	M	<5	>5	.	.	6 (1-16)	.	42 (17-105)	91 (52-139)	.	.	n.c.	1
Morbo di Parkinson(3320)	M + F	14	12	.	.	13 (8-22)	.	115 (75-178)	124 (87-171)	.	.	↓	0 
Malattia dei neuroni motori(3352)	F	>5	<5	2	194	10 (4-22)	↑	257 (133-497)	187 (102-341)	↑	↑	n.c.	5 
Malattia dei neuroni motori(3352)	M	<5	<5	.	.	5 (1-15)	.	114 (46-285)	110 (71-168)	.	.	n.c.	1
Malattia dei neuroni motori(3352)	M + F	9	5	2	159	8 (4-15)	↑	181 (105-311)	114 (92-152)	↑	.	n.c.	3 
Sclerosi multipla(340)	F	5	9	.	.	7 (3-18)	.	57 (28-117)	96 (75-116)	.	.	n.c.	1
Sclerosi multipla(340)	M	5	5	.	.	8 (3-19)	.	102 (50-210)	102 (70-136)	.	.	n.c.	1
Sclerosi multipla(340)	M + F	10	14	.	.	7 (4-14)	.	73 (44-122)	95 (72-118)	.	.	n.c.	1
Malattie cardiache(390-429)	F	335	327	.	.	609 (554-668)	.	103 (94-112)	102 (94-110)	.	.	↓	0 

Tabella 19C - Porto Sant'Elpidio	Genere	Osservati	Attesi	Cluster sign.	SIR cluster	Tasso std. * 100000 (ic)	Tasso std. > Media reg.	SIR (ic)	BIR (ic)	SIR sign.	BIR sign.	Trend	Livello attenzione
Causa (ICD-IX)													
Malattie cardiache(390-429)	M	473	443	.	.	837 (774-905)	↑	107 (99-115)	106 (99-113)	.	.	↓	1
Malattie cardiache(390-429)	M + F	808	770	.	.	719 (677-763)	↑	105 (99-111)	105 (99-111)	.	.	↓	1
Malattie dell'apparato circolatorio(390-459)	F	633	589	.	.	1116 (1043-1194)	↑	107 (101-115)	107 (101-114)	↑	↑	↓	4 😬
Malattie dell'apparato circolatorio(390-459)	M	749	715	.	.	1300 (1222-1382)	↑	105 (99-111)	105 (100-111)	.	.	↓	1
Malattie dell'apparato circolatorio(390-459)	M + F	1382	1304	.	.	1204 (1151-1260)	↑	106 (101-111)	107 (102-111)	↑	↑	↓	4 😬
Malattie ischemiche del cuore(410-4149)	F	137	113	.	.	245 (211-284)	↑	121 (105-140)	117 (102-133)	↑	↑	→	5 😬
Malattie ischemiche del cuore(410-4149)	M	289	225	2	114	507 (459-560)	↑	128 (117-142)	126 (115-137)	↑	↑	→	5 😬
Malattie ischemiche del cuore(410-4149)	M + F	426	338	.	.	371 (342-403)	↑	126 (116-137)	126 (116-135)	↑	↑	→	5 😬
Insufficienza cardiaca (scompenso cardiaco)(428)	F	128	129	.	.	251 (215-293)	.	99 (86-115)	99 (87-113)	.	.	→	1
Insufficienza cardiaca (scompenso cardiaco)(428)	M	136	127	.	.	257 (221-297)	.	107 (93-123)	106 (93-120)	.	.	↓	0 😊
Insufficienza cardiaca (scompenso cardiaco)(428)	M + F	264	256	.	.	254 (228-282)	.	103 (93-114)	104 (95-115)	.	.	↓	0 😊
Malattie cerebrovascolari(430-438)	F	219	189	2	114	418 (373-470)	↑	116 (104-129)	116 (104-128)	↑	↑	↓	5 😬
Malattie cerebrovascolari(430-438)	M	227	201	.	.	410 (366-459)	↑	113 (101-126)	110 (99-121)	↑	.	→	3 😬
Malattie cerebrovascolari(430-438)	M + F	446	390	2	112	414 (382-449)	↑	114 (106-124)	114 (106-123)	↑	↑	↓	5 😬
Malattie dell'apparato respiratorio(460-5199)	F	396	391	.	.	669 (613-729)	.	101 (93-110)	100 (92-107)	.	.	↓	0 😊
Malattie dell'apparato respiratorio(460-5199)	M	512	506	.	.	880 (816-948)	.	101 (94-109)	100 (94-107)	.	.	→	1
Malattie dell'apparato respiratorio(460-5199)	M + F	908	897	.	.	770 (728-815)	.	101 (96-107)	100 (95-105)	.	.	↓	0 😊


















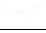

Tabella 19C - Porto Sant'Elpidio	Genere	Osservati	Attesi	Cluster sign.	SIR cluster	Tasso std. * 100000 (ic)	Tasso std. > Media reg.	SIR (ic)	BIR (ic)	SIR sign.	BIR sign.	Trend	Livello attenzione
Causa (ICD-IX)													
Malattie polmonari cronico ostruttive(490-492, 494, 496)	F	25	29	.	.	47 (33-68)	.	86 (62-119)	84 (62-110)	.	.	↓	0 
Malattie polmonari cronico ostruttive(490-492, 494, 496)	M	31	42	.	.	55 (40-76)	.	74 (55-100)	78 (61-99)	↓	↓	→	0 
Malattie polmonari cronico ostruttive(490-492, 494, 496)	M + F	56	71	.	.	51 (40-65)	.	79 (63-98)	80 (65-97)	↓	↓	→	0 
Pneumoconiosi(500-505)	F	0	0	.	.	0 (0-9)	.	0 (-.)	84 (9-382)	.	.	n.c.	1 
Pneumoconiosi(500-505)	M	0	1	.	.	0 (0-8)	.	0 (-.)	43 (8-115)	.	.	n.c.	1 
Pneumoconiosi(500-505)	M + F	0	1	.	.	0 (0-4)	.	0 (-.)	65 (21-120)	.	.	n.c.	1 
Malattie dell'apparato digerente(520-579)	F	471	528	.	.	761 (704-824)	.	89 (83-96)	91 (85-97)	↓	↓	↓	0 
Malattie dell'apparato digerente(520-579)	M	653	728	.	.	1102 (1032-1177)	.	90 (84-96)	92 (87-97)	↓	↓	↓	0 
Malattie dell'apparato digerente(520-579)	M + F	1124	1256	.	.	925 (880-973)	.	89 (85-94)	91 (87-95)	↓	↓	↓	0 
Cirrosi e altre malattie croniche del fegato(571)	F	11	13	.	.	19 (11-34)	.	84 (51-137)	95 (75-119)	.	.	→	1 
Cirrosi e altre malattie croniche del fegato(571)	M	27	25	.	.	46 (33-65)	.	109 (79-149)	104 (82-132)	.	.	→	1 
Cirrosi e altre malattie croniche del fegato(571)	M + F	38	38	.	.	32 (24-43)	.	100 (77-131)	100 (82-121)	.	.	→	1 
Nefropatie croniche e acute(580-589)	F	40	50	.	.	72 (54-95)	.	80 (62-104)	88 (70-109)	.	.	→	1 
Nefropatie croniche e acute(580-589)	M	58	69	.	.	105 (84-132)	.	84 (68-104)	89 (74-108)	.	.	→	1 
Nefropatie croniche e acute(580-589)	M + F	98	119	.	.	88 (74-105)	.	82 (70-97)	87 (75-101)	↓	.	→	0 
Malattie dell'apparato urinario(580-599)	F	122	140	.	.	206 (176-242)	.	87 (75-101)	92 (80-105)	.	.	→	1 
Malattie dell'apparato urinario(580-599)	M	199	202	.	.	348 (308-393)	.	99 (88-111)	100 (90-110)	.	.	→	1 




Tabella 19C - Porto Sant'Elpidio	Genere	Osservati	Attesi	Cluster sign.	SIR cluster	Tasso std. * 100000 (ic)	Tasso std. > Media reg.	SIR (ic)	BIR (ic)	SIR sign.	BIR sign.	Trend	Livello attenzione
Causa (ICD-IX)													
Malattie dell'apparato urinario(580-599)	M + F	321	342	.	.	274 (250-302)	.	94 (86-103)	96 (88-105)	.	.	→	1
Endometriosi(617)	F	12	26	.	.	17 (10-30)	.	46 (29-74)	67 (47-91)	↓	↓	→	0 
Malformazioni congenite(740-759)	F	81	80	.	.	120 (99-146)	.	101 (84-121)	94 (81-109)	.	.	→	1
Malformazioni congenite(740-759)	M	100	118	.	.	158 (133-188)	.	85 (72-100)	84 (73-96)	↓	↓	→	0 
Malformazioni congenite(740-759)	M + F	181	198	.	.	138 (122-157)	.	91 (81-103)	89 (80-99)	.	↓	→	0 

Tabella 20C. Incidenza di primi ricoveri ospedalieri per causa nel comune di Recanati, tutte le età, periodo di osservazione 2009-2013




Tabella 20C - Recanati	Genere	Osservati	Attesi	Cluster sign.	SIR cluster	Tasso std. * 100000 (ic)	Tasso std. > Media reg.	SIR (ic)	BIR (ic)	SIR sign.	BIR sign.	Trend	Livello attenzione
Causa (ICD-IX)													
Malattie infettive(001-139)	F	90	84	.	.	159 (133-190)	.	108 (90-128)	99 (85-114)	.	.	→	1
Malattie infettive(001-139)	M	93	94	.	.	181 (151-218)	.	99 (84-118)	93 (81-107)	.	.	↓	0 
Malattie infettive(001-139)	M + F	183	177	.	.	170 (150-193)	.	103 (91-117)	98 (88-109)	.	.	↓	0 
Tumori maligni delle vie aeree e digestive superiori(140-150, 161)	F	<5	>5	.	.	5 (1-14)	.	61 (25-153)	79 (57-104)	.	.	n.c.	1
Tumori maligni delle vie aeree e digestive superiori(140-150, 161)	M	>5	>5	.	.	26 (16-45)	.	92 (59-142)	94 (76-112)	.	.	n.c.	1
Tumori maligni delle vie aeree e digestive superiori(140-150, 161)	M + F	17	20	.	.	16 (10-25)	.	84 (57-125)	88 (73-105)	.	.	n.c.	1
Tumori maligni(140-208)	F	301	318	.	.	531 (481-584)	.	95 (86-104)	94 (88-101)	.	.	→	1
Tumori maligni(140-208)	M	334	349	.	.	630 (574-692)	.	96 (87-105)	97 (91-104)	.	.	→	1
Tumori maligni(140-208)	M + F	635	667	.	.	579 (542-619)	.	95 (89-102)	95 (90-100)	.	.	→	1
Tumori maligni dell'esofago(150)	F	0	1	.	.	0 (0-6)	.	0 (.-.)	85 (50-135)	.	.	n.c.	1
Tumori maligni dell'esofago(150)	M	<5	<5	.	.	8 (3-22)	.	216 (97-482)	92 (66-142)	.	.	n.c.	1
Tumori maligni dell'esofago(150)	M + F	<5	<5	.	.	4 (1-11)	.	152 (68-339)	86 (62-119)	.	.	n.c.	1
Tumori maligni dello stomaco(151)	F	11	14	.	.	19 (11-32)	.	77 (47-126)	76 (58-99)	.	↓	→	0 
Tumori maligni dello stomaco(151)	M	20	20	.	.	37 (25-58)	.	102 (71-147)	100 (80-124)	.	.	→	1
Tumori maligni dello stomaco(151)	M + F	31	34	.	.	28 (20-39)	.	92 (68-123)	89 (74-108)	.	.	→	1
Tumori maligni dell'intestino tenue, compreso il duodeno(152)	F	0	1	.	.	0 (0-6)	.	0 (.-.)	90 (42-151)	.	.	n.c.	1

Tabella 20C - Recanati	Genere	Osservati	Attesi	Cluster sign.	SIR cluster	Tasso std. * 100000 (ic)	Tasso std. > Media reg.	SIR (ic)	BIR (ic)	SIR sign.	BIR sign.	Trend	Livello attenzione
Causa (ICD-IX)													
Tumori maligni dell'intestino tenue, compreso il duodeno(152)	M	<5	<5	.	.	6 (2-20)	.	212 (85-530)	82 (57-122)	.	.	n.c.	1
Tumori maligni dell'intestino tenue, compreso il duodeno(152)	M + F	<5	<5	.	.	3 (1-10)	.	122 (49-304)	89 (63-124)	.	.	n.c.	1
Tumori maligni del colon(153)	F	38	32	.	.	67 (50-88)	.	120 (92-156)	101 (85-120)	.	.	→	1
Tumori maligni del colon(153)	M	32	37	.	.	60 (43-83)	.	86 (64-115)	95 (81-111)	.	.	→	1
Tumori maligni del colon(153)	M + F	70	69	.	.	63 (51-79)	.	101 (83-124)	97 (85-111)	.	.	→	1
Tumori maligni del colon-retto(153-154)	F	48	44	.	.	84 (65-107)	.	109 (86-139)	101 (88-116)	.	.	→	1
Tumori maligni del colon-retto(153-154)	M	64	57	.	.	120 (96-150)	.	113 (92-139)	106 (95-119)	.	.	→	1
Tumori maligni del colon-retto(153-154)	M + F	112	100	.	.	102 (86-120)	.	112 (95-130)	105 (95-117)	.	.	↑	2 😊
Tumori maligni del retto, della giunzione retto-sigmoidea e dell'ano(154)	F	16	15	.	.	28 (18-43)	.	110 (73-166)	101 (86-119)	.	.	→	1
Tumori maligni del retto, della giunzione retto-sigmoidea e dell'ano(154)	M	38	23	.	.	71 (54-97)	↑	169 (129-220)	115 (100-142)	↑	.	→	3 😞
Tumori maligni del retto, della giunzione retto-sigmoidea e dell'ano(154)	M + F	54	37	.	.	49 (39-63)	↑	146 (116-182)	114 (101-135)	↑	↑	→	5 😡
Tumore fegato e dotti biliari(1550-1551)	F	<5	<5	.	.	5 (1-14)	.	75 (30-188)	88 (57-128)	.	.	n.c.	1
Tumore fegato e dotti biliari(1550-1551)	M	<5	>5	.	.	6 (2-19)	.	43 (17-108)	82 (60-105)	.	.	n.c.	1
Tumore fegato e dotti biliari(1550-1551)	M + F	6	11	.	.	5 (2-13)	.	55 (28-106)	80 (60-103)	.	.	n.c.	1
Tumori maligni del pancreas(157)	F	8	11	.	.	14 (7-26)	.	76 (43-135)	94 (75-114)	.	.	n.c.	1
Tumori maligni del pancreas(157)	M	14	11	.	.	27 (16-45)	.	123 (79-190)	103 (90-120)	.	.	n.c.	1
Tumori maligni del pancreas(157)	M + F	22	22	.	.	20 (14-31)	.	100 (71-142)	100 (88-112)	.	.	n.c.	1

Tabella 20C - Recanati	Genere	Osservati	Attesi	Cluster sign.	SIR cluster	Tasso std. * 100000 (ic)	Tasso std. > Media reg.	SIR (ic)	BIR (ic)	SIR sign.	BIR sign.	Trend	Livello attenzione
Causa (ICD-IX)													
Tumore del retroperitoneo(1580)	F	0	0	.	.	0 (0-6)	.	0 (.-.)	65 (33-116)	'	'	n.c.	1
Tumore del retroperitoneo(1580)	M	0	1	.	.	0 (0-12)	.	0 (.-.)	86 (25-187)	'	'	n.c.	1
Tumore del retroperitoneo(1580)	M + F	0	1	.	.	0 (0-6)	.	0 (.-.)	86 (46-136)	'	'	n.c.	1
Tumori maligni del naso(1600)	F	0	0	.	.	0 (0-6)	.	0 (.-.)	159 (77-284)	'	'	n.c.	1
Tumori maligni del naso(1600)	M	0	0	.	.	0 (0-12)	.	0 (.-.)	66 (23-151)	'	'	n.c.	1
Tumori maligni del naso(1600)	M + F	0	1	.	.	0 (0-6)	.	0 (.-.)	87 (38-173)	'	'	n.c.	1
Tumori maligni della laringe(161)	F	0	1	.	.	0 (0-6)	.	0 (.-.)	55 (20-108)	'	'	n.c.	1
Tumori maligni della laringe(161)	M	<5	>5	.	.	7 (2-21)	.	59 (27-132)	92 (70-113)	'	'	n.c.	1
Tumori maligni della laringe(161)	M + F	<5	>5	.	.	4 (1-10)	.	55 (25-122)	89 (67-107)	'	'	n.c.	1
Tumori maligni della trachea, dei bronchi e dei polmoni(162)	F	14	15	.	.	25 (15-39)	.	94 (61-145)	89 (70-113)	'	'	→	1
Tumori maligni della trachea, dei bronchi e dei polmoni(162)	M	37	42	.	.	69 (52-94)	.	88 (67-116)	95 (83-107)	'	'	→	1
Tumori maligni della trachea, dei bronchi e dei polmoni(162)	M + F	51	57	.	.	46 (36-60)	.	90 (71-113)	93 (82-103)	'	'	→	1
Tumori maligni della pleura(163)	F	0	1	.	.	0 (0-6)	.	0 (.-.)	66 (32-120)	'	'	n.c.	1
Tumori maligni della pleura(163)	M	<5	<5	.	.	6 (2-19)	.	222 (89-556)	86 (43-169)	'	'	n.c.	1
Tumori maligni della pleura(163)	M + F	<5	<5	.	.	3 (1-9)	.	156 (62-390)	77 (43-132)	'	'	n.c.	1
Mesoteliomi pleurici e peritoneali(1588, 163)	F	<5	<5	.	.	7 (2-16)	↑	427 (192-952)	97 (57-196)	↑	'	n.c.	3 😊
Mesoteliomi pleurici e peritoneali(1588, 163)	M	<5	<5	.	.	8 (3-22)	.	253 (114-564)	96 (52-172)	↑	'	n.c.	3 😊


Tabella 20C - Recanati	Genere	Osservati	Attesi	Cluster sign.	SIR cluster	Tasso std. * 100000 (ic)	Tasso std. > Media reg.	SIR (ic)	BIR (ic)	SIR sign.	BIR sign.	Trend	Livello attenzione
Causa (ICD-IX)													
Mesoteliomi pleurici e peritoneali(1588, 163)	M + F	8	3	.	.	7 (4-15)	↑	318 (179-564)	124 (75-225)	↑	.	n.c.	3 
Tumori maligni delle ossa e della cartilagine articolare(170)	F	0	1	.	.	0 (0-6)	.	0 (.-.)	70 (38-111)	.	.	n.c.	1
Tumori maligni delle ossa e della cartilagine articolare(170)	M	0	2	.	.	0 (0-12)	.	0 (.-.)	96 (69-128)	.	.	n.c.	1
Tumori maligni delle ossa e della cartilagine articolare(170)	M + F	0	3	.	.	0 (0-6)	.	0 (.-.)	85 (61-111)	.	.	n.c.	1
Tumori maligni del connettivo e di altri tessuti molli(171)	F	0	3	.	.	0 (0-6)	.	0 (.-.)	98 (62-131)	.	.	n.c.	1
Tumori maligni del connettivo e di altri tessuti molli(171)	M	<5	<5	.	.	8 (3-22)	.	112 (50-250)	88 (58-129)	.	.	n.c.	1
Tumori maligni del connettivo e di altri tessuti molli(171)	M + F	<5	>5	.	.	4 (1-11)	.	59 (26-131)	83 (54-121)	.	.	n.c.	1
Melanoma maligno della pelle(172)	F	9	7	.	.	16 (8-28)	.	124 (72-213)	94 (68-133)	.	.	n.c.	1
Melanoma maligno della pelle(172)	M	9	8	.	.	17 (9-34)	.	111 (65-191)	97 (70-134)	.	.	n.c.	1
Melanoma maligno della pelle(172)	M + F	18	15	.	.	16 (11-26)	.	117 (80-172)	98 (75-128)	.	.	→	1
Tumori maligni della mammella(174-175)	F	>5	>5	.	.	144 (119-174)	.	89 (74-107)	92 (81-104)	.	.	→	1
Tumori maligni della mammella(174-175)	M	<5	<5	.	.	2 (0-14)	.	95 (21-427)	112 (66-184)	.	.	n.c.	1
Tumori maligni della mammella(174-175)	M + F	82	92	.	.	75 (62-91)	.	89 (74-107)	92 (81-104)	.	.	→	1
Tumori maligni dell'utero(179-180, 182)	F	16	19	.	.	28 (18-43)	.	84 (56-127)	92 (77-107)	.	.	n.c.	1
Tumori maligni del corpo dell'utero(182)	F	9	14	.	.	16 (8-28)	.	66 (38-113)	93 (72-112)	.	.	n.c.	1
Tumori maligni dell'ovaio e degli altri annessi uterini(183)	F	9	10	.	.	16 (8-28)	.	94 (55-162)	94 (77-111)	.	.	n.c.	1
Tumore della prostata(185)	M	64	53	.	.	121 (97-151)	.	120 (98-148)	111 (96-127)	.	.	→	1



Tabella 20C - Recanati	Genere	Osservati	Attesi	Cluster sign.	SIR cluster	Tasso std. * 100000 (ic)	Tasso std. > Media reg.	SIR (ic)	BIR (ic)	SIR sign.	BIR sign.	Trend	Livello attenzione
Causa (ICD-IX)													
Tumore del testicolo(186)	M	<5	<5	.	.	8 (3-22)	.	100 (45-223)	92 (71-117)	.	.	n.c.	1
Tumori maligni della vescica(188)	F	11	10	.	.	19 (11-32)	.	111 (68-182)	92 (77-111)	.	.	n.c.	1
Tumori maligni della vescica(188)	M	30	46	.	.	56 (40-79)	.	65 (49-88)	92 (78-102)	↓	.	→	0 
Tumori maligni della vescica(188)	M + F	41	56	.	.	37 (28-50)	.	74 (57-95)	91 (81-101)	↓	.	→	0 
Tumori maligni del rene e di altri e non specificati organi urinari(189)	F	8	11	.	.	14 (7-26)	.	76 (43-134)	102 (82-122)	.	.	n.c.	1
Tumori maligni del rene e di altri e non specificati organi urinari(189)	M	17	19	.	.	32 (20-51)	.	88 (59-131)	95 (77-113)	.	.	→	1
Tumori maligni del rene e di altri e non specificati organi urinari(189)	M + F	25	30	.	.	23 (16-33)	.	84 (60-116)	96 (80-113)	.	.	→	1
Tumori maligni dell'encefalo(191)	F	5	7	.	.	9 (3-19)	.	68 (33-139)	103 (74-134)	.	.	n.c.	1
Tumori maligni dell'encefalo(191)	M	7	7	.	.	13 (6-29)	.	98 (53-180)	88 (71-110)	.	.	n.c.	1
Tumori maligni dell'encefalo(191)	M + F	12	15	.	.	11 (6-19)	.	82 (51-132)	95 (76-116)	.	.	→	1
Tumori maligni del sistema nervoso centrale(191-192)	F	5	8	.	.	9 (3-19)	.	61 (30-125)	103 (79-128)	.	.	n.c.	1
Tumori maligni del sistema nervoso centrale(191-192)	M	7	8	.	.	13 (6-29)	.	90 (49-166)	87 (67-107)	.	.	n.c.	1
Tumori maligni del sistema nervoso centrale(191-192)	M + F	12	16	.	.	11 (6-19)	.	75 (47-120)	92 (70-112)	.	.	→	1
Tumori maligni della ghiandola tiroide(193)	F	>5	>5	.	.	29 (18-44)	.	104 (69-157)	107 (83-136)	.	.	→	1
Tumori maligni della ghiandola tiroide(193)	M	<5	>5	.	.	6 (2-19)	.	56 (22-139)	104 (70-145)	.	.	n.c.	1
Tumori maligni della ghiandola tiroide(193)	M + F	19	21	.	.	18 (12-28)	.	92 (63-134)	104 (83-129)	.	.	→	1
Linfoma non Hodgkin(200, 202)	F	12	12	.	.	21 (12-34)	.	98 (61-158)	106 (89-130)	.	.	n.c.	1





Tabella 20C - Recanati	Genere	Osservati	Attesi	Cluster sign.	SIR cluster	Tasso std. * 100000 (ic)	Tasso std. > Media reg.	SIR (ic)	BIR (ic)	SIR sign.	BIR sign.	Trend	Livello attenzione
Causa (ICD-IX)													
Linfoma non Hodgkin(200, 202)	M	15	14	.	.	29 (18-48)	.	109 (71-166)	97 (78-121)	,	,	n.c.	1
Linfoma non Hodgkin(200, 202)	M + F	27	26	.	.	25 (18-36)	.	104 (76-143)	103 (86-123)	,	,	n.c.	1
Tumori emolinfopoiетici(200-208)	F	24	26	.	.	42 (29-59)	.	94 (67-131)	99 (83-117)	,	,	→	1
Tumori emolinfopoiетici(200-208)	M	32	32	.	.	61 (45-85)	.	101 (76-135)	105 (91-121)	,	,	↓	0 
Tumori emolinfopoiетici(200-208)	M + F	56	57	.	.	51 (41-66)	.	98 (79-122)	102 (89-116)	,	,	→	1
Malattia di Hodgkin(201)	F	<5	<5	.	.	3 (1-11)	.	99 (33-299)	84 (63-110)	,	,	n.c.	1
Malattia di Hodgkin(201)	M	<5	<5	.	.	8 (3-22)	.	167 (75-372)	105 (78-138)	,	,	n.c.	1
Malattia di Hodgkin(201)	M + F	6	4	.	.	6 (2-13)	.	136 (70-263)	94 (69-126)	,	,	n.c.	1
Mieloma multiplo e tumori immunoproliferativi(203)	F	<5	>5	.	.	5 (1-14)	.	59 (24-147)	91 (67-120)	,	,	n.c.	1
Mieloma multiplo e tumori immunoproliferativi(203)	M	>5	>5	.	.	9 (4-24)	.	76 (37-156)	97 (66-133)	,	,	n.c.	1
Mieloma multiplo e tumori immunoproliferativi(203)	M + F	8	12	.	.	7 (4-15)	.	69 (39-122)	84 (62-112)	,	,	n.c.	1
Leucemie(204-208)	F	9	8	.	.	16 (8-28)	.	115 (67-198)	105 (80-136)	,	,	n.c.	1
Leucemie(204-208)	M	11	11	.	.	20 (11-37)	.	101 (62-165)	111 (90-137)	,	,	n.c.	1
Leucemie(204-208)	M + F	20	19	.	.	18 (12-28)	.	107 (74-154)	110 (88-135)	,	,	→	1
Gozzo non tossico(240-241)	F	>5	>5	.	.	32 (21-48)	.	70 (48-103)	78 (62-99)	,	↓	→	0 
Gozzo non tossico(240-241)	M	<5	>5	.	.	2 (0-14)	.	12 (3-55)	59 (39-85)	↓	↓	n.c.	0 
Gozzo non tossico(240-241)	M + F	19	34	.	.	18 (11-27)	.	56 (39-82)	69 (55-87)	↓	↓	→	0 









Tabella 20C - Recanati	Genere	Osservati	Attesi	Cluster sign.	SIR cluster	Tasso std. * 100000 (ic)	Tasso std. > Media reg.	SIR (ic)	BIR (ic)	SIR sign.	BIR sign.	Trend	Livello attenzione
Causa (ICD-IX)													
Malattie endocrine e della nutrizione(240-2799)	F	169	168	.	.	303 (265-344)	.	101 (89-114)	98 (88-110)	.	.	→	1
Malattie endocrine e della nutrizione(240-2799)	M	135	121	.	.	262 (226-305)	.	112 (97-129)	104 (92-117)	.	.	↓	0 
Malattie endocrine e della nutrizione(240-2799)	M + F	304	289	.	.	283 (257-312)	.	105 (96-116)	103 (94-112)	.	.	→	1
Tireotossicosi(242)	F	<5	>5	.	.	7 (2-16)	.	49 (22-110)	78 (53-107)	.	.	n.c.	1
Tireotossicosi(242)	M	<5	<5	.	.	2 (0-14)	.	32 (7-142)	66 (37-106)	.	.	n.c.	1
Tireotossicosi(242)	M + F	5	11	.	.	5 (2-12)	.	44 (22-91)	68 (48-92)	↓	↓	n.c.	0 
Ipotiroidismo(243-244)	F	<5	<5	2	166	7 (2-16)	.	144 (64-320)	78 (56-112)	.	.	n.c.	1
Ipotiroidismo(243-244)	M	<5	<5	.	.	4 (1-17)	.	66 (22-200)	98 (77-124)	.	.	n.c.	1
Ipotiroidismo(243-244)	M + F	6	6	.	.	6 (2-13)	.	103 (53-200)	88 (72-108)	.	.	n.c.	1
Diabete mellito(250)	F	19	26	.	.	34 (22-50)	.	72 (50-105)	74 (55-97)	.	↓	n.c.	0 
Diabete mellito(250)	M	22	29	.	.	42 (29-63)	.	76 (54-108)	68 (53-88)	.	↓	→	0 
Diabete mellito(250)	M + F	41	55	.	.	38 (29-51)	.	74 (58-96)	71 (57-87)	↓	↓	↓	0 
Malattie del sangue e degli organi emopoietici(280-289)	F	55	59	.	.	97 (76-121)	.	94 (75-117)	97 (80-116)	.	.	→	1
Malattie del sangue e degli organi emopoietici(280-289)	M	50	51	.	.	97 (75-125)	.	97 (77-123)	103 (85-123)	.	.	→	1
Malattie del sangue e degli organi emopoietici(280-289)	M + F	105	110	2	116	97 (82-115)	.	95 (81-112)	99 (85-114)	.	.	→	1
Malattie neuro-psichiatriche (escluse tossicod.)(290-303, 306-319)	F	77	72	.	.	136 (112-165)	.	106 (88-128)	99 (84-115)	.	.	→	1
Malattie neuro-psichiatriche (escluse tossicod.)(290-303, 306-319)	M	58	77	.	.	114 (91-145)	.	76 (61-94)	78 (66-91)	↓	↓	→	0 





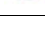
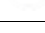









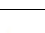
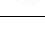
Tabella 20C - Recanati	Genere	Osservati	Attesi	Cluster sign.	SIR cluster	Tasso std. * 100000 (ic)	Tasso std. > Media reg.	SIR (ic)	BIR (ic)	SIR sign.	BIR sign.	Trend	Livello attenzione
Causa (ICD-IX)													
Malattie neuro-psichiatriche (escluse tossicod.)(290-303, 306-319)	M + F	135	149	.	.	125 (108-146)	.	90 (79-104)	88 (78-99)	.	↓	→	0 
Malattie del sistema nervoso e degli organi di senso(320-389)	F	323	400	.	.	573 (521-628)	.	81 (74-89)	85 (79-93)	↓	↓	↓	0 
Malattie del sistema nervoso e degli organi di senso(320-389)	M	276	331	.	.	530 (479-588)	.	84 (76-92)	88 (80-95)	↓	↓	↓	0 
Malattie del sistema nervoso e degli organi di senso(320-389)	M + F	599	730	.	.	552 (515-592)	.	82 (77-88)	85 (80-90)	↓	↓	↓	0 
Malattia di Alzheimer(3310)	F	19	15	.	.	33 (22-49)	.	124 (85-181)	94 (66-129)	.	.	→	1 
Malattia di Alzheimer(3310)	M	11	8	.	.	20 (11-37)	.	132 (81-215)	105 (68-153)	.	.	→	1 
Malattia di Alzheimer(3310)	M + F	30	24	.	.	27 (19-38)	.	127 (94-171)	98 (74-126)	.	.	→	1 
Morbo di Parkinson(3320)	F	<5	>5	.	.	7 (2-16)	.	89 (40-199)	100 (63-149)	.	.	n.c.	1 
Morbo di Parkinson(3320)	M	>5	>5	.	.	13 (6-29)	.	141 (77-261)	104 (68-152)	.	.	n.c.	1 
Morbo di Parkinson(3320)	M + F	11	9	.	.	10 (6-19)	.	117 (71-190)	105 (76-138)	.	.	n.c.	1 
Malattia dei neuroni motori(3352)	F	<5	<5	.	.	5 (1-14)	.	140 (56-350)	115 (65-196)	.	.	n.c.	1 
Malattia dei neuroni motori(3352)	M	<5	<5	.	.	4 (1-17)	.	117 (39-353)	81 (51-126)	.	.	n.c.	1 
Malattia dei neuroni motori(3352)	M + F	5	4	.	.	5 (2-12)	.	130 (63-266)	94 (72-122)	.	.	n.c.	1 
Sclerosi multipla(340)	F	>5	>5	.	.	9 (3-19)	.	65 (32-134)	102 (80-122)	.	.	n.c.	1 
Sclerosi multipla(340)	M	<5	<5	.	.	2 (0-15)	.	30 (7-133)	87 (60-115)	.	.	n.c.	1 
Sclerosi multipla(340)	M + F	6	11	.	.	6 (2-13)	.	54 (28-105)	92 (69-114)	.	.	n.c.	1 
Malattie cardiache(390-429)	F	280	318	.	.	487 (440-538)	.	88 (80-97)	90 (82-97)	↓	↓	→	0 















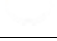


Tabella 20C - Recanati	Genere	Osservati	Attesi	Cluster sign.	SIR cluster	Tasso std. * 100000 (ic)	Tasso std. > Media reg.	SIR (ic)	BIR (ic)	SIR sign.	BIR sign.	Trend	Livello attenzione
Causa (ICD-IX)													
Malattie cardiache(390-429)	M	356	380	.	.	673 (615-737)	.	94 (86-102)	93 (87-100)	.	↓	→	0 
Malattie cardiache(390-429)	M + F	636	698	.	.	578 (541-618)	.	91 (85-97)	91 (86-96)	↓	↓	→	0 
Malattie dell'apparato circolatorio(390-459)	F	521	546	.	.	915 (850-984)	.	95 (89-103)	95 (89-100)	.	.	→	1 
Malattie dell'apparato circolatorio(390-459)	M	585	607	.	.	1113 (1038-1194)	.	96 (90-103)	95 (90-101)	.	.	↓	0 
Malattie dell'apparato circolatorio(390-459)	M + F	1106	1153	.	.	1012 (962-1064)	.	96 (91-101)	95 (91-99)	.	↓	↓	0 
Malattie ischemiche del cuore(410-4149)	F	88	104	.	.	154 (128-184)	.	85 (71-101)	86 (76-97)	.	↓	→	0 
Malattie ischemiche del cuore(410-4149)	M	163	184	.	.	308 (269-353)	.	89 (78-101)	88 (79-97)	.	↓	→	0 
Malattie ischemiche del cuore(410-4149)	M + F	251	288	.	.	229 (206-255)	.	87 (79-97)	86 (79-94)	↓	↓	→	0 
Insufficienza cardiaca (scompenso cardiaco)(428)	F	89	133	.	.	153 (127-183)	.	67 (56-80)	74 (65-84)	↓	↓	→	0 
Insufficienza cardiaca (scompenso cardiaco)(428)	M	94	109	.	.	175 (146-210)	.	86 (73-102)	85 (75-96)	.	↓	→	0 
Insufficienza cardiaca (scompenso cardiaco)(428)	M + F	183	242	.	.	164 (144-186)	.	76 (67-86)	77 (69-85)	↓	↓	→	0 
Malattie cerebrovascolari(430-438)	F	202	183	2	114	353 (313-396)	.	111 (99-124)	103 (94-113)	.	.	→	1 
Malattie cerebrovascolari(430-438)	M	163	182	.	.	306 (268-351)	.	90 (79-102)	93 (84-103)	.	.	↓	0 
Malattie cerebrovascolari(430-438)	M + F	365	364	.	.	330 (302-361)	.	100 (92-109)	98 (91-106)	.	.	→	1 
Malattie dell'apparato respiratorio(460-5199)	F	328	382	.	.	581 (529-637)	.	86 (78-94)	89 (83-96)	↓	↓	→	0 
Malattie dell'apparato respiratorio(460-5199)	M	451	454	.	.	867 (801-940)	.	99 (92-107)	100 (93-106)	.	.	↓	0 
Malattie dell'apparato respiratorio(460-5199)	M + F	779	836	.	.	721 (679-766)	.	93 (88-99)	95 (90-100)	↓	↓	↓	0 




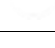






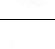
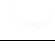

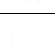
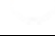

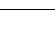
Tabella 20C - Recanati	Genere	Osservati	Attesi	Cluster sign.	SIR cluster	Tasso std. * 100000 (ic)	Tasso std. > Media reg.	SIR (ic)	BIR (ic)	SIR sign.	BIR sign.	Trend	Livello attenzione
Causa (ICD-IX)													
Malattie polmonari cronico ostruttive(490-492, 494, 496)	F	26	30	.	.	45 (31-62)	.	87 (63-120)	85 (66-110)	.	.	↓	0 
Malattie polmonari cronico ostruttive(490-492, 494, 496)	M	42	37	.	.	78 (59-104)	.	114 (89-147)	95 (77-118)	.	.	→	1 
Malattie polmonari cronico ostruttive(490-492, 494, 496)	M + F	68	67	.	.	61 (49-76)	.	102 (84-125)	94 (79-112)	.	.	↓	0 
Pneumoconiosi(500-505)	F	0	0	.	.	0 (0-6)	.	0 (.-.)	55 (4-285)	.	.	n.c.	1 
Pneumoconiosi(500-505)	M	0	1	.	.	0 (0-12)	.	0 (.-.)	63 (19-143)	.	.	n.c.	1 
Pneumoconiosi(500-505)	M + F	0	1	.	.	0 (0-6)	.	0 (.-.)	80 (31-140)	.	.	n.c.	1 
Malattie dell'apparato digerente(520-579)	F	492	463	.	.	871 (807-938)	.	106 (99-114)	104 (98-110)	.	.	→	1 
Malattie dell'apparato digerente(520-579)	M	699	624	.	.	1344 (1262-1433)	↑	112 (105-119)	109 (104-115)	↑	↑	→	5 
Malattie dell'apparato digerente(520-579)	M + F	1191	1087	1	112	1102 (1050-1157)	↑	110 (104-115)	108 (103-112)	↑	↑	→	5 
Cirrosi e altre malattie croniche del fegato(571)	F	11	10	.	.	19 (11-32)	.	112 (68-183)	88 (72-107)	.	.	n.c.	1 
Cirrosi e altre malattie croniche del fegato(571)	M	17	18	.	.	33 (21-52)	.	95 (64-141)	88 (69-109)	.	.	→	1 
Cirrosi e altre malattie croniche del fegato(571)	M + F	28	28	.	.	26 (18-37)	.	101 (74-138)	89 (75-106)	.	.	→	1 
Nefropatie croniche e acute(580-589)	F	44	47	.	.	76 (58-98)	.	94 (73-120)	87 (71-105)	.	.	→	1 
Nefropatie croniche e acute(580-589)	M	61	59	.	.	114 (91-144)	.	104 (84-128)	92 (78-109)	.	.	→	1 
Nefropatie croniche e acute(580-589)	M + F	105	106	.	.	94 (80-112)	.	100 (85-117)	91 (80-104)	.	.	→	1 
Malattie dell'apparato urinario(580-599)	F	148	126	1	122	260 (226-298)	.	117 (102-134)	104 (93-118)	↑	.	→	3 
Malattie dell'apparato urinario(580-599)	M	194	174	.	.	369 (326-418)	.	111 (99-125)	106 (96-116)	.	.	→	1 

Tabella 20C - Recanati	Genere	Osservati	Attesi	Cluster sign.	SIR cluster	Tasso std. * 100000 (ic)	Tasso std. > Media reg.	SIR (ic)	BIR (ic)	SIR sign.	BIR sign.	Trend	Livello attenzione
Causa (ICD-IX)													
Malattie dell'apparato urinario(580-599)	M + F	342	301	1	118	313 (286-343)	.	114 (104-124)	107 (99-116)	↑	.	→	3 ☹️
Endometriosi(617)	F	16	17	.	.	29 (18-44)	.	93 (62-139)	80 (62-104)	.	.	→	1 😐
Malformazioni congenite(740-759)	F	53	70	.	.	96 (75-121)	.	76 (61-95)	90 (78-102)	↓	.	→	0 😊
Malformazioni congenite(740-759)	M	64	94	.	.	127 (102-159)	.	68 (55-83)	84 (73-96)	↓	↓	→	0 😊
Malformazioni congenite(740-759)	M + F	117	164	.	.	111 (95-131)	.	71 (61-83)	84 (75-93)	↓	↓	↓	0 😊

Tabella 21C. Incidenza di primi ricoveri ospedalieri per causa nel comune di Sant'Elpidio a Mare, tutte le età, periodo di osservazione 2009-2013














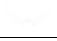


Tabella 21C - Sant'Elpidio a Mare	Genere	Osservati	Attesi	Cluster sign.	SIR cluster	Tasso std. * 100000 (ic)	Tasso std. > Media reg.	SIR (ic)	BIR (ic)	SIR sign.	BIR sign.	Trend	Livello attenzione
Causa (ICD-IX)													
Malattie infettive(001-139)	F	84	66	.	.	202 (166-329)	↑	127 (106-152)	117 (100-137)	↑	.	→	3 
Malattie infettive(001-139)	M	60	78	.	.	146 (117-184)	.	77 (62-95)	84 (71-98)	↓	↓	↓	0 
Malattie infettive(001-139)	M + F	144	145	.	.	175 (151-243)	.	100 (87-114)	99 (88-112)	.	.	↓	0 
Tumori maligni delle vie aeree e digestive superiori(140-150, 161)	F	<5	>5	.	.	5 (1-133)	.	43 (14-130)	96 (67-126)	.	.	n.c.	1 
Tumori maligni delle vie aeree e digestive superiori(140-150, 161)	M	>5	>5	.	.	24 (12-44)	.	70 (41-121)	99 (78-118)	.	.	n.c.	1 
Tumori maligni delle vie aeree e digestive superiori(140-150, 161)	M + F	11	17	.	.	14 (8-79)	.	63 (39-103)	96 (78-114)	.	.	→	1 
Tumori maligni(140-208)	F	230	248	.	.	575 (513-715)	.	93 (83-103)	97 (90-105)	.	.	→	1 
Tumori maligni(140-208)	M	271	278	.	.	684 (617-758)	.	97 (88-108)	100 (93-108)	.	.	→	1 
Tumori maligni(140-208)	M + F	501	526	.	.	627 (582-710)	.	95 (89-103)	98 (92-104)	.	.	→	1 
Tumori maligni dell'esofago(150)	F	<5	<5	.	.	2 (0-131)	.	162 (36-724)	99 (61-147)	.	.	n.c.	1 
Tumori maligni dell'esofago(150)	M	<5	<5	.	.	5 (1-19)	.	116 (38-351)	106 (73-144)	.	.	n.c.	1 
Tumori maligni dell'esofago(150)	M + F	<5	<5	.	.	4 (1-70)	.	128 (51-321)	92 (65-127)	.	.	n.c.	1 
Tumori maligni dello stomaco(151)	F	5	10	.	.	14 (6-142)	.	48 (23-99)	88 (65-117)	↓	.	n.c.	0 
Tumori maligni dello stomaco(151)	M	14	14	.	.	37 (22-60)	.	98 (63-151)	95 (73-121)	.	.	→	1 
Tumori maligni dello stomaco(151)	M + F	19	25	.	.	25 (16-90)	.	77 (53-112)	90 (72-111)	.	.	↓	0 
Tumori maligni dell'intestino tenue, compreso il duodeno(152)	F	0	1	.	.	0 (0-128)	.	0 (.-.)	89 (39-143)	.	.	n.c.	1 

Tabella 21C - Sant'Elpidio a Mare													
Causa (ICD-IX)	Genere	Osservati	Attesi	Cluster sign.	SIR cluster	Tasso std. * 100000 (ic)	Tasso std. > Media reg.	SIR (ic)	BIR (ic)	SIR sign.	BIR sign.	Trend	Livello attenzione
Tumori maligni dell'intestino tenue, compreso il duodeno(152)	M	<5	<5	.	.	5 (1-19)	.	131 (43-394)	110 (81-149)	.	.	n.c.	1
Tumori maligni dell'intestino tenue, compreso il duodeno(152)	M + F	<5	<5	.	.	2 (0-69)	.	87 (29-263)	105 (73-139)	.	.	n.c.	1
Tumori maligni del colon(153)	F	20	25	.	.	51 (34-177)	.	80 (56-116)	97 (79-118)	.	.	→	1
Tumori maligni del colon(153)	M	29	31	.	.	72 (51-100)	.	95 (70-128)	100 (85-117)	.	.	→	1
Tumori maligni del colon(153)	M + F	49	56	.	.	61 (47-126)	.	88 (70-111)	98 (84-113)	.	.	→	1
Tumori maligni del colon-retto(153-154)	F	28	33	.	.	71 (51-197)	.	84 (62-115)	98 (84-113)	.	.	→	1
Tumori maligni del colon-retto(153-154)	M	39	44	.	.	96 (72-127)	.	90 (69-117)	98 (86-110)	.	.	→	1
Tumori maligni del colon-retto(153-154)	M + F	67	77	.	.	83 (67-149)	.	87 (71-107)	97 (86-109)	.	.	→	1
Tumori maligni del retto, della giunzione retto-sigmoidea e dell'ano(154)	F	10	11	.	.	25 (14-152)	.	94 (56-157)	100 (85-117)	.	.	n.c.	1
Tumori maligni del retto, della giunzione retto-sigmoidea e dell'ano(154)	M	15	16	.	.	36 (22-58)	.	94 (62-144)	97 (83-113)	.	.	n.c.	1
Tumori maligni del retto, della giunzione retto-sigmoidea e dell'ano(154)	M + F	25	27	.	.	30 (21-95)	.	94 (68-131)	98 (85-113)	.	.	→	1
Tumore fegato e dotti biliari(1550-1551)	F	6	3	.	.	15 (7-143)	.	217 (112-419)	106 (72-169)	↑	.	n.c.	3 😊
Tumore fegato e dotti biliari(1550-1551)	M	6	6	.	.	14 (6-31)	.	99 (51-191)	100 (77-129)	.	.	n.c.	1
Tumore fegato e dotti biliari(1550-1551)	M + F	12	9	.	.	15 (9-80)	.	136 (85-217)	108 (82-146)	.	.	→	1
Tumori maligni del pancreas(157)	F	7	8	.	.	17 (8-144)	.	89 (48-163)	98 (77-118)	.	.	n.c.	1
Tumori maligni del pancreas(157)	M	7	9	.	.	17 (8-35)	.	81 (44-150)	98 (84-112)	.	.	n.c.	1
Tumori maligni del pancreas(157)	M + F	14	17	.	.	17 (10-82)	.	85 (55-131)	97 (85-109)	.	.	n.c.	1



Tabella 21C - Sant'Elpidio a Mare													
Causa (ICD-IX)	Genere	Osservati	Attesi	Cluster sign.	SIR cluster	Tasso std. * 100000 (ic)	Tasso std. > Media reg.	SIR (ic)	BIR (ic)	SIR sign.	BIR sign.	Trend	Livello attenzione
Tumore del retroperitoneo(1580)	F	0	1	.	.	0 (0-128)	.	0 (-.)	103 (58-166)	.	.	n.c.	1
Tumore del retroperitoneo(1580)	M	<5	<5	.	.	2 (0-15)	.	217 (48-973)	89 (33-205)	.	.	n.c.	1
Tumore del retroperitoneo(1580)	M + F	<5	<5	.	.	1 (0-67)	.	105 (23-469)	99 (60-155)	.	.	n.c.	1
Tumori maligni del naso(1600)	F	0	0	.	.	0 (0-128)	.	0 (-.)	66 (30-129)	.	.	n.c.	1
Tumori maligni del naso(1600)	M	<5	<5	.	.	2 (0-16)	.	235 (52-1053)	146 (71-334)	.	.	n.c.	1
Tumori maligni del naso(1600)	M + F	<5	<5	.	.	1 (0-68)	.	189 (42-849)	121 (58-264)	.	.	n.c.	1
Tumori maligni della laringe(161)	F	0	1	.	.	0 (0-128)	.	0 (-.)	99 (41-172)	.	.	n.c.	1
Tumori maligni della laringe(161)	M	<5	>5	.	.	5 (1-19)	.	34 (11-104)	100 (75-122)	.	.	n.c.	1
Tumori maligni della laringe(161)	M + F	<5	>5	.	.	2 (0-69)	.	31 (10-93)	102 (77-119)	↓	.	n.c.	0 
Tumori maligni della trachea, dei bronchi e dei polmoni(162)	F	5	12	.	.	13 (5-141)	.	41 (20-85)	83 (60-106)	↓	.	n.c.	0 
Tumori maligni della trachea, dei bronchi e dei polmoni(162)	M	37	35	.	.	94 (70-126)	.	105 (80-138)	105 (92-120)	.	.	→	1
Tumori maligni della trachea, dei bronchi e dei polmoni(162)	M + F	42	47	.	.	52 (40-117)	.	89 (69-115)	99 (87-111)	.	.	→	1
Tumori maligni della pleura(163)	F	0	1	.	.	0 (0-128)	.	0 (-.)	97 (46-159)	.	.	n.c.	1
Tumori maligni della pleura(163)	M	0	2	.	.	0 (0-12)	.	0 (-.)	64 (27-128)	.	.	n.c.	1
Tumori maligni della pleura(163)	M + F	0	2	.	.	0 (0-67)	.	0 (-.)	71 (35-122)	.	.	n.c.	1
Mesoteliomi pleurici e peritoneali(1588, 163)	F	0	1	.	.	0 (0-128)	.	0 (-.)	90 (45-147)	.	.	n.c.	1
Mesoteliomi pleurici e peritoneali(1588, 163)	M	0	2	.	.	0 (0-12)	.	0 (-.)	69 (30-129)	.	.	n.c.	1







Tabella 21C - Sant'Elpidio a Mare													
Causa (ICD-IX)	Genere	Osservati	Attesi	Cluster sign.	SIR cluster	Tasso std. * 100000 (ic)	Tasso std. > Media reg.	SIR (ic)	BIR (ic)	SIR sign.	BIR sign.	Trend	Livello attenzione
Mesoteliomi pleurici e peritoneali(1588, 163)	M + F	0	3	.	.	0 (0-67)	.	0 (-..)	69 (34-119)	.	.	n.c.	1
Tumori maligni delle ossa e della cartilagine articolare(170)	F	<5	<5	.	.	2 (0-131)	.	92 (20-410)	112 (70-170)	.	.	n.c.	1
Tumori maligni delle ossa e della cartilagine articolare(170)	M	<5	<5	.	.	5 (1-19)	.	165 (55-500)	99 (75-128)	.	.	n.c.	1
Tumori maligni delle ossa e della cartilagine articolare(170)	M + F	<5	<5	.	.	4 (1-70)	.	130 (52-326)	106 (82-135)	.	.	n.c.	1
Tumori maligni del connettivo e di altri tessuti molli(171)	F	<5	<5	.	.	7 (2-135)	.	134 (54-336)	98 (70-135)	.	.	n.c.	1
Tumori maligni del connettivo e di altri tessuti molli(171)	M	<5	<5	.	.	8 (2-23)	.	95 (38-237)	98 (63-146)	.	.	n.c.	1
Tumori maligni del connettivo e di altri tessuti molli(171)	M + F	6	5	.	.	7 (3-73)	.	111 (57-215)	97 (65-142)	.	.	n.c.	1
Melanoma maligno della pelle(172)	F	>5	>5	.	.	12 (5-139)	.	85 (41-174)	85 (58-120)	.	.	n.c.	1
Melanoma maligno della pelle(172)	M	<5	>5	.	.	2 (0-15)	.	16 (4-71)	65 (41-94)	↓	↓	n.c.	0 
Melanoma maligno della pelle(172)	M + F	6	12	.	.	7 (3-73)	.	49 (25-95)	69 (49-94)	↓	↓	n.c.	0 
Tumori maligni della mammella(174-175)	F	>5	>5	.	.	210 (174-338)	↑	114 (96-137)	107 (94-122)	.	.	→	1
Tumori maligni della mammella(174-175)	M	<5	<5	.	.	3 (0-16)	.	141 (31-632)	98 (59-169)	.	.	n.c.	1
Tumori maligni della mammella(174-175)	M + F	87	76	.	.	110 (92-177)	↑	115 (96-137)	107 (94-122)	.	.	→	1
Tumori maligni dell'utero(179-180, 182)	F	13	16	.	.	32 (19-158)	.	80 (51-126)	102 (84-117)	.	.	n.c.	1
Tumori maligni del corpo dell'utero(182)	F	10	10	.	.	25 (13-151)	.	96 (57-161)	100 (81-122)	.	.	n.c.	1
Tumori maligni dell'ovaio e degli altri annessi uterini(183)	F	<5	>5	.	.	7 (2-135)	.	39 (16-98)	97 (75-112)	↓	.	n.c.	0 
Tumore della prostata(185)	M	53	43	2	121	134 (105-170)	↑	123 (98-154)	120 (103-139)	.	↑	→	4 



Tabella 21C - Sant'Elpidio a Mare													
Causa (ICD-IX)	Genere	Osservati	Attesi	Cluster sign.	SIR cluster	Tasso std. * 100000 (ic)	Tasso std. > Media reg.	SIR (ic)	BIR (ic)	SIR sign.	BIR sign.	Trend	Livello attenzione
Tumore del testicolo(186)	M	<5	<5	.	.	9 (3-24)	.	108 (49-241)	103 (81-131)	.	.	n.c.	1
Tumori maligni della vescica(188)	F	5	8	.	.	13 (5-141)	.	62 (30-128)	100 (81-116)	.	.	n.c.	1
Tumori maligni della vescica(188)	M	37	37	.	.	94 (70-125)	.	100 (77-131)	100 (89-112)	.	.	↑	2 
Tumori maligni della vescica(188)	M + F	42	45	.	.	52 (39-117)	.	94 (73-120)	99 (88-110)	.	.	→	1
Tumori maligni del rene e di altri e non specificati organi urinari(189)	F	7	7	.	.	18 (8-145)	.	96 (52-177)	95 (77-114)	.	.	n.c.	1
Tumori maligni del rene e di altri e non specificati organi urinari(189)	M	10	16	.	.	25 (14-45)	.	62 (37-103)	94 (74-112)	.	.	n.c.	1
Tumori maligni del rene e di altri e non specificati organi urinari(189)	M + F	17	24	.	.	21 (14-86)	.	72 (49-108)	92 (76-109)	.	.	→	1
Tumori maligni dell'encefalo(191)	F	<5	>5	.	.	10 (3-138)	.	82 (37-184)	86 (63-116)	.	.	n.c.	1
Tumori maligni dell'encefalo(191)	M	<5	>5	.	.	8 (2-23)	.	44 (18-111)	102 (78-123)	.	.	n.c.	1
Tumori maligni dell'encefalo(191)	M + F	7	12	.	.	9 (4-75)	.	60 (33-111)	92 (70-113)	.	.	n.c.	1
Tumori maligni del sistema nervoso centrale(191-192)	F	<5	>5	.	.	10 (3-138)	.	72 (32-159)	89 (67-111)	.	.	n.c.	1
Tumori maligni del sistema nervoso centrale(191-192)	M	<5	>5	.	.	8 (2-23)	.	41 (16-102)	99 (67-118)	.	.	n.c.	1
Tumori maligni del sistema nervoso centrale(191-192)	M + F	7	13	.	.	9 (4-75)	.	54 (29-100)	89 (65-110)	↓	.	n.c.	0 
Tumori maligni della ghiandola tiroide(193)	F	6	11	.	.	14 (6-141)	.	56 (29-108)	95 (68-124)	.	.	n.c.	1
Tumori maligni della ghiandola tiroide(193)	M	5	4	.	.	12 (5-28)	.	141 (69-290)	101 (69-149)	.	.	n.c.	1
Tumori maligni della ghiandola tiroide(193)	M + F	11	14	.	.	13 (7-78)	.	77 (47-126)	99 (77-125)	.	.	→	1
Linfoma non Hodgkin(200, 202)	F	11	9	.	.	26 (14-152)	.	129 (79-210)	102 (86-128)	.	.	n.c.	1

Tabella 21C - Sant'Elpidio a Mare	Genere	Osservati	Attesi	Cluster sign.	SIR cluster	Tasso std. * 100000 (ic)	Tasso std. > Media reg.	SIR (ic)	BIR (ic)	SIR sign.	BIR sign.	Trend	Livello attenzione
Causa (ICD-IX)													
Linfoma non Hodgkin(200, 202)	M	14	12	.	.	34 (21-56)	.	120 (78-186)	103 (83-130)	.	.	→	1
Linfoma non Hodgkin(200, 202)	M + F	25	20	.	.	30 (21-95)	.	124 (89-172)	106 (88-129)	.	.	→	1
Tumori emolinfopoiетici(200-208)	F	27	19	.	.	66 (47-192)	↑	146 (106-200)	110 (93-133)	↑	.	→	3 😊
Tumori emolinfopoiетici(200-208)	M	27	24	.	.	67 (47-95)	.	115 (84-157)	101 (86-120)	.	.	→	1
Tumori emolinfopoiетici(200-208)	M + F	54	42	.	.	67 (53-132)	↑	128 (103-160)	110 (95-129)	↑	.	→	3 😊
Malattia di Hodgkin(201)	F	0	2	.	.	0 (0-128)	.	0 (.-.)	108 (85-132)	.	.	n.c.	1
Malattia di Hodgkin(201)	M	<5	<5	.	.	5 (1-19)	.	110 (36-332)	98 (76-126)	.	.	n.c.	1
Malattia di Hodgkin(201)	M + F	<5	<5	.	.	2 (0-69)	.	53 (17-160)	100 (73-130)	.	.	n.c.	1
Mieloma multiplo e tumori immunoproliferativi(203)	F	>5	<5	.	.	23 (12-149)	↑	253 (147-435)	108 (83-151)	↑	.	n.c.	3 😊
Mieloma multiplo e tumori immunoproliferativi(203)	M	<5	<5	.	.	11 (4-28)	.	91 (41-202)	95 (66-135)	.	.	n.c.	1
Mieloma multiplo e tumori immunoproliferativi(203)	M + F	13	8	.	.	17 (10-82)	.	163 (104-257)	115 (86-158)	↑	.	n.c.	3 😊
Leucemie(204-208)	F	10	6	.	.	25 (14-152)	↑	182 (109-304)	111 (85-155)	↑	.	n.c.	3 😊
Leucemie(204-208)	M	9	8	.	.	22 (12-42)	.	118 (69-204)	97 (78-122)	.	.	n.c.	1
Leucemie(204-208)	M + F	19	13	.	.	24 (16-89)	.	145 (100-211)	110 (87-141)	.	.	→	1
Gozzo non tossico(240-241)	F	22	18	.	.	52 (35-177)	.	120 (85-170)	110 (86-141)	.	.	→	1
Gozzo non tossico(240-241)	M	8	6	.	.	19 (10-38)	.	133 (75-236)	116 (82-166)	.	.	n.c.	1
Gozzo non tossico(240-241)	M + F	30	24	.	.	36 (26-101)	.	123 (91-166)	115 (91-144)	.	.	→	1


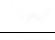

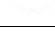
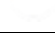








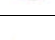
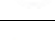
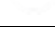
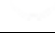
Tabella 21C - Sant'Elpidio a Mare													
Causa (ICD-IX)	Genere	Osservati	Attesi	Cluster sign.	SIR cluster	Tasso std. * 100000 (ic)	Tasso std. > Media reg.	SIR (ic)	BIR (ic)	SIR sign.	BIR sign.	Trend	Livello attenzione
Malattie endocrine e della nutrizione(240-2799)	F	114	124	.	.	265 (226-394)	.	92 (79-107)	94 (82-107)	.	.	↓	0 
Malattie endocrine e della nutrizione(240-2799)	M	106	97	.	.	254 (215-301)	.	109 (93-128)	102 (90-117)	.	.	→	1 
Malattie endocrine e della nutrizione(240-2799)	M + F	220	221	.	.	260 (232-330)	.	100 (89-111)	99 (89-109)	.	.	↓	0 
Tireotossicosi(242)	F	>5	>5	.	.	18 (9-145)	.	132 (74-234)	103 (73-144)	.	.	n.c.	1 
Tireotossicosi(242)	M	<5	<5	.	.	8 (2-23)	.	135 (54-338)	94 (55-156)	.	.	n.c.	1 
Tireotossicosi(242)	M + F	11	8	.	.	13 (7-79)	.	133 (81-217)	103 (75-142)	.	.	→	1 
Ipotiroidismo(243-244)	F	<5	<5	.	.	4 (1-132)	.	61 (20-185)	107 (75-142)	.	.	n.c.	1 
Ipotiroidismo(243-244)	M	<5	<5	.	.	9 (3-24)	.	146 (65-325)	104 (83-130)	.	.	n.c.	1 
Ipotiroidismo(243-244)	M + F	6	6	.	.	6 (3-72)	.	100 (52-193)	108 (90-129)	.	.	n.c.	1 
Diabete mellito(250)	F	8	20	.	.	19 (9-146)	.	39 (22-70)	46 (31-65)	↓	↓	n.c.	0 
Diabete mellito(250)	M	6	28	.	.	15 (6-32)	.	21 (11-42)	39 (27-55)	↓	↓	n.c.	0 
Diabete mellito(250)	M + F	14	48	.	.	17 (10-82)	.	29 (19-45)	40 (29-52)	↓	↓	n.c.	0 
Malattie del sangue e degli organi emopoietici(280-289)	F	40	41	.	.	100 (75-225)	.	97 (75-126)	93 (74-115)	.	.	↓	0 
Malattie del sangue e degli organi emopoietici(280-289)	M	44	36	.	.	107 (82-140)	.	121 (95-156)	104 (84-128)	.	.	→	1 
Malattie del sangue e degli organi emopoietici(280-289)	M + F	84	77	.	.	103 (85-169)	.	109 (91-130)	101 (85-118)	.	.	→	1 
Malattie neuro-psichiatriche (escluse tossicod.)(290-303, 306-319)	F	51	55	.	.	117 (91-242)	.	92 (73-116)	90 (76-108)	.	.	→	1 
Malattie neuro-psichiatriche (escluse tossicod.)(290-303, 306-319)	M	63	66	.	.	149 (119-186)	.	95 (77-117)	94 (79-110)	.	.	→	1 







Tabella 21C - Sant'Elpidio a Mare													
Causa (ICD-IX)	Genere	Osservati	Attesi	Cluster sign.	SIR cluster	Tasso std. * 100000 (ic)	Tasso std. > Media reg.	SIR (ic)	BIR (ic)	SIR sign.	BIR sign.	Trend	Livello attenzione
Malattie neuro-psichiatriche (escluse tossicod.)(290-303, 306-319)	M + F	114	122	.	.	132 (112-199)	.	94 (80-109)	93 (81-106)	.	.	→	1
Malattie del sistema nervoso e degli organi di senso(320-389)	F	259	297	.	.	633 (570-775)	.	87 (79-97)	88 (80-96)	↓	↓	↓	0 
Malattie del sistema nervoso e degli organi di senso(320-389)	M	230	263	.	.	567 (507-635)	.	88 (79-98)	88 (80-96)	↓	↓	↓	0 
Malattie del sistema nervoso e degli organi di senso(320-389)	M + F	489	560	.	.	602 (557-683)	.	87 (81-94)	88 (82-94)	↓	↓	↓	0 
Malattia di Alzheimer(3310)	F	>5	>5	.	.	30 (17-156)	.	70 (43-114)	78 (51-117)	.	.	→	1
Malattia di Alzheimer(3310)	M	<5	>5	.	.	5 (1-19)	.	24 (8-72)	41 (21-74)	↓	↓	n.c.	0 
Malattia di Alzheimer(3310)	M + F	13	24	.	.	18 (10-83)	.	54 (34-85)	64 (43-91)	↓	↓	→	0 
Morbo di Parkinson(3320)	F	<5	<5	2	189	8 (2-135)	.	86 (34-216)	116 (71-181)	.	.	n.c.	1
Morbo di Parkinson(3320)	M	>5	>5	.	.	18 (8-37)	.	141 (77-261)	136 (89-205)	.	.	n.c.	1
Morbo di Parkinson(3320)	M + F	10	8	.	.	13 (7-78)	.	119 (71-198)	131 (95-178)	.	.	n.c.	1
Malattia dei neuroni motori(3352)	F	<5	<5	2	194	8 (2-135)	.	191 (76-478)	156 (85-282)	.	.	n.c.	1
Malattia dei neuroni motori(3352)	M	<5	<5	.	.	7 (2-22)	.	165 (66-413)	114 (76-181)	.	.	n.c.	1
Malattia dei neuroni motori(3352)	M + F	6	3	2	159	7 (3-73)	.	177 (92-342)	112 (89-147)	.	.	n.c.	1
Sclerosi multipla(340)	F	>5	>5	.	.	18 (9-145)	.	139 (79-247)	101 (83-126)	.	.	n.c.	1
Sclerosi multipla(340)	M	<5	<5	.	.	2 (0-16)	.	31 (7-138)	97 (65-125)	.	.	n.c.	1
Sclerosi multipla(340)	M + F	9	9	.	.	10 (5-76)	.	100 (58-172)	100 (79-125)	.	.	n.c.	1
Malattie cardiache(390-429)	F	190	224	.	.	503 (444-642)	.	85 (75-96)	90 (82-99)	↓	↓	↓	0 








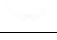
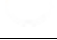







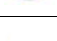
Tabella 21C - Sant'Elpidio a Mare													
Causa (ICD-IX)	Genere	Osservati	Attesi	Cluster sign.	SIR cluster	Tasso std. * 100000 (ic)	Tasso std. > Media reg.	SIR (ic)	BIR (ic)	SIR sign.	BIR sign.	Trend	Livello attenzione
Malattie cardiache(390-429)	M	269	306	.	.	694 (625-770)	.	88 (79-97)	94 (87-101)	↓	.	→	0 
Malattie cardiache(390-429)	M + F	459	530	.	.	595 (550-677)	.	87 (80-93)	91 (85-97)	↓	↓	↓	0 
Malattie dell'apparato circolatorio(390-459)	F	402	400	.	.	1037 (952-1193)	.	101 (93-109)	102 (95-109)	.	.	↓	0 
Malattie dell'apparato circolatorio(390-459)	M	462	491	.	.	1170 (1082-1266)	.	94 (87-102)	98 (93-105)	.	.	↓	0 
Malattie dell'apparato circolatorio(390-459)	M + F	864	890	.	.	1101 (1040-1196)	.	97 (92-103)	99 (95-104)	.	.	↓	0 
Malattie ischemiche del cuore(410-4149)	F	63	77	.	.	165 (132-292)	.	81 (66-100)	92 (79-107)	.	.	↓	0 
Malattie ischemiche del cuore(410-4149)	M	151	156	2	114	388 (337-446)	.	97 (85-111)	102 (91-113)	.	.	→	1 
Malattie ischemiche del cuore(410-4149)	M + F	214	233	.	.	272 (242-344)	.	92 (82-103)	97 (88-107)	.	.	→	1 
Insufficienza cardiaca (scompenso cardiaco)(428)	F	75	90	.	.	211 (172-340)	.	83 (69-101)	89 (77-103)	.	.	→	1 
Insufficienza cardiaca (scompenso cardiaco)(428)	M	68	89	.	.	185 (150-229)	.	77 (63-94)	87 (76-100)	↓	.	→	0 
Insufficienza cardiaca (scompenso cardiaco)(428)	M + F	143	179	.	.	198 (172-268)	.	80 (70-92)	86 (77-96)	↓	↓	↓	0 
Malattie cerebrovascolari(430-438)	F	146	131	2	114	395 (342-530)	↑	112 (98-128)	110 (99-123)	.	.	→	2 
Malattie cerebrovascolari(430-438)	M	118	140	.	.	306 (261-359)	.	84 (73-98)	93 (83-104)	↓	.	↓	0 
Malattie cerebrovascolari(430-438)	M + F	264	270	.	.	352 (317-427)	.	98 (88-108)	100 (92-109)	.	.	↓	0 
Malattie dell'apparato respiratorio(460-5199)	F	274	266	.	.	698 (629-844)	.	103 (93-114)	100 (92-109)	.	.	↓	0 
Malattie dell'apparato respiratorio(460-5199)	M	367	348	.	.	933 (853-1019)	.	105 (97-115)	103 (95-111)	.	.	→	1 
Malattie dell'apparato respiratorio(460-5199)	M + F	641	614	.	.	811 (758-899)	.	104 (98-111)	102 (96-108)	.	.	↓	0 





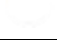

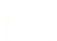





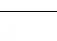




Tabella 21C - Sant'Elpidio a Mare													
Causa (ICD-IX)	Genere	Osservati	Attesi	Cluster sign.	SIR cluster	Tasso std. * 100000 (ic)	Tasso std. > Media reg.	SIR (ic)	BIR (ic)	SIR sign.	BIR sign.	Trend	Livello attenzione
Malattie polmonari cronico ostruttive(490-492, 494, 496)	F	14	20	.	.	37 (22-163)	.	70 (45-108)	73 (53-99)	.	↓	n.c.	0 
Malattie polmonari cronico ostruttive(490-492, 494, 496)	M	16	29	.	.	41 (26-65)	.	55 (37-83)	73 (55-94)	↓	↓	↓	0 
Malattie polmonari cronico ostruttive(490-492, 494, 496)	M + F	30	49	.	.	39 (28-104)	.	61 (45-82)	69 (55-87)	↓	↓	↓	0 
Pneumoconiosi(500-505)	F	<5	<5	.	.	2 (0-130)	.	1443 (322-6467)	139 (30-832)	↑	.	n.c.	1 
Pneumoconiosi(500-505)	M	0	1	.	.	0 (0-12)	.	0 (.-.)	46 (10-119)	.	.	n.c.	1 
Pneumoconiosi(500-505)	M + F	<5	<5	.	.	1 (0-68)	.	165 (37-741)	72 (30-126)	.	.	n.c.	1 
Malattie dell'apparato digerente(520-579)	F	324	352	.	.	777 (707-922)	.	92 (84-101)	93 (87-99)	.	↓	↓	0 
Malattie dell'apparato digerente(520-579)	M	485	496	.	.	1192 (1104-1287)	.	98 (91-105)	98 (92-103)	.	.	↓	0 
Malattie dell'apparato digerente(520-579)	M + F	809	849	.	.	977 (920-1067)	.	95 (90-101)	96 (91-100)	.	.	↓	0 
Cirrosi e altre malattie croniche del fegato(571)	F	14	9	.	.	33 (20-160)	↑	159 (103-246)	102 (84-126)	↑	.	↓	2 
Cirrosi e altre malattie croniche del fegato(571)	M	14	17	.	.	35 (21-57)	.	83 (53-128)	93 (73-116)	.	.	n.c.	1 
Cirrosi e altre malattie croniche del fegato(571)	M + F	28	26	.	.	34 (24-99)	.	109 (80-148)	100 (83-120)	.	.	↓	0 
Nefropatie croniche e acute(580-589)	F	31	35	.	.	81 (59-207)	.	90 (67-120)	96 (76-119)	.	.	→	1 
Nefropatie croniche e acute(580-589)	M	42	48	.	.	110 (83-144)	.	88 (68-113)	92 (76-111)	.	.	→	1 
Nefropatie croniche e acute(580-589)	M + F	73	82	.	.	95 (77-161)	.	89 (73-107)	93 (79-109)	.	.	→	1 
Malattie dell'apparato urinario(580-599)	F	103	95	.	.	255 (215-384)	.	108 (92-127)	106 (92-122)	.	.	→	1 
Malattie dell'apparato urinario(580-599)	M	130	139	.	.	328 (282-382)	.	93 (81-108)	96 (86-107)	.	.	→	1 



Tabella 21C - Sant'Elpidio a Mare													
Causa (ICD-IX)	Genere	Osservati	Attesi	Cluster sign.	SIR cluster	Tasso std. * 100000 (ic)	Tasso std. > Media reg.	SIR (ic)	BIR (ic)	SIR sign.	BIR sign.	Trend	Livello attenzione
Malattie dell'apparato urinario(580-599)	M + F	233	235	.	.	290 (260-362)	.	99 (89-111)	100 (91-109)	.	.	→	1
Endometriosi(617)	F	15	17	.	.	32 (20-158)	.	88 (58-134)	89 (67-117)	.	.	→	1
Malformazioni congenite(740-759)	F	45	54	.	.	97 (74-221)	.	83 (65-106)	87 (74-100)	.	.	→	1
Malformazioni congenite(740-759)	M	69	80	.	.	159 (129-196)	.	86 (70-105)	83 (72-96)	.	↓	→	0 
Malformazioni congenite(740-759)	M + F	114	135	.	.	126 (108-192)	.	85 (73-99)	84 (75-94)	↓	↓	→	0 



Tabella 22C. Incidenza di primi ricoveri ospedalieri per causa nel comune di Sirolo, tutte le età, periodo di osservazione 2009-2013








Tabella 22C - Sirolo	Genere	Osservati	Attesi	Cluster sign.	SIR cluster	Tasso std. * 100000 (ic)	Tasso std. > Media reg.	SIR (ic)	BIR (ic)	SIR sign.	BIR sign.	Trend	Livello attenzione
Causa (ICD-IX)													
Malattie infettive(001-139)	F	18	15	.	.	184 (118-279)	.	119 (81-176)	96 (73-126)	.	.	→	1
Malattie infettive(001-139)	M	10	17	.	.	109 (59-190)	.	59 (35-99)	75 (57-97)	↓	↓	→	0 
Malattie infettive(001-139)	M + F	28	32	.	.	147 (104-205)	.	88 (64-119)	84 (67-105)	.	.	→	1
Tumori maligni delle vie aeree e digestive superiori(140-150, 161)	F	<5	<5	.	.	29 (8-85)	.	340 (136-850)	91 (65-132)	↑	.	n.c.	3 
Tumori maligni delle vie aeree e digestive superiori(140-150, 161)	M	>5	<5	.	.	62 (27-128)	.	215 (111-416)	100 (80-131)	↑	.	n.c.	3 
Tumori maligni delle vie aeree e digestive superiori(140-150, 161)	M + F	9	4	.	.	45 (24-83)	↑	245 (143-421)	100 (81-128)	↑	.	n.c.	3 
Tumori maligni(140-208)	F	83	57	2	114	809 (669-977)	↑	144 (121-173)	110 (99-124)	↑	.	→	3 
Tumori maligni(140-208)	M	71	64	2	108	739 (600-905)	.	112 (92-136)	104 (94-116)	.	.	→	1
Tumori maligni(140-208)	M + F	154	121	2	109	775 (675-889)	↑	127 (112-145)	111 (102-122)	↑	↑	→	5 
Tumori maligni dell'esofago(150)	F	0	0	.	.	0 (0-43)	.	0 (.-.)	89 (48-149)	.	.	n.c.	1
Tumori maligni dell'esofago(150)	M	<5	<5	.	.	10 (1-57)	.	291 (65-1306)	88 (59-131)	.	.	n.c.	1
Tumori maligni dell'esofago(150)	M + F	<5	<5	.	.	5 (0-30)	.	208 (46-933)	95 (64-146)	.	.	n.c.	1
Tumori maligni dello stomaco(151)	F	<5	<5	.	.	19 (3-71)	.	78 (26-235)	70 (45-103)	.	.	n.c.	1
Tumori maligni dello stomaco(151)	M	0	4	.	.	0 (0-40)	.	0 (.-.)	80 (55-110)	.	.	n.c.	1
Tumori maligni dello stomaco(151)	M + F	<5	>5	.	.	10 (2-36)	.	33 (11-99)	70 (50-96)	↓	↓	n.c.	0 
Tumori maligni dell'intestino tenue, compreso il duodeno(152)	F	0	0	.	.	0 (0-43)	.	0 (.-.)	96 (49-180)	.	.	n.c.	1

Tabella 22C - Sirolo	Genere	Osservati	Attesi	Cluster sign.	SIR cluster	Tasso std. * 100000 (ic)	Tasso std. > Media reg.	SIR (ic)	BIR (ic)	SIR sign.	BIR sign.	Trend	Livello attenzione
Causa (ICD-IX)													
Tumori maligni dell'intestino tenue, compreso il duodeno(152)	M	0	0	.	.	0 (0-40)	.	0 (.-.)	79 (52-115)	,	,	n.c.	1
Tumori maligni dell'intestino tenue, compreso il duodeno(152)	M + F	0	1	.	.	0 (0-22)	.	0 (.-.)	88 (60-125)	,	,	n.c.	1
Tumori maligni del colon(153)	F	9	6	.	.	88 (46-161)	.	157 (91-269)	104 (82-137)	,	,	n.c.	1
Tumori maligni del colon(153)	M	9	7	.	.	95 (50-171)	.	133 (78-229)	108 (88-135)	,	,	→	1
Tumori maligni del colon(153)	M + F	18	13	.	.	91 (59-139)	.	144 (98-212)	111 (91-137)	,	,	→	1
Tumori maligni del colon-retto(153-154)	F	12	8	.	.	116 (67-195)	.	151 (95-242)	105 (88-128)	,	,	↑	2 😊
Tumori maligni del colon-retto(153-154)	M	13	10	.	.	134 (79-218)	.	127 (81-199)	108 (93-128)	,	,	→	1
Tumori maligni del colon-retto(153-154)	M + F	25	18	.	.	125 (87-178)	.	138 (99-191)	111 (95-132)	,	,	→	1
Tumori maligni del retto, della giunzione retto-sigmoidea e dell'ano(154)	F	<5	<5	.	.	28 (8-83)	.	115 (46-287)	101 (84-122)	,	,	n.c.	1
Tumori maligni del retto, della giunzione retto-sigmoidea e dell'ano(154)	M	>5	<5	.	.	48 (19-108)	.	122 (60-251)	106 (89-127)	,	,	n.c.	1
Tumori maligni del retto, della giunzione retto-sigmoidea e dell'ano(154)	M + F	8	7	.	.	38 (19-73)	.	119 (67-212)	106 (90-126)	,	,	n.c.	1
Tumore fegato e dotti biliari(1550-1551)	F	0	1	.	.	0 (0-43)	.	0 (.-.)	84 (47-133)	,	,	n.c.	1
Tumore fegato e dotti biliari(1550-1551)	M	<5	<5	.	.	28 (8-80)	.	234 (93-585)	91 (66-133)	,	,	n.c.	1
Tumore fegato e dotti biliari(1550-1551)	M + F	<5	<5	.	.	13 (4-41)	.	150 (60-376)	90 (61-133)	,	,	n.c.	1
Tumori maligni del pancreas(157)	F	<5	<5	.	.	28 (7-82)	.	160 (64-399)	97 (76-127)	,	,	n.c.	1
Tumori maligni del pancreas(157)	M	<5	<5	.	.	19 (3-68)	.	97 (32-292)	102 (88-121)	,	,	n.c.	1
Tumori maligni del pancreas(157)	M + F	5	4	.	.	23 (9-54)	.	127 (62-260)	101 (87-117)	,	,	n.c.	1

Tabella 22C - Sirolo	Genere	Osservati	Attesi	Cluster sign.	SIR cluster	Tasso std. * 100000 (ic)	Tasso std. > Media reg.	SIR (ic)	BIR (ic)	SIR sign.	BIR sign.	Trend	Livello attenzione
Causa (ICD-IX)													
Tumore del retroperitoneo(1580)	F	0	0	.	.	0 (0-43)	.	0 (.-.)	67 (32-127)	.	.	n.c.	1
Tumore del retroperitoneo(1580)	M	0	0	2	270	0 (0-40)	.	0 (.-.)	96 (29-230)	.	.	n.c.	1
Tumore del retroperitoneo(1580)	M + F	0	0	.	.	0 (0-22)	.	0 (.-.)	90 (51-151)	.	.	n.c.	1
Tumori maligni del naso(1600)	F	<5	<5	.	.	10 (1-58)	.	1769 (395-7928)	161 (79-304)	↑	.	n.c.	1
Tumori maligni del naso(1600)	M	0	0	.	.	0 (0-40)	.	0 (.-.)	64 (18-179)	.	.	n.c.	1
Tumori maligni del naso(1600)	M + F	<5	<5	.	.	5 (0-30)	.	881 (197-3951)	102 (43-258)	↑	.	n.c.	1
Tumori maligni della laringe(161)	F	0	0	.	.	0 (0-43)	.	0 (.-.)	59 (20-125)	.	.	n.c.	1
Tumori maligni della laringe(161)	M	<5	<5	.	.	41 (14-100)	.	324 (146-723)	97 (77-129)	↑	.	n.c.	3 ☹️
Tumori maligni della laringe(161)	M + F	<5	<5	.	.	20 (7-50)	.	299 (134-666)	94 (75-124)	↑	.	n.c.	3 ☹️
Tumori maligni della trachea, dei bronchi e dei polmoni(162)	F	<5	<5	.	.	36 (12-93)	.	150 (67-334)	96 (71-130)	.	.	n.c.	1
Tumori maligni della trachea, dei bronchi e dei polmoni(162)	M	>5	>5	.	.	121 (68-205)	.	147 (90-240)	101 (86-123)	.	.	n.c.	1
Tumori maligni della trachea, dei bronchi e dei polmoni(162)	M + F	15	10	.	.	78 (48-123)	.	148 (97-225)	99 (86-116)	.	.	n.c.	1
Tumori maligni della pleura(163)	F	<5	<5	.	.	9 (0-55)	.	988 (220-4428)	77 (37-169)	↑	.	n.c.	1
Tumori maligni della pleura(163)	M	0	0	.	.	0 (0-40)	.	0 (.-.)	95 (34-225)	.	.	n.c.	1
Tumori maligni della pleura(163)	M + F	<5	<5	2	217	4 (0-28)	.	289 (64-1295)	108 (52-231)	.	.	n.c.	1
Mesoteliomi pleurici e peritoneali(1588, 163)	F	<5	<5	.	.	9 (0-55)	.	597 (133-2676)	88 (45-178)	↑	.	n.c.	1
Mesoteliomi pleurici e peritoneali(1588, 163)	M	0	0	.	.	0 (0-40)	.	0 (.-.)	103 (41-232)	.	.	n.c.	1

Tabella 22C - Sirolo													
Causa (ICD-IX)	Genere	Osservati	Attesi	Cluster sign.	SIR cluster	Tasso std. * 100000 (ic)	Tasso std. > Media reg.	SIR (ic)	BIR (ic)	SIR sign.	BIR sign.	Trend	Livello attenzione
Mesoteliomi pleurici e peritoneali(1588, 163)	M + F	<5	<5	.	.	4 (0-28)	.	219 (49-981)	94 (45-190)	,	,	n.c.	1
Tumori maligni delle ossa e della cartilagine articolare(170)	F	0	0	.	.	0 (0-43)	.	0 (.-.)	72 (39-124)	,	,	n.c.	1
Tumori maligni delle ossa e della cartilagine articolare(170)	M	0	0	.	.	0 (0-40)	.	0 (.-.)	97 (70-131)	,	,	n.c.	1
Tumori maligni delle ossa e della cartilagine articolare(170)	M + F	0	0	.	.	0 (0-22)	.	0 (.-.)	87 (62-118)	,	,	n.c.	1
Tumori maligni del connettivo e di altri tessuti molli(171)	F	0	1	.	.	0 (0-43)	.	0 (.-.)	104 (67-144)	,	,	n.c.	1
Tumori maligni del connettivo e di altri tessuti molli(171)	M	<5	<5	.	.	11 (1-58)	.	154 (34-691)	97 (55-164)	,	,	n.c.	1
Tumori maligni del connettivo e di altri tessuti molli(171)	M + F	<5	<5	.	.	5 (0-30)	.	81 (18-365)	97 (57-162)	,	,	n.c.	1
Melanoma maligno della pelle(172)	F	<5	<5	2	159	40 (14-100)	.	312 (140-694)	119 (79-192)	↑	,	n.c.	3 ☹️
Melanoma maligno della pelle(172)	M	<5	<5	2	157	22 (4-75)	.	134 (44-404)	112 (71-178)	,	,	n.c.	1
Melanoma maligno della pelle(172)	M + F	6	3	2	152	31 (14-66)	.	216 (112-417)	130 (87-197)	↑	,	n.c.	3 ☹️
Tumori maligni della mammella(174-175)	F	24	17	2	120	234 (161-335)	.	144 (103-201)	112 (93-136)	↑	,	→	3 ☹️
Tumori maligni della mammella(174-175)	M	0	0	.	.	0 (0-40)	.	0 (.-.)	108 (54-204)	,	,	n.c.	1
Tumori maligni della mammella(174-175)	M + F	24	17	2	119	119 (82-171)	.	142 (102-198)	112 (93-135)	↑	,	→	3 ☹️
Tumori maligni dell'utero(179-180, 182)	F	6	4	.	.	59 (25-124)	.	173 (90-335)	97 (81-118)	,	,	n.c.	1
Tumori maligni del corpo dell'utero(182)	F	<5	<5	.	.	10 (0-57)	.	40 (9-180)	95 (73-118)	,	,	n.c.	1
Tumori maligni dell'ovaio e degli altri annessi uterini(183)	F	0	2	.	.	0 (0-43)	.	0 (.-.)	93 (73-112)	,	,	n.c.	1
Tumore della prostata(185)	M	9	10	.	.	91 (47-164)	.	92 (53-158)	99 (80-124)	,	,	n.c.	1


Tabella 22C - Sirolo	Genere	Osservati	Attesi	Cluster sign.	SIR cluster	Tasso std. * 100000 (ic)	Tasso std. > Media reg.	SIR (ic)	BIR (ic)	SIR sign.	BIR sign.	Trend	Livello attenzione
Causa (ICD-IX)													
Tumore del testicolo(186)	M	0	1	.	.	0 (0-40)	.	0 (.-.)	91 (65-121)	.	.	n.c.	1
Tumori maligni della vescica(188)	F	<5	<5	.	.	40 (14-101)	.	224 (101-499)	94 (77-116)	↑	.	n.c.	3 
Tumori maligni della vescica(188)	M	>5	>5	.	.	93 (48-168)	.	110 (64-189)	98 (85-113)	.	.	n.c.	1
Tumori maligni della vescica(188)	M + F	13	10	.	.	66 (39-109)	.	130 (83-205)	99 (86-114)	.	.	n.c.	1
Tumori maligni del rene e di altri e non specificati organi urinari(189)	F	<5	<5	.	.	29 (8-84)	.	157 (63-392)	106 (85-136)	.	.	n.c.	1
Tumori maligni del rene e di altri e non specificati organi urinari(189)	M	<5	<5	.	.	20 (4-70)	.	57 (19-173)	97 (76-121)	.	.	n.c.	1
Tumori maligni del rene e di altri e non specificati organi urinari(189)	M + F	5	5	2	125	24 (10-56)	.	92 (45-190)	101 (82-124)	.	.	n.c.	1
Tumori maligni dell'encefalo(191)	F	0	1	.	.	0 (0-43)	.	0 (.-.)	106 (72-149)	.	.	n.c.	1
Tumori maligni dell'encefalo(191)	M	<5	<5	.	.	20 (4-71)	.	153 (51-462)	90 (69-119)	.	.	n.c.	1
Tumori maligni dell'encefalo(191)	M + F	<5	<5	.	.	10 (2-37)	.	77 (25-231)	99 (75-128)	.	.	n.c.	1
Tumori maligni del sistema nervoso centrale(191-192)	F	<5	<5	.	.	9 (0-57)	.	69 (15-308)	109 (79-145)	.	.	n.c.	1
Tumori maligni del sistema nervoso centrale(191-192)	M	<5	<5	.	.	20 (4-71)	.	141 (47-426)	90 (66-121)	.	.	n.c.	1
Tumori maligni del sistema nervoso centrale(191-192)	M + F	<5	<5	.	.	15 (4-43)	.	104 (42-261)	98 (74-130)	.	.	n.c.	1
Tumori maligni della ghiandola tiroide(193)	F	<5	<5	.	.	20 (4-72)	.	72 (24-217)	96 (67-134)	.	.	n.c.	1
Tumori maligni della ghiandola tiroide(193)	M	<5	<5	.	.	24 (4-79)	.	196 (65-593)	106 (62-174)	.	.	n.c.	1
Tumori maligni della ghiandola tiroide(193)	M + F	<5	<5	.	.	22 (7-54)	.	105 (47-234)	96 (67-134)	.	.	n.c.	1
Linfoma non Hodgkin(200, 202)	F	<5	<5	.	.	41 (14-101)	.	183 (82-408)	109 (88-146)	.	.	n.c.	1

Tabella 22C - Sirolo	Genere	Osservati	Attesi	Cluster sign.	SIR cluster	Tasso std. * 100000 (ic)	Tasso std. > Media reg.	SIR (ic)	BIR (ic)	SIR sign.	BIR sign.	Trend	Livello attenzione
Causa (ICD-IX)													
Linfoma non Hodgkin(200, 202)	M	<5	<5	.	.	22 (4-75)	.	79 (26-240)	96 (73-124)	,	,	n.c.	1
Linfoma non Hodgkin(200, 202)	M + F	6	5	.	.	32 (14-66)	.	127 (66-246)	106 (83-135)	,	,	n.c.	1
Tumori emolinfopoiectici(200-208)	F	8	5	.	.	79 (39-150)	.	174 (98-308)	106 (86-134)	,	,	n.c.	1
Tumori emolinfopoiectici(200-208)	M	6	6	.	.	64 (28-131)	.	104 (54-202)	110 (89-135)	,	,	n.c.	1
Tumori emolinfopoiectici(200-208)	M + F	14	10	.	.	72 (43-115)	.	135 (87-209)	110 (90-135)	,	,	n.c.	1
Malattia di Hodgkin(201)	F	0	0	.	.	0 (0-43)	.	0 (.-.)	84 (62-110)	,	,	n.c.	1
Malattia di Hodgkin(201)	M	0	0	.	.	0 (0-40)	.	0 (.-.)	103 (74-141)	,	,	n.c.	1
Malattia di Hodgkin(201)	M + F	0	1	.	.	0 (0-22)	.	0 (.-.)	90 (60-123)	,	,	n.c.	1
Mieloma multiplo e tumori immunoproliferativi(203)	F	0	1	.	.	0 (0-43)	.	0 (.-.)	90 (59-125)	,	,	n.c.	1
Mieloma multiplo e tumori immunoproliferativi(203)	M	0	1	.	.	0 (0-40)	.	0 (.-.)	93 (54-141)	,	,	n.c.	1
Mieloma multiplo e tumori immunoproliferativi(203)	M + F	0	2	.	.	0 (0-22)	.	0 (.-.)	77 (47-116)	,	,	n.c.	1
Leucemie(204-208)	F	<5	<5	.	.	38 (13-96)	.	285 (128-634)	118 (85-173)	↑	,	n.c.	3 😞
Leucemie(204-208)	M	<5	<5	2	140	42 (14-102)	.	205 (92-456)	121 (96-172)	,	,	n.c.	1
Leucemie(204-208)	M + F	8	3	2	136	40 (20-76)	↑	238 (134-422)	136 (101-189)	↑	↑	n.c.	5 😡
Gozzo non tossico(240-241)	F	<5	>5	.	.	19 (3-70)	.	42 (14-128)	62 (41-90)	,	↓	n.c.	0 😊
Gozzo non tossico(240-241)	M	<5	<5	.	.	19 (3-68)	.	127 (42-385)	57 (32-98)	,	↓	n.c.	0 😊
Gozzo non tossico(240-241)	M + F	<5	>5	.	.	19 (6-48)	.	64 (29-142)	59 (39-88)	,	↓	n.c.	0 😊



Tabella 22C - Sirolo	Genere	Osservati	Attesi	Cluster sign.	SIR cluster	Tasso std. * 100000 (ic)	Tasso std. > Media reg.	SIR (ic)	BIR (ic)	SIR sign.	BIR sign.	Trend	Livello attenzione
Causa (ICD-IX)													
Malattie endocrine e della nutrizione(240-2799)	F	24	30	.	.	233 (160-334)	.	79 (57-110)	85 (68-105)	.	.	→	1
Malattie endocrine e della nutrizione(240-2799)	M	23	22	.	.	242 (165-347)	.	105 (74-147)	101 (82-125)	.	.	→	1
Malattie endocrine e della nutrizione(240-2799)	M + F	47	52	.	.	237 (183-306)	.	90 (71-114)	91 (75-109)	.	.	→	1
Tireotossicosi(242)	F	<5	<5	.	.	21 (4-74)	.	136 (45-411)	83 (52-127)	.	.	n.c.	1
Tireotossicosi(242)	M	0	1	.	.	0 (0-40)	.	0 (.-.)	57 (24-110)	.	.	n.c.	1
Tireotossicosi(242)	M + F	<5	<5	.	.	11 (2-38)	.	97 (32-292)	68 (42-108)	.	.	n.c.	1
Ipotiroidismo(243-244)	F	0	1	.	.	0 (0-43)	.	0 (.-.)	74 (50-104)	.	.	n.c.	1
Ipotiroidismo(243-244)	M	0	1	.	.	0 (0-40)	.	0 (.-.)	100 (77-132)	.	.	n.c.	1
Ipotiroidismo(243-244)	M + F	0	1	.	.	0 (0-22)	.	0 (.-.)	87 (70-108)	.	.	n.c.	1
Diabete mellito(250)	F	<5	>5	2	129	37 (13-94)	.	85 (38-190)	93 (58-147)	.	.	n.c.	1
Diabete mellito(250)	M	>5	>5	2	143	74 (34-143)	.	130 (71-240)	104 (69-154)	.	.	n.c.	1
Diabete mellito(250)	M + F	11	10	2	136	55 (31-94)	.	109 (67-178)	101 (71-142)	.	.	n.c.	1
Malattie del sangue e degli organi emopoietici(280-289)	F	6	11	.	.	60 (26-126)	.	57 (30-111)	83 (59-115)	.	.	n.c.	1
Malattie del sangue e degli organi emopoietici(280-289)	M	6	9	.	.	62 (27-128)	.	65 (34-126)	92 (65-128)	.	.	→	1
Malattie del sangue e degli organi emopoietici(280-289)	M + F	12	20	.	.	61 (35-102)	.	61 (38-98)	83 (61-109)	↓	.	→	0 
Malattie neuro-psichiatriche (escluse tossicod.)(290-303, 306-319)	F	12	13	.	.	116 (67-196)	.	93 (58-149)	91 (70-118)	.	.	n.c.	1
Malattie neuro-psichiatriche (escluse tossicod.)(290-303, 306-319)	M	7	14	.	.	75 (35-146)	.	50 (27-93)	85 (64-110)	↓	.	n.c.	0 







Tabella 22C - Sirolo	Genere	Osservati	Attesi	Cluster sign.	SIR cluster	Tasso std. * 100000 (ic)	Tasso std. > Media reg.	SIR (ic)	BIR (ic)	SIR sign.	BIR sign.	Trend	Livello attenzione
Causa (ICD-IX)													
Malattie neuro-psichiatriche (escluse tossicod.)(290-303, 306-319)	M + F	19	27	.	.	96 (63-144)	.	71 (49-103)	84 (66-105)	.	.	→	1
Malattie del sistema nervoso e degli organi di senso(320-389)	F	86	72	.	.	843 (699-1015)	.	120 (100-143)	121 (105-139)	↑	↑	→	5 
Malattie del sistema nervoso e degli organi di senso(320-389)	M	68	60	.	.	709 (573-871)	.	114 (93-139)	116 (100-135)	.	↑	→	3 
Malattie del sistema nervoso e degli organi di senso(320-389)	M + F	154	132	.	.	778 (677-892)	.	117 (103-134)	119 (106-132)	↑	↑	↓	4 
Malattia di Alzheimer(3310)	F	8	3	2	280	80 (40-151)	↑	294 (166-522)	200 (117-322)	↑	↑	n.c.	5 
Malattia di Alzheimer(3310)	M	6	2	2	323	62 (27-128)	↑	413 (214-799)	277 (151-476)	↑	↑	n.c.	5 
Malattia di Alzheimer(3310)	M + F	14	4	2	286	71 (43-114)	↑	335 (217-519)	237 (154-348)	↑	↑	n.c.	5 
Morbo di Parkinson(3320)	F	<5	<5	.	.	10 (1-59)	.	125 (28-558)	111 (59-205)	.	.	n.c.	1
Morbo di Parkinson(3320)	M	0	1	.	.	0 (0-40)	.	0 (-.)	92 (50-162)	.	.	n.c.	1
Morbo di Parkinson(3320)	M + F	<5	<5	.	.	5 (0-30)	.	59 (13-265)	109 (66-172)	.	.	n.c.	1
Malattia dei neuroni motori(3352)	F	0	0	.	.	0 (0-43)	.	0 (-.)	105 (42-231)	.	.	n.c.	1
Malattia dei neuroni motori(3352)	M	<5	<5	.	.	9 (0-55)	.	314 (70-1409)	83 (51-139)	.	.	n.c.	1
Malattia dei neuroni motori(3352)	M + F	<5	<5	.	.	5 (0-29)	.	141 (32-634)	93 (69-123)	.	.	n.c.	1
Sclerosi multipla(340)	F	<5	<5	.	.	12 (1-63)	.	74 (16-331)	101 (76-126)	.	.	n.c.	1
Sclerosi multipla(340)	M	<5	<5	.	.	11 (1-57)	.	157 (35-704)	91 (63-130)	.	.	n.c.	1
Sclerosi multipla(340)	M + F	<5	<5	.	.	12 (2-40)	.	100 (33-303)	94 (69-124)	.	.	n.c.	1
Malattie cardiache(390-429)	F	55	56	.	.	537 (423-678)	.	98 (79-122)	96 (84-110)	.	.	→	1






Tabella 22C - Sirolo	Genere	Osservati	Attesi	Cluster sign.	SIR cluster	Tasso std. * 100000 (ic)	Tasso std. > Media reg.	SIR (ic)	BIR (ic)	SIR sign.	BIR sign.	Trend	Livello attenzione
Causa (ICD-IX)													
Malattie cardiache(390-429)	M	62	70	.	.	641 (513-797)	.	89 (72-110)	95 (85-106)	.	.	→	1
Malattie cardiache(390-429)	M + F	117	126	.	.	588 (501-688)	.	93 (80-108)	95 (85-105)	.	.	→	1
Malattie dell'apparato circolatorio(390-459)	F	91	97	.	.	887 (739-1062)	.	94 (79-111)	94 (86-104)	.	.	↓	0 
Malattie dell'apparato circolatorio(390-459)	M	96	111	.	.	994 (833-1183)	.	86 (73-102)	94 (86-103)	.	.	→	1
Malattie dell'apparato circolatorio(390-459)	M + F	187	208	.	.	939 (829-1064)	.	90 (80-101)	93 (85-100)	.	.	→	1
Malattie ischemiche del cuore(410-4149)	F	17	18	.	.	170 (108-262)	.	92 (62-137)	91 (73-114)	.	.	→	1
Malattie ischemiche del cuore(410-4149)	M	24	34	.	.	250 (172-356)	.	71 (51-99)	86 (73-101)	↓	.	→	0 
Malattie ischemiche del cuore(410-4149)	M + F	41	52	.	.	209 (158-274)	.	78 (61-101)	86 (73-100)	.	.	→	1
Insufficienza cardiaca (scompenso cardiaco)(428)	F	22	23	.	.	214 (144-313)	.	96 (68-136)	90 (73-110)	.	.	→	1
Insufficienza cardiaca (scompenso cardiaco)(428)	M	18	20	.	.	184 (119-278)	.	92 (62-135)	86 (69-105)	.	.	→	1
Insufficienza cardiaca (scompenso cardiaco)(428)	M + F	40	43	.	.	199 (150-263)	.	94 (72-122)	87 (73-104)	.	.	→	1
Malattie cerebrovascolari(430-438)	F	33	32	.	.	321 (235-436)	.	102 (77-136)	94 (79-112)	.	.	→	1
Malattie cerebrovascolari(430-438)	M	25	33	.	.	259 (180-367)	.	76 (55-106)	88 (73-103)	.	.	→	1
Malattie cerebrovascolari(430-438)	M + F	58	65	.	.	291 (231-366)	.	89 (72-111)	90 (78-104)	.	.	→	1
Malattie dell'apparato respiratorio(460-5199)	F	49	68	.	.	480 (373-616)	.	72 (57-91)	85 (74-98)	↓	↓	→	0 
Malattie dell'apparato respiratorio(460-5199)	M	88	82	.	.	935 (777-1121)	.	108 (90-128)	99 (87-112)	.	.	→	1
Malattie dell'apparato respiratorio(460-5199)	M + F	137	150	.	.	703 (606-813)	.	92 (80-105)	92 (83-103)	.	.	→	1


Tabella 22C - Sirolo	Genere	Osservati	Attesi	Cluster sign.	SIR cluster	Tasso std. * 100000 (ic)	Tasso std. > Media reg.	SIR (ic)	BIR (ic)	SIR sign.	BIR sign.	Trend	Livello attenzione
Causa (ICD-IX)													
Malattie polmonari cronico ostruttive(490-492, 494, 496)	F	<5	>5	.	.	9 (0-55)	.	19 (4-85)	73 (45-115)	↓	.	n.c.	0 
Malattie polmonari cronico ostruttive(490-492, 494, 496)	M	7	7	.	.	75 (35-146)	.	106 (58-196)	86 (60-124)	.	.	n.c.	1
Malattie polmonari cronico ostruttive(490-492, 494, 496)	M + F	8	12	.	.	41 (20-78)	.	67 (38-120)	79 (55-112)	.	.	n.c.	1
Pneumoconiosi(500-505)	F	0	0	.	.	0 (0-43)	.	0 (.-.)	56 (4-335)	.	.	n.c.	1
Pneumoconiosi(500-505)	M	0	0	.	.	0 (0-40)	.	0 (.-.)	80 (21-202)	.	.	n.c.	1
Pneumoconiosi(500-505)	M + F	0	0	.	.	0 (0-22)	.	0 (.-.)	89 (34-171)	.	.	n.c.	1
Malattie dell'apparato digerente(520-579)	F	69	82	.	.	681 (551-838)	.	84 (69-102)	98 (89-108)	.	.	→	1
Malattie dell'apparato digerente(520-579)	M	125	115	2	111	1304 (1118-1518)	.	109 (94-126)	108 (99-118)	.	.	→	1
Malattie dell'apparato digerente(520-579)	M + F	194	197	.	.	986 (872-1113)	.	98 (88-111)	103 (95-111)	.	.	→	1
Cirrosi e altre malattie croniche del fegato(571)	F	0	2	.	.	0 (0-43)	.	0 (.-.)	88 (67-113)	.	.	n.c.	1
Cirrosi e altre malattie croniche del fegato(571)	M	<5	<5	.	.	42 (14-102)	.	119 (54-266)	96 (70-133)	.	.	n.c.	1
Cirrosi e altre malattie croniche del fegato(571)	M + F	<5	>5	.	.	21 (7-51)	.	78 (35-174)	91 (71-118)	.	.	n.c.	1
Nefropatie croniche e acute(580-589)	F	8	8	.	.	77 (38-146)	.	97 (55-173)	84 (59-120)	.	.	n.c.	1
Nefropatie croniche e acute(580-589)	M	11	11	.	.	113 (63-192)	.	104 (63-169)	93 (70-124)	.	.	n.c.	1
Nefropatie croniche e acute(580-589)	M + F	19	19	.	.	94 (62-142)	.	101 (69-147)	91 (69-117)	.	.	n.c.	1
Malattie dell'apparato urinario(580-599)	F	24	22	.	.	232 (160-333)	.	107 (77-149)	87 (69-109)	.	.	→	1
Malattie dell'apparato urinario(580-599)	M	30	32	.	.	314 (225-430)	.	94 (70-127)	99 (84-116)	.	.	→	1

Tabella 22C - Sirolo	Genere	Osservati	Attesi	Cluster sign.	SIR cluster	Tasso std. * 100000 (ic)	Tasso std. > Media reg.	SIR (ic)	BIR (ic)	SIR sign.	BIR sign.	Trend	Livello attenzione
Causa (ICD-IX)													
Malattie dell'apparato urinario(580-599)	M + F	54	54	.	.	272 (214-344)	.	99 (80-124)	94 (80-110)	,	,	→	1
Endometriosi(617)	F	<5	<5	.	.	10 (0-57)	.	32 (7-145)	73 (48-109)	,	,	n.c.	1
Malformazioni congenite(740-759)	F	11	13	.	.	111 (62-192)	.	87 (53-142)	97 (79-118)	,	,	→	1
Malformazioni congenite(740-759)	M	21	17	.	.	226 (151-330)	.	125 (87-178)	114 (93-139)	,	,	→	1
Malformazioni congenite(740-759)	M + F	32	30	.	.	167 (121-228)	.	108 (81-145)	107 (91-125)	,	,	→	1